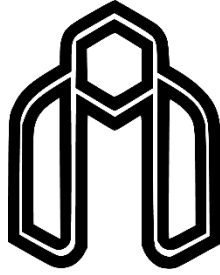


بِسْمِ اللَّهِ الرَّحْمَنِ الرَّحِيمِ



دانشگاه صنعتی شاهرود

دانشکده مهندسی برق و رباتیک

رساله دکتری مهندسی کنترل

## کنترل مبتنی بر سری تیلور بازوهای رباتیک

نگارنده: سید محمد احمدی

استاد راهنما

دکتر محمد مهدی فاتح

شهریور ۱۳۹۷

شماره: ۱۵۸۹  
تاریخ: ۹۷,۲,۷  
ویرایش:

باسمه تعالی



فرم شماره ۱۲: صورت جلسه نهایی دفاع از رساله دکتری (Ph.D)  
(ویژه دانشجویان ورودی های ۹۴ و ما قبل)

بدینوسیله گواهی می شود آقای/خانم سید محمد احمدی دانشجوی دکتری رشته برق - کنترل به شماره دانشجویی ۹۳۰۰۰۷۵ ورودی مهر ماه سال ۱۳۹۳ در تاریخ ۱۳۹۷/۰۶/۰۷ از رساله نظری / عملی خود با عنوان:

کنترل مبتنی بر سری تیلور بازوهای ریاتیک

دفاع و با اخذ نمره ۱۹,۸۹۳ به درجه عالی ..... نائل گردید.

<input type="checkbox"/> الف) درجه عالی: نمره ۱۹-۲۰	<input checked="" type="checkbox"/> ب) درجه بسیار خوب: نمره ۱۸/۹۹-۱۷
<input type="checkbox"/> ج) درجه خوب: نمره ۱۶/۹۹-۱۵	<input type="checkbox"/> د) غیر قابل قبول و نیاز به دفاع مجدد دارد
<input type="checkbox"/> ه) رساله نیاز به اصلاحات دارد	

ردیف	هیئت داوران	نام و نام خانوادگی	مرتبه علمی	امضاء
	دکتر محمد علی نایب	استاد/ اساتید راهنما	استاد	
	دکتر	مشاور/ مشاورین		
	دکتر زینب میرزایی	استاد مدعو داخلی / خارجی	استاد	
	دکتر اکبر زارعی	استاد مدعو داخلی / خارجی	دانشیار	
	دکتر الفی	استاد مدعو داخلی / خارجی	دانشیار	
	دکتر عبدالرضا طرف	سرپرست ( نماینده ) تحصیلات تکمیلی دانشکده	دانشیار	

مدیر محترم تحصیلات تکمیلی دانشگاه:

ضمن تأیید مراتب فوق مقرر فرمائید اقدامات لازم در خصوص انجام مراحل دانش آموختگی آقای/ خانم سید محمد احمدی بعمل آید.

نام و نام خانوادگی رئیس دانشکده  
تاریخ و امضاء و مهر دانشکده  
عبدالرضا طرف

تقدیم به پدر عزیزم:

کوهی استوار و حامی من در تمام طول زندگی

و

تقدیم به مادر عزیزم:

سنگ صبوری که الفبای زندگی به من آموخت

## تقدیر و تشکر:

ضمن سپاس بیکران خداوند، لازم می‌دانم از جناب آقای دکتر محمد مهدی فاتح که در این مدت افتخار شاگردی ایشان را داشته‌ام و با راهنمایی‌های مدبرانه، نظارت و سرپرستی این پایان‌نامه را به عهده داشتند، صمیمانه تشکر و قدردانی نمایم.

## تعهدنامه

اینجانب سید محمد احمدی دانشجوی دوره دکتری رشته مهندسی برق - گرایش کنترل دانشکده برق و رباتیک دانشگاه صنعتی شاهرود نویسنده پایان نامه " کنترل مبتنی بر سری تیلور بازوهای رباتیک " تحت راهنمایی آقای دکتر محمد مهدی فاتح متعهد می شوم :

- تحقیقات در این پایان نامه توسط اینجانب انجام شده است و از صحت و اصالت برخوردار است.
- در استفاده از نتایج پژوهشهای محققان دیگر به مرجع مورد استفاده استناد شده است .
- مطالب مندرج در پایان نامه تاکنون توسط خود یا فرد دیگری برای دریافت هیچ نوع مدرک یا امتیازی در هیچ جا ارائه نشده است .
- کلیه حقوق معنوی این اثر متعلق به دانشگاه صنعتی شاهرود می باشد و مقالات مستخرج با نام « دانشگاه صنعتی شاهرود » و یا « Shahrood University of Technology » به چاپ خواهد رسید .
- حقوق معنوی تمام افرادی که در به دست آمدن نتایج اصلی پایان نامه تأثیرگذار بوده اند در مقالات مستخرج از پایان نامه رعایت می گردد.
- در کلیه مراحل انجام این پایان نامه ، در مواردی که از موجود زنده ( یا بافتهای آنها ) استفاده شده است ضوابط و اصول اخلاقی رعایت شده است .
- در کلیه مراحل انجام این پایان نامه، در مواردی که به حوزه اطلاعات شخصی افراد دسترسی یافته یا استفاده شده است اصل رازداری ، ضوابط و اصول اخلاق انسانی رعایت شده است .

## تاریخ

### امضای دانشجو

## مالکیت نتایج و حق نشر

- کلیه حقوق معنوی این اثر و محصولات آن (مقالات مستخرج ، کتاب ، برنامه های رایانه ای ، نرم افزارها و تجهیزات ساخته شده است ) متعلق به دانشگاه صنعتی شاهرود می باشد . این مطلب باید به نحو مقتضی در تولیدات علمی مربوطه ذکر شود .
- استفاده از اطلاعات و نتایج موجود در پایان نامه بدون ذکر مرجع مجاز نمی باشد.

## چکیده

سیستم سری تیلور تطبیقی در دو طرح برای کنترل مقاوم بازوی رباتیک استفاده می‌شود. در طرح اول به عنوان تقریب‌گر تابع عدم قطعیت و در طرح دوم به عنوان قانون کنترل مورد استفاده قرار می‌گیرد. قوانین کنترل پیشنهادی منجر به تضمین پایداری محدود نهایی می‌شود. سپس با اضافه کردن جمله مقاوم ساز به قوانین کنترل، علاوه بر تضمین پایداری سیستم حلقه بسته، همگرایی مجانبی خطای ردگیری نیز محقق می‌شود. در این رساله، برای اولین بار سیستم سری تیلور به عنوان تقریب‌گر عمومی معرفی می‌شود. در ادامه با بهره‌گیری از رهیافت کنترل ولتاژ، ساختار کنترل‌کننده تطبیقی غیرمستقیم بدون نیاز به پس‌خورد متغیر سرعت توسعه می‌یابد. با در نظر گرفتن انعطاف‌پذیری در مفاصل بازوی ربات، طرح کنترل تطبیقی مستقیم با بکارگیری تقریب‌گر سری تیلور به منظور تقریب کنترل‌کننده ایده‌آل و تقریب‌گر فازی به منظور جبران خطای تقریب پیشنهاد می‌شود. از بازوی ربات اسکارای چهار محوره متصل به دیوار به عنوان ربات با مفاصل صلب و همچنین از بازوی رباتیک هنرمند به عنوان سیستم رباتیک با مفاصل انعطاف‌پذیر برای بررسی عملکرد کنترل‌کننده‌های پیشنهادی استفاده می‌شود. نتایج شبیه‌سازی، کارایی مناسب طرح‌های کنترلی پیشنهادی را در مقایسه با روش‌های دیگر از قبیل کنترل‌کننده مود لغزشی ترمینال و کنترل تطبیقی مبتنی بر رگرسیون نشان می‌دهد.

**کلمات کلیدی:** سیستم سری تیلور، بازوی رباتیک، رهیافت کنترل ولتاژ، کنترل تطبیقی مستقیم، کنترل تطبیقی غیرمستقیم، همگرایی مجانبی.

## لیست مقالات مستخرج از رساله

### الف) مقالات ژورنالی:

- [1] Ahmadi, S. M., & Fateh, M. M. (2016). Robust control of electrically driven robots using adaptive uncertainty estimation. *Computers & Electrical Engineering*, 56, 674-687.
- [2] Ahmadi, S. M., & Fateh, M. M. (2018). Task-space control of robots using an adaptive Taylor series uncertainty estimator. *International Journal of Control*, doi: 10.1080/00207179.2018.1429673.
- [3] Ahmadi, S. M., & Fateh, M. M. (2018). Task-space asymptotic tracking control of robots using a direct adaptive Taylor series controller. *Journal of Vibration and Control*, doi: 10.1177/1077546318758800.
- [4] Ahmadi, S. M., & Fateh, M. M. (2018). On the Taylor series asymptotic tracking control of robots. *Robotica*. (Accepted)

### ب) مقاله کنفرانسی:

- [1] Ahmadi, S. M., & Fateh, M. M. (2018) Sliding mode control of electrically-driven robot manipulators using an adaptive Taylor series approximator. 26<sup>th</sup> Iranian Conference on Electrical Engineering (ICEE2018)



## فهرست مطالب

فصل ۱. مقدمه و پیشینه تحقیق.....	۱
۱-۱- مقدمه.....	۲
۲-۱- اهداف تحقیق.....	۱۴
۳-۱- مروری بر ساختار پایان نامه.....	۱۴
فصل ۲. تقریب و جبران تطبیقی عدم قطعیت با سیستم سری تیلور برای کنترل مقاوم ربات.....	۱۷
۱-۲- مقدمه.....	۱۸
۲-۲- تشریح مسئله.....	۱۸
۳-۲- سیستم سری تیلور به عنوان تقریب گر عمومی.....	۲۱
۴-۲- طراحی قانون کنترل و تقریب گر تطبیقی عدم قطعیت.....	۲۵
۵-۲- تحلیل پایداری.....	۳۱
۶-۲- نتایج شبیه سازی.....	۳۲
۱-۶-۲- شبیه سازی اول.....	۳۳
۲-۶-۲- شبیه سازی دوم.....	۳۵
فصل ۳. طراحی کنترل کننده سری تیلور - مود لغزشی.....	۳۹
۱-۳- مقدمه.....	۴۰
۲-۳- پیشنهاد قانون کنترل و تحلیل پایداری.....	۴۰
۳-۳- نتایج شبیه سازی.....	۴۵
فصل ۴. کنترل سری تیلور با تضمین پایداری همگرایی مجانبی خطای ردگیری.....	۴۹
۱-۴- مقدمه.....	۵۰
۲-۴- تشریح مسئله.....	۵۰
۳-۴- طراحی کنترل کننده سری تیلور تطبیقی غیرمستقیم و اثبات پایداری.....	۵۲
۴-۴- طراحی کنترل کننده تطبیقی مستقیم سری تیلور.....	۶۳
۵-۴- نتایج شبیه سازی.....	۶۶
۱-۵-۴- شبیه سازی اول.....	۶۶
۲-۵-۴- شبیه سازی دوم.....	۶۹
۳-۵-۴- شبیه سازی سوم.....	۷۱
۴-۵-۴- شبیه سازی چهارم.....	۷۲
فصل ۵. کنترل فضای کار بازوی رباتیک با استفاده از سیستم سری تیلور.....	۷۵
۱-۵- مقدمه.....	۷۶
۲-۵- طراحی کنترل مقاوم.....	۷۸
۳-۵- تقریب تطبیقی عدم قطعیت و تحلیل پایداری.....	۸۶
۴-۵- طراحی کنترل تطبیقی مستقیم سری تیلور در فضای کار.....	۸۶
۵-۵- نتایج شبیه سازی.....	۸۹

۱-۵-۵- شبيه‌سازى اول.....	۸۹
۲-۵-۵- شبيه‌سازى دوم.....	۹۱
۳-۵-۵- شبيه‌سازى سوم.....	۹۵
فصل ۶. طراحي كنترل‌كننده سري تيلور تطبيقى غيرمستقيم با استفاده از راهبرء كنترل ولتاژ.....	۹۷
۱-۶- مقدمه .....	۹۸
۲-۶- كنترل تطبيقى غيرمستقيم سري تيلور با راهبرء كنترل ولتاژ در فضاي مفصلى.....	۹۸
۱-۲-۶- پيشنهاد قانون كنترل مقاوم.....	۹۹
۳-۶- طراحي كنترل تطبيقى غيرمستقيم سري تيلور با راهبرء كنترل ولتاژ در فضاي كار.....	۱۱۰
۴-۶- نتايج شبيه‌سازى .....	۱۱۴
۱-۴-۶- شبيه‌سازى اول.....	۱۱۴
۲-۴-۶- شبيه‌سازى دوم.....	۱۱۹
فصل ۷. طراحي طرح كنترلى سري تيلور - فازى براى بازوهاى رباتيك با مفاصل انعطاف‌پذير.....	۱۲۵
۱-۷- مقدمه .....	۱۲۶
۲-۷- تشریح مسئله.....	۱۲۶
۳-۷- طراحي كنترل سري تيلور - فازى تطبيقى مستقيم.....	۱۳۰
۴-۷- نتايج شبيه‌سازى .....	۱۳۹
فصل ۸. نتيجه‌گيرى و پيشنهادات .....	۱۴۵
۱-۸- نتيجه‌گيرى .....	۱۴۶
۲-۸- پيشنهادات .....	۱۴۸
پيوست.....	۱۴۹
پيوست ۱.....	۱۵۰
پيوست ۲.....	۱۵۵
مراجع .....	۱۵۶

## فهرست اشکال

- شکل ۱-۲ دیاگرام بلوکی روش کنترل تطبیقی سری تیلور..... ۲۷
- شکل ۲-۲ مسیر مطلوب در فضای مفصلی..... ۳۴
- شکل ۳-۲ خطای ردگیری کنترل کننده سری تیلور..... ۳۴
- شکل ۴-۲ تلاش کنترلی موتورها..... ۳۴
- شکل ۵-۲ جریان سیم پیچ موتورها ..... ۳۵
- شکل ۶-۲ تطبیق ضریب‌های تقریب‌گر سری تیلور برای هر چهار مفصل ربات. خط توپر "-"، خط خط چین "-"  
 "- خط نقطه چین ":" به ترتیب نشان‌دهنده ضریب اول، دوم و سوم تقریب‌گر  
 می‌باشد..... ۳۵
- شکل ۷-۲ خطای ردگیری کنترل کننده مود لغزشی ترمینال..... ۳۷
- شکل ۸-۲ تلاش کنترلی کنترل کننده مود لغزشی ترمینال..... ۳۷
- شکل ۱-۳ عملکرد ردگیری کنترل کننده سری تیلور - مود لغزشی..... ۴۷
- شکل ۲-۳ تلاش کنترلی کنترل کننده..... ۴۷
- شکل ۳-۳ تطبیق ضریب‌های تقریب‌گر سری تیلور در ساختار کنترل مود لغزشی. خط توپر "-" و خط  
 نقطه چین ":" به ترتیب نشان‌دهنده ضریب اول و دوم تقریب‌گر سری تیلور می‌باشد..... ۴۸
- شکل ۱-۴ دیاگرام بلوکی روش کنترل تطبیقی غیرمستقیم سری تیلور..... ۵۷
- شکل ۲-۴ مسیر مطلوب در فضای مفصلی..... ۶۸
- شکل ۳-۴ عملکرد ردگیری کنترل کننده سری تیلور تطبیقی غیرمستقیم..... ۶۸
- شکل ۴-۴ تلاش کنترلی موتورها..... ۶۸
- شکل ۵-۴ تطبیق ضریب‌های تقریب‌گر سری تیلور. خط توپر "-" و خط نقطه چین ":" به ترتیب نشان‌دهنده  
 ضریب اول و دوم تقریب‌گر سری تیلور می‌باشد..... ۶۹
- شکل ۶-۴ تقریب کران بالای خطای تقریب،  $\hat{\eta}_i(t)$ ..... ۶۹
- شکل ۷-۴ عملکرد ردگیری کنترل کننده سری تیلور تطبیقی مستقیم..... ۷۰
- شکل ۸-۴ تلاش کنترلی روش کنترل سری تیلور تطبیقی مستقیم..... ۷۰
- شکل ۹-۴ تطبیق ضریب‌های تقریب‌گر سری تیلور. خط توپر "-" و خط نقطه چین ":" به ترتیب نشان‌دهنده  
 ضریب اول و دوم کنترل کننده تطبیقی مستقیم سری تیلور می‌باشد..... ۷۱
- شکل ۱۰-۴ تقریب کران بالای خطای مدلسازی،  $\hat{v}_i(t)$ ..... ۷۱
- شکل ۱۱-۴ اثر بار سنگین اعمالی بر مجری نهایی در تلاش کنترلی روش تطبیقی غیرمستقیم..... ۷۳
- شکل ۱۲-۴ اثر بار سنگین اعمالی بر مجری نهایی در تلاش کنترلی روش تطبیقی مستقیم..... ۷۳
- شکل ۱۳-۴ اثر بار سنگین اعمالی بر عملکرد روش کنترلی تطبیقی غیرمستقیم..... ۷۴
- شکل ۱۴-۴ اثر بار سنگین اعمالی بر عملکرد روش کنترلی تطبیقی مستقیم..... ۷۴
- شکل ۱-۵ عملکرد ردگیری تقریب‌گر و جبران‌ساز سری تیلور در صفحه XYZ..... ۹۰
- شکل ۲-۵ خطای ردگیری فضای کار..... ۹۰
- شکل ۳-۵ تلاش کنترلی روش کنترلی پیشنهادی..... ۹۱

- شکل ۵-۴ تطبیق ضریب‌های تقریب‌گر سری تیلور..... ۹۱
- شکل ۵-۵ عملکرد ردگیری کنترل تطبیقی مستقیم سری تیلور در فضای کار در صفحه XYZ..... ۹۲
- شکل ۵-۶ خطای ردگیری فضای کار برای روش کنترلی سری تیلور تطبیقی مستقیم..... ۹۲
- شکل ۵-۷ تلاش کنترلی برای کنترل سری تیلور تطبیقی مستقیم..... ۹۳
- شکل ۵-۸ تطبیق ضریب‌های کنترل‌کننده سری تیلور. خط توپر "-" و خط نقطه‌چین ":" به ترتیب نشان‌دهنده ضریب اول و دوم کنترل‌کننده تطبیقی مستقیم سری تیلور می‌باشد..... ۹۴
- شکل ۵-۹ تقریب کران بالای خطای مدلسازی در کنترل تطبیقی مستقیم..... ۹۴
- شکل ۵-۱۰ اثر بار سنگین اعمالی بر مجری نهایی در عملکرد روش تطبیقی مستقیم..... ۹۴
- شکل ۵-۱۱ اثر بار سنگین اعمالی بر مجری نهایی در تلاش کنترلی روش تطبیقی مستقیم..... ۹۵
- شکل ۵-۱۲ عملکرد ردگیری کنترل ردگیری تطبیقی مبتنی بر رگرسور..... ۹۶
- شکل ۵-۱۳ محاسبه  $\|\tilde{X}\|$  برای روش‌های تطبیقی سری تیلور غیرمستقیم و مبتنی بر رگرسور..... ۹۶
- شکل ۵-۱۴ محاسبه  $\|\tilde{X}\|$  برای روش‌های تطبیقی سری تیلور مستقیم و مبتنی بر رگرسور..... ۹۶
- شکل ۶-۱ دیاگرام کنترل ولتاژ موتور مفصل ربات بصورت مفصل مستقل (در فضای مفصلی)..... ۹۹
- شکل ۶-۲ توابع تعلق سیستم فازی..... ۱۰۵
- شکل ۶-۳ دیاگرام بلوکی روش کنترلی پیشنهادی تطبیقی غیرمستقیم..... ۱۰۵
- شکل ۶-۴ عملکرد ردگیری طرح کنترلی سری تیلور تطبیقی غیرمستقیم در فضای مفصلی برای هر چهار مفصل بازوی رباتیک. خط توپر "-" و خط نقطه‌چین ":" به ترتیب نشان‌دهنده مسیر واقعی  $(q_i)$  و مسیر مطلوب  $(q_{mi})$  می‌باشند..... ۱۱۶
- شکل ۶-۵ خطای ردگیری در فضای مفصلی..... ۱۱۷
- شکل ۶-۶ تلاش کنترلی..... ۱۱۷
- شکل ۶-۷ تطبیق ضریب‌های تقریب‌گر سری تیلور. خط توپر "-" و خط نقطه‌چین ":" به ترتیب نشان‌دهنده ضریب اول و دوم تقریب‌گر سری تیلور می‌باشد..... ۱۱۸
- شکل ۶-۸ عبارت مقاوم‌ساز  $(u_{rfi})$ ..... ۱۱۹
- شکل ۶-۹ ضریب‌های تقریب‌گر فازی برای مفصل اول..... ۱۱۹
- شکل ۶-۱۰ عملکرد ردگیری طرح کنترلی تطبیقی غیرمستقیم در صفحه XYZ..... ۱۲۰
- شکل ۶-۱۱ خطای ردگیری فضای کار..... ۱۲۱
- شکل ۶-۱۲ تلاش کنترلی طرح کنترلی در فضای کار..... ۱۲۱
- شکل ۶-۱۳ تغییرات ضریب‌های تقریب‌گر سری تیلور. خط توپر "-" و خط نقطه‌چین ":" به ترتیب نشان‌دهنده ضریب اول و دوم تقریب‌گر سری تیلور می‌باشد..... ۱۲۲
- شکل ۶-۱۴ عبارت مقاوم‌ساز  $(u'_{rfi})$ ..... ۱۲۳
- شکل ۷-۱ توابع تعلق سیستم فازی..... ۱۳۴
- شکل ۷-۲ نمایش نمادین بازوی رباتیک هنرمند..... ۱۴۰
- شکل ۷-۳ عملکرد ردگیری کنترل‌کننده پیشنهادی سری تیلور - فازی..... ۱۴۱
- شکل ۷-۴ خطای ردگیری کنترل‌کننده سری تیلور - فازی..... ۱۴۱
- شکل ۷-۵ تلاش کنترلی کنترل‌کننده سری تیلور - فازی..... ۱۴۲

شکل ۶-۷ تطبیق ضریب‌های تقریب‌گر سری‌تیلور. خط توپر "-" ، خط نقطه‌چین ":" و خط خط‌چین  
"---" به ترتیب نشان‌دهنده ضریب اول، دوم و سوم تقریب‌گر سری‌تیلور می‌باشد..... ۱۴۳

شکل ۷-۷ ضریب‌های تقریب‌گر تطبیقی فازی..... ۱۴۴

شکل ۸-۷ تقریب کران بالای خطای مدلسازی..... ۱۴۴

شکل الف-۱ دیاگرام مفصلی ربات اسکارای چهار محوره (متصل به دیوار)..... ۱۵۰

## فهرست جداول

- جدول ۱-۱ مقایسه بین بعضی از روش‌های کنترل ردگیری در فضای کار..... ۱۲
- جدول ۱-۲ مقایسه بین بعضی از روش‌های کنترل ردگیری بازوی رباتیک با مفاصل انعطاف‌پذیر..... ۱۳
- جدول ۱-۴ ارزیابی عملکرد دو روش کنترلی تطبیقی مستقیم و غیرمستقیم..... ۶۷
- جدول ۲-۴ معیار میانگین انتگرال مجذور خطاها برای تعداد مختلف چندجمله‌ای‌های سری تیلور..... ۷۲
- جدول ۱-۸ مقایسه بین روش‌های پیشنهادی در رساله ..... ۱۴۷
- جدول الف - ۱ ضریب‌های دناویت - هارتنبرگ ربات ..... ۱۵۱
- جدول الف - ۲ ضریب‌های ربات اسکارای چهار محوره..... ۱۵۳
- جدول الف - ۳ ضریب‌های موتور..... ۱۵۴

## فصل ۱. مقدمه و پیشینه تحقیق

در دهه‌های گذشته، بسیاری از تلاش‌های تحقیقاتی روی کنترل مبتنی بر مدل<sup>۱</sup> از قبیل کنترل گشتاور محاسباتی<sup>۲</sup> [۱] و کنترل پسخورد غیرخطی<sup>۳</sup> [۲] معطوف بودند. اما برای پیاده‌سازی روش‌های کنترلی مبتنی بر مدل، طراح باید به مدل دینامیکی دقیق سیستم غیرخطی دسترسی داشته باشد. ولی در عمل، مدل دقیق در دسترس نیست. بعلاوه استفاده از مدل‌های پیچیده به دلیل بار محاسباتی زیاد<sup>۴</sup> و پیچیدگی‌های عملی در قوانین کنترل توصیه نمی‌شود. بنابراین طراحان کنترل ترجیح می‌دهند که به جای مدل‌های پیچیده، از مدل ساده‌تری به نام مدل نامی<sup>۵</sup> برای طراحی قانون کنترل استفاده کنند [۳]. در نتیجه به دلیل تفاوت مدل واقعی سیستم و مدل نامی، سیستم کنترل با چالشی به نام عدم قطعیت<sup>۶</sup> مواجه است. به طور کلی عدم قطعیت می‌تواند شامل عدم قطعیت‌های ساختاری<sup>۷</sup> (پارامتری) و غیرساختاری<sup>۸</sup> (دینامیک‌های مدل نشده و اغتشاش خارجی) باشد.

در دهه‌های اخیر، به منظور جبران عدم قطعیت‌ها در سیستم‌های رباتیک تلاش‌های تحقیقاتی فراوانی از قبیل کنترل تطبیقی [۴-۵] و کنترل مقاوم [۶-۷] صورت گرفته است. برای سیستم‌هایی که دارای دینامیک‌های معلوم با ضریب‌های ثابت ولی نامعلوم می‌باشند، کنترل تطبیقی بسیار راهگشاست. در روش کنترل تطبیقی، محققان به منظور یادگیری از تجربه‌های سیستم کنترل به دنبال پیدا کردن قانون تطبیقی می‌باشند. باید توجه داشت که روش کنترل تطبیقی را برای سیستم‌های غیرخطی که قابلیت خطی سازی دینامیک‌های آن نسبت به ضریب‌های سیستم را دارا باشند، می‌توان استفاده کرد [۸]. یکی از ضعف‌های روش کنترل تطبیقی در مواجهه با عدم قطعیت‌های

---

<sup>1</sup> Model-based control

<sup>2</sup> Computed torque control

<sup>3</sup> Nonlinear Feedback Control

<sup>4</sup> Computational burden

<sup>5</sup> Nominal model

<sup>6</sup> Uncertainty

<sup>7</sup> Structured

<sup>8</sup> Unstructured



غیرساختاری می‌باشد که در این وضعیت این نوع کنترل‌کننده عملکرد مطلوبی از خود نشان نمی‌دهد [۹]. برای رفع این مشکل، کنترل‌کننده‌های مقاوم پیشنهاد شدند.

کنترل‌کننده‌های مقاوم از قبیل مود لغزشی [۱۰]، پسگام [۱۱]، یادگیری تکرار شونده [۱۲] و مرتبه‌کسری [۱۳] به دلیل عملکرد مطلوب در مواجهه با انواع عدم قطعیت‌های ساختاری و غیرساختاری و همچنین تضمین پایداری سیستم حلقه بسته مورد توجه بسیاری از محققان قرار گرفته‌اند. در ساختار کنترل مود لغزشی، با تعریف سطح لغزش که تابعی از دینامیک‌های خطای سیستم می‌باشد، طراح قصد دارد که خطا به سمت صفر همگرا شود تا هدف کنترلی خود را محقق سازد [۱۴]. یکی از ویژگی‌های منحصربه‌فرد روش کنترل مود لغزشی، علاوه بر جداسازی<sup>۱</sup> سیستم حرکتی به مؤلفه‌های مستقل با ابعاد پایین‌تر، تضمین پایداری یا همگرایی مجانبی است [۱۵]. باید توجه داشت که به دلیل وجود تابع کلیدزنی در قانون کنترل مود لغزشی، لرزش سیگنال کنترل و تحریک دینامیک‌های مدل نشده در سیستم کنترل روی می‌دهد. برای رفع این مشکل، طرح‌های غلبه بر لرزش سیگنال کنترل مورد توجه برخی از محققان قرار گرفته‌اند [۱۶]. هرچند بکارگیری این روش‌ها به پایداری محدود نهایی یکنواخت<sup>۲</sup> منجر می‌شود. به منظور دستیابی به همگرایی سریع در زمان محدود<sup>۳</sup>، کنترل‌کننده‌های مود لغزشی ترمینال<sup>۴</sup> [۱۷] پیشنهاد شده‌اند. در کنترل مود لغزشی ترمینال از عبارت غیرخطی در سطح لغزش استفاده می‌شود تا رویه<sup>۵</sup> طراحی شده به عنوان جاذب، همگرایی خطای ردگیری در زمان محدود را فراهم کند. جنبه‌های مختلف کنترل مود لغزشی مرسوم از قبیل مشکل تکین بودن و لرزش سیگنال کنترل و نیازمندی به دانش اولیه در مورد دینامیک سیستم تحت کنترل توسط محققان مورد بررسی و تحقیق قرار گرفته‌اند. به منظور رفع مشکل تکین شدن کنترل‌کننده‌های کلاسیک مود لغزشی ترمینال، روش‌های مختلفی پیشنهاد شده‌اند. در مرجع

---

<sup>1</sup> Decoupling

<sup>2</sup> Uniformly Ultimately boundedness stability

<sup>3</sup> Fast finite-time convergence

<sup>4</sup> Terminal sliding mode control

<sup>5</sup> Manifold

[۱۸]، مود لغزشی ترمینال برای سیستم‌های خطی چند ورودی - چند خروجی پیشنهاد شده است بدین صورت که از طرح غیرمستقیم برای جلوگیری از تکین شدن با کلیدزنی از رویه لغزشی ترمینال به رویه لغزشی خطی استفاده می‌شود. روش جایگزین در مرجع [۱۹] پیشنهاد شده است تا مسیر را بر روی یک ناحیه باز مشخص هدایت کنند که در آن کنترل مود لغزشی ترمینال تکین نشود. تمامی کنترل‌کننده‌های ناتکین مود لغزشی ترمینال نیازمند کنترل ناپیوسته برای تضمین همگرایی در زمان محدود می‌باشند. لرزش سیگنال کنترل به علت عملکرد کنترل ناپیوسته بوجود آمده و در بسیاری از کاربردها نامطلوب می‌باشد. به منظور رفع این مشکل، مرجع [۲۰] طرح کنترلی زمان محدود پیوسته برای بازوی رباتیک با بهره‌گیری از شکل جدیدی از لغزش ترمینال پیشنهاد داده است به نحوی که همگرایی زمان محدود به لایه مرزی در حضور اختلال و اغتشاش خارجی تضمین می‌شود. هرچند باید توجه داشت که کنترل‌کننده‌های فوق به مدل معلوم بازوی رباتیک وابسته هستند و نیازمند محاسبه سنگین ماتریس رگرسیون توابع ربات می‌باشند.

کنترل‌کننده پسگام یکی دیگر از روش‌های موثر کنترل مقاوم می‌باشد. ایده اصلی طراحی پسگام این است که توابع مناسب از متغیرهای حالت، به صورت بازگشتی به عنوان ورودی‌های مجازی برای زیرسیستم‌هایی با ابعاد پایین‌تر از سیستم نهایی انتخاب می‌شوند [۲۱] تا نه تنها سیستم ناپایدار با پسخور گرفتن از حالت‌های سیستم و اعمال آن‌ها به قانون کنترل، پایدار شود، بلکه تابع لیاپانوف سیستم غیرخطی نیز در دسترس طراح قرار گیرد. یکی از چالش‌های روش کنترل پسگام در بسیاری از تحقیقات [۲۲-۲۳]، مشکل تکین شدن<sup>۱</sup> برای توابع بهره<sup>۲</sup> می‌باشد. در این وضعیت طراحان مجبور هستند که این توابع را ثابت و یا معلوم فرض کنند. اما در بسیاری از کاربردهای عملی این فرضیات نمی‌توانند برقرار باشند. برای رفع این مشکل، مرجع [۲۴] توابع بهره را نامعلوم فرض کرده و ساختار شبکه‌عصبی طوری تنظیم می‌شود که این توابع تقریب زده شوند. هرچند برای جلوگیری از واگرایی

---

<sup>1</sup> Singularity

<sup>2</sup> Gain functions

وزن‌های شبکه‌عصبی در حین تنظیم برخط<sup>۱</sup>، از تصویرسازی‌های ناپیوسته<sup>۲</sup> با کران‌های ساختگی<sup>۳</sup> در طراحی استفاده می‌شود. در مرجع [۲۵]، توابع بهره نامعلوم فرض شده و طراحی پسگام طوری انجام می‌شود که از روش‌های تطبیقی شبکه‌عصبی بهره می‌برد. هرچند به دلیل معرفی تابع لیاپانوف از نوع انتگرالی، این طرح بسیار پیچیده می‌باشد. در ادامه مرجع [۲۶] روش ساده‌تری را پیشنهاد داده است، اما به دلیل وجود مشتق‌های کنترل‌کننده‌های مجازی در ساختار شبکه‌عصبی، حجم محاسباتی آن زیاد است. روش کنترل تطبیقی پسگام پیشنهادی در مرجع [۲۱] با بهره‌گیری از شبکه‌عصبی تابع پایه شعاعی<sup>۴</sup> هم ساختار ساده‌ای داشته و هم مشکل تکین شدن را برطرف کرده است. از دیگر مشکلات طراحی کنترل مقاوم پسگام، وجود پدیده‌ای به نام " انفجار پیچیدگی"<sup>۵</sup> می‌باشد که هرچه مرتبه سیستم غیرخطی افزایش یابد، به دلیل مشتق‌گیری از ورودی‌های کنترل مجازی، ساختار کنترل‌کننده بسیار پیچیده خواهد شد [۲۷]. برای رفع مشکل انفجار پیچیدگی، طرح کنترلی پسگام تطبیقی عصبی برای اولین بار در مرجع [۲۸] با بهره‌گیری از روش کنترل صفحه دینامیکی<sup>۶</sup> برای سیستم‌های غیرخطی نامعلوم یک ورودی - یک خروجی پیشنهاد شد. پس از آن چندین روش کنترل صفحه دینامیکی پسگام فازی تطبیقی [۲۹] و عصبی تطبیقی [۳۰] توسعه و گسترش یافته است.

کنترل یادگیری تکرارشونده<sup>۷</sup> به عنوان روش کنترل پیشخورد، از دیگر روش‌های کنترل مقاوم می‌باشد [۳۱]. در این نوع از کنترل‌کننده‌ها، کاهش خطای ردگیری برای بهبود عملکرد سیستم‌هایی که وظایف تکراری انجام می‌دهند به صورت مرحله به مرحله صورت می‌گیرد. به این صورت که ورودی جبرانی در هر تکرار، تخمین زده می‌شود تا خطا در هر مرحله کاهش یابد و نهایتاً خطای ردگیری

---

<sup>1</sup> Online tuning

<sup>2</sup> Discontinuous projections

<sup>3</sup> fictitious bounds

<sup>4</sup> Radial-basis-function neural network

<sup>5</sup> Explosion of complexity

<sup>6</sup> Dynamic surface control

<sup>7</sup> Iterative Learning Control

کمینه شود. یکی از مزیت‌های کنترل یادگیری تکرارشونده، تضمین همگرایی خطا در طول بازه می‌باشد زیرا اطلاعات آزمایش پیشین دینامیک‌های سیستم و خطای ردگیری در هر گام زمانی، در آزمایش بعدی تاثیر می‌گذارد [۳۲]. طراحی مناسب مسیر پیشخورد، باعث کاهش پیچیدگی‌های کنترل‌کننده‌های پسخورد می‌شود. بنابراین، در این روش کنترلی علاوه بر این که کنترل‌کننده پسخورد پایداری سیستم را تضمین می‌کند، کنترل یادگیری تکرارشونده عملکرد سیستم را بهبود می‌بخشد [۳۱]. الگوریتم بروزرسانی کنترل یادگیری مرسوم با استفاده از خطا و ورودی سیکل پیشین به صورت زیر است:

$$u_{k+1}(t) = u_k(t) + f(e_k(t)) \quad (1-1)$$

که در آن  $k$ ، اندیس سیکل،  $u_{k+1}(t)$  خروجی کنترل‌کننده سیکل کنونی و  $e_k(t)$  خطای ردگیری سیکل پیشین می‌باشد. با طراحی انواع مختلف  $f(e_k(t))$ ، الگوریتم‌های یادگیری متنوعی وجود دارد. برای مثال در مراجع [۳۳] و [۳۴] به ترتیب کنترل تناسبی - انتگرالی - مشتقی<sup>۱</sup> و کنترل‌کننده یادگیری در حوزه فرکانس لاپلاس طراحی شده است. در [۳۵] از سری فوریه برای تقریب مشخصه ورودی و خروجی دینامیک سیستم و الگوریتم کنترلی یادگیری تکرارشونده بر اساس ماتریس نگاشت ورودی - خروجی پیشنهاد شده است. در مرجع [۳۶] کنترل‌کننده یادگیری برای ردگیری بازوی رباتیک پیشنهاد شده است. این طرح از بی-اسپلاین‌ها<sup>۲</sup> برای تقریب تابع شکل‌دهنده ورودی پیشخورد بهره می‌برد. ادعا شده است که این روش از پس سخت‌ترین غیرخطی‌ها برخوردار است و نرخ همگرایی الگوریتم پنج تا شش برابر سریعتر از بسیاری از الگوریتم‌های دیگر عمل می‌کند.

باید توجه داشت که اکثر کنترل‌کننده‌های مقاوم طراحی شده در حوزه سیستم‌های غیرخطی و رباتیک کنترل مرتبه صحیح<sup>۳</sup> می‌باشند. در دهه‌های اخیر با پیشرفت‌های صورت گرفته در حوزه

<sup>1</sup> Proportional-Integral-Derivative

<sup>2</sup> B-splines

<sup>3</sup> Integer order controllers

محاسبات کسری<sup>۱</sup>، محققان دریافتند که مشتق‌گیری و انتگرال‌گیری مرتبه‌کسری را می‌توان برای کاربردهای کنترلی به منظور طراحی انعطاف‌پذیر کنترل‌کننده‌های تناسبی - انتگرالی - مشتقی استفاده کرد [۳۷]. یکی از مشکلات سیستم‌های کنترل مرتبه‌کسری، دشواری تحلیل پایداری سیستم حلقه بسته می‌باشد. به این دلیل که معادله سیستم حلقه بسته تابع شبه چندجمله‌ای<sup>۲</sup> با توان‌های کسری می‌باشد که طراح نمی‌تواند با روش‌های معمول به تجزیه و تحلیل پایداری سیستم حلقه بسته پردازد [۳۸]. بنابراین روش‌های هندسی از قبیل نایکوئیست<sup>۳</sup> برای بررسی پایداری ورودی محدود - خروجی محدود<sup>۴</sup> برای اینگونه سیستم‌های کنترل توسعه یافته‌اند. برای سیستم‌های دیفرانسیل مرتبه‌کسری خطی با ابعاد محدود به فرم فضای حالت، پایداری‌های داخلی و خارجی در مرجع [۳۹] مورد مطالعه قرار گرفته است. همچنین در مرجع [۳۸]، پایداری زمان محدود برای کنترل کسری تناسبی - مشتقی بازوهای رباتیک بررسی شده است.

یکی از چالش‌های اساسی پیش روی محققان در طراحی بسیاری از کنترل‌کننده‌های مقاوم مرسوم بازوهای رباتیک، انتخاب صحیح و منطقی ضریب‌های حدود عدم قطعیت یا توابع محدودیت به منظور تکمیل قانون کنترل می‌باشد [۴۰]. انتخاب بزرگ حدود عدم قطعیت‌ها می‌تواند منجر به افزایش خطای ردگیری و انتخاب کوچک حدود عدم قطعیت‌ها می‌تواند سبب اشباع ورودی و لرزش سیگنال در کنترل‌کننده‌های سوئیچ‌زنی شود.

با بهره‌گیری از خاصیت تقریب‌گر عمومی<sup>۵</sup>، کنترل‌کننده‌های پیشرفته از قبیل سیستم‌های فازی [۴۱-۴۳] و شبکه‌های عصبی [۴۴-۴۵] که عمدتاً به قوانین تطبیقی مجهز هستند، مورد توجه بسیاری از محققین قرار گرفته‌اند. به منظور طراحی کنترل‌کننده تطبیقی غیرمستقیم، توابع نامعلوم غیرخطی با استفاده از سیستم‌های فازی [۴۲-۴۳] و شبکه‌های عصبی [۴۵] تقریب زده می‌شوند تا

---

<sup>1</sup> Fractional calculus

<sup>2</sup> Pseudo-polynomial

<sup>3</sup> Nyquist

<sup>4</sup> Bounded-Input Bounded-Output (BIBO)

<sup>5</sup> Universal approximator

قانون کنترل تکمیل و عملکرد سیستم کنترل در مواجهه با عدم قطعیت‌های ساختاری و غیرساختاری قابل قبول باشد. از سوی دیگر، سیستم‌های فازی [۴۱] و شبکه‌های عصبی [۴۴] را می‌توان مستقیماً به عنوان کنترل‌کننده استفاده کرد به نحوی که برای دستیابی به کاهش خطای ردگیری، ضریب‌های کنترل‌کننده به صورت تطبیقی تنظیم شوند.

باید توجه داشت که بسیاری از طرح‌های کنترلی پیشنهاد شده برای کنترل بازوهای ربات، بر مبنای راهبرد کنترل گشتاور<sup>۱</sup> توسعه پیدا کرده‌اند. از جمله چالش‌های اساسی پیش روی طراحان کنترل، عدم کنترل مستقیم گشتاورهای مفاصل، مشکل در پیاده‌سازی عملی و صرف‌نظر کردن از دینامیک محرکه‌ها در راهبرد کنترل گشتاور می‌باشد [۴۶]. برخی از محققان به منظور در نظر گرفتن دینامیک محرکه‌ها، سیستم رباتیک تجمیع شده<sup>۲</sup> یا به عبارت ساده‌تر، تمامی دینامیک‌های بازوی رباتیک و محرکه‌ها را در پیشنهاد قانون کنترل مورد توجه قرار داده‌اند [۴۷-۴۸]. به منظور در نظر گرفتن نقش محرکه‌ها، راهبرد کنترل ولتاژ<sup>۳</sup> برای اولین بار در مرجع [۴۹] برای کنترل بازوی رباتیک پیشنهاد شده است. نباید فراموش کرد که بازوی رباتیک توسط محرکه‌ها حرکت داده می‌شود. بنابراین، به منظور کنترل بازوی ربات، محرکه‌های آن باید کنترل شوند. موتورهای الکتریکی به وسیله ولتاژهای اعمالی به عنوان ورودی سیستم، کنترل می‌شوند. بر همین اساس راهبرد کنترل ولتاژ برای کنترل بازوهای رباتیک مجهز به موتورهای الکتریکی پیشنهاد گردید. از جمله مزایای راهبرد کنترل ولتاژ می‌توان، دقت بالا، سرعت محاسبات بالا اشاره نمود [۵۰].

در دهه‌های گذشته، ردگیری مسیر در فضای مفصلی<sup>۴</sup> در بسیاری از طراحی‌های کنترل در نظر گرفته شده است [۵۱-۵۲]. در موقعیت‌های مختلف عملی، مجری نهایی<sup>۵</sup> بازوی رباتیک باید مسیر

---

<sup>1</sup> Torque control strategy

<sup>2</sup> Integrated robotic system

<sup>3</sup> Voltage control strategy

<sup>4</sup> Joint-space

<sup>5</sup> End-effector

تعریف شده در مختصات دکارتی<sup>۱</sup> را طی کند. به منظور تبدیل فضای مختصات مفصلی به مختصات دکارتی، استفاده از الگوریتم‌های سینماتیکی معکوس یا شبه معکوس<sup>۲</sup> اجتناب‌ناپذیر است [۵۳]. از طرفی در اکثر تحقیقات مرتبط با کنترل ربات، سینماتیک دقیق و ماتریس ژاکوبین بازوی رباتیک باید از قبل معلوم باشد. باید توجه داشت که وقتی اشیا یا ابزار با طول‌های متفاوت و جهت‌های نامعلوم توسط مجری نهایی برداشته شوند، سینماتیک کلی تغییر کرده و تعیین دقیق آن بسیار دشوار خواهد بود. برای حل این مشکل، بعضی از محققان توجه خود را به تقریب ماتریس ژاکوبین و سینماتیک جلب کرده‌اند [۵۴-۵۹]. کنترل‌کننده‌های ژاکوبین تطبیقی [۵۴] و [۵۶] به منظور رفع نیاز به دانستن دقیق در مورد سینماتیک و ماتریس ژاکوبین برای کنترل تنظیم نقطه<sup>۳</sup> پیشنهاد شده‌اند. برای کنترل ردگیری در فضای کار، طرح کنترل تناسبی - مشتقی - انتگرالی مود لغزشی [۵۹] و کنترل پسگام تطبیقی [۵۸] به منظور غلبه بر عدم قطعیت‌های بازوی رباتیک طراحی شده‌اند. به منظور در نظر گرفتن عدم قطعیت بازوی رباتیک و ضریب‌های موتور، کنترل ژاکوبین تطبیقی [۵۵] مورد مطالعه قرار گرفت. همچنین در مرجع [۵۷]، کنترل‌کننده عصبی تطبیقی برای سیستم رباتیک با سینماتیک و دینامیک نامعلوم پیشنهاد شد. این روش کنترلی برای تقریب دینامیک‌های بازو و عدم قطعیت محرکه‌ها، از سه کنترل‌کننده که مجهز به شبکه‌های عصبی سه لایه می‌باشند، استفاده می‌کند. باید توجه داشت که برخلاف مراجع [۶۰] و [۶۱]، در برخی از روش‌های کنترلی ارائه شده در فضای کار، استفاده از ماتریس رگرسور در ساختار کنترل‌کننده اجتناب‌ناپذیر است [۶۲-۶۳]. در نتیجه برای روش‌های ارائه شده، حجم محاسباتی بالایی انتظار می‌رود. مقایسه‌ای بین بعضی از روش‌های کنترل ردگیری در فضای کار در جدول (۱-۱) آورده شده است.

اخیراً طرح کنترل آزاد از رگرسور برای بازوهای رباتیک و بر اساس تکنیک‌های تقریب تابع بر اساس سری فوریه ارائه شده است [۶۴]. معادله ماتریسی ربات به مجموعه‌ای از معادلات دیفرانسیل

<sup>1</sup> Cartesian coordinates

<sup>2</sup> Pseudo-inverse

<sup>3</sup> Set-point

غیرخطی مرتبه دو بازنویسی می‌شود و برای هر زیر سیستم مسیر مطلوب مورد نظر آن توسط سری فوریه تخمین رده می‌شود تا گشتاور تولیدی به گشتاور مطلوب نزدیک شود. دوره تناوب اساسی و تعداد فرکانس‌ها ضریب‌های مهمی هستند که در عملکرد کنترل‌کننده تاثیر بسزایی دارند. افزایش تعداد جملات سری فوریه خطای تقریب را کمتر می‌کند. در حالی که محدودیت‌های سخت‌افزاری از قبیل فضای حافظه اجازه افزایش دلخواه جملات سری فوریه را نمی‌دهد. به منظور مصالحه رضایت‌بخش بین محدودیت‌های سخت‌افزاری و دقت، جملات سری‌های فوریه باید به دقت انتخاب شود.

کنترل مقاوم بازوی رباتیک با استفاده از چندجمله‌ای‌های لژاندر برای تخمین عدم قطعیت پیشنهاد شده است [۶۵]. در این روش با استفاده از ترکیب وزن‌دار شده چندجمله‌ای‌های لژاندر، کران عدم قطعیت به طور تطبیقی تقریب زده می‌شود. به این نحو که کران عدم قطعیت معرفی می‌شود و چندجمله‌ای لژاندر برای تقریب آن به کار می‌رود و در نهایت قانون کنترل به فرم مفصل مستقل پیشنهاد می‌شود. باید توجه داشت که تعداد بهینه ضریب‌های لژاندر با سعی و خطا انتخاب می‌شود که یکی از چالش‌های روش پیشنهادی می‌باشد.

دستیابی به عملکرد کنترلی مطلوب برای بازوهای رباتیک با مفاصل انعطاف‌پذیر چالش اساسی برای محققان به شمار می‌رود. به این دلیل که موقعیت محرکه نمی‌تواند به طور مستقیم توسط موقعیت بازو دنبال شود. در واقع به دلیل انعطاف‌پذیری مفاصل، تعداد درجات آزادی دو برابر وضعیتی است که مفاصل ربات صلب در نظر گرفته شوند [۶۶]. بنابراین انعطاف‌پذیری مفاصل باید در مدلسازی و کنترل بازوهای رباتیک در نظر گرفته شود [۶۷]. به دلیل مشکلات جدی از قبیل تزویج، غیرخطی‌ها، عدم قطعیت‌های ساختاری و غیرساختاری، انعطاف‌پذیری مفاصل و پیچیده بودن مدل، توجه بسیاری از محققان به کنترل غیرخطی ربات‌ها با مفاصل انعطاف‌پذیر جلب شده است. برای عملکرد تنظیم نقطه، کنترل تنظیم تکرار شونده [۶۸] و کنترل‌کننده تناسبی - مشتقی با بهره‌گیری



از عبارت ثابت جبران گرانش [۶۹] و جبران ساز برخط گرانش [۷۰] طراحی شدند. روش خطی سازی پسخورد غیرخطی [۷۱] برای ردگیری مسیر مطلوب با کاهش بازوی رباتیک با مفاصل انعطاف پذیر به مدل استاندارد ربات با مفاصل صلب بگونه‌ای پیشنهاد شده است که سختی مفاصل به سمت بی نهایت همگرا شود. طرح کنترل غیرخطی [۷۲] و کنترل تطبیقی عصبی [۷۳] با استفاده از نظریه آشفتگی تکین<sup>۱</sup> به منظور تجزیه سیستم منعطف با مرتبه کامل به زیرسیستم‌های سریع و کند پیشنهاد شدند. در مراجع [۷۴] و [۷۵]، به ترتیب روش کنترلی مود لغزشی تطبیقی بر اساس طراحی مبتنی بر پسگام و روش کنترل همگام‌سازی<sup>۲</sup> مبتنی بر طراحی رهبر - پیرو<sup>۳</sup> برای ربات تک بازو طراحی شده است. برای غلبه بر عدم قطعیت‌های ساختاری و اغتشاش خارجی، کنترل کننده ردگیری پسخورد خروجی تطبیقی مقاوم [۷۶] پیشنهاد شده است. همچنین با بهره‌گیری از راهبرد کنترل ولتاژ، کنترل مقاوم برای بازوی رباتیک مفصل منعطف پیشنهاد شده است [۷۷]. در جدول (۱-۲) مقایسه‌ای بین بعضی روش‌های کنترل ردگیری برای بازوهای رباتیک با مفاصل انعطاف پذیر ارائه شده است.

---

<sup>۱</sup> Singular perturbation theory

<sup>۲</sup> Synchronization control scheme

<sup>۳</sup> Master-slave design

جدول ۱-۱ مقایسه بین بعضی از روش‌های کنترل ردگیری در فضای کار

روش کنترل	ورودی کنترل (گشتاور/ولتاژ)	در نظر گرفتن دینامیک محرکه‌ها	ژاکوبین / سینماتیک دقیق	جبران عدم قطعیت غیرساختاری	توابع محدودیت	ماتریس رگر سور	نوع پایداری
[۵۵]	ولتاژ	در نظر گرفته شده	نیازی ندارد / نیازی ندارد	جبران نمی‌شود	نیازی ندارد	نیاز دارد	همگرایی مجانبی
[۵۷]	ولتاژ	در نظر گرفته شده	نیازی ندارد / نیازی ندارد	جبران می‌شود	نیاز دارد	نیاز دارد	پایداری نهایی یکنواخت
[۶۰]	ولتاژ	در نظر گرفته شده	نیازی ندارد / نیازی ندارد	جبران می‌شود	نیازی ندارد	نیازی ندارد	ورودی محدود - خروجی محدود
[۵۳]	گشتاور	صرف نظر شده	نیاز دارد / نیازی ندارد	جبران می‌شود	نیاز دارد	نیازی ندارد	همگرایی زمان محدود
[۵۸]	گشتاور	صرف نظر شده	نیازی ندارد / نیاز دارد	جبران می‌شود	نیازی ندارد	نیاز دارد	همگرایی مجانبی
[۶۱]	گشتاور	صرف نظر شده	نیاز دارد / نیاز دارد	جبران می‌شود	نیاز دارد	نیازی ندارد	همگرایی مجانبی
[۶۲]	گشتاور	صرف نظر شده	نیازی ندارد / نیاز دارد	جبران نمی‌شود	نیازی ندارد	نیاز دارد	همگرایی مجانبی
[۵۹]	گشتاور	صرف نظر شده	نیازی ندارد / نیازی ندارد	جبران می‌شود	نیازی ندارد	نیازی ندارد	همگرایی نمایی <sup>۱</sup>
[۶۳]	گشتاور	صرف نظر شده	نیازی ندارد / نیازی ندارد	جبران نمی‌شود	نیازی ندارد	نیاز دارد	همگرایی مجانبی

<sup>1</sup> Exponential convergence

جدول ۱-۲ مقایسه بین بعضی از روش‌های کنترل ردگیری بازوهای رباتیک با مفاصل انعطاف‌پذیر

روش کنترل	ورودی کنترل (گشتاور/ولتاژ)	در نظر گرفتن دینامیک محركه‌ها	تنظیم نقطه / ردگیری	عدم قطعیت‌های غیر ساختاری	توابع محدودیت	ربات تک بازو / چند بازو	نوع پایداری
[۷۱]	گشتاور	صرف نظر شده	ردگیری	جبران نمی‌شود	نیاز دارد	تک بازو	پایداری مجانبی <sup>۱</sup>
[۶۹]	گشتاور	صرف نظر شده	تنظیم نقطه	جبران نمی‌شود	نیاز ندارد	چند بازو	پایداری مجانبی
[۶۸]	ولتاژ	در نظر گرفته شده	تنظیم نقطه	جبران نمی‌شود	نیازی ندارد	چند بازو	پایداری مجانبی
[۷۴]	گشتاور	صرف نظر شده	ردگیری	جبران می‌شود	نیاز ندارد	تک بازو	پایداری نهایی یکنواخت
[۷۰]	گشتاور	صرف نظر شده	تنظیم نقطه	جبران نمی‌شود	نیازی ندارد	چند بازو	همگرایی مجانبی
[۷۷]	ولتاژ	در نظر گرفته شده	ردگیری	جبران می‌شود	نیاز دارد	چند بازو	پایداری نهایی یکنواخت
[۷۶]	گشتاور	صرف نظر شده	ردگیری	جبران می‌شود	نیاز دارد	چند بازو	پایداری مجانبی
[۷۵]	گشتاور	صرف نظر شده	ردگیری	جبران نمی‌شود	نیازی ندارد	تک بازو	پایداری نهایی یکنواخت

<sup>1</sup> Asymptotic stability

## ۱-۲- اهداف تحقیق

هدف این رساله کنترل مبتنی بر سری تیلور بازوهای رباتیک می‌باشد. در این تحقیق برای اولین بار سری تیلور به عنوان تقریب‌گر عمومی معرفی می‌شود و با بهره‌گیری از ساختار ساده اما در عین حال قدرتمند خود در دو طرح کنترلی و در دو فضای مفصلی و فضای کار بازوی رباتیک توسعه پیدا می‌کنند:

- استفاده از سری تیلور به عنوان تقریب‌گر عدم قطعیت.
- استفاده از سیستم سری تیلور به عنوان کنترل کننده.

هر دو طرح کنترلی از مکانیزم‌های تطبیقی بهره می‌برند که مستقیماً از تحلیل پایداری بدست می‌آیند. در این پایان‌نامه طرح‌های کنترلی بر مبنای پایداری محدود نهایی یکنواخت و همگرایی مجانبی پیشنهاد می‌شوند. همچنین عملکرد کنترل کننده‌های پیشنهادی بر روی بازوی رباتیک با مفاصل صلب و انعطاف‌پذیر مورد بررسی و تحقیق قرار می‌گیرد.

## ۱-۳- مروری بر ساختار پایان‌نامه

در ادامه فصل‌های دیگر این پایان‌نامه به ترتیب زیر تنظیم شده‌اند:

در فصل دوم علاوه بر نشان دادن خاصیت منحصر به فرد سری تیلور به عنوان تقریب‌گر عمومی، با در نظر گرفتن سیستم رباتیک با دینامیک‌های تجمیع شده بازوها و موتورها، روش کنترلی مقاوم با بهره‌گیری از تقریب‌گر عدم قطعیت تطبیقی سری تیلور ارائه می‌شود. در فصل سوم از تقریب‌گر سری تیلور به منظور تقریب تابع غیرخطی نامعلوم در ساختار کنترل مود لغزشی استفاده می‌شود. پایداری محدود نهایی یکنواخت خطای ردگیری و مشتق زمانی روش‌های کنترلی فصل‌های اول و دوم تضمین می‌شود. در فصل چهارم، دو طرح کنترلی تطبیقی مستقیم و غیرمستقیم در فضای مفصلی

برای ردگیری مجانبی بازوی رباتیک پیشنهاد می‌شود. در فصل پنجم طرح‌های کنترلی فصل سوم در فضای کار برای سیستم رباتیک توسعه و گسترش پیدا می‌کنند. در فصل ششم با بهره‌گیری از راهبرد کنترل ولتاژ، طرح تطبیقی غیرمستقیم به منظور کنترل ردگیری مجانبی در فضای مفصلی و فضای کار بازوهای رباتیک پیشنهاد می‌شود. در این روش از تقریب‌گر سری تیلور به منظور تقریب عدم قطعیت جمعی و از تقریب‌گر فازی به منظور تقریب کران بالای خطای مدلسازی استفاده می‌شود. در فصل هفتم کنترل‌کننده سری تیلور - فازی به منظور همگرایی مجانبی خطای ردگیری در بازوهای رباتیک با مفاصل انعطاف‌پذیر طراحی می‌شود. در فصل هشتم نتیجه‌گیری نهایی و پیشنهادات ارائه می‌شود. همچنین در پیوست ۱ پایان‌نامه، مدلسازی سینماتیکی و دینامیکی بازوی رباتیک چهارمحوره اسکارای متصل به دیوار به طور خلاصه آورده شده است. در پیوست ۲ نیز قضیه مرتبط با فصل دوم پایان‌نامه آورده شده است.



فصل ۲. تقریب و جبران تطبیقی عدم قطعیت با سیستم سری تیلور برای کنترل  
مقاوم ربات

## ۲-۱- مقدمه

در این فصل با بهره‌گیری از طراحی تقریب‌گر عدم‌قطعیت تطبیقی سری تیلور، کنترل‌کننده مقاوم جدید برای بازوهای رباتیک با در نظر گرفتن دینامیک‌های محرکه طراحی می‌شود. تقریب‌گر، ساختاری ساده و مستقل از مدل دارد که به صورت مفصل مستقل توسعه پیدا می‌کند. در واقع علاوه بر فرآیند تقریب، عدم‌قطعیت به طور موثر در سیستم کنترل جبران‌سازی می‌شود. در مقایسه با بسیاری از روش‌های کنترل مقاوم سنتی، کنترل‌کننده پیشنهادی نیازی به توابع محدودیت برای کامل کردن ساختار کنترل‌کننده ندارد. روش کنترل پیشنهادی با بهره‌گیری از تحلیل پایداری، علاوه بر تضمین محدودیت تمام سیگنال‌ها، پایداری محدود نهایی یکنواخت خطای ردگیری و مشتق زمانی آن را نیز تضمین می‌کند. اثربخشی طرح کنترلی پیشنهادی توسط شبیه‌سازی بر روی بازوی رباتیک اسکارا و مقایسه با روش کنترل مقاوم مود لغزشی ترمینال نشان داده می‌شود.

## ۲-۲- تشریح مسئله

معادلات دینامیکی بازوی رباتیک با در نظر گرفتن موتور جریان مستقیم مغناطیس دائم بدین صورت نمایش داده می‌شود [۷۸]:

$$D(q)\ddot{q} + C(q, \dot{q})\dot{q} + g(q) = \tau_r - \tau_f(\dot{q}) \quad (1-2)$$

$$J_m r^{-1} \ddot{q} + B_m r^{-1} \dot{q} + r \tau_r = K_m I_a \quad (2-2)$$

$$R I_a + L \dot{I}_a + K_b r^{-1} \dot{q} + \varphi = v \quad (3-2)$$

که در آن  $q \in \mathbb{R}^n$  بردار موقعیت‌های مفصلی،  $D(q) \in \mathbb{R}^{n \times n}$  ماتریس اینرسی بازوی رباتیک،  $C(q, \dot{q}) \dot{q} \in \mathbb{R}^n$  بردار گشتاورهای کوریولیس و مرکز‌گرا،  $g(q) \in \mathbb{R}^n$  بردار گشتاورهای گرانشی،  $\tau_r \in \mathbb{R}^n$  بردار گشتاورهای اصطکاک،  $\tau_f(\dot{q}) \in \mathbb{R}^n$  بردار گشتاور مفاصل،



به نام‌های اینرسی، میرایی و کاهنده چرخ‌دنده می‌باشند.  $\mathbf{K}_m \in \mathbb{R}^{n \times n}$  ماتریس قطری ثابت‌های گشتاور،  $\mathbf{I}_a \in \mathbb{R}^n$  بردار جریان‌های موتور،  $\mathbf{v} \in \mathbb{R}^n$  بردار ولتاژهای موتور و  $\boldsymbol{\varphi} \in \mathbb{R}^n$  بردار اغتشاش خارجی می‌باشد. از طرفی  $\mathbf{R} \in \mathbb{R}^{n \times n}$ ،  $\mathbf{L} \in \mathbb{R}^{n \times n}$  و  $\mathbf{K}_b \in \mathbb{R}^{n \times n}$  به ترتیب بیانگر ماتریس‌های قطری برای ضریب‌های مقاومت آرمیچر، اندوکتانس و ثابت ضد محرکه می‌باشند. توجه کنید که بردارها و ماتریس‌ها با قلم درشت<sup>۱</sup> در تمام پایان‌نامه توصیف می‌شود. با استفاده از معادلات (۱-۲) تا (۳-۲) می‌توان مدل فضای حالت را بدین شکل بدست آورد:

$$\dot{\mathbf{x}} = \mathbf{f}(\mathbf{x}) + \mathbf{b}(\mathbf{v} - \boldsymbol{\varphi}) \quad (۴-۲)$$

که در آن  $\mathbf{v}$  ورودی‌های سیستم،  $\mathbf{x}$  بردار متغیرهای سیستم و  $\mathbf{f}(\mathbf{x})$  بیانگر تابع غیرخطی می‌باشد که بدین صورت فرمول‌بندی می‌شود:

$$\mathbf{f}(\mathbf{x}) = \begin{bmatrix} \mathbf{x}_2 \\ (\mathbf{J}_m \mathbf{r}^{-1} + \mathbf{r} \mathbf{D}(\mathbf{x}_1))^{-1} \mathbf{H}(\mathbf{x}) \\ -\mathbf{L}^{-1}(\mathbf{K}_b \mathbf{r}^{-1} \mathbf{x}_2 + \mathbf{R} \mathbf{x}_2) \end{bmatrix} \quad (۵-۲)$$

$$\mathbf{H}(\mathbf{x}) = \left( -(\mathbf{B}_m \mathbf{r}^{-1} + \mathbf{r} \mathbf{C}(\mathbf{x}_1, \mathbf{x}_2)) \mathbf{x}_2 - \mathbf{r} \mathbf{g}(\mathbf{x}_1) + \mathbf{K}_m \mathbf{x}_3 - \mathbf{r} \boldsymbol{\tau}_f(\mathbf{x}_2) \right), \mathbf{b} = \begin{bmatrix} \mathbf{0} \\ \mathbf{0} \\ \mathbf{L}^{-1} \end{bmatrix}, \mathbf{x} = \begin{bmatrix} \mathbf{q} \\ \dot{\mathbf{q}} \\ \mathbf{I}_a \end{bmatrix} \quad (۶-۲)$$

معادله فضای حالت (۴-۲) نشان‌دهنده سیستم غیرخطی با تزویج بسیار زیاد و فرم غیرهمراه می‌باشد. با استفاده از تغییر حالت، می‌توان فرم همراه را برای بازوی رباتیک با در نظر گرفتن دینامیک‌های محرکه بدست آورد [۷۸]:

$$\mathbf{z}_1 = \mathbf{x}_1 \quad (۷-۲)$$

$$\mathbf{z}_2 = \mathbf{x}_2$$

<sup>۱</sup> Bold font (letter)

$$\mathbf{z}_3 = (\mathbf{J}_m \mathbf{r}^{-1} + \mathbf{rD}(\mathbf{x}_1))^{-1} \left( -(\mathbf{B}_m \mathbf{r}^{-1} + \mathbf{rC}(\mathbf{x}_1, \mathbf{x}_2)) \mathbf{x}_2 - \mathbf{r}\mathbf{g}(\mathbf{x}_1) + \mathbf{K}_m \mathbf{x}_3 - \mathbf{r}\boldsymbol{\tau}_f(\mathbf{x}_2) \right)$$

که در آن

$$\dot{\mathbf{z}}_1 = \mathbf{z}_2$$

$$\dot{\mathbf{z}}_2 = \mathbf{z}_3$$

$$\dot{\mathbf{z}}_3 = \mathbf{h}(\mathbf{z}_1, \mathbf{z}_2, \mathbf{z}_3) + (\mathbf{J}_m \mathbf{r}^{-1} + \mathbf{rD}(\mathbf{z}_1))^{-1} (\mathbf{K}_m \mathbf{L}^{-1} (-\boldsymbol{\varphi} + \mathbf{u})) \quad (۸-۲)$$

$$\mathbf{z} = \begin{bmatrix} \mathbf{q} \\ \dot{\mathbf{q}} \\ \ddot{\mathbf{q}} \end{bmatrix}$$

و تابع غیرخطی  $\mathbf{h}(\mathbf{z}_1, \mathbf{z}_2, \mathbf{z}_3)$  بدین صورت توصیف می‌شود:

$$\begin{aligned} \mathbf{h}(\mathbf{z}_1, \mathbf{z}_2, \mathbf{z}_3) = & \left( \frac{d}{dt} (\mathbf{J}_m \mathbf{r}^{-1} + \mathbf{rD}(\mathbf{z}_1))^{-1} \right) \left( -(\mathbf{B}_m \mathbf{r}^{-1} + \right. \\ & \left. \mathbf{rC}(\mathbf{z}_1, \mathbf{z}_2)) \mathbf{z}_2 - \mathbf{r}\mathbf{g}(\mathbf{z}_1) - \mathbf{r}\boldsymbol{\tau}_f(\mathbf{z}_2) \right) + \left( \frac{d}{dt} (\mathbf{J}_m \mathbf{r}^{-1} + \right. \\ & \left. \mathbf{rD}(\mathbf{z}_1))^{-1} \right) \left( (\mathbf{J}_m \mathbf{r}^{-1} + \mathbf{rD}(\mathbf{z}_1)) \mathbf{z}_3 + (\mathbf{B}_m \mathbf{r}^{-1} + \mathbf{rC}(\mathbf{z}_1, \mathbf{z}_2)) \mathbf{z}_2 + \right. \\ & \left. \mathbf{r}\mathbf{g}(\mathbf{z}_1) + \mathbf{r}\boldsymbol{\tau}_f(\mathbf{z}_2) \right) (\mathbf{J}_m \mathbf{r}^{-1} + \mathbf{rD}(\mathbf{z}_1))^{-1} \left( -\mathbf{rC}(\mathbf{z}_1, \mathbf{z}_2) \mathbf{z}_2 - \right. \\ & \left. (\mathbf{B}_m \mathbf{r}^{-1} + \mathbf{rC}(\mathbf{z}_1, \mathbf{z}_2)) \mathbf{z}_3 - \mathbf{r}\mathbf{g}(\mathbf{z}_1) - \mathbf{r}\boldsymbol{\tau}_f(\mathbf{z}_2) \right) - (\mathbf{J}_m \mathbf{r}^{-1} + \\ & \left. \mathbf{rD}(\mathbf{z}_1))^{-1} \mathbf{L}^{-1} \mathbf{R} \left( (\mathbf{J}_m \mathbf{r}^{-1} + \mathbf{rD}(\mathbf{z}_1)) \mathbf{z}_3 + (\mathbf{B}_m \mathbf{r}^{-1} + \right. \right. \\ & \left. \left. \mathbf{rC}(\mathbf{z}_1, \mathbf{z}_2)) \mathbf{z}_2 + \mathbf{r}\mathbf{g}(\mathbf{z}_1) + \mathbf{r}\boldsymbol{\tau}_f(\mathbf{z}_2) \right) - (\mathbf{J}_m \mathbf{r}^{-1} + \right. \\ & \left. \mathbf{rD}(\mathbf{z}_1))^{-1} \mathbf{K}_m \mathbf{L}^{-1} \mathbf{K}_b \mathbf{r}^{-1} \mathbf{z}_2 \end{aligned} \quad (۹-۲)$$

در نهایت معادلات دینامیکی سیستم بدین صورت بیان می‌شود:

$$\ddot{\mathbf{q}} = \mathbf{h}(\mathbf{q}, \dot{\mathbf{q}}, \ddot{\mathbf{q}}) + (\mathbf{J}_m \mathbf{r}^{-1} + \mathbf{rD}(\mathbf{q}))^{-1} (\mathbf{K}_m \mathbf{L}^{-1} (\mathbf{u} - \boldsymbol{\varphi})) \quad (۱۰-۲)$$

که در آن  $J_m, r, D(q), K_m$  و  $L$  ماتریس‌های مثبت هستند و  $(J_m r^{-1} + rD(q))^{-1} \neq 0$ . بنابراین فرم همراه در رابطه (۱۰-۲)، کنترل‌پذیری سیستم رباتیک را نتیجه می‌دهد. از طرفی فرم همراه (۱۰-۲)، نشان‌دهنده چالش جدی برای طراحان کنترل به دلیل مدل بسیار پیچیده سیستم رباتیک با در نظر گرفتن دینامیک محرکه‌ها می‌باشد. در بسیاری از پژوهش‌ها، از دینامیک‌های محرکه در پیشنهاد قانون کنترل صرف‌نظر شده است.

### ۲-۳- سیستم سری تیلور به عنوان تقریب‌گر عمومی

بر طبق قضیه تقریب عمومی [۸۶]، در این بخش می‌توان نشان داد که سری تیلور هر تابع غیرخطی پیوسته را با دقت دلخواه تقریب می‌زند. مطابق قضیه تیلور [۸۲]، می‌توان تابع دلخواه  $h(x)$  را توسط چندجمله‌ای  $P_N(x)$  که در آن  $N \in \mathbb{N}$  می‌باشد را بدین شکل تقریب زد:

$$\begin{aligned} P_N(x) &= \sum_{j=0}^N \frac{h^{(j)}(x_0)}{j!} (x - x_0)^j \\ &= h(x_0) + \frac{h^{(1)}(x_0)}{1!} (x - x_0) + \frac{h^{(2)}(x_0)}{2!} (x - x_0)^2 \\ &\quad + \dots + \frac{h^{(N)}(x_0)}{N!} (x - x_0)^N \end{aligned} \quad (۱۱-۲)$$

که در آن  $h$  به اندازه کافی در نقطه  $x_0$  مشتق پذیر فرض می‌شود و  $j = 0, \dots, N$ .

**قضیه ۱.** فرض کنید که ورودی مجموعه مرجع  $U$ ، مجموعه بسته در  $\mathbb{R}^n$  باشد. آنگاه برای هر تابع حقیقی پیوسته داده شده  $g(x)$  در  $U$  و مقدار دلخواه  $\delta > 0$ ، سیستم سری تیلور به فرم رابطه (۱۱-۲) وجود دارد به نحوی که

$$\sup_{x \in U} \left| \sum_{j=0}^N \frac{h^{(j)}(x_0)}{j!} (x - x_0)^j - g(x) \right| < \delta \quad (12-2)$$

به منظور اثبات رابطه (۱۲-۲)، در این فصل از قضیه استون - ویراشتراس [۸۳] استفاده می‌شود.

قضیه ۲ (قضیه استون - ویراشتراس) فرض کنید  $Y$  مجموعه ای از توابع پیوسته حقیقی در مجموعه بسته  $U$  باشد. چنانچه:

(۱)  $Y$  جبر باشد، به این معنا که مجموعه  $Y$  تحت عمل جمع، ضرب و ضرب اسکالر بسته باشد.

(۲)  $Y$  جداکننده نقاط  $U$  باشد. بدین معنا که برای هر  $x, y \in U$  که  $x \neq y$  و  $h \in Y$  وجود دارد به نحوی که  $h(x) \neq h(y)$ .

(۳)  $Y$  در هیچ نقطه ای از  $U$  صفر نشود. بدین معنی که برای هر  $x \in U$  و  $h \in Y$  وجود دارد به نحوی که  $h(x) \neq 0$ . آنگاه برای هر تابع پیوسته حقیقی  $g(x)$  بر روی  $U$  و مقدار دلخواه  $\delta > 0$  و  $h \in Y$  وجود دارد به نحوی که  $\sup_{x \in U} |h(x) - g(x)| < \delta$ .

اثبات قضیه ۱. برای اثبات اینکه سیستم سری تیلور به فرم (۱۱-۲) تقریب‌گر عمومی است، داریم:

۱- الف) بررسی بسته بودن مجموعه  $Y$  تحت عمل جمع

با در نظر گرفتن  $h_1, h_2 \in Y$  داریم:

$$\begin{aligned} h_1(x) &= \sum_{j=0}^N \frac{h_1^{(j)}(x_0)}{j!} (x - x_0)^j \\ &= h_1(x_0) + \frac{h_1^{(1)}(x_0)}{1!} (x - x_0) + \frac{h_1^{(2)}(x_0)}{2!} (x - x_0)^2 \\ &\quad + \dots + \frac{h_1^{(N)}(x_0)}{N!} (x - x_0)^N \end{aligned} \quad (13-2)$$

$$\begin{aligned}
h_2(x) &= \sum_{j=0}^N \frac{h_2^{(j)}(x_0)}{j!} (x - x_0)^j \\
&= h_2(x_0) + \frac{h_2^{(1)}(x_0)}{1!} (x - x_0) + \frac{h_2^{(2)}(x_0)}{2!} (x - x_0)^2 \\
&\quad + \dots + \frac{h_2^{(N)}(x_0)}{N!} (x - x_0)^N
\end{aligned} \tag{۱۴-۲}$$

بنابراین

$$\begin{aligned}
h_1(x) + h_2(x) &= (h_1(x_0) + h_2(x_0)) \\
&\quad + \left( \frac{h_2^{(1)}(x_0)}{1!} + \frac{h_1^{(1)}(x_0)}{1!} \right) (x - x_0) + \dots \\
&\quad + \left( \frac{h_1^{(N)}(x_0)}{N!} + \frac{h_2^{(N)}(x_0)}{N!} \right) (x - x_0)^N
\end{aligned} \tag{۱۵-۲}$$

از آنجایی که می‌توان عبارت  $h_1(x) + h_2(x)$  مطابق رابطه (۱۵-۲) را به شکل (۱۱-۲) نشان داد.

بنابراین  $h_1 + h_2 \in Y$ .

۱- ب) بررسی بسته بودن مجموعه  $Y$  تحت عمل ضرب

$$\begin{aligned}
h_1(x)h_2(x) &= \left( \sum_{j=0}^N \frac{h_1^{(j)}(x_0)}{j!} (x - x_0)^j \right) \left( \sum_{j=0}^N \frac{h_2^{(j)}(x_0)}{j!} (x - x_0)^j \right) \\
&= h_1(x_0)h_2(x_0) \\
&\quad + \left( h_1(x_0) \frac{h_2^{(1)}(x_0)}{1!} + h_2(x_0) \frac{h_1^{(1)}(x_0)}{1!} \right) (x - x_0) \\
&\quad + \dots + \left( \frac{h_1^{(N)}(x_0)h_2^{(N)}(x_0)}{N!N!} \right) (x - x_0)^{2N}
\end{aligned} \tag{۱۶-۲}$$

به دلیل اینکه  $h_1(x)h_2(x) \in Y$  چندجمله‌ای است به نحوی که  $h_1(x)h_2(x) \in Y$  بنابراین تحت عمل ضرب بسته است.

۱-ج) بررسی بسته بودن مجموعه  $Y$  تحت عمل ضرب اسکالر

در نهایت برای هر  $c \in \mathbb{R}$  دلخواه داریم:

$$\begin{aligned} ch_1(x) &= c \left( \sum_{j=0}^N \frac{h_1^{(j)}(x_0)}{j!} (x - x_0)^j \right) \\ &= ch_1(x_0) + \frac{ch_1^{(1)}(x_0)}{1!} (x - x_0) \\ &\quad + \frac{ch_1^{(2)}(x_0)}{2!} (x - x_0)^2 + \dots + \frac{ch_1^{(N)}(x_0)}{N!} (x - x_0)^N \end{aligned} \quad (17-2)$$

که به شکل رابطه (۱۱-۲) می‌باشد به این معنا که  $ch_1(x) \in Y$  در نتیجه  $Y$  جبر است.

۲) حال می‌توان نشان داد که  $Y$  با ساخت سیستم سری تیلور مورد نیاز  $h(x)$ ، جدا کننده نقاط روی

$U$  می‌باشد. فرض کنید  $x_1, x_2 \in U$  دو نقطه دلخواه باشند به نحوی که  $x_1 \neq x_2$ . همچنین تمامی

ضریب‌های  $h(x)$  در رابطه (۴-۷) بصورت  $\frac{h^{(j)}(x_0)}{j!} = 1$  انتخاب می‌شوند. بنابراین سیستم

سری تیلور بدین صورت بازنویسی می‌شود:

$$\begin{aligned} h(x) &= \sum_{j=0}^N (x - x_0)^j \\ &= 1 + (x - x_0) + (x - x_0)^2 + \dots + (x - x_0)^N \end{aligned} \quad (18-2)$$

که از آن داریم:

$$\begin{aligned} h(x_1) &= \sum_{j=0}^N (x_1 - x_0)^j \\ &= 1 + (x_1 - x_0) + (x_1 - x_0)^2 + \dots + (x_1 - x_0)^N \end{aligned} \quad (19-2)$$

$$h(x_2) = \sum_{j=0}^N (x_2 - x_0)^j \quad (20-2)$$

$$= 1 + (x_2 - x_0) + (x_2 - x_0)^2 + \dots + (x_2 - x_0)^N$$

به دلیل آنکه  $x_1 \neq x_2$  و مطابق روابط (2-19) و (2-20)، می توان نتیجه گرفت که  $h(x_1) \neq h(x_2)$  بنابراین  $Y$  جداکننده نقاط روی  $U$  می باشد.

(3) در نهایت باید نشان داد که  $Y$  در هیچ نقطه ای از  $U$  صفر نمی شود. باید توجه داشت که برای دقت تقریب مورد نیاز  $\varepsilon$ ، رتبه چندجمله ای سری تیلور  $N$  را می توان تعیین کرد (برای اطلاعات بیشتر لطفاً به پیوست 2 در این پایان نامه مراجعه کنید). به این معنی که هر چه دقت بیشتری نیاز داشته باشیم، به تعداد بیشتری جمله از سری تیلور نیازمند هستیم. بنابراین مطابق سیستم سری تیلور (11-1) و (2) مرتبه آن، می توان ضریب های چندجمله ای را بگونه ای انتخاب کرد که  $h(x) > 0, \forall x \in U$  بنابراین  $Y$  در هیچ نقطه ای از  $U$  صفر نمی شود.

## 2-4- طراحی قانون کنترل و تقریب گر تطبیقی عدم قطعیت

با جایگذاری روابط (2-1) و (2-2) در (2-3)، می توان معادله ولتاژ موتورها را بدین شکل نوشت:

$$M\ddot{q} + N\dot{q} + H = v \quad (21-2)$$

که در آن  $M = RK_m^{-1}J_m r^{-1}$ ،  $N = (RK_m^{-1}B_m + K_b)r^{-1}$  و

$$H = RK_m^{-1}r\tau_r + L\dot{I}_a + \varphi$$

می توان رابطه (21-2) را بدین صورت بازنویسی کرد:

$$\ddot{q} + F = v \quad (22-2)$$

که در آن از  $F$  به عدم قطعیت تجمعی اطلاق می شود و بدین صورت بیان می شود:

$$F = (M - I)\ddot{q} + N\dot{q} + H \quad (23-2)$$

با بازنویسی رابطه (۲۲-۲) بصورت ساختار مفصل مستقل داریم:

$$\ddot{q}_i + F_i = v_i \quad (24-2)$$

که در آن  $\ddot{q}_i$ ،  $F_i$  و  $v_i$  به ترتیب  $i$  امین عنصر از بردار  $\ddot{q}$ ،  $F$  و  $v$  می باشد و  $i = 1, 2, \dots, n$  می توان قانون کنترل را بدین صورت پیشنهاد داد:

$$u_i = \ddot{q}_{d_i} + k_d(\dot{q}_{d_i} - \dot{q}_i) + k_p(q_{d_i} - q_i) + \hat{F}_i \quad (25-2)$$

که در آن  $\hat{F}_i$  تقریب تابع غیرخطی  $F_i$  توسط سیستم سری تیلور،  $q_{d_i}$  موقعیت مفصلی مطلوب و  $k_p$  و  $k_d$  ضرایب های طراحی کنترل می باشند. به دلیل آنکه تابع غیرخطی  $F_i$  نامعلوم است، نمی توان از  $F_i$  در قانون کنترل استفاده کرد. از طرفی به عنوان مزیت مهم، قانون کنترل (۲۵-۲)، مستقل از مدل دینامیکی بازوی ربات و محرکه ها می باشد. برای محافظت از موتور در مقابل اضافه ولتاژ از محدودکننده ولتاژ برای هر موتور استفاده می شود. بنابراین می توان قانون کنترل در ساختار مفصل مستقل رابطه (۲۵-۲) را بدین صورت بازنویسی کرد:

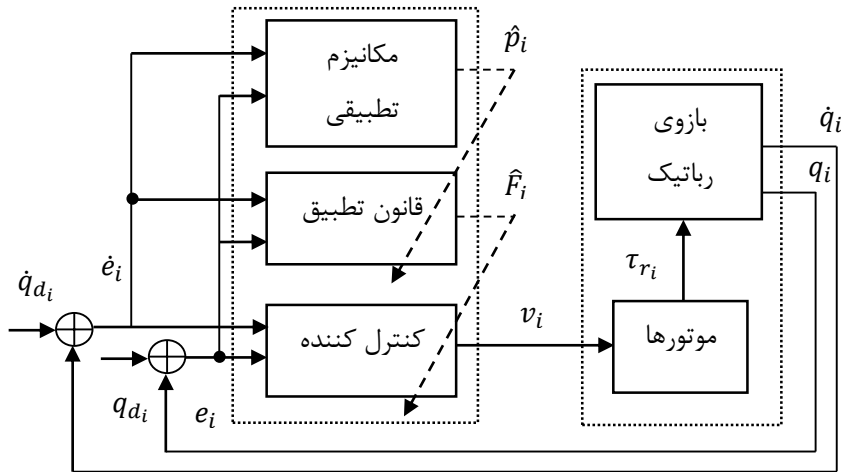
$$v_i = h(u_i) \quad (26-2)$$

$$h(u_i) = \begin{cases} u_i & \text{if } |u_i| \leq v_{max,i} \\ v_{max,i} \operatorname{sgn}(u_i) & \text{if } v_{max,i} < |u_i| \end{cases} \quad (27-2)$$

$$u_i = \ddot{q}_{d_i} + k_d(\dot{q}_{d_i} - \dot{q}_i) + k_p(q_{d_i} - q_i) + \hat{F}_i \quad (28-2)$$

که در آن  $\operatorname{sgn}(\cdot)$  تابع علامت و  $v_{max,i}$  بیشینه ولتاژ مجاز برای هر موتور می باشد. دیاگرام بلوکی طرح کنترلی پیشنهادی در شکل ۱-۲ نمایش داده شده است.





شکل ۱-۲ دیاگرام بلوکی روش کنترل تطبیقی سری تیلور

با در نظر گرفتن  $|u_i| < v_{max,i}$ ، اعمال قانون کنترل (۲۶-۲) تا (۲۸-۲) به سیستم (۲۴-۲) نتیجه می‌دهد:

$$\ddot{q}_i + F_i = v_{max,i} \text{sgn}(u_i) \quad (۲۹-۲)$$

در این وضعیت موتورها به منظور کاهش خطای ردگیری با حداکثر ولتاژ کار می‌کنند. از سوی دیگر در حالت  $|u_i| \leq v_{max,i}$ ، با اعمال قانون کنترل (۲۶-۲) تا (۲۸-۲) به سیستم (۲۴-۲) داریم:

$$\ddot{q}_i + F_i = \ddot{q}_{d_i} + k_d(\dot{q}_{d_i} - \dot{q}_i) + k_p(q_{d_i} - q_i) + \hat{F}_i \quad (۳۰-۲)$$

بنابراین مطابق رابطه (۳۰-۲) سیستم حلقه بسته بدین صورت بدست می‌آید:

$$\ddot{e}_i + k_d \dot{e}_i + k_p e_i = F_i - \hat{F}_i \quad (۳۱-۲)$$

که در آن  $e_i$  خطای ردگیری مفصلی می‌باشد که بدین شکل تعریف می‌شود:

$$e_i = q_{d_i} - q_i \quad (۳۲-۲)$$

در این فصل تقریب گر سری تیلور بدین صورت پیشنهاد می‌شود:

$$\hat{F}_i = \sum_{k_1=0}^{m_1} \frac{\hat{F}_i^{(k_1)}(e_{i_0})}{k_1!} (e_i - e_{i_0})^{k_1} + \sum_{k_2=1}^{m_2} \frac{\hat{F}_i^{(k_2)}(\dot{e}_{i_0})}{k_2!} (\dot{e}_i - \dot{e}_{i_0})^{k_2} \quad (33-2)$$

که در آن پاسخ خروجی تقریب‌گر پیشنهادی می‌باشد که بیانگر مجموع تعداد  $m_1 + 1$  جمله تیلور  $\hat{F}_i$  حول  $e_{i_0}$  و تعداد  $m_2$  جمله تیلور  $\hat{F}_i$  حول  $\dot{e}_{i_0}$  می‌باشد. رابطه (۳۳-۲) را می‌توان بصورت زیر بازنویسی کرد:

$$\hat{F}_i = \hat{\mathbf{p}}_i^T \boldsymbol{\xi}_i \quad (34-2)$$

که در آن بردار ضریب‌های سیستم سری تیلور پیشنهادی  $\hat{F}_i$  و  $\boldsymbol{\xi}_i$  بیانگر بردار رگرسیون می‌باشد که بدین شکل فرمول‌بندی می‌شوند:

$$\boldsymbol{\xi}_i = \left[ 1, (e_i - e_{i_0})^1, \dots, (e_i - e_{i_0})^{m_1}, (\dot{e}_i - \dot{e}_{i_0})^1, \dots, (\dot{e}_i - \dot{e}_{i_0})^{m_2} \right]^T \quad (35-2)$$

$$\hat{\mathbf{p}}_i^T = \left[ \frac{\hat{F}_i^{(0)}(e_{i_0})}{0!}, \frac{\hat{F}_i^{(1)}(e_{i_0})}{1!}, \dots, \frac{\hat{F}_i^{(m_1)}(e_{i_0})}{m_1!}, \frac{\hat{F}_i^{(1)}(\dot{e}_{i_0})}{1!}, \dots, \frac{\hat{F}_i^{(m_2)}(\dot{e}_{i_0})}{m_2!} \right] \quad (36-2)$$

تابع غیرخطی  $F_i$  (رابطه (۲۳-۲) به فرم اسکالر) را می‌توان بدین شکل مدل‌سازی کرد:

$$F_i = \mathbf{p}_i^T \boldsymbol{\xi}_i + \varepsilon_i \quad (37-2)$$

که در آن  $\varepsilon_i$  خطای تقریب و  $\mathbf{p}_i$  بردار ضریب‌های سیستم است که تمام عناصر آن ثابت می‌باشند. بنابراین با بکارگیری رابطه‌های (۳۴-۲) و (۳۷-۲) در (۳۱-۲)، می‌توان دینامیک‌های خطای ردگیری را بدین شکل بازنویسی کرد:

$$\ddot{e}_i + k_d \dot{e}_i + k_p e_i = (\mathbf{p}_i^T - \hat{\mathbf{p}}_i^T) \boldsymbol{\xi}_i + \varepsilon_i \quad (38-2)$$

با توجه به خاصیت تقریب‌گر عمومی سری تیلور که در بخش ۲-۳ این فصل ارائه شد، با تقریب تابع غیرخطی  $F_i$  توسط تقریب‌گر سری تیلور  $\hat{F}_i$  داریم:

$$|F_i - \hat{F}_i| < \delta_i \quad (39-2)$$

که در آن  $\delta_i$  اسکالر مثبت می‌باشد. با جایگذاری روابط (۲-۳۴) و (۲-۳۷) در (۲-۳۹) داریم:

$$|(\mathbf{p}_i^T - \hat{\mathbf{p}}_i^T)\boldsymbol{\xi}_i + \varepsilon_i| < \delta_i \quad (۲-۴۰)$$

از رابطه (۲-۴۰) می‌توان نتیجه گرفت که

$$|\varepsilon_i| < \rho_i \quad (۲-۴۱)$$

که در آن  $\rho_i$  کران بالای خطای تقریب می‌باشد و بدین شکل تعریف می‌شود:

$$\rho_i = |\delta_i| + |(\mathbf{p}_i^T - \hat{\mathbf{p}}_i^T)\boldsymbol{\xi}_i| \quad (۲-۴۲)$$

با استفاده از معادله دینامیکی خطا در (۲-۳۸)، معادله فضای حالت در فضای خطای ردگیری بدین صورت بدست می‌آید:

$$\dot{\mathbf{E}}_i = \mathbf{A}_i \mathbf{E}_i + \mathbf{l}_i w_i \quad (۲-۴۳)$$

که در آن

$$\mathbf{A}_i = \begin{bmatrix} 0 & 1 \\ -k_p & -k_d \end{bmatrix}, \quad \mathbf{l}_i = \begin{bmatrix} 0 \\ 1 \end{bmatrix}, \quad \mathbf{E}_i = \begin{bmatrix} e_i \\ \dot{e}_i \end{bmatrix}, \quad (۲-۴۴)$$

$$w_i = (\mathbf{p}_i^T - \hat{\mathbf{p}}_i^T)\boldsymbol{\xi}_i + \varepsilon_i$$

به منظور بدست آوردن مکانیزم تطبیقی برای ضریب‌های تقریب‌گر تیلور و همچنین تحلیل پایداری

سیستم حلقه بسته، تابع معین مثبت  $V_i$  بدین صورت پیشنهاد می‌شود:

$$V_i = \frac{1}{2} \mathbf{E}_i^T \mathbf{S}_i \mathbf{E}_i + \frac{1}{2\gamma_i} (\mathbf{p}_i^T - \hat{\mathbf{p}}_i^T)(\mathbf{p}_i - \hat{\mathbf{p}}_i) \quad (۲-۴۵)$$

که در آن  $\gamma_i$  اسکالر مثبت و  $\mathbf{S}_i$  ماتریس معین مثبت متقارن منحصربه‌فرد است که با استفاده از معادله لیاپانوف (۲-۴۶) بدست می‌آید:

$$\mathbf{A}_i^T \mathbf{S}_i + \mathbf{S}_i \mathbf{A}_i = -\mathbf{Q}_i \quad (۲-۴۶)$$

که در رابطه (۲-۴۶)،  $Q_i$  ماتریس معین مثبت متقارن دلخواه می باشد. با مشتق‌گیری از رابطه (۲-۴۵) داریم:

$$\dot{V}_i = \frac{1}{2} \dot{E}_i^T S_i E_i + \frac{1}{2} E_i^T S_i \dot{E}_i - \frac{1}{\gamma_i} (p_i^T - \hat{p}_i^T) (\dot{\hat{p}}_i) \quad (۲-۴۷)$$

با استفاده از روابط (۲-۴۳)، (۲-۴۴) و (۲-۴۶) در (۲-۴۵) و انجام کمی محاسبات، رابطه (۲-۴۷) بدین شکل بازنویسی می‌شود:

$$\dot{V}_i = -\frac{1}{2} E_i^T Q_i E_i + (p_i^T - \hat{p}_i^T) \left( E_i^T S_{2i} \xi_i - \frac{1}{\gamma_i} \dot{\hat{p}}_i \right) + E_i^T S_{2i} \varepsilon_i \quad (۲-۴۸)$$

که در آن  $S_{2i}$  ستون دوم ماتریس  $S_i$  می‌باشد. با انتخاب قانون تطبیق به صورت زیر:

$$\dot{\hat{p}}_i = \gamma_i E_i^T S_{2i} \xi_i \quad (۲-۴۹)$$

آنگاه رابطه (۲-۴۸) بدین صورت بازنویسی می‌شود:

$$\dot{V}_i = -\frac{1}{2} E_i^T Q_i E_i + E_i^T S_{2i} \varepsilon_i \quad (۲-۵۰)$$

چنانچه  $\dot{V}_i < 0$  باشد، خطای ردگیری کاهش می‌یابد. بنابراین همگرایی خطا محقق می‌شود اگر

$$E_i^T S_{2i} \varepsilon_i < \frac{1}{2} E_i^T Q_i E_i \quad (۲-۵۱)$$

با استفاده از نامساوی کوشی - شوارتز<sup>۱</sup> و رابطه (۲-۴۱)، می‌توان برای سمت چپ رابطه (۲-۵۱) اینگونه نوشت:

$$E_i^T S_{2i} \varepsilon_i \leq \|E_i^T\| \|S_{2i}\| |\varepsilon_i| < \rho_i \|E_i^T\| \|S_{2i}\| \quad (۲-۵۲)$$

با در نظر گرفتن رابطه زیر [۷۹]

$$\lambda_{\min}(Q_i) \|E_i\|^2 \leq E_i^T Q_i E_i \leq \lambda_{\max}(Q_i) \|E_i\|^2 \quad (۲-۵۳)$$

<sup>1</sup> Cauchy-Schwartz inequality

که در آن  $\lambda_{\min}(\mathbf{Q}_i)$  و  $\lambda_{\max}(\mathbf{Q}_i)$  به ترتیب کمینه و بیشینه مقادیر ویژه ماتریس  $\mathbf{Q}_i$  می باشد و به منظور برقراری رابطه (۵۱-۲) کفایت که

$$\rho_i \|\mathbf{E}_i^T\| \|\mathbf{S}_{2i}\| < \frac{1}{2} \lambda_{\min}(\mathbf{Q}_i) \|\mathbf{E}_i\|^2 \quad (۵۴-۲)$$

یا به بیانی دیگر

$$\|\mathbf{E}_i\| > \frac{2\rho_i \|\mathbf{S}_{2i}\|}{\lambda_{\min}(\mathbf{Q}_i)} \triangleq \mu_{0i} \quad (۵۵-۲)$$

که در آن  $\mu_{0i}$  ثابت مثبت می باشد. طبق رابطه (۵۵-۲)،  $\dot{V}_i < 0$  مادامی که  $\|\mathbf{E}_i\| > \mu_{0i}$  و نیز  $\dot{V}_i > 0$  مادامی که  $\|\mathbf{E}_i\| < \mu_{0i}$ . بدین معنی که خطای ردگیری و مشتق زمانی آن مادامی که در داخل دایره‌ای به شعاع  $\mu_{0i}$  قرار دارند، افزایش می یابند و مادامی که در خارج از دایره‌ای به شعاع  $\mu_{0i}$  قرار دارند کاهش می یابند. در نتیجه، چه در وضعیت  $\|\mathbf{E}_i\| > \mu_{0i}$  و چه در وضعیت  $\|\mathbf{E}_i\| < \mu_{0i}$ ، خطای ردگیری و مشتق زمانی آن در نهایت وارد محیط دایره‌ای به شعاع  $\mu_{0i}$  می شوند. باید توجه داشت که اندازه نهایی خطای ردگیری،  $e_i$ ، و مشتق زمانی آن،  $\dot{e}_i$ ، به کران بالای خطای تقریب،  $\rho_i$ ، و ضریب‌های طراحی کنترل کننده یعنی  $k_p$  و  $k_d$  بستگی دارند.

## ۵-۲- تحلیل پایداری

قبل از تحلیل پایداری، فرضیات زیر را در نظر بگیرید:

**فرض ۱:** مسیر مطلوب حرکت بازوی ربات  $q_{di}$  باید هموار باشد، به این معنی که  $q_{di}$  و مشتقات آن تا مرتبه مورد نیاز در دسترس و همگی محدود باشند.

**فرض ۲:** برای طراحی کنترل مقاوم، اغتشاش خارجی باید محدود باشد یعنی  $|\varphi_i| \leq \varphi_{\max,i}$ .

با توجه به اثبات پایداری محدود نهایی یکنواخت خطای ردگیری،  $e_i$ ، و مشتق زمانی آن،  $\dot{e}_i$  در بخش ۲-۴ و همچنین فرض ۱، محدود بودن موقعیت مفصل،  $q_i$  و سرعت مفصل،  $\dot{q}_i$ ، نتیجه می شود. از

طرفی مطابق روابط (۲-۵۵) و (۲-۴۵) محدودیت  $\hat{p}_i - p_i$  تضمین می‌شود. همچنین مطابق رابطه مکانیزم تطبیق (۲-۴۹)، محدود بودن  $\hat{p}_i$  نیز نشان داده می‌شود. با توجه به محدود بودن  $\xi_i$  در رابطه (۲-۳۵) و  $\hat{p}_i$  محدودیت تقریب‌گر سری تیلور،  $\hat{F}_i$  طبق رابطه (۲-۳۴) اثبات می‌شود. در نتیجه محدودیت سیگنال کنترل،  $u_i$  در رابطه (۲-۲۸) تضمین می‌شود. از رابطه (۲-۳)، می‌توان معادله مفصل مستقل را برای هر موتور بدین صورت نوشت:

$$R_i I_{ai} + L_i \dot{I}_{ai} = v_i - K_{bi} r_i^{-1} \dot{q}_i - \varphi_i \quad (۲-۵۶)$$

متغیرهای  $\dot{q}_i$ ،  $\varphi_i$  و  $v_i$  محدود هستند. بنابراین ورودی رابطه (۲-۵۶) محدود است. از طرفی با توجه به معیار راث - هرویتز<sup>۱</sup>، معادله دیفرانسیل (۲-۵۶)، سیستم خطی پایدار می‌باشد. بنابراین خروجی  $I_{ai}$  نیز محدود باقی می‌ماند. می‌توان نتیجه گرفت که برای هر مفصل، موقعیت مفصل،  $q_i$ ، سرعت مفصل،  $\dot{q}_i$  و جریان آرمیچر،  $I_{ai}$  محدود هستند. بنابراین محدودیت تمامی متغیرهای سیستم  $\mathbf{q}$ ،  $\dot{\mathbf{q}}$  و  $\mathbf{I}_a$  تضمین می‌شود.

با در نظر گرفتن سمت راست سیستم حلقه بسته (۲-۴)،  $\mathbf{f}(\mathbf{x})$ ،  $\mathbf{v}$  و  $\boldsymbol{\varphi}$  (مطابق فرض ۲) محدود و بردار  $\mathbf{b}$  ثابت است. بنابراین بردار  $\dot{\mathbf{x}}$  محدود باقی می‌ماند و از آن نتیجه می‌شود که شتاب مفصل،  $\ddot{\mathbf{q}}$ ، و مشتق زمانی جریان آرمیچر،  $\dot{\mathbf{I}}_a$ ، محدود هستند. بیان این نکته ضروری است که کنترل‌کننده پیشنهادی محدودیت عدم قطعیت تجمعی،  $F_i$ ، را تضمین می‌کند. از رابطه (۲-۳۸) محدودیت خطای تقریب،  $\varepsilon_i$ ، نتیجه می‌شود.

## ۲-۶- نتایج شبیه‌سازی

این بخش به منظور تایید عملکرد موثر کنترل‌کننده (۲-۲۶) تا (۲-۲۸)، نتایج شبیه‌سازی مختلفی را ارائه می‌کند. به عنوان مطالعه موردی، از بازوی رباتیک اسکارا مجهز به موتورهای مغناطیس دائم جریان مستقیم استفاده می‌شود. تمامی ضریب‌های مرتبط با دینامیک‌های سیستم رباتیک و محرکه‌ها

<sup>1</sup> Ruth-Hurwitz criterion

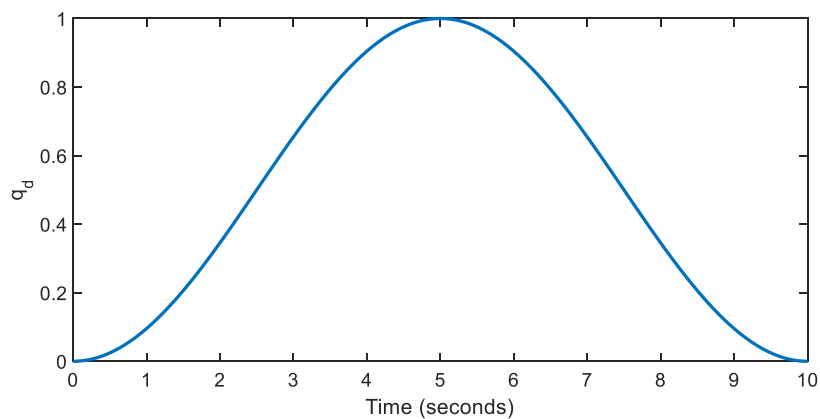
در پیوست ۱ پایان نامه معرفی شده‌اند. مسیر مفصلی مطلوب همانطور که در شکل ۲-۲ نشان داده شده است، برای تمامی مفاصل بدین صورت در نظر گرفته می‌شوند:

$$q_d = 0.5 \left( 1 - \cos\left(\frac{\pi t}{5}\right) \right) \quad \text{for} \quad 0 \leq t \leq 10 \quad (57-2)$$

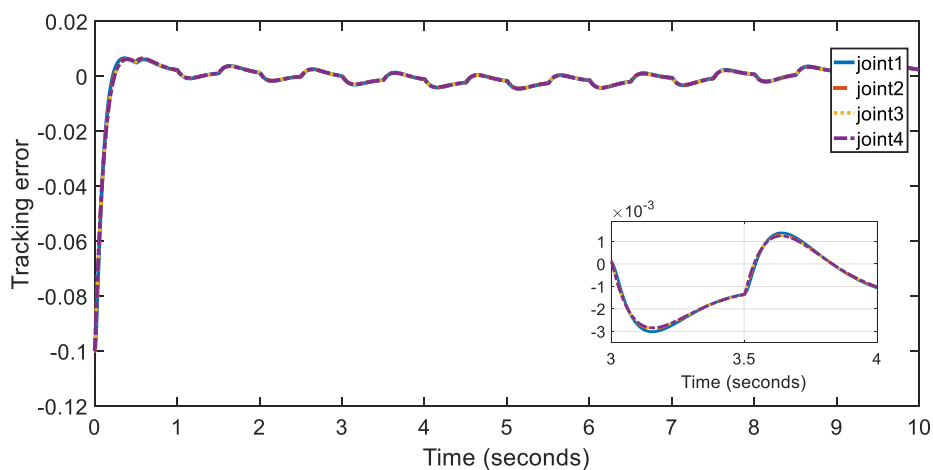
همچنین سیگنال اغتشاش بصورت تابع پالس مستطیلی با دامنه ۲ ولت، دوره ۱ ثانیه، پهنای پالس ۵۰ درصد دوره و تاخیر فاز ۰/۵ ثانیه در نظر گرفته شده است. خطاهای اولیه برای مفاصل اول تا چهارم به ترتیب ۰/۱ رادیان، ۰/۱ رادیان، ۰/۱ متر و ۰/۱ رادیان در نظر گرفته می‌شود.

## ۲-۶-۱ شبیه‌سازی اول

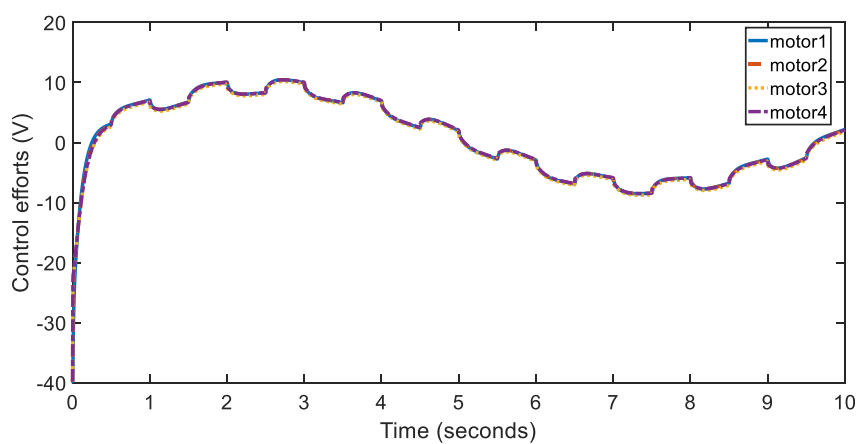
ضریب‌های ساختار کنترل‌کننده بصورت  $\gamma_i = 1000$  ،  $k_p = 400$  ،  $k_d = 20$  ،  $m_1 = 1$  ،  $\mathbf{s}_{2i} = [1.25 \quad 0.0875]^T$  ،  $m_2 = 1$  ،  $e_{i_0} = 0$  و  $\dot{e}_{i_0} = 0$  انتخاب می‌شوند. شرایط اولیه ضریب‌های  $(0) \hat{\mathbf{p}}_i$  صفر فرض می‌شوند. شکل ۲-۳، عملکرد رضایت‌بخش کنترل‌کننده پیشنهادی را نشان می‌دهد. خطای ردگیری برای تمامی مفاصل به محدوده  $[-8 \quad 6] \times 10^{-3}$  کاهش می‌یابد. تغییرات مجاز ولتاژ موتورها در شکل ۲-۴ نشان داده شده است. به علت وجود خطای اولیه مفاصل، تلاش کنترلی در لحظه شروع زیاد است. بعلاوه جریان سیم پیچ موتورها در شکل ۲-۵ نمایش داده شده است. ضریب‌های سری‌تیلور برای تمامی مفاصل در شکل ۲-۶ نشان داده شده است. همانطور که مشاهده می‌شود اولین ضریب هر تقریب‌گر سری‌تیلور در طول زمان متغیر و دومین و سومین ضریب هر تقریب‌گر سری‌تیلور تقریباً به مقدار ثابت همگرا می‌شود تا تمامی ضریب‌ها، تاثیرات عدم قطعیت را مدل نماید. به بیان دیگر، به دلیل اینکه از ساختار کامل سیستم سری‌تیلور استفاده نشده است، پارامتر اول جمع جملات باقیمانده را که یک تابع است، تقریب می‌زند و به همین دلیل متغیر دیده می‌شود.



شکل ۲-۲ مسیر مطلوب در فضای مفصلی

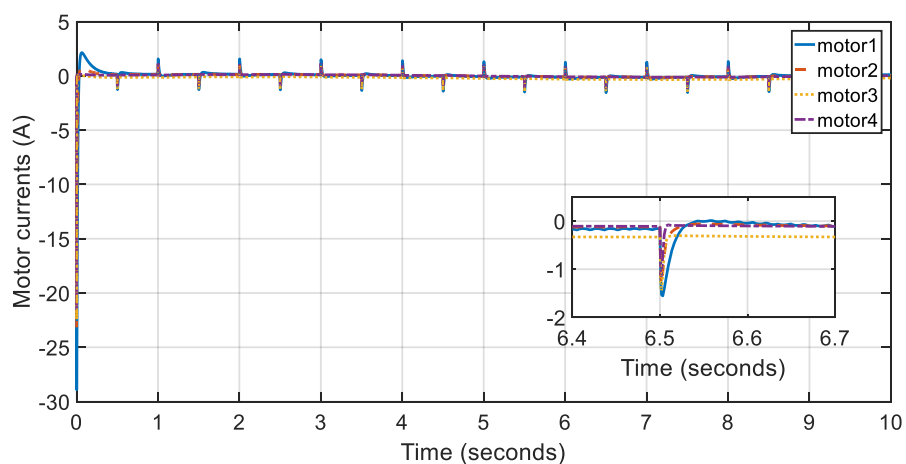


شکل ۳-۲ خطای ردگیری کنترل کننده سری تیلور

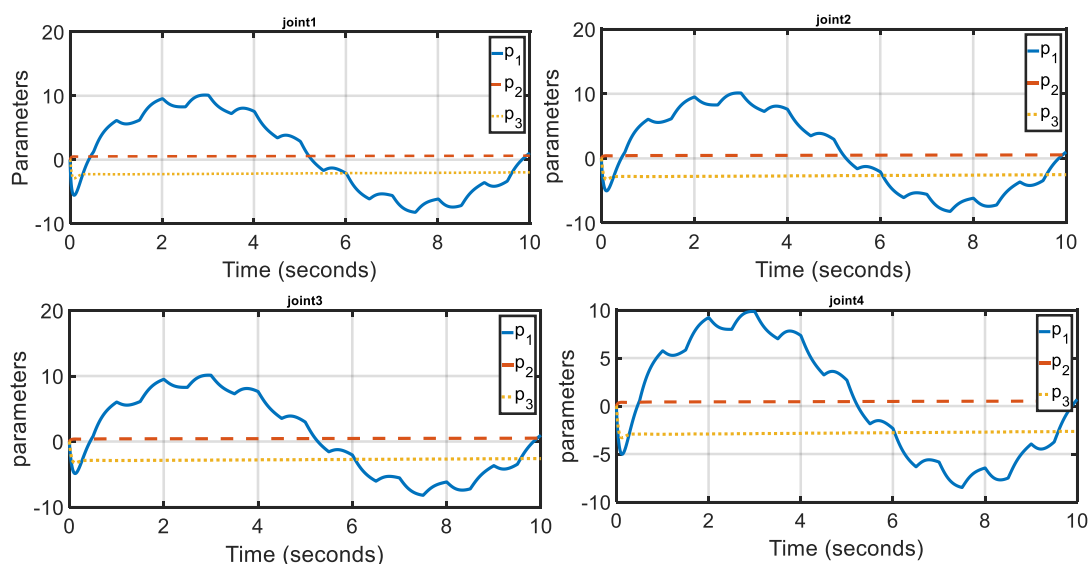


شکل ۴-۲ تلاش کنترلی موتورها





شکل ۲-۵ جریان سیم پیچ موتورها



شکل ۲-۶ تطبیق ضریب‌های تقریب‌گر سری تیلور برای هر چهار مفصل ربات. خط توپر "-", خط چین "--" خط نقطه چین ":" به ترتیب نشان‌دهنده ضریب اول، دوم و سوم تقریب‌گر می‌باشد.

## ۲-۶-۲- شبیه‌سازی دوم

در این بخش عملکرد کنترل‌کننده (۲-۲۶) تا (۲-۲۸) با کنترل‌کننده مود لغزشی ترمینال [۱۷] مقایسه می‌شود. کنترل‌کننده ارائه شده در مرجع [۱۷] بدین صورت فرموله می‌شود:

$$u = \hat{f} + KS^r + u_0 \quad (۲-۵۸)$$

که در آن  $\hat{f} = \hat{W}^T \Phi(x)$  بیانگر تقریب تابع غیرخطی  $f$  با استفاده از شبکه عصبی تابع پایه شعاعی،  $K$  اسکالر مثبت،  $r$  اسکالر مثبت به نحوی که  $0 < r < 1$  و همچنین  $S$  سطح لغزش غیرخطی می باشد که بدین صورت معرفی می شود:

$$S = \dot{e} + \lambda(e) \quad (59-2)$$

که  $\lambda(e) = [\lambda_1(e_1), \lambda_2(e_2), \dots, \lambda_n(e_n)]$  بدین شکل تعیین می شود:

$$\lambda_i(e_i) = \begin{cases} \Lambda_{ii} e_i^p & \text{if } S_i = 0 \text{ or } S_i \neq 0, |e_i| > e_{si} \\ K_{1i} e_i + K_{2i} e_i^2 & \text{if } S_i \neq 0, 0 < e_i < e_{si} \\ K_{1i} e_i - K_{2i} e_i^2 & \text{if } S_i \neq 0, -e_{si} < e_i < 0 \end{cases} \quad (60-2)$$

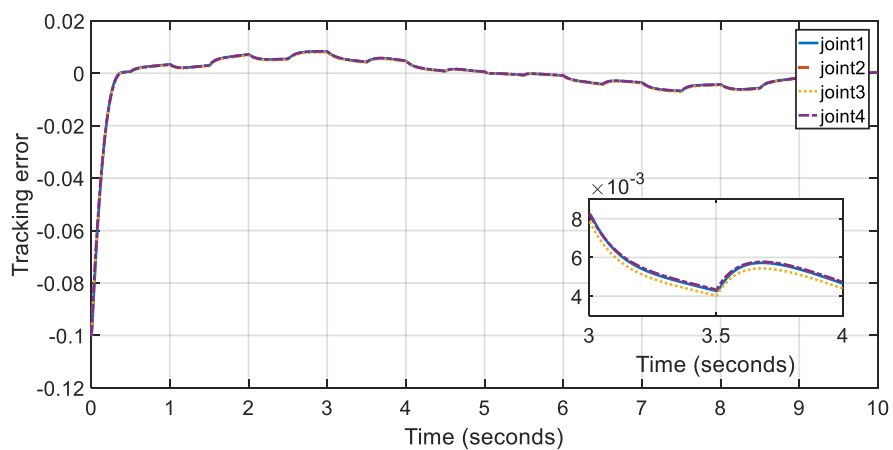
که در آن  $K_{2i} = (p-1)e_{si}^{p-2}$  و  $K_{1i} = (2-p)e_{si}^{p-1}$  همچنین  $\Lambda_{ii}$  و  $e_{si}$  ثابت های مثبت می باشد. از طرفی  $p = p_1/p_2$  تعریف می شود که  $p_1$  و  $p_2$  دو عدد فرد مثبت می باشند بطوریکه رابطه  $p_2 > p_1$  برقرار باشد. همچنین  $u_0$  در قانون کنترل بدین صورت طراحی می شود:

$$u_0 = \begin{cases} (\sigma + \sigma_0)S/\|S\| & S \neq 0 \\ 0 & S = 0 \end{cases} \quad (61-2)$$

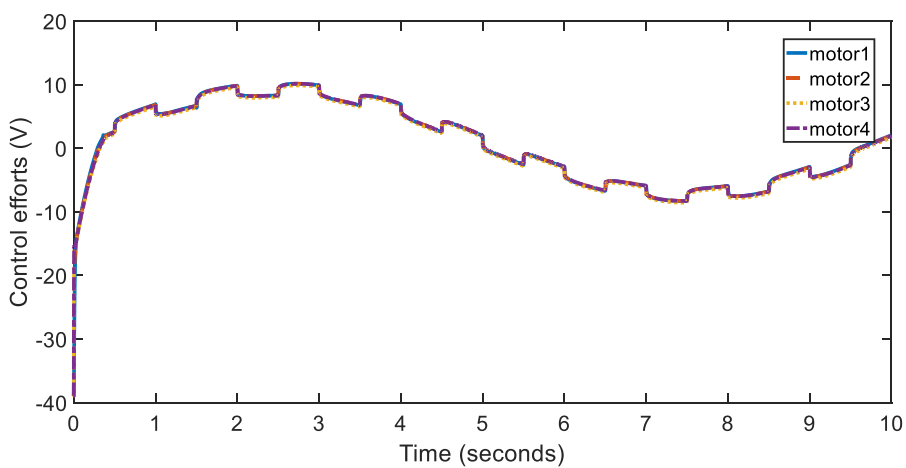
قانون تطبیق وزن ها بدین صورت پیشنهاد می شود:

$$\hat{W} = \Gamma \Phi(x) S^T \quad (62-2)$$

که در آن  $x$  ورودی شبکه عصبی تابع پایه شعاعی و  $\Gamma$  ثابت مثبت می باشد. ضریب های ساختار کنترلی بدین صورت انتخاب می شوند:  $K = 40$ ،  $\sigma = 0.0001$ ،  $\sigma_0 = 0.005$ ،  $\Gamma = 50$ ،  $\Lambda_{ii} = 5$  و  $e_{si} = 1 \times 10^{-6}$ ،  $r = 7/9$ ،  $p = 5/7$  خارجی مشابه شبیه سازی اول انتخاب می شود. عملکرد کنترل کننده و تلاش کنترلی تطبیقی عصبی [۱۷] به ترتیب در شکل های ۷-۲ و ۸-۲ نشان داده شده است. در مقایسه با روش مود لغزشی ترمینال، کنترل کننده پیشنهادی علاوه بر ساختار ساده تر، وزن های تطبیقی کمتری به نسبت شبکه عصبی تابع پایه شعاعی دارد. از طرفی به دلیل تعداد زیاد پارامترهای کنترل کننده مود لغزشی ترمینال، طراح در تنظیم دستی پارامترها با مشکل روبروست.



شکل ۲-۷ خطای ردگیری کنترل کننده مود لغزشی ترمینال



شکل ۲-۸ تلاش کنترلی کنترل کننده مود لغزشی ترمینال



فصل ۳. طراحی کنترل کننده سری تیلور – مود لغزشی

### ۳-۱- مقدمه

در بین طرح‌های کنترلی مقاوم، کنترل مود لغزشی به دلیل مقاوم بودن آن در برابر طیف گسترده‌ای از عدم قطعیت‌ها بسیار مورد توجه محققان قرار گرفته است. در این فصل از پایان‌نامه، کنترل مود لغزشی با بهره‌گیری از تقریب‌گر سری تیلور تطبیقی برای کنترل بازوی رباتیک با در نظر گرفتن دینامیک محرکه‌ها پیشنهاد می‌شود. تقریب‌گر پیشنهادی، ساختاری ساده، مستقل از مدل و به فرم مفصل مستقل<sup>۱</sup> توسعه پیدا می‌کند. بر اساس طراحی کنترل مود لغزشی پیشنهادی، عدم قطعیت تجمعی توسط تقریب‌گر سری تیلور تقریب زده می‌شود و بر اساس تحلیل پایداری، نه تنها پایداری محدود نهایی یکنواخت خطای ردگیری و مشتق زمانی آن تضمین می‌شود، بلکه محدودیت تمامی متغیرهای سیستم رباتیک نیز اثبات می‌شود.

### ۳-۲- پیشنهاد قانون کنترل و تحلیل پایداری

با جایگذاری روابط (۱-۲) و (۲-۲) در (۳-۲)، می‌توان معادله ولتاژ غیرخطی را بدین صورت نمایش داد:

$$\ddot{\mathbf{q}} + \mathbf{h} = \mathbf{v} \quad (۱-۳)$$

که در آن  $\mathbf{h}$  بیانگر عدم قطعیت تجمعی است که بصورت زیر فرمول‌بندی می‌شود:

$$\mathbf{h} = [\mathbf{R}\mathbf{K}_m^{-1}(\mathbf{J}_m \mathbf{r}^{-1} + \mathbf{r}\mathbf{D}(\mathbf{q})) - \mathbf{I}]\ddot{\mathbf{q}} + (\mathbf{R}\mathbf{K}_m^{-1}\mathbf{B}_m \mathbf{r}^{-1} + \mathbf{R}\mathbf{K}_m^{-1}\mathbf{r}\mathbf{C}(\mathbf{q}, \dot{\mathbf{q}}) + \mathbf{K}_b \mathbf{r}^{-1})\dot{\mathbf{q}} + \mathbf{R}\mathbf{K}_m^{-1}\mathbf{r}(\mathbf{g}(\mathbf{q}) + \boldsymbol{\tau}_f(\dot{\mathbf{q}})) + \mathbf{L}\dot{\mathbf{I}}_a + \boldsymbol{\varphi} \quad (۲-۳)$$

به منظور طراحی کنترل‌کننده مود لغزشی، سطح لغزش،  $\Psi$ ، در ساختار مفصل مستقل بدین صورت تعریف می‌شود:

<sup>۱</sup> Decentralized structure

$$\Psi = \dot{e} + \lambda_1 e + \lambda_2 \int_0^t e d\tau \quad (3-3)$$

که در آن  $e = q_d - q$  خطای ردگیری و  $q_d$  مسیر مطلوب می‌باشد. می‌توان تابع معین مثبت،  $y$ ، را بدین شکل تعریف کرد:

$$y(e, \dot{e}) = \frac{1}{2} \Psi^2 \quad (4-3)$$

با مشتق‌گیری از رابطه (4-3) داریم:

$$\dot{y} = \Psi \dot{\Psi} \quad (5-3)$$

به منظور دستیابی به همگرایی صفر برای  $\dot{y}$ ، کفایت:

$$\Psi \dot{\Psi} = -\gamma |\Psi| \quad (6-3)$$

که در آن  $\gamma > 0$ . به بیان دیگر

$$\dot{\Psi} \text{sgn}(\Psi) = -\gamma \quad (7-3)$$

با در نظر گرفتن رابطه (1-3) بصورت مفصل مستقل و رابطه (3-3)، می‌توان رابطه (7-3) را بدین شکل بازنویسی کرد:

$$(\ddot{q}_d - v + h + \lambda_1 \dot{e} + \lambda_2 e) \text{sgn}(\Psi) = -\gamma \quad (8-3)$$

بنابراین،

$$v = \ddot{q}_d + h + \lambda_1 \dot{e} + \lambda_2 e + \gamma \text{sgn}(\Psi) \quad (9-3)$$

به دلیل آنکه تابع غیرخطی  $h$  نامعلوم است، کنترل‌کننده (9-3) قابل پیاده‌سازی نمی‌باشد. بنابراین برای تقریب تابع غیرخطی در این فصل، تقریب گر سری تیلور بدین شکل پیشنهاد می‌شود:

$$\hat{h} = \sum_{k=0}^m \frac{\hat{h}^{(k)}(e_{n_0})}{k!} (e - e_{n_0})^k \quad (10-3)$$

که در آن  $\hat{h}$  پاسخ خروجی تقریب‌گر پیشنهادی که بیانگر تعداد  $m + 1$  جمله تیلور  $\hat{h}$  حول  $e_{h_0}$  می‌باشد. می‌توان رابطه (۳-۱۰) را بدین صورت بازنویسی کرد:

$$\hat{h} = \hat{\theta}_h^T \xi_h \quad (۳-۱۱)$$

که در آن  $\hat{\theta}_h$  بیانگر ضریب‌های سری تیلور برای  $\hat{h}$  و  $\xi_h$  بردار رگرسیون می‌باشد که بدین صورت تعریف می‌شوند:

$$\xi_h = [1, (e - e_{h_0}), \dots, (e - e_{h_0})^m]^T \quad (۳-۱۲)$$

$$\hat{\theta}_h^T = \left[ \frac{\hat{h}^{(0)}(e_{h_0})}{0!}, \frac{\hat{h}^{(1)}(e_{h_0})}{1!}, \dots, \frac{\hat{h}^{(m)}(e_{h_0})}{m!} \right] \quad (۳-۱۳)$$

تابع غیرخطی  $h$  را بدین صورت مدل‌سازی کنید:

$$h = \theta_h^T \xi_h + \varepsilon_h \quad (۳-۱۴)$$

که در آن  $\theta_h$  بردار ضریب‌های سیستم و  $\varepsilon_h$  خطای تقریب می‌باشد که محدودیت آن بوسیله  $|\varepsilon_h| < \eta(t)$  در نظر گرفته می‌شود. در نهایت قانون کنترل در ساختار مفصل مستقل با توجه به این نکته که ولتاژ موتورها باید زیر ولتاژ مجاز  $v_{max}$  قرار داشته باشد، بدین صورت پیشنهاد می‌شود:

$$v = l(u) \quad (۳-۱۵)$$

$$l(u) = \begin{cases} u & \text{if } |u| \leq v_{max} \\ v_{max} \text{sgn}(u) & \text{if } |u| > v_{max} \end{cases} \quad (۳-۱۶)$$

$$u = \ddot{q}_d + \hat{h} + \lambda_1 \dot{e} + \lambda_2 e + \gamma \text{sgn}(\Psi) \quad (۳-۱۷)$$

در وضعیت  $|u| > v_{max}$ ، تلاش کنترلی در بیشینه مقدار خود قرار دارد تا خطای ردگیری فضای مفصلی کاهش یابد. از طرف دیگر در وضعیت  $|u| \leq v_{max}$ ، با اعمال رابطه (۳-۱۷) به سیستم (۳-۱) در حالت مفصل مستقل (یعنی  $\ddot{q} + h = v$ ) داریم:



$$\ddot{e} + \lambda_1 \dot{e} + \lambda_2 e = h - \hat{h} - \gamma \text{sgn}(\Psi) \quad (18-3)$$

با استفاده از روابط (۱۱-۳) و (۱۴-۳)، دینامیک‌های خطای ردگیری (۱۸-۳) را می‌توان بدین شکل بازنویسی کرد:

$$\ddot{e} + \lambda_1 \dot{e} + \lambda_2 e = (\boldsymbol{\theta}_h^T - \hat{\boldsymbol{\theta}}_h^T) \boldsymbol{\xi}_h + \varepsilon_h - \gamma \text{sgn}(\Psi) \quad (19-3)$$

با در نظر گرفتن (۱۹-۳)، معادله فضای حالت در فضای خطا بدین صورت بدست می‌آید:

$$\dot{\mathbf{E}} = \boldsymbol{\Lambda} \mathbf{E} + \mathbf{b} w \quad (20-3)$$

که در آن

$$\boldsymbol{\Lambda} = \begin{bmatrix} 0 & 1 \\ -\lambda_2 & -\lambda_1 \end{bmatrix}, \quad \mathbf{b} = \begin{bmatrix} 0 \\ 1 \end{bmatrix}, \quad \mathbf{E} = \begin{bmatrix} e \\ \dot{e} \end{bmatrix}, \quad (21-3)$$

$$w = (\boldsymbol{\theta}_h^T - \hat{\boldsymbol{\theta}}_h^T) \boldsymbol{\xi}_h + \varepsilon_h - \gamma \text{sgn}(\Psi)$$

تابع معین مثبت را بدین صورت در نظر بگیرید:

$$V(e, \dot{e}) = \mathbf{E}^T \mathbf{P} \mathbf{E} + \frac{1}{2\alpha} (\boldsymbol{\theta}_h^T - \hat{\boldsymbol{\theta}}_h^T) (\boldsymbol{\theta}_h - \hat{\boldsymbol{\theta}}_h) \quad (22-3)$$

که در آن  $\alpha$  ثابت مثبت و ماتریس  $\mathbf{P}$  ماتریس معین مثبت متقارن است. معادله لیاپانوف زیر را در نظر بگیرید:

$$\boldsymbol{\Lambda}^T \mathbf{S} + \mathbf{S} \boldsymbol{\Lambda} = -\mathbf{Q} \quad (23-3)$$

که در آن  $\mathbf{Q}$  ماتریس معین مثبت متقارن دلخواه،  $\boldsymbol{\Lambda}$  ماتریس پایدار و  $\mathbf{S}$  ماتریس معین مثبت متقارن منحصر به فرد می‌باشد. با مشتق‌گیری از رابطه (۲۲-۳) نسبت به زمان داریم:

$$\dot{V} = \dot{\mathbf{E}}^T \mathbf{P} \mathbf{E} + \mathbf{E}^T \mathbf{P} \dot{\mathbf{E}} - \frac{1}{\alpha} (\boldsymbol{\theta}_h^T - \hat{\boldsymbol{\theta}}_h^T) \dot{\boldsymbol{\theta}}_h \quad (24-3)$$

با استفاده از روابط (۱۱-۳)، (۱۴-۳)، (۲۰-۳) و (۲۳-۳)، می‌توان  $\dot{V}$  را بدین شکل بازنویسی کرد:

$$\dot{V} = -\mathbf{E}^T \mathbf{Q} \mathbf{E} + \mathbf{E}^T \mathbf{S} \mathbf{b} (\boldsymbol{\theta}_h^T - \hat{\boldsymbol{\theta}}_h^T) \boldsymbol{\xi}_h + \mathbf{E}^T \mathbf{S} \mathbf{b} \varepsilon_h - \mathbf{E}^T \mathbf{S} \mathbf{b} \gamma \text{sgn}(\Psi) - \quad (25-3)$$

$$\frac{1}{\alpha}(\boldsymbol{\theta}_h^T - \widehat{\boldsymbol{\theta}}_h^T)\dot{\boldsymbol{\theta}}_h$$

با انتخاب قانون تطبیق بصورت زیر

$$\dot{\boldsymbol{\theta}}_h = \alpha \mathbf{E}^T \mathbf{S} \mathbf{b} \xi_h \quad (26-3)$$

می‌توان رابطه (25-3) را بدین صورت توصیف کرد:

$$\dot{V} = -\mathbf{E}^T \mathbf{Q} \mathbf{E} + \mathbf{E}^T \mathbf{S} \mathbf{b} \varepsilon_h - \mathbf{E}^T \mathbf{S} \mathbf{b} \gamma \operatorname{sgn}(\Psi) \quad (27-3)$$

چنانچه  $\dot{V} < 0$  باشد، خطای ردگیری و مشتق زمانی آن کاهش می‌یابند. بنابراین همگرایی  $\mathbf{E}$

تضمین می‌شود اگر

$$\mathbf{E}^T \mathbf{Q} \mathbf{E} > \mathbf{E}^T \mathbf{S} \mathbf{b} \varepsilon_h - \mathbf{E}^T \mathbf{S} \mathbf{b} \gamma \operatorname{sgn}(\Psi) \quad (28-3)$$

داریم:

$$\lambda_{\min}(\mathbf{Q}) \|\mathbf{E}\|^2 \leq \mathbf{E}^T \mathbf{Q} \mathbf{E} \leq \lambda_{\max}(\mathbf{Q}) \|\mathbf{E}\|^2 \quad (29-3)$$

که در آن  $\lambda_{\max}(\mathbf{Q})$  و  $\lambda_{\min}(\mathbf{Q})$  به ترتیب کمینه و بیشینه مقادیر ویژه ماتریس  $\mathbf{Q}$  می‌باشند. با

بکارگیری نامساوی کوشی - شوارتز و در نظر گرفتن کران بالای خطای تقریب بصورت

$$|\varepsilon_h| < \eta(t), \text{ سمت راست رابطه (28-3) بدین صورت بدست می‌آید:}$$

$$\mathbf{E}^T \mathbf{S} \mathbf{b} \varepsilon_h - \mathbf{E}^T \mathbf{S} \mathbf{b} \gamma \operatorname{sgn}(\Psi) \leq \|\mathbf{E}\| \|\mathbf{S} \mathbf{b}\| (\eta + \gamma) \quad (30-3)$$

به عبارت دیگر

$$\|\mathbf{E}\| > \frac{\|\mathbf{S} \mathbf{b}\| (\eta + \gamma)}{\lambda_{\min}(\mathbf{Q})} \triangleq \delta_0 \quad (31-3)$$

که در آن  $\delta_0$  ثابت مثبت است. بنابراین  $\dot{V} < 0$  برقرار است مادامی که  $\|\mathbf{E}\| < \delta_0$ . از طرف دیگر

$\dot{V} > 0$  است مادامی که  $\|\mathbf{E}\| > \delta_0$ . این بدان معناست که خطا خارج از دایره‌ای با شعاع  $\delta_0$

اندازه‌اش کاهش می‌یابد و در داخل آن دایره اندازه‌اش افزایش می‌یابد. در نتیجه خطای ردگیری و مشتق زمانی آن محدود باقی می‌مانند و در نهایت وارد محیط دایره‌ای به شعاع  $\delta_0$  می‌شوند.

با محدودیت خطای موقعیت ردگیری،  $e$ ، خطای سرعت  $\dot{e}$ ، محدودیت تقریب‌گر سری تیلور  $\hat{h}$  تضمین می‌شود. همچنین سیگنال کنترل در رابطه (۳-۱۷) به دلیل محدود بودن سیگنال  $e$ ،  $\dot{e}$  و شتاب مسیر مطلوب  $\ddot{q}_d$  و همچنین ثابت بودن ضریب‌های  $\lambda_1$ ،  $\lambda_2$  و  $\gamma$ ، محدود می‌باشد. از رابطه (۳-۲۲)،  $E = [q_d - q \quad \dot{q}_d - \dot{q}]^T$  محدود است و بعلاوه طبق فرض ۱ می‌توان نتیجه گرفت که موقعیت مفصلی  $q$  و سرعت مفصلی  $\dot{q}$  نیز محدود باقی می‌مانند.

از طرفی طبق رابطه (۳-۲۲)،  $\theta_h - \hat{\theta}_h$  نیز محدود است و مطابق رابطه (۳-۲۶) نیز به راحتی محدود بودن  $\hat{\theta}_h$  را نتیجه می‌دهد. از رابطه (۳-۲)، می‌توان معادله مفصل مستقل را برای هر موتور بدین صورت نوشت:

$$RI_a + LI_a = w \quad (۳۲-۳)$$

$$w = v - K_b r^{-1} \dot{q} - \varphi \quad (۳۳-۳)$$

متغیرهای  $\varphi$ ،  $\dot{q}$  و  $v$  محدود هستند. بنابراین ورودی  $w$  در (۳۳-۳) محدود است. از طرفی با توجه به معیار راث - هرویتز، معادله دیفرانسیل خطی (۳۲-۳)، سیستم خطی پایدار می‌باشد. به دلیل محدودیت ورودی  $w$ ، خروجی  $I_a$  نیز محدود باقی می‌ماند. بنابراین برای هر مفصل، موقعیت مفصل  $q$ ، سرعت مفصل  $\dot{q}$  و جریان موتور  $I_a$  محدود هستند. بنابراین پایداری متغیرهای سیستم  $q$ ،  $\dot{q}$  و  $I_a$  تضمین می‌شود.

### ۳-۳- نتایج شبیه‌سازی

در این بخش نتایج شبیه‌سازی مختلفی برای تایید عملکرد موثر روش کنترلی (۳-۱۵) تا (۳-۱۷) ارائه می‌شود. به عنوان مطالعه موردی از بازوی رباتیک اسکارا مجهز به موتورهای مغناطیس دائم جریان

مستقیم استفاده می‌شود. تمامی ضریب‌های مرتبط با دینامیک‌های سیستم رباتیک و محرکه‌ها در پیوست ۱ پایان‌نامه معرفی شده‌اند. مسیر مفصلی مطلوب برای تمامی مفاصل بدین صورت فرمول‌بندی می‌شوند:

$$q_d = 0.5 \left( 1 - \cos \left( \frac{\pi t}{5} \right) \right) \quad \text{for} \quad 0 \leq t \leq 10 \quad (34-3)$$

همچنین سیگنال اغتشاش مشابه فصل دوم، بصورت تابع پالس مستطیلی با دامنه ۲ ولت به سیستم داده می‌شود. خطاهای اولیه برای مفاصل اول تا چهارم به ترتیب ۰/۱ رادیان، ۰/۱ رادیان، ۰/۱ متر و ۰/۱ رادیان در نظر گرفته می‌شود. به منظور کاهش تاثیر سیگنال کنترل ناپیوسته، به جای استفاده از تابع علامت در قانون کنترل (۳-۱۵) تا (۳-۱۷)، می‌توان از لایه مرزی بدین شکل استفاده کرد [۸۰]

$$\text{sat}(\Psi/\beta) = \begin{cases} \text{sgn}(\Psi/\beta) & \text{if } |\Psi/\beta| > 1 \\ \Psi/\beta & \text{if } |\Psi/\beta| \leq 1 \end{cases} \quad (35-3)$$

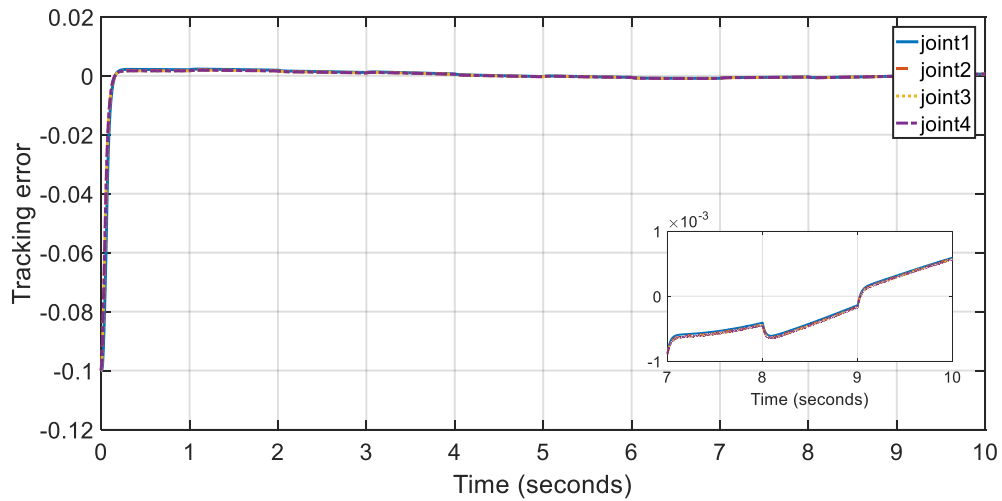
که در آن  $\beta > 0$  ضخامت لایه مرزی می‌باشد.

روش کنترلی پیشنهادی که توسط قانون کنترل (۳-۱۵) تا (۳-۱۷) طراحی شده است و از تقریب‌گر سری تیلور (۳-۱۱) و قانون تطبیق (۳-۲۶) بهره می‌برد، در این بخش شبیه‌سازی می‌شود. ضریب‌های کنترل‌کننده به صورت  $\lambda_1 = 40$ ،  $\lambda_2 = 10$ ،  $\alpha = \gamma = 200$ ،  $m = 1$  و

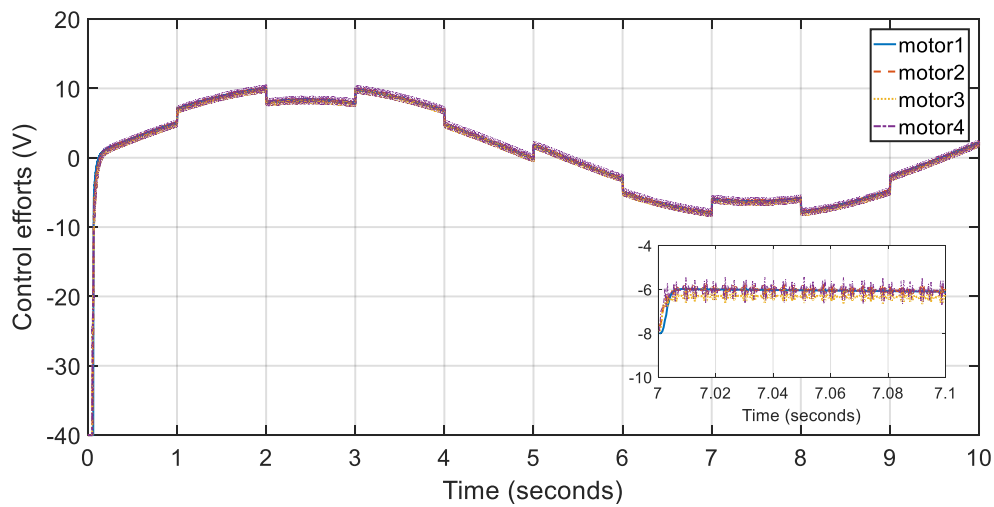
$$\mathbf{S} = \begin{bmatrix} 201.375 & 5 \\ 5 & 0.1375 \end{bmatrix} \text{ انتخاب می‌شوند.}$$

شرط اولیه برای  $\hat{\theta}_h(0)$  صفر انتخاب می‌شود. شکل ۳-۱ عملکرد روش کنترل‌کننده تیلور - مود لغزشی را نشان می‌دهند. خطای ردگیری برای تمامی مفاصل و بدون فراجاهش کاهش مطلوبی دارد. تغییرات مجاز ولتاژ موتورها در شکل ۳-۲ نشان داده شده است. به علت وجود خطای اولیه مفاصل، ولتاژ موتورها در لحظه شروع زیاد است. ضریب‌های سری تیلور برای تمامی مفاصل در شکل ۳-۳ نشان داده شده است. همانطور که مشاهده می‌شود اولین ضریب هر تقریب‌گر سری تیلور

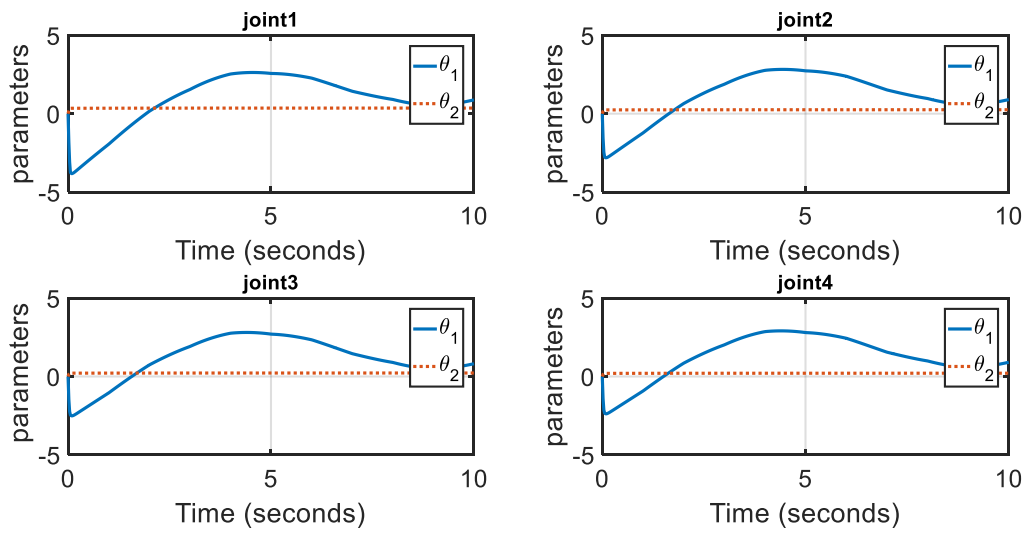
در طول زمان متغیر و دومین ضریب هر تقریب‌گر سری تیلور تقریباً به مقدار ثابت همگرا می‌شود تا تاثیرات عدم قطعیت را پوشش دهند.



شکل ۱-۳ عملکرد ردگیری کنترل‌کننده سری تیلور - مود لغزشی



شکل ۲-۳ تلاش کنترلی کنترل‌کننده



شکل ۳-۳ تطبیق ضریب‌های تقریب‌گر سری‌تیلور در ساختار کنترل مود لغزشی. خط توپر “-” و خط نقطه‌چین “:” به ترتیب نشان‌دهنده ضریب اول و دوم تقریب‌گر سری‌تیلور می‌باشد.

فصل ۴. کنترل سری تیلور با تضمین پایداری همگرایی مجانبی خطای ردگیری

#### ۴-۱- مقدمه

دستیابی به کنترل ردگیری مجانبی بازوهای رباتیک با در نظر گرفتن دینامیک‌های محرکه به دلیل وجود خطای تقریب به وجود آمده از عدم قطعیت‌های ساختاری و غیرساختاری مسئله‌ای چالش‌برانگیز پیش روی طراحان کنترل است. با بهره‌گیری از خاصیت منحصربه‌فرد سری تیلور به عنوان تقریب‌گر عمومی، در این فصل از پایان‌نامه دو طرح کنترلی مقاوم با استفاده از سیستم تطبیقی سری تیلور برای بازوهای رباتیک با در نظر گرفتن دینامیک‌های محرکه پیشنهاد می‌شود. در طرح کنترلی اول، کنترل‌کننده تطبیقی غیرمستقیم طوری طراحی می‌شود که تا با استفاده از تقریب‌گر سری تیلور بتوان به منظور تقریب تابع پیوسته نامعلوم بهره گرفت. از طرف دیگر، طرح کنترلی تطبیقی مستقیم توسعه پیدا می‌کند تا بتوان سیستم سری تیلور را به عنوان کنترل‌کننده استفاده کرد. در هر دو طرح کنترلی نه تنها کران بالای خطای تقریب، تقریب زده می‌شود تا از آن در ساختار عبارت مقاوم‌ساز استفاده شود، بلکه پایداری سیستم حلقه بسته بعلاوه همگرایی مجانبی خطای ردگیری و مشتق زمانی آن تضمین می‌شود.

#### ۴-۲- تشریح مسئله

هدف پژوهش در این فصل پیشنهاد دو طرح کنترلی مبتنی بر سری تیلور می‌باشد به نحوی که سیگنال مطلوب،  $q_{mi}$ ، به طور مجانبی توسط موقعیت مفصل،  $q_i$ ، دنبال شود. معادله ولتاژ غیرخطی برای موتور  $i$  ام را با جایگذاری روابط (۱-۲) و (۲-۲) در (۳-۲) بصورت اسکالر، می‌توان بدین صورت نمایش داد:

$$\begin{aligned} & (R_i K_{mi}^{-1} J_{mi} r_i^{-1}) \ddot{q}_i + (R_i K_{mi}^{-1} r_i) \left( \sum_{j=1}^n d_{ji}(\mathbf{q}) \ddot{q}_j \right) + \\ & (R_i K_{mi}^{-1} B_{mi} + K_{bi}) r_i^{-1} \dot{q}_i + R_i K_{mi}^{-1} r_i \left( \sum_{j=1}^n \sum_{k=1}^n c_{jki}(\mathbf{q}) \dot{q}_j \dot{q}_k \right) + \quad (۱-۴) \\ & R_i K_{mi}^{-1} r_i g_i(\mathbf{q}) + R_i K_{mi}^{-1} r_i \tau_{fi} + L_i \dot{I}_{ai} + \varphi_i = v_i \end{aligned}$$



که در آن  $i = 1, 2, \dots, n$  می توان رابطه (۴-۱) را بدین شکل بازنویسی کرد:

$$\ddot{q}_i + f_i = v_i \quad (۲-۴)$$

که در آن  $f_i$  بیانگر عدم قطعیت تجمعی می باشد

$$\begin{aligned} f_i = & (R_i K_{mi}^{-1} J_{mi} r_i^{-1} - 1) \ddot{q}_i + R_i K_{mi}^{-1} r_i \left( \sum_{j=1}^n d_{ji}(\mathbf{q}) \ddot{q}_j \right) \\ & + (R_i K_{mi}^{-1} B_{mi} + K_{bi}) r_i^{-1} \dot{q}_i \\ & + R_i K_{mi}^{-1} r_i \left( \sum_{j=1}^n \sum_{k=1}^n c_{jki}(\mathbf{q}) \dot{q}_j \dot{q}_k \right) \\ & + R_i K_{mi}^{-1} r_i g_i(\mathbf{q}) + R_i K_{mi}^{-1} r_i \tau_{fi} + L_i \dot{I}_{ai} + \varphi_i \end{aligned} \quad (۳-۴)$$

خطای ردگیری به طور مفصل مستقل را بدین صورت در نظر بگیرید:

$$e_i = q_{mi} - q_i \quad (۴-۴)$$

به منظور دستیابی به همگرایی جانبی خطای ردگیری به صفر (یعنی  $\lim_{t \rightarrow \infty} e_i(t) = 0$ ) می توان

دینامیک های خطای ردگیری را بدین شکل در نظر گرفت:

$$\ddot{e}_i + \mathbf{K}_i \mathbf{E}_i = 0 \quad (۵-۴)$$

که در آن  $\mathbf{E}_i = [e_i, \dot{e}_i]^T \in \mathbb{R}^2$  بیانگر بردار خطاها و  $\mathbf{K}_i = [k_{2i}, k_{1i}] \in \mathbb{R}^2$  نشان دهنده بردار

بهره های پس خورد می باشد که به نحوی انتخاب می شود که تمامی ریشه های

در سمت چپ صفحه موهومی قرار بگیرد. با اعمال رابطه (۴-۲) در

(۵-۴)، کنترل کننده ایده آل در ساختار مفصل مستقل بدین صورت بدست می آید:

$$u_{ci}^* = \ddot{q}_{mi} + f_i + \mathbf{K}_i \mathbf{E}_i \quad (۶-۴)$$

باید توجه داشت که قانون کنترل (۶-۴) غیر قابل پیاده سازی می باشد به دلیل آنکه تابع غیر خطی  $f_i$

نامعلوم است. برای رفع این مشکل، دو طرح کنترلی جدید به صورت زیر پیشنهاد می شود:

- کنترل کننده سری تیلور تطبیقی غیرمستقیم
- کنترل کننده سری تیلور تطبیقی مستقیم

#### ۴-۳- طراحی کنترل کننده سری تیلور تطبیقی غیرمستقیم و اثبات پایداری

در این فصل به منظور تقریب تابع نامعلوم غیرخطی از تقریب گر سری تیلور مفصل مستقل بدین شکل استفاده می شود:

$$\begin{aligned} \hat{f}_i &= \sum_{k_1=0}^{m_1} \frac{\hat{f}_i^{(k_1)}(e_{if_0})}{k_1!} (e_i - e_{if_0})^{k_1} \\ &= \frac{\hat{f}_i^{(0)}(e_{if_0})}{0!} + \frac{\hat{f}_i^{(1)}(e_{if_0})}{1!} (e_i - e_{if_0})^1 \\ &\quad + \frac{\hat{f}_i^{(2)}(e_{if_0})}{2!} (e_i - e_{if_0})^2 + \dots \\ &\quad + \frac{\hat{f}_i^{(m_1)}(e_{if_0})}{m_1!} (e_i - e_{if_0})^{m_1} \end{aligned} \quad (7-4)$$

که در آن  $i = 1, 2, \dots, n$  و  $\hat{f}_i$  پاسخ خروجی تقریب گر پیشنهادی می باشد که بیانگر تعداد  $m_1 + 1$  جمله تیلور  $\hat{f}_i$  حول  $e_{if_0}$  می باشد. رابطه (۷-۴) را می توان بصورت زیر بازنویسی کرد:

$$\hat{f}_i = \hat{\theta}_{f_i}^T \xi_{f_i} \quad (8-4)$$

که در آن  $\hat{\theta}_{f_i}^T \in \mathbb{R}^{1 \times (m_1+1)}$  بردار ضریب های سری تیلور و  $\xi_{f_i} \in \mathbb{R}^{(m_1+1) \times 1}$  بیانگر بردار رگرسیون می باشد که بدین صورت معرفی می شوند:

$$\xi_{f_i} = [1, (e_i - e_{if_0})^1, \dots, (e_i - e_{if_0})^{m_1}]^T \quad (9-4)$$

$$\hat{\theta}_{f_i}^T = \left[ \frac{\hat{f}_i^{(0)}(e_{if_0})}{0!}, \frac{\hat{f}_i^{(1)}(e_{if_0})}{1!}, \dots, \frac{\hat{f}_i^{(m_1)}(e_{if_0})}{m_1!} \right] \quad (10-4)$$

برای محافظت از موتور در مقابل اضافه ولتاژ، از محدودکننده ولتاژ استفاده می‌شود. بنابراین قانون کنترل در ساختار مفصل مستقل بدین صورت پیشنهاد می‌شود:

$$v_i = h(u_i) \quad (11-4)$$

$$h(u_i) = \begin{cases} u_i & \text{if } |u_i| \leq v_{max,i} \\ v_{max,i} \operatorname{sgn}(u_i) & \text{if } v_{max,i} < |u_i| \end{cases} \quad (12-4)$$

$$u_i = \ddot{q}_{mi} + \hat{f}_i + \mathbf{K}_i \mathbf{E}_i + u_{rfi} \quad (13-4)$$

که در آن  $v_{max,i}$  ولتاژ مجاز بیشینه و  $u_{rfi}$  عبارت مقاوم‌ساز می‌باشد که در بخش تحلیل پایداری ارائه می‌شود. در وضعیت  $|u_i| < v_{max,i}$ ، با اعمال قانون کنترل (11-4) تا (13-4) به سیستم (2-4)، می‌توان سیستم حلقه بسته را بدین صورت ارائه کرد:

$$\ddot{q}_i + f_i = v_{max,i} \operatorname{sgn}(u_i) \quad (14-4)$$

با در نظر گرفتن (14-4)، تلاش کنترلی در بیشینه مقدار خود به منظور کاهش خطای ردگیری قرار دارد. در وضعیت  $|u_i| \leq v_{max,i}$  و مطابق با روابط (11-4) تا (13-4) و (2-4) داریم:

$$\ddot{q}_i + f_i = \ddot{q}_{mi} + \hat{f}_i + \mathbf{K}_i \mathbf{E}_i + u_{rfi} \quad (15-4)$$

بنابراین با توجه به رابطه (15-4)، سیستم حلقه بسته بدین صورت بدست می‌آید:

$$\ddot{e}_i + \mathbf{K}_i \mathbf{E}_i = f_i - \hat{f}_i - u_{rfi} \quad (16-4)$$

تابع غیرخطی نامعلوم  $f_i$  را می‌توان بدین صورت مدل‌سازی کرد:

$$f_i = \boldsymbol{\theta}_{f_i}^T \boldsymbol{\xi}_{f_i} + \varepsilon_{f_i} \quad (17-4)$$

که در آن  $\varepsilon_{f_i}$  خطای تقریب می‌باشد. با اعمال روابط (8-4) و (17-4) در (16-4)، دینامیک‌های خطای ردگیری را می‌توان بدین شکل بازنویسی کرد:

$$\ddot{e}_i + \mathbf{K}_i \mathbf{E}_i = (\boldsymbol{\theta}_{fi}^T - \widehat{\boldsymbol{\theta}}_{fi}^T) \boldsymbol{\xi}_{fi} + \varepsilon_{fi} - u_{rfi} \quad (18-4)$$

با استفاده از (18-4)، می‌توان معادله فضای حالت را در فضای ردگیری بدین صورت فرمول‌بندی کرد:

$$\dot{\mathbf{E}}_i = \boldsymbol{\Lambda}_i \mathbf{E}_i + \mathbf{b}_i \omega_i \quad (19-4)$$

که در آن

$$\boldsymbol{\Lambda}_i = \begin{bmatrix} 0 & 1 \\ -k_{2i} & -k_{1i} \end{bmatrix}, \quad \mathbf{b}_i = \begin{bmatrix} 0 \\ 1 \end{bmatrix}, \quad \mathbf{E}_i = [e_i, \dot{e}_i]^T, \quad (20-4)$$

$$\omega_i = (\boldsymbol{\theta}_{fi}^T - \widehat{\boldsymbol{\theta}}_{fi}^T) \boldsymbol{\xi}_{fi} + \varepsilon_{fi} - u_{rfi}$$

قبل از تحلیل پایداری سیستم حلقه بسته، لم‌های زیر را در این فصل در نظر بگیرید:

**لم ۱.** (نامساوی مثلثی) فرض کنید که  $x, y \in \mathbb{R}$  باشد. سپس نامساوی زیر برقرار است:

$$|x + y| \leq |x| + |y| \quad (21-4)$$

**لم ۲.** فرض کنید که  $a_1 > 0$  و  $a_2 > 0$ . سپس نامساوی زیر برقرار است:

$$\frac{a_1 a_2}{a_1 + a_2} < a_1 \quad (22-4)$$

**لم ۳.** چنانچه  $\boldsymbol{\Lambda}_i$  ماتریسی با مقایر ویژه پایدار باشد، ماتریس معین مثبت متقارن منحصر به فرد  $\mathbf{S}_i$

وجود دارد به نحوی که معادله لیاپانوف زیر برقرار باشد:

$$\boldsymbol{\Lambda}_i^T \mathbf{S}_i + \mathbf{S}_i \boldsymbol{\Lambda}_i = -\mathbf{Q}_i \quad (23-4)$$

که در آن  $\mathbf{Q}_i$  ماتریس معین مثبت متقارن دلخواه می‌باشد. در ساختار مفصل مستقل، تقریب‌گر

سری تیلور پیشنهادی  $\hat{f}_i$  معرفی شده در (18-4) می‌تواند عدم قطعیت تجمعی  $f_i$  در رابطه (24-4) را با

بهره‌گیری از مکانیزم‌های تطبیقی که در تحلیل پایداری بدست می‌آیند، تقریب بزند. داریم:

$$|f_i - \hat{f}_i| < \mu_i(t) \quad (24-4)$$

که در آن  $\mu_i(t) > 0$  کران بالای خطای عدم قطعیت می‌باشد. با اعمال روابط (۴-۸) و (۴-۱۷) در (۲۴-۴) داریم:

$$|(\theta_{f_i} - \hat{\theta}_{f_i})\xi_{f_i} + \varepsilon_{f_i}| < \mu_i(t) \quad (25-4)$$

می‌توان رابطه (۲۵-۴) را بدین صورت بازنویسی کرد:

$$-\mu_i(t) - (\theta_{f_i} - \hat{\theta}_{f_i})\xi_{f_i} < \varepsilon_{f_i} < \mu_i(t) - (\theta_{f_i} - \hat{\theta}_{f_i})\xi_{f_i} \quad (26-4)$$

با استفاده از (۲۶-۴)، می‌توان کران بالای  $\varepsilon_{f_i}$  را بدین صورت توصیف کرد:

$$|\varepsilon_{f_i}| < |\mu_i(t) - (\theta_{f_i} - \hat{\theta}_{f_i})\xi_{f_i}| \quad (27-4)$$

فرض کنید که  $x, y \in \mathbb{R}$ ، با در نظر گرفتن نامساوی مثلثی در لم ۱، نامساوی زیر برقرار است:

$$|x - y| \leq |x| + |y| \quad (28-4)$$

با در نظر گرفتن رابطه (۲۸-۴)، به راحتی می‌توان رابطه (۲۷-۴) را بدین شکل توصیف کرد:

$$|\varepsilon_{f_i}| < \eta_i(t) \quad (29-4)$$

که در آن  $\eta_i(t)$  کران بالای خطای تقریب می‌باشد که بدین شکل معرفی می‌شود:

$$\eta_i(t) = |\mu_i(t)| + |(\theta_{f_i} - \hat{\theta}_{f_i})\xi_{f_i}| \quad (30-4)$$

با توجه به قانون کنترل، عبارت مقاوم‌ساز،  $u_{r_{f_i}}$ ، به ساختار کنترل‌کننده پیشنهادی اضافه شده است تا همگرایی مجانبی خطای ردگیری تضمین شود. از سوی دیگر عبارت مقاوم‌ساز نیازمند تقریب کران بالای خطای تقریب می‌باشد. در این فصل به منظور تقریب  $\eta_i(t)$ ، از تقریب‌گر سری تیلور بدین شکل استفاده می‌شود:

$$\hat{\eta}_i(t) = \hat{\theta}_{\eta_i}^T \psi_{\eta_i} \quad (31-4)$$

که در آن بردار  $\hat{\theta}_{\eta_i}$  تقریب  $\theta_{\eta_i}$  و همچنین بردار رگرسور می باشد. ساختار کنترلی پیشنهادی در شکل ۴-۱ نشان داده شده است.

**قضیه ۳.** با جبران سیستم غیرخطی نامعلوم (۴-۱) با بهره‌گیری از قانون کنترل (۴-۱۱) تا (۴-۱۳)، همگرایی مجانبی خطای ردگیری  $e_i$  و مشتق زمانی آن  $\dot{e}_i$  به سمت صفر تضمین می‌شود و تمامی سیگنال‌ها محدود باقی خواهند ماند، اگر قوانین تطبیق و عبارت مقاوم‌ساز بدین صورت انتخاب شوند:

$$\hat{\theta}_{\eta_i}(t) = \int_0^t \lambda_i |E_i^T S_i b_i| \psi_{\eta_i} d\tau + \hat{\theta}_{\eta_i}(0) \quad (32-4)$$

$$\hat{\theta}_{f_i}(t) = \int_0^t \gamma_i E_i^T S_i b_i \xi_{f_i} d\tau + \hat{\theta}_{f_i}(0) \quad (33-4)$$

$$u_{rfi} = \frac{\hat{\eta}_i^2(t) E_i^T S_i b_i}{|\hat{\eta}_i(t) E_i^T S_i b_i| + \delta_i \exp(-\sigma_i t)} \quad (34-4)$$

که در آن  $\hat{\theta}_{\eta_i}(0)$  و  $\hat{\theta}_{f_i}(0)$  به ترتیب مقادیر اولیه برای  $\hat{\theta}_{\eta_i}(t)$  و  $\hat{\theta}_{f_i}(t)$  هستند.

**اثبات قضیه ۳.** با در نظر گرفتن لم ۳، تابع معین مثبت بدین شکل پیشنهاد می‌شود:

$$V = \frac{1}{2} \sum_{i=1}^n E_i^T S_i E_i + \frac{1}{2} \sum_{i=1}^n \frac{1}{\gamma_i} (\theta_{f_i}^T - \hat{\theta}_{f_i}^T)(\theta_{f_i} - \hat{\theta}_{f_i}) \quad (35-4)$$

$$+ \frac{1}{2} \sum_{i=1}^n \frac{1}{\lambda_i} (\theta_{\eta_i}^T - \hat{\theta}_{\eta_i}^T)(\theta_{\eta_i} - \hat{\theta}_{\eta_i})$$

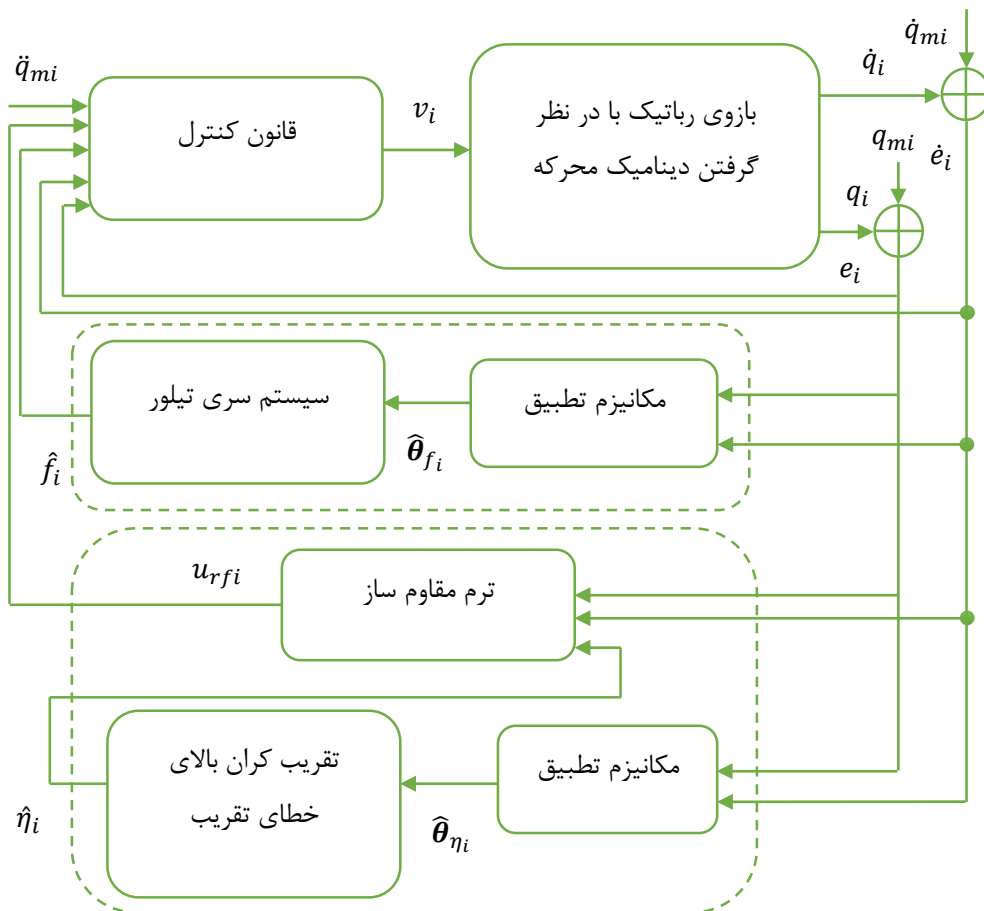
که در آن  $\lambda_i$  و  $\gamma_i$  ثابت‌های مثبت هستند. با مشتق‌گیری از  $V$  در رابطه (۴-۳۵) داریم:

$$\dot{V} = \frac{1}{2} \sum_{i=1}^n \dot{\mathbf{E}}_i^T \mathbf{S}_i \mathbf{E}_i + \frac{1}{2} \sum_{i=1}^n \mathbf{E}_i^T \mathbf{S}_i \dot{\mathbf{E}}_i - \sum_{i=1}^n \frac{1}{\gamma_i} (\boldsymbol{\theta}_{f_i}^T - \widehat{\boldsymbol{\theta}}_{f_i}^T) \dot{\hat{\boldsymbol{\theta}}}_{f_i} - \sum_{i=1}^n \frac{1}{\lambda_i} (\boldsymbol{\theta}_{\eta_i}^T - \widehat{\boldsymbol{\theta}}_{\eta_i}^T) \dot{\hat{\boldsymbol{\theta}}}_{\eta_i} \quad (36-4)$$

با در نظر گرفتن رابطه (۴-۲۳) در لم ۳ و (۴-۱۹) داریم:

$$\dot{V} = -\frac{1}{2} \sum_{i=1}^n \mathbf{E}_i^T \mathbf{Q}_i \mathbf{E}_i + \sum_{i=1}^n \mathbf{E}_i^T \mathbf{S}_i \mathbf{b}_i \omega_i - \sum_{i=1}^n \frac{1}{\gamma_i} (\boldsymbol{\theta}_{f_i}^T - \widehat{\boldsymbol{\theta}}_{f_i}^T) \dot{\hat{\boldsymbol{\theta}}}_{f_i} - \sum_{i=1}^n \frac{1}{\lambda_i} (\boldsymbol{\theta}_{\eta_i}^T - \widehat{\boldsymbol{\theta}}_{\eta_i}^T) \dot{\hat{\boldsymbol{\theta}}}_{\eta_i} \quad (37-4)$$

با استفاده از (۴-۲۰)، می توان رابطه (۴-۳۷) را بدین صورت بازنویسی کرد:



شکل ۴-۱ دیاگرام بلوکی روش کنترل تطبیقی غیرمستقیم سری تیلور

$$\begin{aligned}
\dot{V} = & -\frac{1}{2} \sum_{i=1}^n \mathbf{E}_i^T \mathbf{Q}_i \mathbf{E}_i + \sum_{i=1}^n \mathbf{E}_i^T \mathbf{S}_i \mathbf{b}_i (\boldsymbol{\theta}_{f_i}^T - \widehat{\boldsymbol{\theta}}_{f_i}^T) \boldsymbol{\xi}_{f_i} + \sum_{i=1}^n \mathbf{E}_i^T \mathbf{S}_i \mathbf{b}_i \varepsilon_{f_i} \\
& - \sum_{i=1}^n \mathbf{E}_i^T \mathbf{S}_i \mathbf{b}_i u_{rfi} - \sum_{i=1}^n \frac{1}{\gamma_i} (\boldsymbol{\theta}_{f_i}^T - \widehat{\boldsymbol{\theta}}_{f_i}^T) \dot{\boldsymbol{\theta}}_{f_i} \\
& - \sum_{i=1}^n \frac{1}{\lambda_i} (\boldsymbol{\theta}_{\eta_i}^T - \widehat{\boldsymbol{\theta}}_{\eta_i}^T) \dot{\boldsymbol{\theta}}_{\eta_i}
\end{aligned} \tag{۳۸-۴}$$

با جایگذاری کران بالای خطای تقریب (۴-۲۹) در (۴-۳۸)، می‌توان رابطه زیر را بدست آورد:

$$\begin{aligned}
\dot{V} \leq & -\frac{1}{2} \sum_{i=1}^n \mathbf{E}_i^T \mathbf{Q}_i \mathbf{E}_i + \sum_{i=1}^n \mathbf{E}_i^T \mathbf{S}_i \mathbf{b}_i (\boldsymbol{\theta}_{f_i}^T - \widehat{\boldsymbol{\theta}}_{f_i}^T) \boldsymbol{\xi}_{f_i} \\
& + \sum_{i=1}^n |\mathbf{E}_i^T \mathbf{S}_i \mathbf{b}_i| \eta_i(t) - \sum_{i=1}^n \mathbf{E}_i^T \mathbf{S}_i \mathbf{b}_i u_{rfi} \\
& - \sum_{i=1}^n \frac{1}{\gamma_i} (\boldsymbol{\theta}_{f_i}^T - \widehat{\boldsymbol{\theta}}_{f_i}^T) \dot{\boldsymbol{\theta}}_{f_i} - \sum_{i=1}^n \frac{1}{\lambda_i} (\boldsymbol{\theta}_{\eta_i}^T - \widehat{\boldsymbol{\theta}}_{\eta_i}^T) \dot{\boldsymbol{\theta}}_{\eta_i}
\end{aligned} \tag{۳۹-۴}$$

عبارت مقاوم‌ساز  $u_{rfi}$  بدین صورت پیشنهاد می‌شود:

$$u_{rfi} = \frac{\hat{\eta}_i^2(t) \mathbf{E}_i^T \mathbf{S}_i \mathbf{b}_i}{|\hat{\eta}_i(t) \mathbf{E}_i^T \mathbf{S}_i \mathbf{b}_i| + \delta_i \exp(-\sigma_i t)} \tag{۴۰-۴}$$

که در آن  $\delta_i$  و  $\sigma_i$  ثابت‌های مثبت هستند. با اعمال (۴-۴۰) در (۴-۴۹) خواهیم داشت:



$$\begin{aligned}
\dot{V} \leq & -\frac{1}{2} \sum_{i=1}^n \mathbf{E}_i^T \mathbf{Q}_i \mathbf{E}_i + \sum_{i=1}^n \mathbf{E}_i^T \mathbf{S}_i \mathbf{b}_i (\boldsymbol{\theta}_{f_i}^T - \widehat{\boldsymbol{\theta}}_{f_i}^T) \boldsymbol{\xi}_{f_i} \\
& + \sum_{i=1}^n |\mathbf{E}_i^T \mathbf{S}_i \mathbf{b}_i| \eta_i(t) \\
& - \sum_{i=1}^n \frac{\hat{\eta}_i^2(t) (\mathbf{E}_i^T \mathbf{S}_i \mathbf{b}_i)^2}{|\hat{\eta}_i(t) \mathbf{E}_i^T \mathbf{S}_i \mathbf{b}_i| + \delta_i \exp(-\sigma_i t)} \\
& - \sum_{i=1}^n \frac{1}{\gamma_i} (\boldsymbol{\theta}_{f_i}^T - \widehat{\boldsymbol{\theta}}_{f_i}^T) \dot{\hat{\boldsymbol{\theta}}}_{f_i} - \sum_{i=1}^n \frac{1}{\lambda_i} (\boldsymbol{\theta}_{\eta_i}^T - \widehat{\boldsymbol{\theta}}_{\eta_i}^T) \dot{\hat{\boldsymbol{\theta}}}_{\eta_i}
\end{aligned} \tag{۴۱-۴}$$

بنابراین،

$$\begin{aligned}
\dot{V} \leq & -\frac{1}{2} \sum_{i=1}^n \mathbf{E}_i^T \mathbf{Q}_i \mathbf{E}_i + \sum_{i=1}^n \mathbf{E}_i^T \mathbf{S}_i \mathbf{b}_i (\boldsymbol{\theta}_{f_i}^T - \widehat{\boldsymbol{\theta}}_{f_i}^T) \boldsymbol{\xi}_{f_i} \\
& + \sum_{i=1}^n |\mathbf{E}_i^T \mathbf{S}_i \mathbf{b}_i| \eta_i(t) - \sum_{i=1}^n |\mathbf{E}_i^T \mathbf{S}_i \mathbf{b}_i| \hat{\eta}_i(t) \\
& - \sum_{i=1}^n \frac{\hat{\eta}_i^2(t) (\mathbf{E}_i^T \mathbf{S}_i \mathbf{b}_i)^2}{|\hat{\eta}_i(t) \mathbf{E}_i^T \mathbf{S}_i \mathbf{b}_i| + \delta_i \exp(-\sigma_i t)} \\
& + \sum_{i=1}^n |\mathbf{E}_i^T \mathbf{S}_i \mathbf{b}_i| \hat{\eta}_i(t) - \sum_{i=1}^n \frac{1}{\gamma_i} (\boldsymbol{\theta}_{f_i}^T - \widehat{\boldsymbol{\theta}}_{f_i}^T) \dot{\hat{\boldsymbol{\theta}}}_{f_i} \\
& - \sum_{i=1}^n \frac{1}{\lambda_i} (\boldsymbol{\theta}_{\eta_i}^T - \widehat{\boldsymbol{\theta}}_{\eta_i}^T) \dot{\hat{\boldsymbol{\theta}}}_{\eta_i}
\end{aligned} \tag{۴۲-۴}$$

به عبارت دیگر

$$\begin{aligned}
\dot{V} \leq & -\frac{1}{2} \sum_{i=1}^n \mathbf{E}_i^T \mathbf{Q}_i \mathbf{E}_i + \sum_{i=1}^n \mathbf{E}_i^T \mathbf{S}_i \mathbf{b}_i (\boldsymbol{\theta}_{f_i}^T - \widehat{\boldsymbol{\theta}}_{f_i}^T) \boldsymbol{\xi}_{f_i} \\
& + \sum_{i=1}^n |\mathbf{E}_i^T \mathbf{S}_i \mathbf{b}_i| (\boldsymbol{\theta}_{\eta_i}^T - \widehat{\boldsymbol{\theta}}_{\eta_i}^T) \boldsymbol{\psi}_{\eta_i} \\
& - \sum_{i=1}^n \frac{\hat{\eta}_i^2(t) (\mathbf{E}_i^T \mathbf{S}_i \mathbf{b}_i)^2}{|\hat{\eta}_i(t) \mathbf{E}_i^T \mathbf{S}_i \mathbf{b}_i| + \delta_i \exp(-\sigma_i t)} \\
& + \sum_{i=1}^n |\mathbf{E}_i^T \mathbf{S}_i \mathbf{b}_i| \hat{\eta}_i(t) - \sum_{i=1}^n \frac{1}{\gamma_i} (\boldsymbol{\theta}_{f_i}^T - \widehat{\boldsymbol{\theta}}_{f_i}^T) \dot{\boldsymbol{\theta}}_{f_i} \\
& - \sum_{i=1}^n \frac{1}{\lambda_i} (\boldsymbol{\theta}_{\eta_i}^T - \widehat{\boldsymbol{\theta}}_{\eta_i}^T) \dot{\boldsymbol{\theta}}_{\eta_i}
\end{aligned} \tag{۴۳-۴}$$

بنابراین داریم:

$$\begin{aligned}
\dot{V} \leq & -\frac{1}{2} \sum_{i=1}^n \mathbf{E}_i^T \mathbf{Q}_i \mathbf{E}_i + \sum_{i=1}^n \mathbf{E}_i^T \mathbf{S}_i \mathbf{b}_i (\boldsymbol{\theta}_{f_i}^T - \widehat{\boldsymbol{\theta}}_{f_i}^T) \boldsymbol{\xi}_{f_i} \\
& + \sum_{i=1}^n |\mathbf{E}_i^T \mathbf{S}_i \mathbf{b}_i| (\boldsymbol{\theta}_{\eta_i}^T - \widehat{\boldsymbol{\theta}}_{\eta_i}^T) \boldsymbol{\psi}_{\eta_i} \\
& + \sum_{i=1}^n \frac{\delta_i \exp(-\sigma_i t) |\hat{\eta}_i(t) \mathbf{E}_i^T \mathbf{S}_i \mathbf{b}_i|}{|\hat{\eta}_i(t) \mathbf{E}_i^T \mathbf{S}_i \mathbf{b}_i| + \delta_i \exp(-\sigma_i t)} \\
& - \sum_{i=1}^n \frac{1}{\gamma_i} (\boldsymbol{\theta}_{f_i}^T - \widehat{\boldsymbol{\theta}}_{f_i}^T) \dot{\boldsymbol{\theta}}_{f_i} - \sum_{i=1}^n \frac{1}{\lambda_i} (\boldsymbol{\theta}_{\eta_i}^T - \widehat{\boldsymbol{\theta}}_{\eta_i}^T) \dot{\boldsymbol{\theta}}_{\eta_i}
\end{aligned} \tag{۴۴-۴}$$

با انتخاب قوانین تطبیق به صورت زیر

$$\dot{\boldsymbol{\theta}}_{\eta_i} = \lambda_i |\mathbf{E}_i^T \mathbf{S}_i \mathbf{b}_i| \boldsymbol{\psi}_{\eta_i} \tag{۴۵-۴}$$

$$\dot{\boldsymbol{\theta}}_{f_i} = \gamma_i \mathbf{E}_i^T \mathbf{S}_i \mathbf{b}_i \boldsymbol{\xi}_{f_i} \tag{۴۶-۴}$$

می‌توان رابطه (۴۴-۴) را بدین صورت بازنویسی کرد:

$$\dot{V} \leq -\frac{1}{2} \sum_{i=1}^n \mathbf{E}_i^T \mathbf{Q}_i \mathbf{E}_i + \sum_{i=1}^n \frac{\delta_i \exp(-\sigma_i t) |\hat{\eta}_i(t) \mathbf{E}_i^T \mathbf{S}_i \mathbf{b}_i|}{|\hat{\eta}_i(t) \mathbf{E}_i^T \mathbf{S}_i \mathbf{b}_i| + \delta_i \exp(-\sigma_i t)} \quad (47-4)$$

با بهره‌گیری از لم ۲، می‌توان رابطه (۴۷-۴) را بدین شکل نوشت:

$$\dot{V} \leq -\frac{1}{2} \sum_{i=1}^n \mathbf{E}_i^T \mathbf{Q}_i \mathbf{E}_i + \sum_{i=1}^n \delta_i \exp(-\sigma_i t) \quad (48-4)$$

خطای ردگیری مفصلی  $e_i$  و مشتق زمانی آن  $\dot{e}_i$  (به بیان دیگر  $\mathbf{E}_i = [e_i, \dot{e}_i]^T$ ) کاهش می‌یابد اگر  $\dot{V}_i < 0$  باشد. بنابراین برقراری  $\dot{V}_i < 0$  این نتیجه را می‌دهد که

$$-\frac{1}{2} \mathbf{E}_i^T \mathbf{Q}_i \mathbf{E}_i + \delta_i \exp(-\sigma_i t) < 0 \quad (49-4)$$

به دلیل آنکه  $\lambda_{\min}(\mathbf{Q}_i) \|\mathbf{E}_i\|^2 \leq \mathbf{E}_i^T \mathbf{Q}_i \mathbf{E}_i \leq \lambda_{\max}(\mathbf{Q}_i) \|\mathbf{E}_i\|^2$  به منظور برقراری رابطه (۴۹-۴)، کفایت که:

$$\|\mathbf{E}_i\| > \sqrt{\frac{2\delta_i \exp(-\sigma_i t)}{\lambda_{\min}(\mathbf{Q}_i)}} \triangleq \chi_i \quad (50-4)$$

که در آن  $\lambda_{\max}(\mathbf{Q}_i)$  و  $\lambda_{\min}(\mathbf{Q}_i)$  به ترتیب مقادیر ویژه کمینه و بیشینه  $\mathbf{Q}_i$  تعریف می‌شوند. مطابق رابطه (۵۰-۴)،  $\dot{V}_i < 0$  مادامی که  $\|\mathbf{E}_i\| > \chi_i$ ، به عبارت دیگر خطای ردگیری مفصلی،  $\mathbf{E}_i$  در خارج از دایره‌ای به شعاع  $\chi_i$  کاهش می‌یابد. از سوی دیگر  $\dot{V}_i > 0$  مادامی که  $\|\mathbf{E}_i\| < \chi_i$  که بدین معناست که خطای ردگیری مفصلی،  $\mathbf{E}_i$  در داخل دایره‌ای به شعاع  $\chi_i$  افزایش می‌یابد. بنابراین در هر لحظه زمانی خطای ردگیری مفصلی محدود باقی می‌ماند. بیان این نکته ضروری است که با توجه به رابطه (۵۰-۴)، شعاع  $\chi_i$  با در نظر گرفتن  $t \rightarrow \infty$  به صفر میل می‌کند. در نتیجه کنترل‌کننده پیشنهادی طوری طراحی شده است که هم برای وضعیت  $\|\mathbf{E}_i\| > \chi_i$  و هم  $\|\mathbf{E}_i\| < \chi_i$ ، خطای ردگیری به طور مجانبی به سمت صفر میل می‌کند.

با در نظر گرفتن روابط (۴۵-۴) و (۴۶-۴)، می‌توان نتیجه گرفت که  $\hat{\theta}_{\eta_i}$  و  $\hat{\theta}_{f_i}$  محدود هستند. بعلاوه مطابق روابط (۳۱-۴)، (۸-۴) و (۴۰-۴)، به ترتیب  $\hat{\eta}_i(t)$ ،  $\hat{f}_i$  و  $u_{rfi}$  محدود هستند. چنانچه رابطه ولتاژ (۳-۲) به فرم اسکالر را در  $I_{ai}$  ضرب کرده و با انجام کمی محاسبات، محدود بودن سرعت مفصل به صورت رابطه  $|\dot{q}_i| \leq K_{bi}^{-1} r_i (\varphi_{max,i} + v_{max,i})$  قابل اثبات می‌باشد [۷۷].

از رابطه (۳-۲)، می‌توان معادله مفصل مستقل را برای هر موتور بدین صورت نوشت:

$$R_i I_{ai} + L_i \dot{I}_{ai} = \omega_i \quad (۵۱-۴)$$

$$\omega_i = v_i - K_{bi} r_i^{-1} \dot{q}_i - \varphi_i(t) \quad (۵۲-۴)$$

متغیرهای  $\dot{q}_i$ ،  $\varphi_i(t)$  و  $v_i$  محدود هستند. بنابراین ورودی  $\omega_i$  در (۵۲-۴) محدود است. از طرفی با توجه به معیار راث - هرولتز، معادله دیفرانسیل خطی (۵۱-۴)، یک سیستم خطی پایدار می‌باشد. به دلیل محدودیت ورودی  $\omega_i$ ، خروجی  $I_{ai}$  نیز محدود باقی می‌ماند. بنابراین پایداری تمامی متغیرهای سیستم تضمین می‌شود. با استفاده از روابط (۱-۲) تا (۳-۲)، مدل فضای حالت سیستم را می‌توان بدین شکل نوشت:

$$\dot{\mathbf{Z}} = \mathbf{h}(\mathbf{Z}) + \mathbf{b}v - \mathbf{b}\varphi(t) \quad (۵۳-۴)$$

که در آن  $v$  ورودی‌های سیستم،  $\mathbf{Z}$  بردار حالت سیستم و  $\mathbf{h}(\mathbf{Z})$  به صورت زیر فرمول‌بندی می‌شود:

$$\mathbf{h}(\mathbf{Z}) = \begin{bmatrix} \mathbf{Z}_2 \\ (Jr^{-1} + rD(\mathbf{Z}_1))^{-1} \left( -(Br^{-1} + rC(\mathbf{Z}_1, \mathbf{Z}_2))\mathbf{Z}_2 - r\mathbf{g}(\mathbf{Z}_1) + K_m \mathbf{Z}_3 - r\tau_f(\mathbf{Z}_2) \right) \\ -L^{-1}(K_b r^{-1} \mathbf{Z}_2 + R\mathbf{Z}_3) \end{bmatrix} \quad (۵۴-۴)$$

$$\mathbf{b} = \begin{bmatrix} 0 \\ 0 \\ L^{-1} \end{bmatrix}, \quad \mathbf{Z} = \begin{bmatrix} \mathbf{Z}_1 \\ \mathbf{Z}_2 \\ \mathbf{Z}_3 \end{bmatrix} = \begin{bmatrix} \mathbf{q} \\ \dot{\mathbf{q}} \\ I_a \end{bmatrix} \quad (۵۵-۴)$$

در سمت راست معادله سیستم حلقه بسته (۵۳-۴)،  $\mathbf{h}(\mathbf{Z})$  و  $v$  محدود هستند و  $\mathbf{b}$  بردار ثابت می‌باشد. بنابراین بردار  $\dot{\mathbf{Z}}$  محدود باقی می‌ماند که در نتیجه متغیرهای  $\dot{\mathbf{q}}$  و  $I_a$  محدود باقی

می‌مانند. بنابراین طرح کنترلی پیشنهادی محدودیت عدم قطعیت  $f_i$  در (۴-۸) را نتیجه می‌دهد. با توجه به اینکه  $f_i$  و  $\hat{f}_i$  محدود هستند، محدودیت کران بالای خطای عدم قطعیت در رابطه (۴-۲۴) نیز مشاهده می‌شود. همچنین محدودیت  $\eta_i(t)$  و  $\varepsilon_{f_i}$  نیز در روابط (۴-۳۰) و (۴-۲۹) تضمین می‌شوند.

#### ۴-۴- طراحی کنترل کننده تطبیقی مستقیم سری تیلور

این بخش به پیشنهاد کنترل کننده تطبیقی مستقیم سری تیلور خواهد پرداخت به نحوی که ضریب‌های کنترل کننده برای کاهش خطای تقریب به طور مستقیم تنظیم می‌شوند. برای این منظور کنترل کننده سری تیلور بدین شکل پیشنهاد می‌شود:

$$\begin{aligned} u_{tsi} &= \sum_{k_2=0}^{m_2} \frac{u_{tsi}^{(k_2)}(e_{iu_0})}{k_2!} (e_i - e_{iu_0})^{k_2} \\ &= \frac{u_{tsi}^{(0)}(e_{iu_0})}{0!} + \frac{u_{tsi}^{(1)}(e_{iu_0})}{1!} (e_i - e_{iu_0})^1 + \dots \\ &\quad + \frac{u_{tsi}^{(m_2)}(e_{iu_0})}{m_2!} (e_i - e_{iu_0})^{m_2} \end{aligned} \quad (۴-۵۶)$$

کنترل کننده سری تیلور (۴-۵۶) با هدف تقریب کنترل کننده ایده‌آل (۴-۶) پیشنهاد می‌شود. هر چند باید توجه داشت که وجود خطای مدلسازی در ساختار سیستم حلقه بسته، طراحان را برای دستیابی به همگرایی مجانبی خطای ردگیری با چالش جدی مواجه خواهد کرد. می‌توان رابطه (۴-۵۶) را بدین صورت نشان داد:

$$u_{tsi} = \hat{\theta}_{u_i}^T \xi_{u_i} \quad (۴-۵۷)$$

که در آن بردار ضریب‌ها که توسط قانون تطبیق تنظیم می‌شود و  $\hat{\theta}_{u_i}^T \in \mathbb{R}^{1 \times (m_2+1)}$  و بردار رگرسور می‌باشد که بدین صورت تعریف می‌شوند:  $\xi_{u_i} \in \mathbb{R}^{(m_2+1) \times 1}$

$$\xi_{u_i} = [1, (e_i - e_{iu_0})^1, \dots, (e_i - e_{iu_0})^{m_2}]^T \quad (58-4)$$

$$\hat{\theta}_{u_i}^T = \left[ \frac{u_{ts_i}^{(0)}(e_{iu_0})}{0!}, \frac{u_{ts_i}^{(1)}(e_{iu_0})}{1!}, \dots, \frac{u_{ts_i}^{(m_2)}(e_{iu_0})}{m_2!} \right] \quad (59-4)$$

اکنون می‌توان قانون کنترل تطبیقی مستقیم در ساختار مفصل مستقل را بدین صورت پیشنهاد داد:

$$v_i = h(u_i) \quad (60-4)$$

$$h(u_i) = \begin{cases} u_i & \text{if } |u_i| \leq v_{max,i} \\ v_{max,i} \operatorname{sgn}(u_i) & \text{if } v_{max,i} < |u_i| \end{cases} \quad (61-4)$$

$$u_i = u_{ts_i} + u_{s_i} = \hat{\theta}_{u_i}^T \xi_{u_i} + u_{s_i} \quad (62-4)$$

که در آن عبارت مقاوم‌ساز است که به منظور جبران خطای مدل‌سازی به کنترل‌کننده اضافه شده است. با مدل‌سازی کنترل‌کننده ایده‌آل بصورت زیر داریم:

$$u_i^* = \theta_{u_i}^T \xi_{u_i} + \varepsilon_{u_i} \quad (63-4)$$

که در آن  $\varepsilon_{u_i}$  خطای مدل‌سازی است. همانطور که در بخش ۳-۴ اشاره شد، در وضعیت  $|u_i| < v_{max,i}$  ولتاژها در بیشینه تلاش خود به منظور کاهش خطای ردگیری قرار دارند. با در نظر گرفتن  $|u_i| \leq v_{max,i}$ ، سیستم حلقه بسته را می‌توان با اعمال رابطه (۶۳-۴) به سیستم (۲-۴) بدین شکل بدست آورد:

$$\ddot{q}_i + f_i = \hat{\theta}_{u_i}^T \xi_{u_i} + u_{s_i} \quad (64-4)$$

بعلاوه با تقریب کنترل‌کننده ایده‌آل (۶-۴) توسط کنترل‌کننده سری تیلور پیشنهادی (۶۳-۴) داریم:

$$\ddot{q}_{mi} + f_i + \mathbf{K}_i \mathbf{E}_i = \theta_{u_i}^T \xi_{u_i} + \varepsilon_{u_i} \quad (65-4)$$

دینامیک‌های خطای ردگیری با در نظر گرفتن روابط (۶۴-۴) و (۶۵-۴) را می‌توان بدین صورت بدست آورد:

$$\ddot{e}_i + \mathbf{K}_i \mathbf{E}_i = (\boldsymbol{\theta}_{u_i}^T - \widehat{\boldsymbol{\theta}}_{u_i}^T) \boldsymbol{\xi}_{u_i} + \varepsilon_{u_i} - u_{s_i} \quad (66-4)$$

با نوشتن رابطه (66-4) بصورت معادله فضای حالت، داریم:

$$\dot{\mathbf{E}}_i = \boldsymbol{\Xi}_i \mathbf{E}_i + \mathbf{b}_i \varpi_i \quad (67-4)$$

$$\boldsymbol{\Xi}_i = \begin{bmatrix} 0 & 1 \\ -k'_{2i} & -k'_{1i} \end{bmatrix}, \quad \mathbf{b}_i = \begin{bmatrix} 0 \\ 1 \end{bmatrix}, \quad \mathbf{E}_i = [e_i, \dot{e}_i]^T, \quad (68-4)$$

$$\varpi_i = (\boldsymbol{\theta}_{u_i}^T - \widehat{\boldsymbol{\theta}}_{u_i}^T) \boldsymbol{\xi}_{u_i} + \varepsilon_{u_i} - u_{s_i}$$

با در نظر گرفتن کران بالای خطای مدلسازی،  $|\varepsilon_{u_i}| < \vartheta_i(t)$ ، تقریب‌گر زیر به منظور تقریب  $\vartheta_i(t)$  بدین صورت پیشنهاد می‌شود:

$$\hat{\vartheta}_i(t) = \widehat{\boldsymbol{\theta}}_{\vartheta_i}^T \boldsymbol{\Upsilon}_{\vartheta_i} \quad (69-4)$$

که در آن بردار  $\widehat{\boldsymbol{\theta}}_{\vartheta_i}$  تقریب  $\boldsymbol{\theta}_{\vartheta_i}$  می‌باشد. باید توجه داشت که روند تحلیل پایداری در این بخش مشابه بخش ۳-۴ می‌باشد. بنابراین از تکرار مجدد تحلیل پایداری در این بخش صرف‌نظر می‌شود. عبارت مقاوم‌ساز مورد نیاز و قوانین تطبیق به منظور تنظیم ضریب‌های کنترل‌کننده و کران بالای خطای مدلسازی مستقیماً به شکل زیر محاسبه می‌شود:

$$u_{s_i} = \frac{\hat{\vartheta}_i^2(t) \mathbf{E}_i^T \mathbf{P}_i \mathbf{b}_i}{|\hat{\vartheta}_i(t) \mathbf{E}_i^T \mathbf{P}_i \mathbf{b}_i| + \delta'_i \exp(-\sigma'_i t)} \quad (70-4)$$

$$\hat{\boldsymbol{\theta}}_{\vartheta_i} = \lambda'_i |\mathbf{E}_i^T \mathbf{P}_i \mathbf{b}_i| \boldsymbol{\Upsilon}_{\vartheta_i} \quad (71-4)$$

$$\hat{\boldsymbol{\theta}}_{u_i} = \gamma'_i \mathbf{E}_i^T \mathbf{P}_i \mathbf{b}_i \boldsymbol{\xi}_{u_i} \quad (72-4)$$

که در آن ماتریس معین مثبت متقارن و  $\delta'_i$ ،  $\sigma'_i$ ،  $\lambda'_i$  و  $\gamma'_i$  ثابت‌های مثبت هستند.

#### ۴-۵- نتایج شبیه‌سازی

این بخش به منظور تایید عملکرد موثر طرح‌های کنترلی پیشنهاد شده در این فصل، نتایج شبیه‌سازی مختلفی را ارائه می‌کند. به عنوان مطالعه موردی از بازوی رباتیک اسکارا مجهز به موتورهای مغناطیس دائم جریان مستقیم استفاده می‌شود. تمامی ضریب‌های مرتبط با دینامیک‌های سیستم رباتیک و محرکه‌ها در پیوست ۱ پایان‌نامه معرفی شده‌اند. مسیر مفصلی مطلوب همانطور که در شکل ۴-۲ نشان داده شده است، برای تمامی مفاصل بدین صورت فرمول‌بندی می‌شوند:

$$q_{mi} = 0.5 \left( 1 - \cos \left( \frac{\pi t}{5} \right) \right) \quad \text{for} \quad 0 \leq t \leq 10 \quad (۷۳-۴)$$

سیگنال اغتشاش بصورت پالس مستطیلی با دامنه ۲ ولت به سیستم داده می‌شود. خطاهای اولیه برای مفاصل اول تا چهارم به ترتیب ۰/۱ رادیان، ۰/۱ رادیان، ۰/۱ متر و ۰/۱ رادیان در نظر گرفته می‌شود.

#### ۴-۵-۱- شبیه‌سازی اول

روش کنترلی تطبیقی غیرمستقیم پیشنهادی که شامل

- قانون کنترل (۴-۱۱) تا (۴-۱۳)
- تقریب‌گر تابع نامعلوم سری تیلور (۴-۸)
- تقریب‌گر کران بالای خطای تقریب (۴-۳۱)
- و قوانین تطبیق (۴-۳۲) و (۴-۳۳)

را در نظر می‌گیریم. ضریب‌های کنترل‌کننده بدین صورت انتخاب می‌شوند:

$$\gamma_i = 2000, \lambda_i = 0.01, \sigma_i = 0.1, \delta_i = 1, k_{2i} = 100, k_{1i} = 10, \quad (۷۴-۴)$$

$$m_1 = 1, \mathbf{S}_i = \begin{bmatrix} 105 & 5 \\ 5 & 0.55 \end{bmatrix} \quad (۷۵-۴)$$

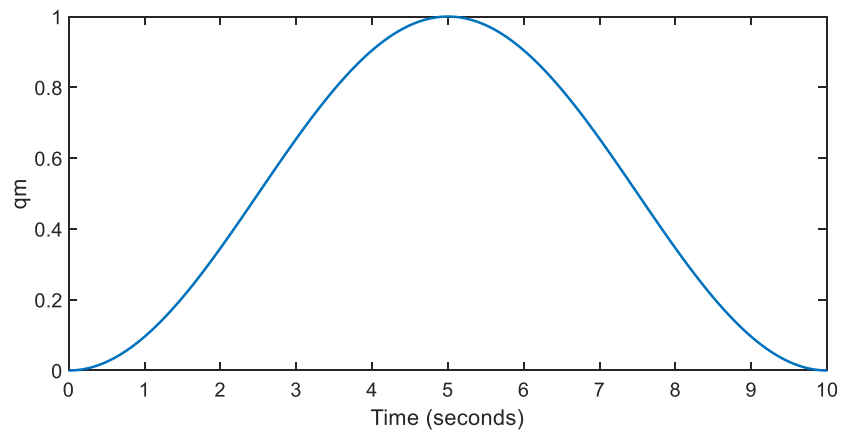
شرایط اولیه ضریب‌های  $\hat{\theta}_{f_i}(0)$  و  $\hat{\theta}_{\eta_i}(0)$  صفر فرض می‌شوند. شکل ۴-۳ عملکرد رضایت‌بخش کنترل‌کننده تطبیقی غیرمستقیم سری تیلور را نشان می‌دهد. خطای ردگیری برای تمامی مفاصل و



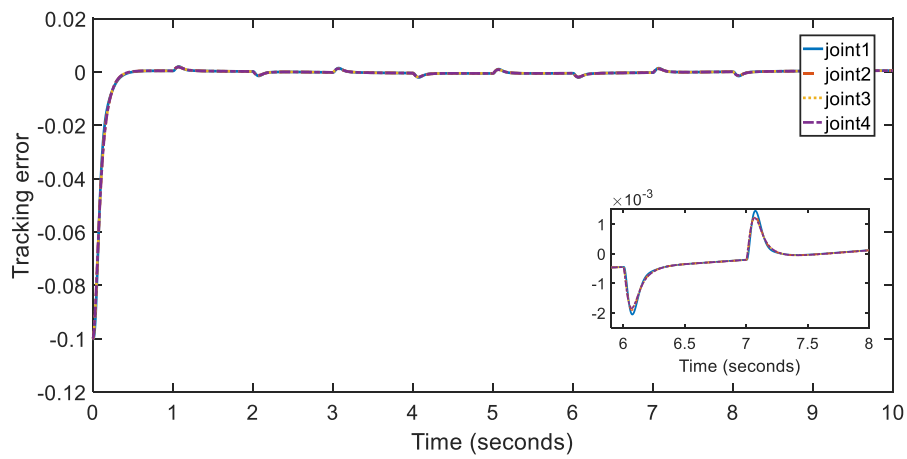
بدون فراجهش به محدوده  $[-2.1 \ 2.1] \times 10^{-3}$  کاهش می‌باید. تغییرات مجاز ولتاژ موتورها در شکل ۴-۴ نشان داده شده است. به علت وجود خطای اولیه مفاصل، تلاش کنترلی در لحظه شروع زیاد است. ضریب‌های سری تیلور برای تمامی مفاصل در شکل ۴-۵ نشان داده شده است. همانطور که مشاهده می‌شود اولین ضریب هر تقریب‌گر سری تیلور در طول زمان متغیر و دومین ضریب هر تقریب‌گر سری تیلور تقریباً به مقدار ثابت همگرا می‌شود تا تاثیرات عدم قطعیت را پوشش دهند. شکل ۴-۶ بیانگر تقریب کران بالای خطای تقریب برای تمامی مفاصل می‌باشد. به منظور ارزیابی عملکرد هر دو طرح کنترلی پیشنهادی، معیارهای عملکرد به نام‌های انتگرال مجذور خطا، انتگرال مقدار قدرمطلق خطا، انتگرال حاصلضرب زمان در مقدار قدرمطلق خطا و انتگرال مجذور ورودی کنترل در نظر گرفته می‌شوند. این معیارهای عملکردی برای هر دو روش کنترلی در جدول ۴-۱ آورده شده‌اند.

جدول ۴-۱ ارزیابی عملکرد دو روش کنترلی تطبیقی مستقیم و غیرمستقیم

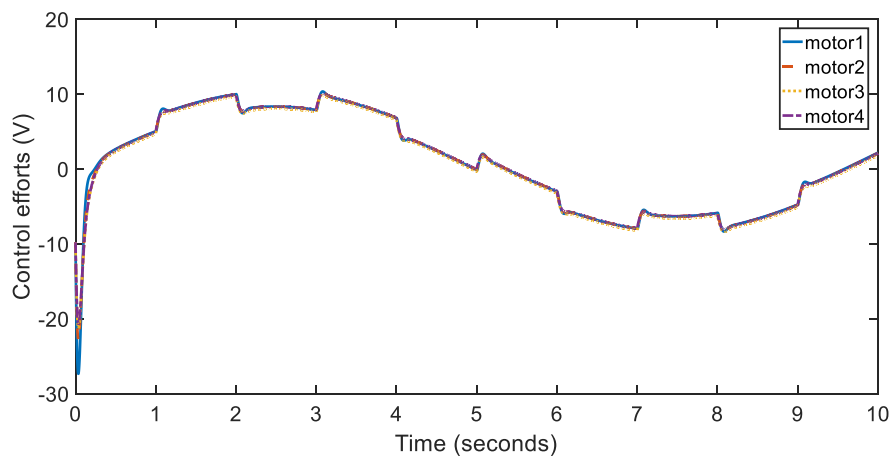
انديس عملکردی		مفصل روش کنترلی			
		$\int_0^t e_i(\tau)^2 d\tau$	$\int_0^t  e_i(\tau)  d\tau$	$\int_0^t \tau  e_i(\tau)  d\tau$	$\int_0^t u_i^2(\tau) d\tau$
کنترل تطبیقی غیر مستقیم	مفصل ۱	$6.923 \times 10^{-4}$	$1.494 \times 10^{-2}$	$2.299 \times 10^{-2}$	413.3
	مفصل ۲	$6.776 \times 10^{-4}$	$1.495 \times 10^{-2}$	$2.288 \times 10^{-2}$	403.9
	مفصل ۳	$6.749 \times 10^{-4}$	$1.498 \times 10^{-2}$	$2.286 \times 10^{-2}$	397.6
	مفصل ۴	$6.712 \times 10^{-4}$	$1.496 \times 10^{-2}$	$2.284 \times 10^{-2}$	400.5
کنترل تطبیقی مستقیم	مفصل ۱	$7.159 \times 10^{-4}$	$1.497 \times 10^{-2}$	$2.335 \times 10^{-2}$	426.7
	مفصل ۲	$6.952 \times 10^{-4}$	$1.495 \times 10^{-2}$	$2.309 \times 10^{-2}$	411
	مفصل ۳	$6.91 \times 10^{-4}$	$1.498 \times 10^{-2}$	$2.307 \times 10^{-2}$	403
	مفصل ۴	$6.868 \times 10^{-4}$	$1.495 \times 10^{-2}$	$2.305 \times 10^{-2}$	405.5



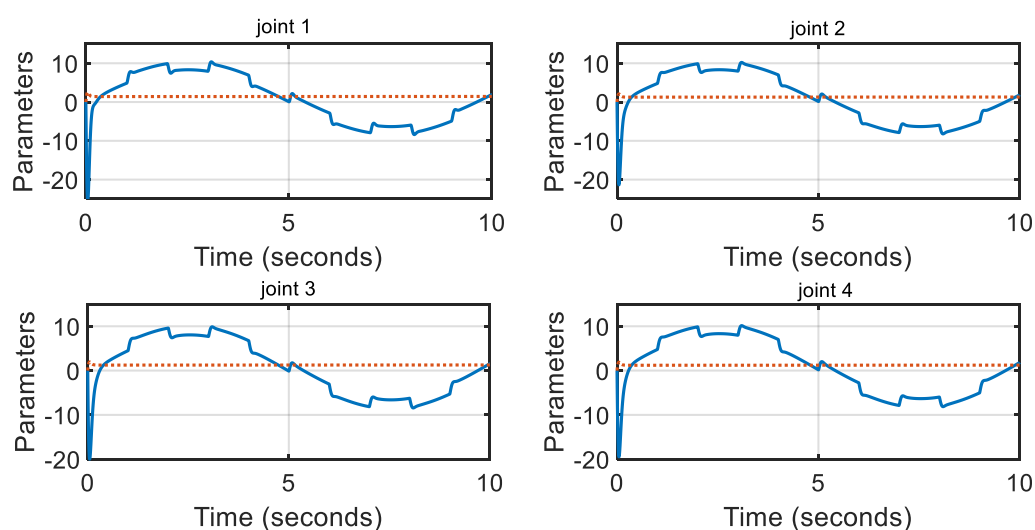
شکل ۲-۴ مسیر مطلوب در فضای مفصلی



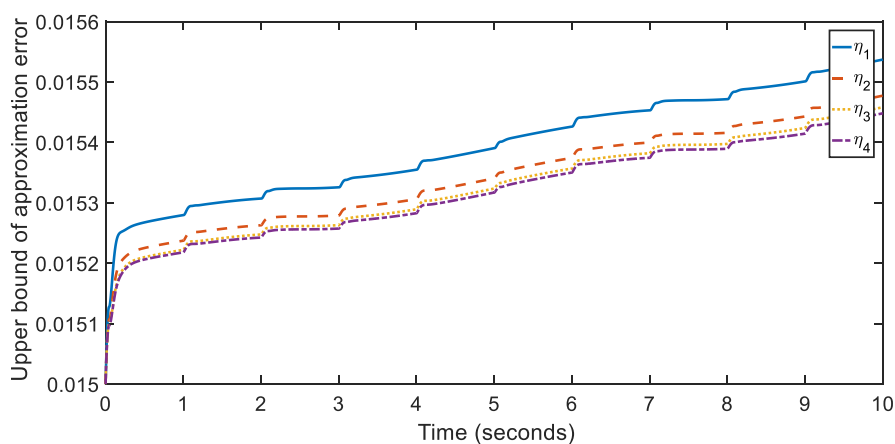
شکل ۳-۴ عملکرد ردگیری کنترل کننده سری تیلور تطبیقی غیرمستقیم



شکل ۴-۴ تلاش کنترلی موتورها



شکل ۴-۵ تطبیق ضریب‌های تقریب‌گر سری تیلور. خط توپر "-" و خط نقطه‌چین ":" به ترتیب نشان‌دهنده ضریب اول و دوم تقریب‌گر سری تیلور می‌باشد.

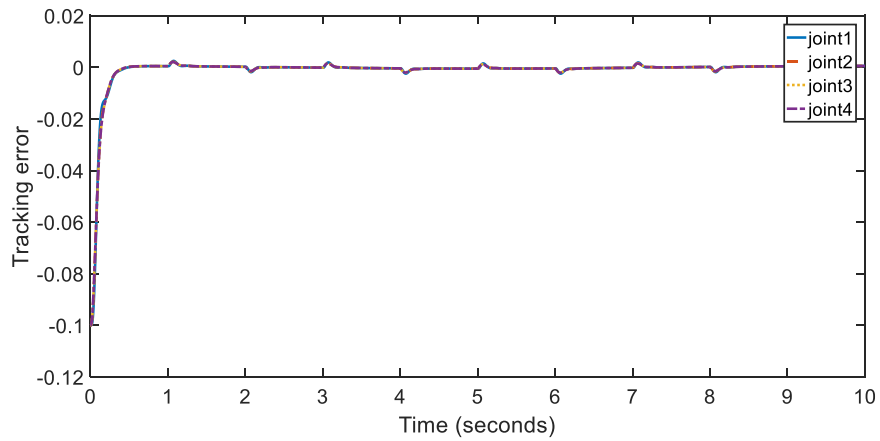


شکل ۴-۶ تقریب کران بالای خطای تقریب،  $\hat{\eta}_i(t)$

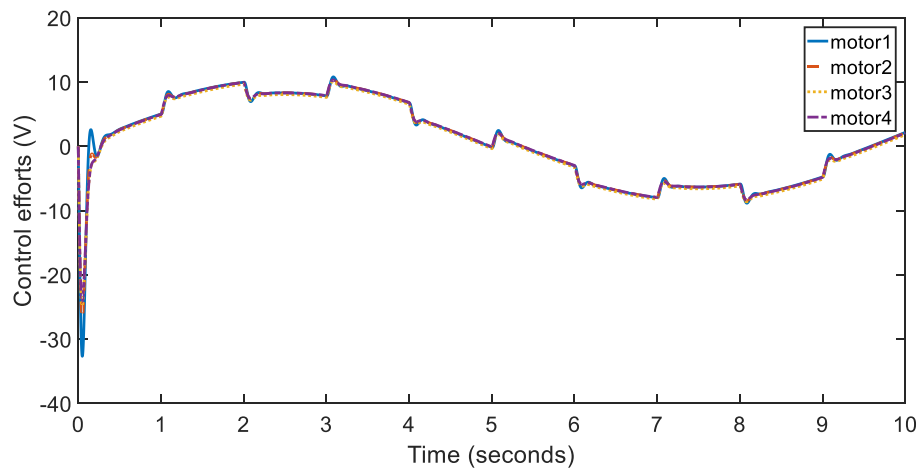
#### ۴-۵-۲- شبیه‌سازی دوم

کنترل‌کننده تطبیقی مستقیم که توسط قانون کنترلی (۴-۶۰) تا (۴-۶۲) فرمول‌بندی شده و مجهز به تقریب‌گرهای سری تیلور (۴-۵۷) و (۴-۶۹) و قوانین تطبیق (۴-۷۱) و (۴-۷۲) می‌باشد در این بخش شبیه‌سازی می‌شود. تمامی ضریب‌های کنترل‌کننده و شرایط اولیه در قوانین تطبیق دقیقاً مشابه بخش ۴-۵-۱ انتخاب می‌شوند. عملکرد مطلوب کنترل‌کننده پیشنهادی، تلاش کنترلی

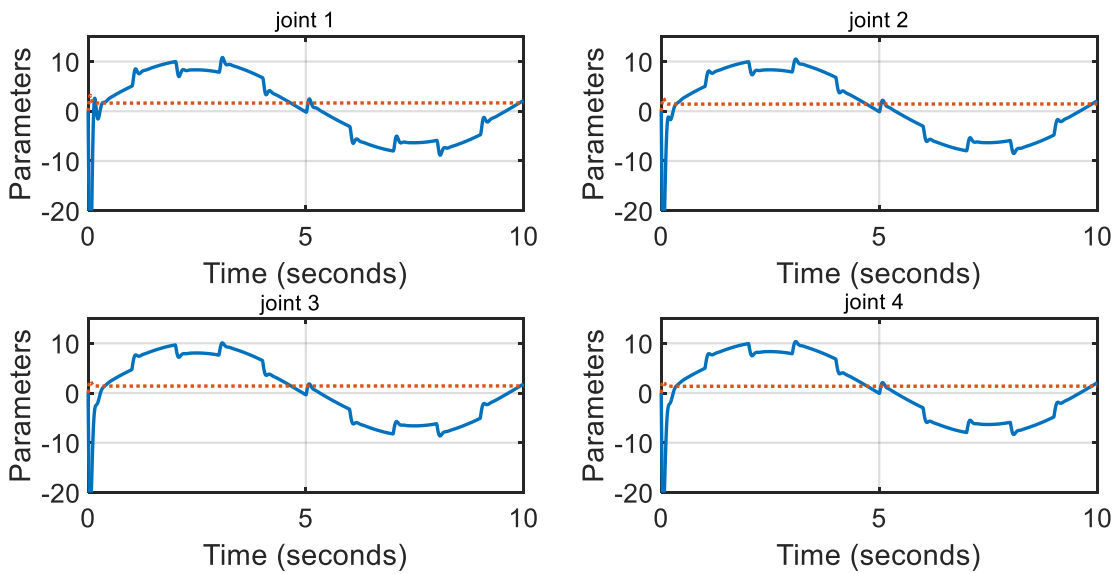
محرکه‌ها، تغییرات ضریب‌های سری تیلور برای تمامی مفاصل و تقریب کران بالای خطای مدلسازی به ترتیب در شکل‌های ۷-۴، ۸-۴، ۹-۴ و ۱۰-۴ نمایش داده می‌شوند.



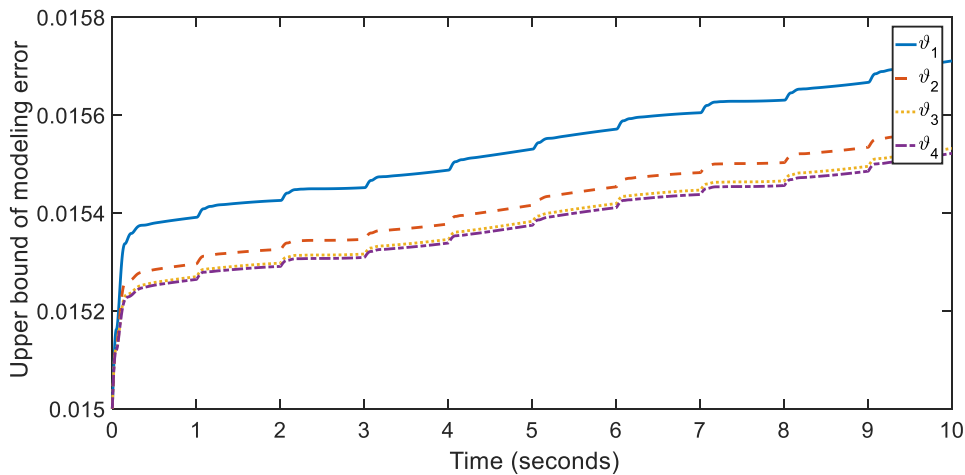
شکل ۷-۴ عملکرد ردگیری کنترل کننده سری تیلور تطبیقی مستقیم



شکل ۸-۴ تلاش کنترلی روش کنترلی سری تیلور تطبیقی مستقیم



شکل ۴-۹ تطبیق ضریب‌های تقریب‌گر سری تیلور. خط توپر "-" و خط نقطه‌چین ":" به ترتیب نشان‌دهنده ضریب اول و دوم کنترل‌کننده تطبیقی مستقیم سری تیلور می‌باشد.



شکل ۴-۱۰ تقریب کران بالای خطای مدلسازی،  $\hat{\theta}_i(t)$ .

#### ۴-۵-۳- شبیه‌سازی سوم

سیستم سری تیلور پیشنهادی نیازی به تعداد زیاد ضریب‌های تنظیم ندارد به دلیل اینکه سیستم طراحی شده در فضای خطای ردگیری توسعه پیدا کرده است. به عبارت دیگر به دلیل اندازه کوچک خطای ردگیری در طول زمان که توسط ساختار منحصر به فرد کنترل سری تیلور فراهم می‌شود،

چند جمله‌ای‌های مرتبه بالاتر سری تیلور قابل صرف نظر کردن می‌باشند. برای نشان دادن این موضوع از معیار میانگین انتگرال مجذور خطاها<sup>۱</sup> بدین شکل استفاده می‌شود:

$$MISE = \frac{1}{T} \int_0^T \sum_{i=1}^4 e_i^2(\tau) d\tau \quad (۷۶-۴)$$

که در آن  $T$  زمان شبیه‌سازی می‌باشد. معیار میانگین انتگرال مجذور خطاها برای هر دو روش کنترلی در جدول ۲-۴ محاسبه و ارائه شده است. همانطور که مشاهده می‌شود با انتخاب تعداد چند جمله‌ای‌های بزرگتر مساوی ۲ (به عبارت دیگر  $l = 1, m_l \geq 1$ )، معیار میانگین انتگرال مجذور خطاها تغییری نخواهد کرد.

جدول ۲-۴ معیار میانگین انتگرال مجذور خطاها برای تعداد مختلف چند جمله‌ای‌های سری تیلور

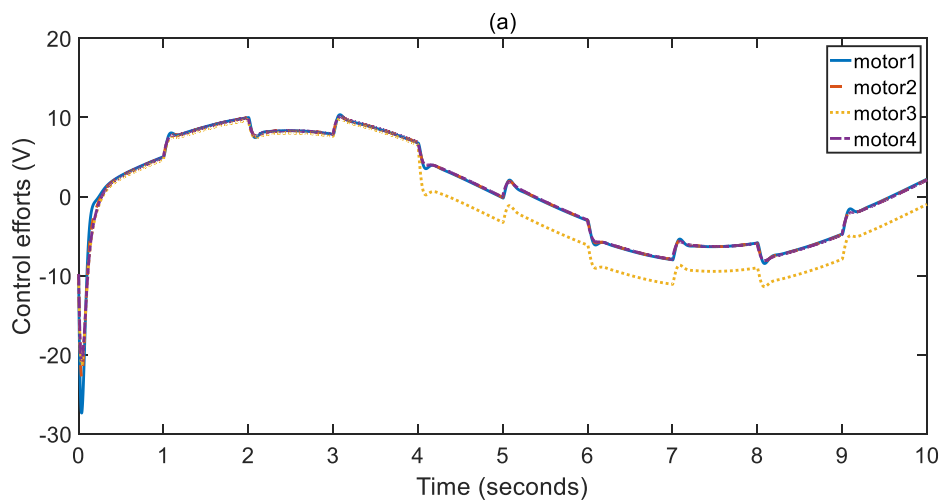
طرح‌های کنترلی	معیار میانگین انتگرال مجذور خطاها				
	$m_l = 0$	$m_l = 1$	$m_l = 2$	$m_l = 3$	$m_l = 4$
کنترل تطبیقی غیرمستقیم ( $l = 1$ )	$2.72 \times 10^{-4}$	$2.71 \times 10^{-4}$	$2.71 \times 10^{-4}$	$2.71 \times 10^{-4}$	$2.71 \times 10^{-4}$
کنترل تطبیقی مستقیم ( $l = 2$ )	$4.21 \times 10^{-4}$	$4.204 \times 10^{-4}$	$4.204 \times 10^{-4}$	$4.204 \times 10^{-4}$	$4.204 \times 10^{-4}$

#### ۴-۵-۴- شبیه‌سازی چهارم

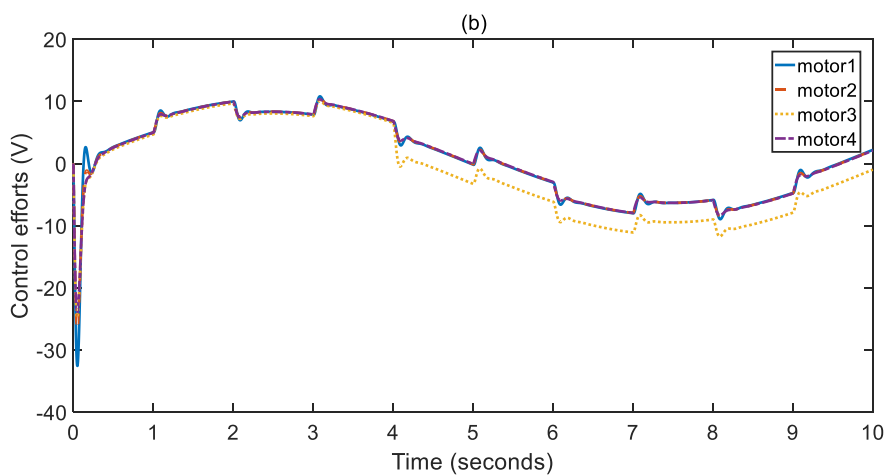
در این شبیه‌سازی می‌خواهیم عملکرد روش‌های کنترلی را در مواجهه با بار سنگین اعمالی بر مجری نهایی را ارزیابی کنیم. فرض کنید که بار خارجی ۶ کیلوگرمی در زمان  $t = 4 \text{ sec}$  بر مجری نهایی اعمال شود. شکل‌های ۴-۱۱ و ۴-۱۲ به ترتیب تلاش‌های کنترلی کنترل‌کننده‌های تطبیقی مستقیم و غیرمستقیم را نمایش می‌دهد. همانطور که مشاهده می‌شود ولتاژ اضافی به موتور سوم اعمال می‌شود تا عدم قطعیت مربوط به بار خارجی جبران شود. همچنین عملکرد مطلوب جبران بار خارجی

<sup>1</sup> the Mean of the Integral of Squared Errors (MISE)

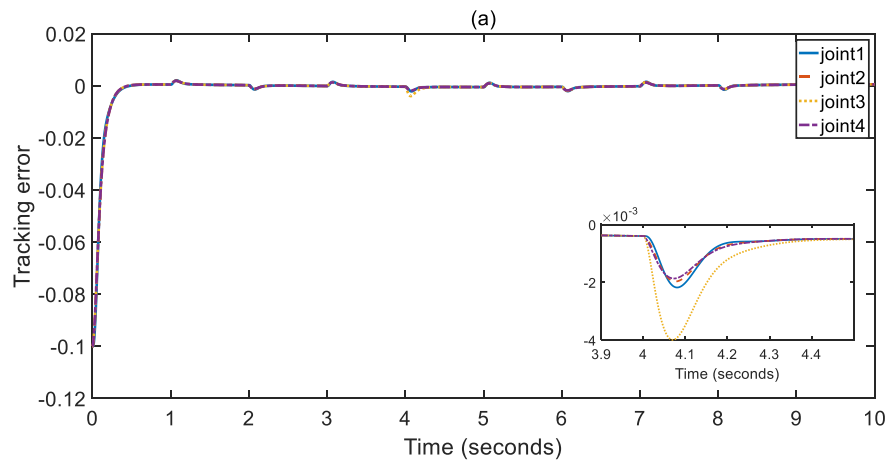
اعمالی در شکل‌های ۱۳-۴ و ۱۴-۴ نشان داده شده است. هر دو روش کنترلی در زمان بسیار کوتاهی توانایی جبران عدم قطعیت بار خارجی اعمالی را به طور موثر دارند.



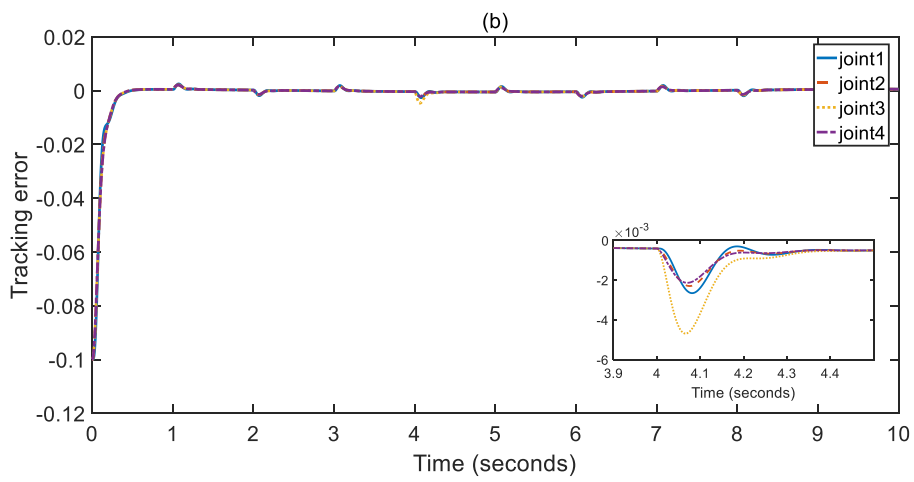
شکل ۴-۱۱ اثر بار سنگین اعمالی بر مجری نهایی در تلاش کنترلی روش کنترلی تطبیقی غیرمستقیم



شکل ۴-۱۲ اثر بار سنگین اعمالی بر مجری نهایی در تلاش کنترلی روش کنترلی تطبیقی مستقیم



شکل ۴-۱۳ اثر بار سنگین اعمالی بر عملکرد روش کنترلی تطبیقی غیرمستقیم



شکل ۴-۱۴ اثر بار سنگین اعمالی بر عملکرد روش کنترلی تطبیقی مستقیم



فصل ۵. کنترل فضای کار بازوی رباتیک با استفاده از سیستم سری تیلور

## ۵-۱- مقدمه

در بسیاری از موقعیت‌های صنعتی، مجری نهایی بازوی رباتیک باید مسیر تعیین شده را در مختصات دکارتی دنبال کند. بدین منظور در بسیاری از پژوهش‌ها، توجه به طراحی سیستم کنترل در فضای کار منعطف شده است. جبران و تخمین عدم قطعیت‌ها می‌تواند در بهبود عملکرد سیستم کنترل نقش بسزایی ایفا کند. در این فصل از پایان‌نامه دو طرح کنترلی در فضای کار با بهره‌گیری از سیستم سری تیلور تطبیقی برای بازوهای رباتیک طراحی می‌شوند. در طراحی اول عدم قطعیت تجمعی توسط تقریب گر سری تیلور در ساختار غیرمستقیم کنترل‌کننده مقاوم تقریب زده می‌شود و کران بالای خطای تقریب به منظور ایجاد عبارت مقاوم‌ساز نیز تقریب زده می‌شود. در طراحی دوم، از سیستم سری تیلور به عنوان کنترل‌کننده استفاده می‌شود. هر دو ساختار کنترلی پیشنهادی علاوه بر اثبات محدودیت تمامی سیگنال‌ها، همگرایی مجانبی خطای ردگیری و مشتق زمانی آن را نیز تضمین می‌کنند.

## ۵-۲- طراحی کنترل مقاوم

با جایگذاری رابطه (۲-۲) در (۳-۲)، می‌توان معادله ولتاژ غیرخطی را بدین صورت نشان داد:

$$\begin{aligned} (RK_m^{-1}J_m r^{-1})\ddot{q} + (RK_m^{-1}B_m + K_b)r^{-1}\dot{q} + RK_m^{-1}r\tau_r + L\dot{l}_a \\ + \varphi = v \end{aligned} \quad (۱-۵)$$

در فضای کار، موقعیت یا سرعت به ترتیب با  $X \in \mathbb{R}^3$  و  $\dot{X} \in \mathbb{R}^3$  معرفی می‌شوند. سرعت فضای مفصلی  $\dot{q}$  و سرعت فضای کار  $\dot{X}$  با بهره‌گیری از  $J(q) \in \mathbb{R}^{3 \times n}$  بدین صورت به هم مرتبط می‌شوند.

$$\dot{X} = J(q)\dot{q} \quad (۲-۵)$$

بنابراین می‌توان معادله ولتاژ (۱-۵) را بدین صورت بازنویسی کرد:

$$\begin{aligned} & (\mathbf{R}K_m^{-1}J_m\mathbf{r}^{-1})J_s(\mathbf{q})\ddot{\mathbf{X}} + (\mathbf{R}K_m^{-1}\mathbf{B}_m + K_b)\mathbf{r}^{-1}J_s(\mathbf{q})\dot{\mathbf{X}} \\ & + \mathbf{R}K_m^{-1}\mathbf{r}\tau_r + L\dot{\mathbf{i}}_a + \boldsymbol{\varphi} = \mathbf{v} \end{aligned} \quad (3-5)$$

که در آن  $J_s(\mathbf{q})$  معکوس تعمیم یافته ماتریس ژاکوبین است و بدین شکل تعریف می شود:

$$J_s(\mathbf{q}) = J^T(\mathbf{q})(J(\mathbf{q})J^T(\mathbf{q}))^{-1} \quad (4-5)$$

می توان رابطه (3-5) را بدین شکل بازنویسی کرد:

$$\hat{J}_s(\mathbf{q})(\ddot{\mathbf{X}} + \mathbf{F}) = \mathbf{v} \quad (5-5)$$

که در آن  $\hat{J}_s$  مقدار نامی  $J_s$  و  $\mathbf{F}$  بیانگر عدم قطعیت تجمعی است که بدین صورت فرمول بندی می شود:

$$\begin{aligned} \mathbf{F} = \frac{1}{\hat{J}_s(\mathbf{q})} & \left( (\mathbf{R}K_m^{-1}J_m\mathbf{r}^{-1}J_s(\mathbf{q}) - \hat{J}_s(\mathbf{q}))\ddot{\mathbf{X}} + (\mathbf{R}K_m^{-1}\mathbf{B}_m + \right. \\ & \left. K_b)\mathbf{r}^{-1}J_s(\mathbf{q})\dot{\mathbf{X}} + \mathbf{R}K_m^{-1}\mathbf{r}\tau_r + L\dot{\mathbf{i}}_a + \boldsymbol{\varphi} \right) \end{aligned} \quad (6-5)$$

با بهره گیری از محدود کننده ولتاژ به منظور محافظت موتورها در مقابل اضافه ولتاژ، قانون کنترل

مقاوم بدین صورت پیشنهاد می شود:

$$\mathbf{v} = \mathbf{h}(\mathbf{u}) \quad (7-5)$$

$$\mathbf{h}(\mathbf{u}) = \begin{cases} \mathbf{u} & \text{if } \|\mathbf{u}\| \leq \mathbf{v}_{max} \\ \mathbf{v}_{max} \text{sgn}(\mathbf{u}) & \text{if } \mathbf{v}_{max} < \|\mathbf{u}\| \end{cases} \quad (8-5)$$

$$\mathbf{u} = \hat{J}_s(\mathbf{q})(\ddot{\mathbf{X}}_d + \mathbf{k}_d(\dot{\mathbf{X}}_d - \dot{\mathbf{X}}) + \mathbf{k}_p(\mathbf{X}_d - \mathbf{X}) + \hat{\mathbf{F}} + \mathbf{u}_{rf}) \quad (9-5)$$

که در آن  $\hat{\mathbf{F}}$  تقریب عدم قطعیت تجمعی  $\mathbf{F}$  با استفاده از تقریب گر سری تیلور می باشد که در بخش 3-

5 معرفی خواهد شد. همچنین  $\mathbf{X}_d$  موقعیت فضای کار مطلوب،  $\mathbf{k}_p$  و  $\mathbf{k}_d$  ماتریس های قطری

ضریب های کنترل و  $\mathbf{u}_{rf}$  نیز عبارت مقاوم ساز می باشد. باید توجه داشت که به دلیل نامعلوم بودن،

نمی توان از  $\mathbf{F}$  در قانون کنترل استفاده کرد. بنابراین به جای آن از  $\hat{\mathbf{F}}$  استفاده می شود.

### ۵-۳- تقریب تطبیقی عدم قطعیت و تحلیل پایداری

در وضعیت  $\|\mathbf{u}\| < v_{max}$ ، با اعمال قانون کنترل (۷-۵) تا (۹-۵) به سیستم (۵-۵) می توان سیستم حلقه بسته را بدین صورت بدست آورد:

$$\hat{J}_s(\mathbf{q})(\ddot{\mathbf{X}} + \mathbf{F}) = v_{max} \text{sgn}(\mathbf{u}) \quad (۱۰-۵)$$

در این ناحیه، موتورها به منظور کاهش خطای ردگیری در حضور عدم قطعیتها با بیشینه ولتاژ مجاز عمل می کند. از سوی دیگر در وضعیت  $\|\mathbf{u}\| \leq v_{max}$ ، مطابق روابط (۷-۵) تا (۹-۵) و (۵-۵) داریم:

$$\hat{J}_s(\mathbf{q})(\ddot{\mathbf{X}} + \mathbf{F}) = \hat{J}_s(\mathbf{q})(\ddot{\mathbf{X}}_d + k_d(\dot{\mathbf{X}}_d - \dot{\mathbf{X}}) + k_p(\mathbf{X}_d - \mathbf{X}) + \hat{\mathbf{F}} + \mathbf{u}_{rf}) \quad (۱۱-۵)$$

بنابراین سیستم حلقه بسته بدین صورت بدست می آید:

$$\ddot{\tilde{\mathbf{X}}} + k_d \dot{\tilde{\mathbf{X}}} + k_p \tilde{\mathbf{X}} = \mathbf{F} - \hat{\mathbf{F}} - \mathbf{u}_{rf} \quad (۱۲-۵)$$

که در آن  $\tilde{\mathbf{X}}$  خطای ردگیری فضای کار است که بدین شکل تعریف می شود:

$$\tilde{\mathbf{X}}_{3 \times 1} = \mathbf{X}_d - \mathbf{X} \quad (۱۳-۵)$$

در این فصل از پایان نامه تقریب گر سری تیلور برای  $\hat{\mathbf{F}}$  بدین صورت پیشنهاد می شود:

$$\hat{\mathbf{F}} = [\hat{F}_1(\tilde{\mathbf{X}}(1)), \hat{F}_2(\tilde{\mathbf{X}}(2)), \hat{F}_3(\tilde{\mathbf{X}}(3))]^T \quad (۱۴-۵)$$

که در آن

$$\hat{F}_i(\tilde{\mathbf{X}}(i)) = \sum_{k=0}^m \frac{\hat{F}^{(k)}(\tilde{\mathbf{X}}_0(i))}{k!} (\tilde{\mathbf{X}}(i) - \tilde{\mathbf{X}}_0(i))^k, \quad i = 1, 2, 3 \quad (۱۵-۵)$$

که در رابطه (۱۵-۵)،  $\tilde{X}(i) \in \mathbb{R}$  بیانگر  $i$  امین عنصر  $\tilde{X}$  و  $\hat{F}_i(\tilde{X}(i))$  خروجی تقریب گر پیشنهادی که بیانگر تعداد  $m + 1$  جمله تیلور  $\hat{F}_i$  حول  $\tilde{X}_0(i)$  می باشد. می توان رابطه (۱۵-۵) را بدین صورت بازنویسی کرد:

$$\hat{F}_i = \hat{\Lambda}_i^T \xi_i \quad (۱۶-۵)$$

که در آن  $\hat{\Lambda}_i^T$  بیانگر ضریب های سری تیلور برای  $\hat{F}_i$  و  $\xi_i$  بردار رگر سور می باشد که بدین صورت تعریف می شوند:

$$\xi_i = \left[ 1, (\tilde{X}(i) - \tilde{X}_0(i)), \dots, (\tilde{X}(i) - \tilde{X}_0(i))^m \right]^T \quad (۱۷-۵)$$

$$\hat{\Lambda}_i^T = \left[ \frac{\hat{F}^{(0)}(\tilde{X}_0(i))}{0!}, \frac{\hat{F}^{(1)}(\tilde{X}_0(i))}{1!}, \dots, \frac{\hat{F}^{(m)}(\tilde{X}_0(i))}{m!} \right] \quad (۱۸-۵)$$

عدم قطعیت تجمعی را بدین صورت مدل سازی کنید:

$$F_i = \Lambda_i^T \xi_i + \varepsilon_i \quad (۱۹-۵)$$

که در آن  $\Lambda_i$  بردار ضریب های سیستم تیلور و  $\varepsilon_i$  بیانگر خطای تقریب می باشد. با جایگذاری روابط (۱۶-۵) و (۱۹-۵) در رابطه سیستم حلقه بسته (۱۲-۵) به فرم اسکالر داریم:

$$\ddot{\tilde{X}}(i) + k_d \dot{\tilde{X}}(i) + k_p \tilde{X}(i) = (\Lambda_i^T - \hat{\Lambda}_i^T) \xi_i + \varepsilon_i - u_{rf_i}, \quad i = 1, 2, 3 \quad (۲۰-۵)$$

تقریب گر سری تیلور پیشنهادی تعریف شده در رابطه (۱۶-۵) می تواند تابع عدم قطعیت تجمعی  $F_i$  در رابطه (۱۹-۵) را تقریب بزند. داریم:

$$|F_i - \hat{F}_i| < \mu_i(t) \quad (۲۱-۵)$$

که در آن  $\mu_i(t) > 0$  کران بالای  $i$  امین خطای عدم قطعیت می باشد. با اعمال (۱۶-۵) و (۱۹-۵) در رابطه (۲۱-۵) داریم:

$$|(\Lambda_i^T - \widehat{\Lambda}_i^T)\xi_i + \varepsilon_i| < \mu_i(t) \quad (22-5)$$

می‌توان رابطه (22-5) را با استفاده از خواص قدرمطلق بدین صورت بازنویسی کرد:

$$-\mu_i(t) - (\Lambda_i^T - \widehat{\Lambda}_i^T)\xi_i < \varepsilon_i < \mu_i(t) - (\Lambda_i^T - \widehat{\Lambda}_i^T)\xi_i \quad (23-5)$$

با استفاده از (23-5)، می‌توان کران بالای  $\varepsilon_i$  را بدین صورت توصیف کرد:

$$|\varepsilon_i| < |\mu_i(t) - (\Lambda_i^T - \widehat{\Lambda}_i^T)\xi_i| \quad (24-5)$$

فرض کنید که  $x, y \in \mathbb{R}$ ، با در نظر گرفتن نامساوی مثلثی ( $|x + y| \leq |x| + |y|$ )، نامساوی زیر نیز برقرار است:

$$|x - y| \leq |x| + |y| \quad (25-5)$$

با در نظر گرفتن رابطه (25-5)، به راحتی می‌توان رابطه (24-5) را بدین شکل توصیف کرد:

$$|\varepsilon_i| < \eta_i(t) \quad (26-5)$$

که در آن  $\eta_i(t)$  کران بالای خطای تقریب می‌باشد که بدین شکل معرفی می‌شود:

$$\eta_i(t) = |\mu_i(t)| + |(\Lambda_i^T - \widehat{\Lambda}_i^T)\xi_i| \quad (27-5)$$

به منظور تقریب  $\eta_i(t)$ ، تقریب گر تطبیقی سری تیلور بدین صورت پیشنهاد می‌شود:

$$\hat{\eta}_i(t) = \widehat{\theta}_i^T \psi_i \quad (28-5)$$

که در آن بردار  $\widehat{\theta}_i$  تقریب  $\theta_i$  و  $\psi_i$  بردار رگرسیون می‌باشد. باید توجه داشت که  $\widehat{\theta}_i$  از قانون تطبیقی در تحلیل پایداری بدست می‌آید. به منظور تحلیل پایداری سیستم حلقه بسته، علاوه بر فرض 2، فرضیات زیر در این فصل از پایان‌نامه مورد نیاز است:

**فرض 3:** مسیر مطلوب مجری نهایی  $X_d$  باید هموار باشد، به این معنی که  $X_d$  و مشتقات آن تا مرتبه مورد نیاز در دسترس و همگی محدود باشند.

فرض ۴: بازوی رباتیک در ناحیه ای فعالیت کند که  $J_s(\mathbf{q})$  ناتکین باشد.

قضیه ۴: چنانچه سیستم (۱-۵) توسط قوانین کنترل (۷-۵) تا (۹-۵) جبران سازی شود، خطای ردگیری فضای کار  $\tilde{\mathbf{X}}$  و مشتق زمانی آن  $\dot{\tilde{\mathbf{X}}}$  به طور مجانبی به سمت صفر همگرا خواهد شد و تمامی متغیرهای حالت سیستم، محدود باقی می ماند.

اثبات قضیه ۴: معادله فضای حالت در فضای ردگیری با استفاده از رابطه (۲۰-۵) را می توان بدین

صورت نوشت:

$$\dot{\mathbf{E}}_i = \mathbf{A}_i \mathbf{E}_i + \mathbf{B}_i \mathbf{w}_i \quad (۲۹-۵)$$

که در آن

$$\mathbf{A}_i = \begin{bmatrix} 0 & 1 \\ -k_p & -k_d \end{bmatrix}, \quad \mathbf{B}_i = \begin{bmatrix} 0 \\ 1 \end{bmatrix}, \quad \mathbf{E}_i = \begin{bmatrix} \tilde{\mathbf{X}}(i) \\ \dot{\tilde{\mathbf{X}}}(i) \end{bmatrix}, \quad (۳۰-۵)$$

$$\mathbf{w}_i = (\boldsymbol{\Lambda}_i^T - \hat{\boldsymbol{\Lambda}}_i^T) \boldsymbol{\xi}_i + \varepsilon_i - u_{rf_i}$$

تابع معین مثبت  $V$  بدین شکل پیشنهاد می شود:

$$V = \frac{1}{2} \sum_{i=1}^3 \mathbf{E}_i^T \mathbf{S}_i \mathbf{E}_i + \frac{1}{2} \sum_{i=1}^3 \frac{1}{\gamma_i} (\boldsymbol{\Lambda}_i^T - \hat{\boldsymbol{\Lambda}}_i^T) (\boldsymbol{\Lambda}_i - \hat{\boldsymbol{\Lambda}}_i) \quad (۳۱-۵)$$

$$+ \frac{1}{2} \sum_{i=1}^3 \frac{1}{\lambda_i} (\boldsymbol{\theta}_i^T - \hat{\boldsymbol{\theta}}_i^T) (\boldsymbol{\theta}_i - \hat{\boldsymbol{\theta}}_i)$$

که در آن  $\lambda_i$  و  $\gamma_i$  ثابت های مثبت هستند و  $\mathbf{S}_i$  ماتریس معین مثبت متقارن است. با مشتق گیری از

$V$  در رابطه (۳۱-۵) داریم:

$$\dot{V} = \frac{1}{2} \sum_{i=1}^3 \dot{\mathbf{E}}_i^T \mathbf{S}_i \mathbf{E}_i + \frac{1}{2} \sum_{i=1}^3 \mathbf{E}_i^T \mathbf{S}_i \dot{\mathbf{E}}_i - \sum_{i=1}^3 \frac{1}{\gamma_i} (\boldsymbol{\Lambda}_i^T - \hat{\boldsymbol{\Lambda}}_i^T) \dot{\hat{\boldsymbol{\Lambda}}}_i \quad (۳۲-۵)$$

$$- \sum_{i=1}^3 \frac{1}{\lambda_i} (\boldsymbol{\theta}_i^T - \hat{\boldsymbol{\theta}}_i^T) \dot{\hat{\boldsymbol{\theta}}}_i$$

معادله ماتریس لیاپانوف را در نظر بگیرید:

$$\mathbf{A}_i^T \mathbf{S}_i + \mathbf{S}_i \mathbf{A}_i = -\mathbf{Q}_i \quad (۳۳-۵)$$

که در آن  $\mathbf{Q}_i$  ماتریس معین مثبت متقارن است. با استفاده از روابط (۲۹-۵) و (۳۳-۵) در (۳۲-۵) داریم:

$$\begin{aligned} \dot{V} = & -\frac{1}{2} \sum_{i=1}^3 \mathbf{E}_i^T \mathbf{Q}_i \mathbf{E}_i + \sum_{i=1}^3 \mathbf{E}_i^T \mathbf{S}_i \mathbf{B}_i \mathbf{w}_i - \sum_{i=1}^3 \frac{1}{\gamma_i} (\Lambda_i^T - \hat{\Lambda}_i^T) \hat{\Lambda}_i \\ & - \sum_{i=1}^3 \frac{1}{\lambda_i} (\boldsymbol{\theta}_i^T - \hat{\boldsymbol{\theta}}_i^T) \dot{\boldsymbol{\theta}}_i \end{aligned} \quad (۳۴-۵)$$

با استفاده از (۳۰-۵)، می‌توان رابطه (۳۴-۵) را بدین صورت بازنویسی کرد:

$$\begin{aligned} \dot{V} = & -\frac{1}{2} \sum_{i=1}^3 \mathbf{E}_i^T \mathbf{Q}_i \mathbf{E}_i + \sum_{i=1}^3 \mathbf{E}_i^T \mathbf{S}_i \mathbf{B}_i (\Lambda_i^T - \hat{\Lambda}_i^T) \xi_i + \sum_{i=1}^3 \mathbf{E}_i^T \mathbf{S}_i \mathbf{B}_i \varepsilon_i \\ & - \sum_{i=1}^3 \mathbf{E}_i^T \mathbf{S}_i \mathbf{B}_i u_{rfi} - \sum_{i=1}^3 \frac{1}{\gamma_i} (\Lambda_i^T - \hat{\Lambda}_i^T) \hat{\Lambda}_i \\ & - \sum_{i=1}^3 \frac{1}{\lambda_i} (\boldsymbol{\theta}_i^T - \hat{\boldsymbol{\theta}}_i^T) \dot{\boldsymbol{\theta}}_i \end{aligned} \quad (۳۵-۵)$$

با استفاده از کران بالای خطای تقریب (۲۶-۵)، می‌توان رابطه (۳۵-۵) را بدین صورت بازنویسی کرد:

$$\begin{aligned} \dot{V} \leq & -\frac{1}{2} \sum_{i=1}^3 \mathbf{E}_i^T \mathbf{Q}_i \mathbf{E}_i + \sum_{i=1}^3 \mathbf{E}_i^T \mathbf{S}_i \mathbf{B}_i (\Lambda_i^T - \hat{\Lambda}_i^T) \xi_i \\ & + \sum_{i=1}^3 |\mathbf{E}_i^T \mathbf{S}_i \mathbf{B}_i| \eta_i(t) - \sum_{i=1}^3 \mathbf{E}_i^T \mathbf{S}_i \mathbf{B}_i u_{rfi} \\ & - \sum_{i=1}^3 \frac{1}{\gamma_i} (\Lambda_i^T - \hat{\Lambda}_i^T) \hat{\Lambda}_i - \sum_{i=1}^3 \frac{1}{\lambda_i} (\boldsymbol{\theta}_i^T - \hat{\boldsymbol{\theta}}_i^T) \dot{\boldsymbol{\theta}}_i \end{aligned} \quad (۳۶-۵)$$



عبارت مقاوم‌ساز  $u_{rfi}$  بدین صورت پیشنهاد می‌شود:

$$u_{rfi} = \frac{\hat{\eta}_i^2(t) \mathbf{E}_i^T \mathbf{S}_i \mathbf{B}_i}{|\hat{\eta}_i(t) \mathbf{E}_i^T \mathbf{S}_i \mathbf{B}_i| + \delta_i \exp(-\sigma_i t)} \quad (37-5)$$

که در آن  $\delta_i$  و  $\sigma_i$  ثابت‌های مثبت هستند. با اعمال (37-5) در (36-5) داریم:

$$\begin{aligned} \dot{V} \leq & -\frac{1}{2} \sum_{i=1}^3 \mathbf{E}_i^T \mathbf{Q}_i \mathbf{E}_i + \sum_{i=1}^3 \mathbf{E}_i^T \mathbf{S}_i \mathbf{B}_i (\Lambda_i^T - \hat{\Lambda}_i^T) \xi_i \\ & + \sum_{i=1}^3 |\mathbf{E}_i^T \mathbf{S}_i \mathbf{B}_i| \eta_i(t) - \sum_{i=1}^3 |\mathbf{E}_i^T \mathbf{S}_i \mathbf{B}_i| \hat{\eta}_i(t) \\ & - \sum_{i=1}^3 \frac{\hat{\eta}_i^2(t) (\mathbf{E}_i^T \mathbf{S}_i \mathbf{B}_i)^2}{|\hat{\eta}_i(t) \mathbf{E}_i^T \mathbf{S}_i \mathbf{B}_i| + \delta_i \exp(-\sigma_i t)} \\ & + \sum_{i=1}^3 |\mathbf{E}_i^T \mathbf{S}_i \mathbf{B}_i| \hat{\eta}_i(t) - \sum_{i=1}^3 \frac{1}{\gamma_i} (\Lambda_i^T - \hat{\Lambda}_i^T) \hat{\Lambda}_i \\ & - \sum_{i=1}^3 \frac{1}{\lambda_i} (\theta_i^T - \hat{\theta}_i^T) \hat{\theta}_i \end{aligned} \quad (38-5)$$

به عبارت دیگر

$$\begin{aligned} \dot{V} \leq & -\frac{1}{2} \sum_{i=1}^3 \mathbf{E}_i^T \mathbf{Q}_i \mathbf{E}_i + \sum_{i=1}^3 \mathbf{E}_i^T \mathbf{S}_i \mathbf{B}_i (\Lambda_i^T - \hat{\Lambda}_i^T) \xi_i \\ & + \sum_{i=1}^3 |\mathbf{E}_i^T \mathbf{S}_i \mathbf{B}_i| (\theta_i^T - \hat{\theta}_i^T) \psi_i - \sum_{i=1}^3 |\mathbf{E}_i^T \mathbf{S}_i \mathbf{B}_i| \hat{\eta}_i(t) \\ & - \sum_{i=1}^3 \frac{\hat{\eta}_i^2(t) (\mathbf{E}_i^T \mathbf{S}_i \mathbf{B}_i)^2}{|\hat{\eta}_i(t) \mathbf{E}_i^T \mathbf{S}_i \mathbf{B}_i| + \delta_i \exp(-\sigma_i t)} \\ & + \sum_{i=1}^3 |\mathbf{E}_i^T \mathbf{S}_i \mathbf{B}_i| \hat{\eta}_i(t) - \sum_{i=1}^3 \frac{1}{\gamma_i} (\Lambda_i^T - \hat{\Lambda}_i^T) \hat{\Lambda}_i \\ & - \sum_{i=1}^3 \frac{1}{\lambda_i} (\theta_i^T - \hat{\theta}_i^T) \hat{\theta}_i \end{aligned} \quad (39-5)$$

بنابراین داریم:

$$\begin{aligned} \dot{V} \leq & -\frac{1}{2} \sum_{i=1}^3 \mathbf{E}_i^T \mathbf{Q}_i \mathbf{E}_i + \sum_{i=1}^3 \mathbf{E}_i^T \mathbf{S}_i \mathbf{B}_i (\boldsymbol{\Lambda}_i^T - \widehat{\boldsymbol{\Lambda}}_i^T) \boldsymbol{\xi}_i \\ & + \sum_{i=1}^3 |\mathbf{E}_i^T \mathbf{S}_i \mathbf{B}_i| (\boldsymbol{\theta}_i^T - \widehat{\boldsymbol{\theta}}_i^T) \boldsymbol{\psi}_i \\ & + \sum_{i=1}^3 \frac{\delta_i \exp(-\sigma_i t) |\hat{\eta}_i(t) \mathbf{E}_i^T \mathbf{S}_i \mathbf{B}_i|}{|\hat{\eta}_i(t) \mathbf{E}_i^T \mathbf{S}_i \mathbf{B}_i| + \delta_i \exp(-\sigma_i t)} \\ & - \sum_{i=1}^3 \frac{1}{\gamma_i} (\boldsymbol{\Lambda}_i^T - \widehat{\boldsymbol{\Lambda}}_i^T) \hat{\boldsymbol{\Lambda}}_i - \sum_{i=1}^3 \frac{1}{\lambda_i} (\boldsymbol{\theta}_i^T - \widehat{\boldsymbol{\theta}}_i^T) \hat{\boldsymbol{\theta}}_i \end{aligned} \quad (40-5)$$

با انتخاب قوانین تطبیق به صورت زیر

$$\hat{\boldsymbol{\theta}}_i = \lambda_i |\mathbf{E}_i^T \mathbf{S}_i \mathbf{B}_i| \boldsymbol{\psi}_i \quad (41-5)$$

$$\hat{\boldsymbol{\Lambda}}_i = \gamma_i \mathbf{E}_i^T \mathbf{S}_i \mathbf{B}_i \boldsymbol{\xi}_i \quad (42-5)$$

می توان رابطه (40-5) را بدین صورت بازنویسی کرد:

$$\dot{V} \leq -\frac{1}{2} \sum_{i=1}^3 \mathbf{E}_i^T \mathbf{Q}_i \mathbf{E}_i + \sum_{i=1}^3 \frac{\delta_i \exp(-\sigma_i t) |\hat{\eta}_i(t) \mathbf{E}_i^T \mathbf{S}_i \mathbf{B}_i|}{|\hat{\eta}_i(t) \mathbf{E}_i^T \mathbf{S}_i \mathbf{B}_i| + \delta_i \exp(-\sigma_i t)} \quad (43-5)$$

با فرض اینکه  $a_1 > 0$  و  $a_2 > 0$ ، نامساوی  $\frac{a_1 a_2}{a_1 + a_2} < a_1$  برقرار است. بنابراین می توان رابطه

(43-5) را بدین شکل نوشت:

$$\dot{V} \leq -\frac{1}{2} \sum_{i=1}^3 \mathbf{E}_i^T \mathbf{Q}_i \mathbf{E}_i + \sum_{i=1}^3 \delta_i \exp(-\sigma_i t) \quad (44-5)$$

به دلیل آنکه  $\lambda_{\min}(\mathbf{Q}_i) \|\mathbf{E}_i\|^2 \leq \mathbf{E}_i^T \mathbf{Q}_i \mathbf{E}_i \leq \lambda_{\max}(\mathbf{Q}_i) \|\mathbf{E}_i\|^2$  به منظور برقراری رابطه

(44-5)، کفایت که:

$$\|E_i\| > \sqrt{\frac{2\delta_i \exp(-\sigma_i t)}{\lambda_{\min}(Q_i)}} \triangleq \chi_i \quad (45-5)$$

که در آن  $\lambda_{\max}(Q_i)$  و  $\lambda_{\min}(Q_i)$  به ترتیب مقادیر ویژه کمینه و بیشینه  $Q_i$  تعریف می‌شوند. مطابق رابطه (45-5)،  $\dot{V}_i < 0$  مادامی که  $\|E_i\| > \chi_i$ . به عبارت دیگر خطای ردگیری مفصلی،  $E_i$ ، در خارج از دایره‌ای به شعاع  $\chi_i$  کاهش می‌یابد. از سوی دیگر  $\dot{V}_i > 0$  مادامی که  $\|E_i\| < \chi_i$  که بدین معناست که خطای ردگیری مفصلی،  $E_i$ ، در داخل دایره‌ای به شعاع  $\chi_i$  افزایش می‌یابد. بنابراین در هر لحظه زمانی خطای ردگیری مفصلی محدود باقی می‌ماند. بیان این نکته ضروری است که با توجه به رابطه (45-5)، شعاع  $\chi_i$  با در نظر گرفتن  $t \rightarrow \infty$  به صفر میل می‌کند. در نتیجه کنترل‌کننده پیشنهادی طوری طراحی شده است که هم برای وضعیت  $\|E_i\| > \chi_i$  و هم  $\|E_i\| < \chi_i$ ، خطای ردگیری به طور مجانبی به سمت صفر میل می‌کند.

با در نظر گرفتن روابط (42-5) و (41-5)، می‌توان نتیجه گرفت که  $\hat{\Lambda}_i$  و  $\hat{\Theta}_i$  محدود هستند. بعلاوه مطابق روابط (28-5)، (16-5) و (37-5)، به ترتیب  $\hat{\eta}_i(t)$ ،  $\hat{F}_i$  و  $u_{rfi}$  محدود هستند. چنانچه رابطه ولتاژ (3-2) را در  $I_{ai}$  ضرب کرده و با انجام کمی محاسبات، محدود بودن سرعت مفصل به صورت رابطه  $|\dot{q}_i| \leq K_{bi}^{-1} r_i (\varphi_{\max,i} + v_{\max,i})$  قابل اثبات می‌باشد [77]. از طرفی مطابق رابطه (3-2) به صورت مفصل مستقل می‌توان محدود بودن جریان موتور را هم نتیجه گرفت. از رابطه (2-5) داریم،  $q(t) = \int_0^t J^{-1}(q) \dot{X} dt + q(0)$  بنابراین در زمان عملکردی محدود، موقعیت مفصلی  $q(t)$  نیز محدود است. در نتیجه، پایداری تمامی متغیرهای سیستم تضمین می‌شود.

#### ۵-۴- طراحی کنترل تطبیقی مستقیم سری تیلور در فضای کار

در این بخش کنترل کننده تطبیقی مستقیم سری تیلور طوری طراحی می شود که ضریب های کنترل کننده به منظور کاهش خطای ردگیری فضای کار، به طور مستقیم توسط مکانیزم تطبیقی تنظیم شود. بدین منظور، کنترل کننده سری تیلور بدین شکل پیشنهاد می شود:

$$\mathbf{u}_{ts} = \hat{\mathbf{J}}_s(\mathbf{q}) \left[ \mathbf{u}_{ts1}(\tilde{\mathbf{X}}(1)), \mathbf{u}_{ts2}(\tilde{\mathbf{X}}(2)), \mathbf{u}_{ts3}(\tilde{\mathbf{X}}(3)) \right]^T \quad (۴۶-۵)$$

که در آن

$$\mathbf{u}_{tsi}(\tilde{\mathbf{X}}(i)) = \sum_{k=0}^m \frac{\tilde{\mathbf{X}}_{tsi}^{(k)}(\tilde{\mathbf{X}}_{u_0}(i))}{k!} (\tilde{\mathbf{X}}(i) - \tilde{\mathbf{X}}_{u_0}(i))^k, \quad i = 1, 2, 3 \quad (۴۷-۵)$$

که در رابطه (۴۷-۵)،  $\tilde{\mathbf{X}}(i) \in \mathbb{R}$  بیانگر  $i$  امین عنصر  $\tilde{\mathbf{X}}$  و  $\mathbf{u}_{tsi}(\tilde{\mathbf{X}}(i))$  خروجی تقریب گر پیشنهادی است که بیانگر تعداد  $m + 1$  جمله تیلور  $\mathbf{u}_{tsi}$  حول  $\tilde{\mathbf{X}}_{u_0}(i)$  می باشد. می توان رابطه (۴۶-۵) را بدین صورت بازنویسی کرد:

$$\mathbf{u}_{ts} = \hat{\mathbf{J}}_s(\mathbf{q}) (\hat{\boldsymbol{\theta}}_u^T \boldsymbol{\xi}_u) \quad (۴۸-۵)$$

که در آن بردار ضریب های  $\mathbf{u}_{ts}$  بوده که توسط قانون تطبیق پیشنهادی در تحلیل پایداری تنظیم می شود و  $\boldsymbol{\xi}_u$  بردار رگرسور می باشد که هر دو بردار بدین شکل معرفی می شوند:

$$\boldsymbol{\xi}_u = \left[ 1, (\tilde{\mathbf{X}}(i) - \tilde{\mathbf{X}}_{u_0}(1)), \dots, (\tilde{\mathbf{X}}(i) - \tilde{\mathbf{X}}_{u_0}(1))^m \right]^T \quad (۴۹-۵)$$

$$\hat{\boldsymbol{\theta}}_u^T = \left[ \frac{\mathbf{u}_{id}^{(0)}(\tilde{\mathbf{X}}_{u_0}(i))}{0!}, \frac{\mathbf{u}_{id}^{(1)}(\tilde{\mathbf{X}}_{u_0}(i))}{1!}, \dots, \frac{\mathbf{u}_{id}^{(m)}(\tilde{\mathbf{X}}_{u_0}(i))}{m!} \right] \quad (۵۰-۵)$$

با در نظر گرفتن کنترل کننده ایده آل به صورت زیر

$$\mathbf{u}_{id} = \hat{\mathbf{J}}_s(\mathbf{q}) (\boldsymbol{\theta}_u^T \boldsymbol{\xi}_u + \boldsymbol{\varepsilon}_u) \quad (۵۱-۵)$$

که در آن  $\mathbf{e}_u$  خطای مدلسازی می باشد، قانون کنترل مقاوم به منظور محافظت در مقابل اضافه ولتاژ بدین صورت پیشنهاد می شود:

$$\mathbf{v} = h(\mathbf{u}) \quad (52-5)$$

$$h(\mathbf{u}) = \begin{cases} \mathbf{u} & \text{if } \|\mathbf{u}\| \leq v_{max} \\ v_{max} \text{sgn}(\mathbf{u}) & \text{if } v_{max} < \|\mathbf{u}\| \end{cases} \quad (53-5)$$

$$\mathbf{u} = \mathbf{u}_{ts} + \mathbf{u}_s = \hat{\mathbf{J}}_s(\mathbf{q})(\hat{\boldsymbol{\theta}}_u^T \boldsymbol{\xi}_u + \mathbf{u}_s) \quad (54-5)$$

که در آن  $\mathbf{u}_s$  عبارت مقاوم ساز است. می توان رابطه (5-1) را بدین صورت بازنویسی کرد:

$$\hat{\mathbf{J}}_s(\mathbf{q})\ddot{\mathbf{X}} + \mathbf{f} = \mathbf{v} \quad (55-5)$$

که در آن عدم قطعیت تجمعی  $\mathbf{f}$  بدین صورت فرمول بندی می شود:

$$\begin{aligned} \mathbf{f} = & (\mathbf{R}\mathbf{K}_m^{-1}(\mathbf{J}_m \mathbf{r}^{-1} + \mathbf{r}\mathbf{D}(\mathbf{q}))\hat{\mathbf{J}}_s(\mathbf{q}) - \hat{\mathbf{J}}_s)\ddot{\mathbf{X}} \\ & + (\mathbf{R}\mathbf{K}_m^{-1}\mathbf{B}_m \mathbf{r}^{-1} + \mathbf{K}_b \mathbf{r}^{-1} \\ & + \mathbf{R}\mathbf{K}_m^{-1}\mathbf{r}\mathbf{C}(\mathbf{q}, \dot{\mathbf{q}}))\hat{\mathbf{J}}_s(\mathbf{q})\dot{\mathbf{X}} \\ & + \mathbf{R}\mathbf{K}_m^{-1}\mathbf{r}(\mathbf{g}(\mathbf{q}) + \boldsymbol{\tau}_f(\dot{\mathbf{q}})) + \mathbf{L}\dot{\mathbf{I}}_a + \boldsymbol{\varphi} \end{aligned} \quad (56-5)$$

به منظور دستیابی به همگرایی مجانبی خطای ردگیری فضای کار، می توان قانون کنترل ایده آل را بدین شکل تعیین کرد:

$$\mathbf{u}_c^* = \hat{\mathbf{J}}_s(\ddot{\mathbf{X}}_d + \mathbf{K}\mathbf{E}) + \mathbf{f} \quad (57-5)$$

در حالتی که  $\|\mathbf{u}\| < v_{max}$ ، تلاش کنترلی موتورها در بیشینه مقدار خود قرار دارد تا خطای ردگیری کاهش یابد. با در نظر گرفتن  $\|\mathbf{u}\| \leq v_{max}$ ، با اعمال رابطه (5-54) در سیستم (5-55)، سیستم حلقه بسته بدین شکل نوشته می شود:

$$\hat{\mathbf{J}}_s(\mathbf{q})\ddot{\mathbf{X}} + \mathbf{f} = \hat{\mathbf{J}}_s(\mathbf{q})(\hat{\boldsymbol{\theta}}_u^T \boldsymbol{\xi}_u + \mathbf{u}_s) \quad (58-5)$$

همچنین به منظور تقریب کنترل کننده ایده آل توسط (۵-۵۱) داریم:

$$\hat{J}_s(\mathbf{q})(\ddot{\mathbf{X}}_d + \mathbf{KE}) + \mathbf{f} = \hat{J}_s(\mathbf{q})(\boldsymbol{\theta}_{u_i}^T \boldsymbol{\xi}_u + \boldsymbol{\varepsilon}_u) \quad (۵۹-۵)$$

با استفاده از روابط (۵۸-۵) و (۵۹-۵)، دینامیک‌های خطای ردگیری فضای کار به صورت اسکالر بدین صورت بدست می‌آیند:

$$\ddot{\tilde{\mathbf{X}}}(i) + \mathbf{k}_{1i} \dot{\tilde{\mathbf{X}}}(i) + \mathbf{k}_{2i} \tilde{\mathbf{X}}(i) = (\boldsymbol{\theta}_{u_i}^T - \hat{\boldsymbol{\theta}}_{u_i}^T) \boldsymbol{\xi}_{ui} + \boldsymbol{\varepsilon}_{u_i} - u_{s_i} \quad (۶۰-۵)$$

که در آن  $i = 1, 2, 3$ . با در نظر گرفتن کران بالای خطای مدلسازی،  $|\boldsymbol{\varepsilon}_{u_i}| < \eta_{u_i}(t)$ ، تقریب‌گر زیر به منظور تقریب  $\eta_{u_i}(t)$  بدین صورت پیشنهاد می‌شود:

$$\hat{\eta}_{u_i}(t) = \hat{\boldsymbol{\theta}}_{\eta_i}^T \boldsymbol{\Upsilon}_{\eta_i} \quad (۶۱-۵)$$

که در آن بردار  $\hat{\boldsymbol{\theta}}_{\eta_i}$  تقریب  $\boldsymbol{\theta}_{\eta_i}$  می‌باشد. باید توجه داشت که روند تحلیل پایداری در این بخش مشابه بخش ۳-۵ می‌باشد. بنابراین از تکرار مجدد تحلیل پایداری در این بخش صرف نظر می‌شود. عبارت مقاوم‌ساز مورد نیاز و قوانین تطبیق به منظور تنظیم ضریب‌های کنترل کننده و کران بالای خطای مدلسازی مستقیماً به شکل زیر محاسبه می‌شود:

$$u_{s_i} = \frac{\hat{\eta}_{u_i}^2(t) \mathbf{E}_i^T \mathbf{P}_i \mathbf{b}_i}{|\hat{\eta}_{u_i}(t) \mathbf{E}_i^T \mathbf{P}_i \mathbf{b}_i| + \delta_i' \exp(-\sigma_i' t)} \quad (۶۲-۵)$$

$$\hat{\boldsymbol{\theta}}_{\eta_i} = \lambda_i' |\mathbf{E}_i^T \mathbf{P}_i \mathbf{b}_i| \boldsymbol{\Upsilon}_{\eta_i} \quad (۶۳-۵)$$

$$\hat{\boldsymbol{\theta}}_{u_i} = \gamma_i' \mathbf{E}_i^T \mathbf{P}_i \mathbf{b}_i \boldsymbol{\xi}_{u_i} \quad (۶۴-۵)$$

که در آن ماتریس معین مثبت متقارن و  $\delta_i'$ ،  $\sigma_i'$ ،  $\lambda_i'$  و  $\gamma_i'$  ثابت‌های مثبت هستند.

## ۵-۵- نتایج شبیه‌سازی

در این بخش به عنوان مطالعه موردی از بازوی رباتیک اسکارا مجهز به موتورهای مغناطیس دائم جریان مستقیم به منظور تایید عملکرد موثر روش کنترلی پیشنهاد شده در فضای کار استفاده می‌شود. ضریب  $\hat{J}_s(q)$  در قانون کنترل ۸۰ درصد مقدار واقعی در نظر گرفته می‌شود. بعلاوه برای ارزیابی عملکرد روش کنترلی در مقابل تحمل بار خارجی، بار ۶ کیلوگرمی در ثانیه چهارم بر مجری نهایی اعمال می‌شود. تمامی ضریب‌های مرتبط با دینامیک‌های سیستم رباتیک و محرکه‌ها در فصل دوم معرفی شده‌اند. مسیر فضای کار مطلوب برای مجری نهایی بدین صورت فرمول‌بندی می‌شوند:

$$\mathbf{X}_d = \left[ 0.75 - 0.1 \cos\left(\frac{\pi t}{3}\right) \quad 0.75 - 0.1 \sin\left(\frac{\pi t}{3}\right) \quad 0 \right]^T \quad (۶۵-۵)$$

همچنین سیگنال اغتشاش بصورت تابع پالس مستطیلی با دامنه ۲ ولت به سیستم داده می‌شود. خطای اولیه برای مجری نهایی بدین صورت انتخاب می‌شود:

$$\mathbf{X}(0) = (x_0, y_0, z_0) = (0.75, 0.75, 0.1) \quad (۶۶-۵)$$

## ۵-۵-۱- شبیه‌سازی اول

روش کنترلی پیشنهادی در بخش ۵-۲ که توسط قانون کنترل (۷-۵) تا (۹-۵) طراحی شده است و از تقریب‌گر سری‌تیلور (۱۶-۵) و قوانین تطبیق (۴۱-۵) و (۴۲-۵) بهره می‌برد، در این بخش

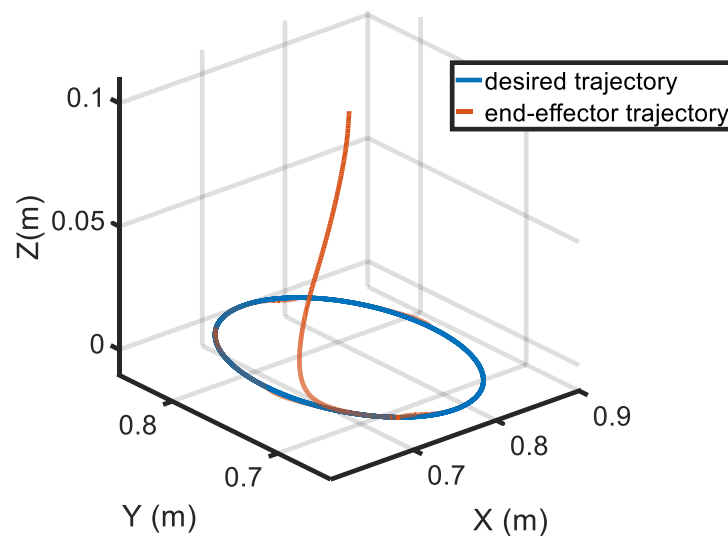
شبیه‌سازی می‌شود. ضریب‌های کنترل‌کننده به صورت

$$\mathbf{k}_p = \begin{bmatrix} 10 & 0 & 0 \\ 0 & 10 & 0 \\ 0 & 0 & 10 \end{bmatrix}$$

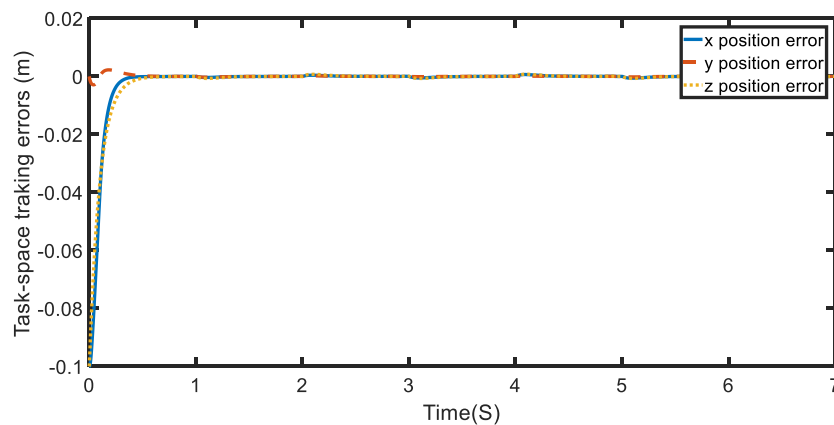
شرایط  $\mathbf{k}_d = \begin{bmatrix} 3 & 0 & 0 \\ 0 & 3 & 0 \\ 0 & 0 & 3 \end{bmatrix}$ ،  $\gamma_i = \lambda_i = 10$ ،  $\delta_i = 1$ ،  $\sigma_i = 0.1$  و  $m = 2$  انتخاب می‌شوند.

اولیه برای تمامی ضریب‌های تطبیق صفر در نظر گرفته می‌شود. شکل ۵-۱ عملکرد مطلوب روش کنترل‌کننده پیشنهادی را نشان می‌دهند. مطابق شکل ۵-۲، خطای ردگیری برای مجری نهایی در

نهایت به زیر  $1.5 \times 10^{-4} m$  کاهش می‌یابد. از طرفی تغییرات مجاز ولتاژ موتورها در شکل ۳-۵ نشان داده شده است. به علت وجود خطای اولیه مفاصل، ولتاژ موتورها در لحظه شروع زیاد است. تاثیر بار خارجی اعمالی به مجری نهایی در ولتاژ موتور سوم در ثانیه چهارم قابل مشاهده است. تمامی ضریب‌های سری‌تیلور در شکل ۴-۵ نشان داده شده است. همانطور که مشاهده می‌شود اولین ضریب هر تقریب‌گر سری‌تیلور در طول زمان متغیر و دومین و سومین ضریب هر تقریب‌گر سری‌تیلور تقریباً به مقدار ثابت همگرا می‌شود تا تاثیرات عدم قطعیت را پوشش دهند.

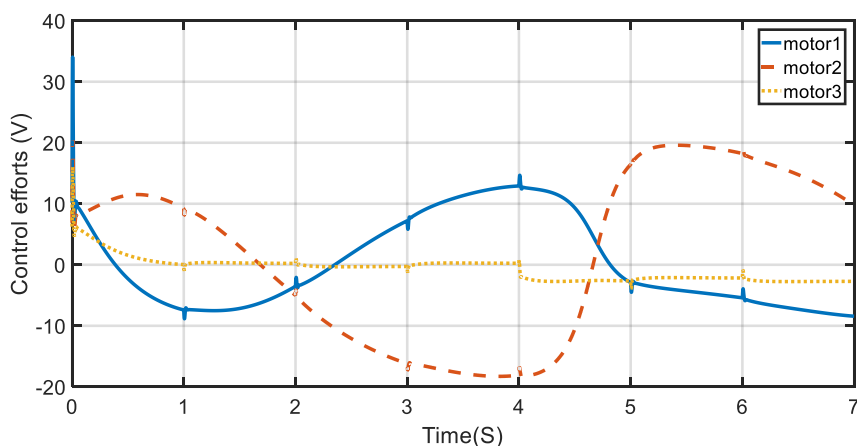


شکل ۱-۵ عملکرد ردگیری تقریب‌گر و جبران‌ساز سری‌تیلور در صفحه XYZ

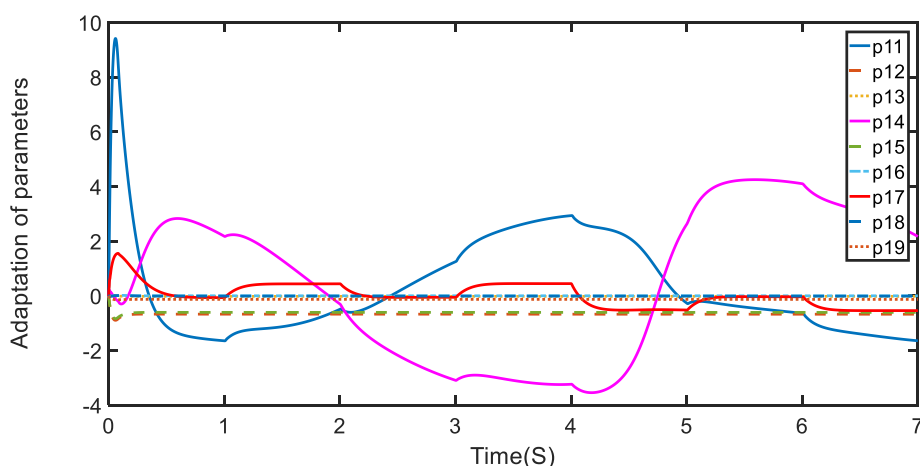


شکل ۲-۵ خطای ردگیری فضای کار





شکل ۳-۵ تلاش کنترلی روش کنترلی پیشنهادی



شکل ۴-۵ تطبیق ضریب‌های تقریب‌گر سری تیلور

## ۵-۲-۵-۵- شبیه‌سازی دوم

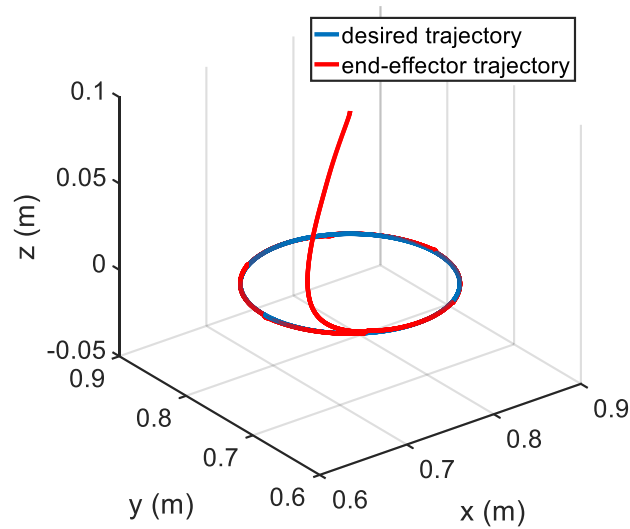
کنترل‌کننده تطبیقی مستقیم که توسط قانون کنترلی (۵۲-۵) تا (۵۴-۵) فرمول‌بندی شده و مجهز به تقریب‌گرهای سری تیلور (۴۸-۵) و (۶۱-۵) و قوانین تطبیق (۶۳-۵) و (۶۴-۵) می‌باشد در این

بخش شبیه‌سازی می‌شود. ضریب‌های کنترل‌کننده به صورت  $k_d = k_p = \begin{bmatrix} 100 & 0 & 0 \\ 0 & 100 & 0 \\ 0 & 0 & 100 \end{bmatrix}$

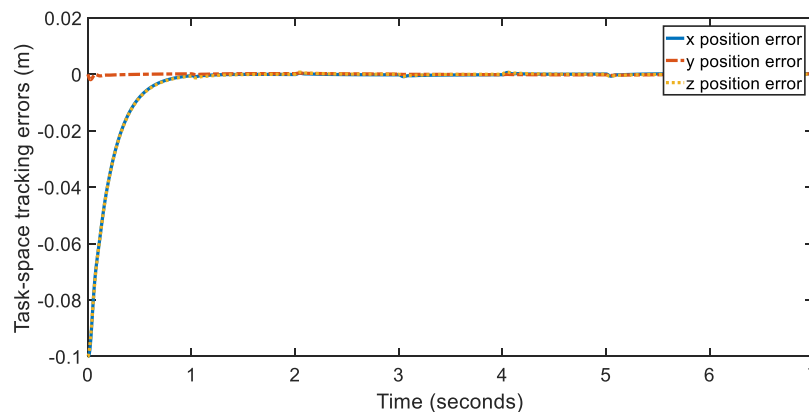
همچنین  $\lambda_i = 1000$ ,  $\gamma_i = 1$ ,  $\delta_i = 1$ ,  $\sigma_i = 0.1$ ,  $m = 1$  انتخاب می‌شوند.

ماتریس معین مثبت متقارن بصورت  $S_i = \begin{bmatrix} 385 & 15 \\ 15 & 1.3 \end{bmatrix}$  انتخاب می‌شود. عملکرد مطلوب

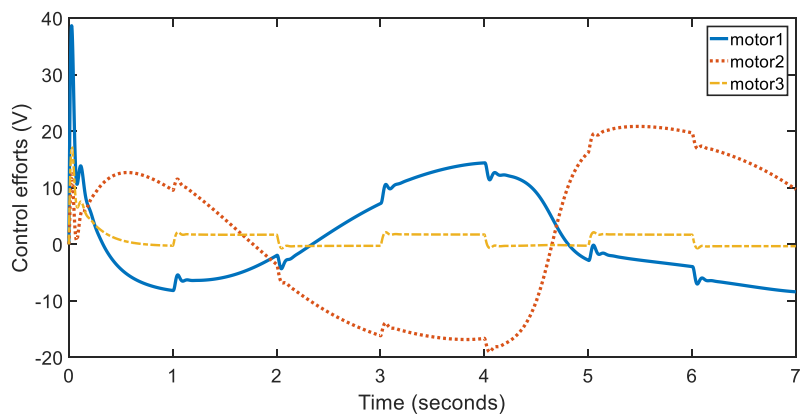
کنترل‌کننده پیشنهادی، خطای ردگیری در فضای کار، تلاش کنترلی محرکه‌ها، تغییرات ضریب‌های سری‌تیلور و تقریب کران بالای خطای مدل‌سازی به ترتیب در شکل‌های ۵-۵، ۶-۵، ۷-۵، ۸-۵ و ۹-۵ نمایش داده می‌شوند. حال فرض کنید برای ارزیابی کنترل تطبیقی مستقیم، بار خارجی اعمال شده در شبیه سازی اول در نظر گرفته شود. شکل‌های ۵-۱۰ و ۵-۱۱ عملکرد روش کنترلی و ولتاژ موتورها در این وضعیت را نشان می‌دهند.



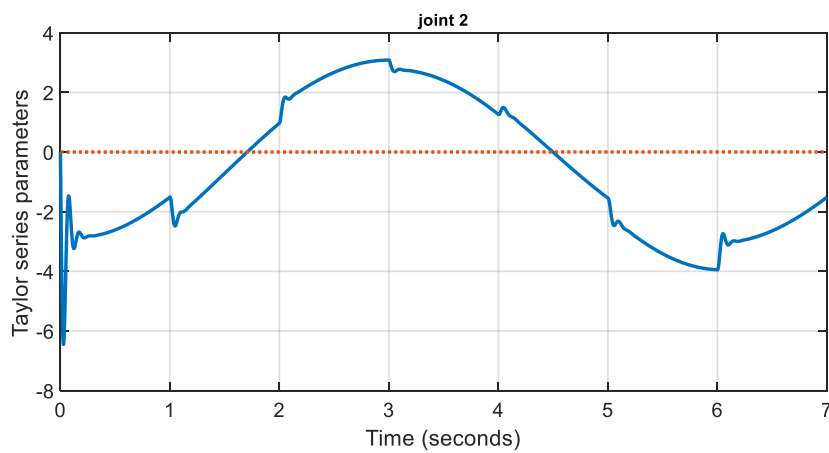
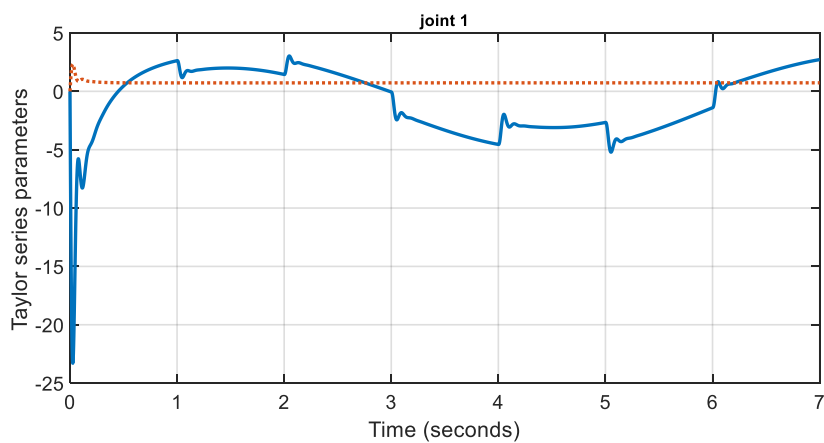
شکل ۵-۵ عملکرد ردگیری کنترل تطبیقی مستقیم سری‌تیلور در فضای کار در صفحه XYZ

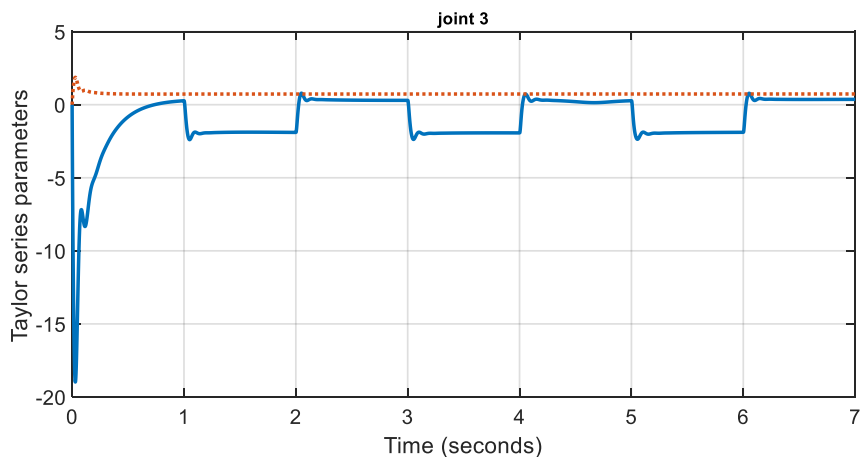


شکل ۵-۶ خطای ردگیری فضای کار برای روش کنترلی سری‌تیلور تطبیقی مستقیم

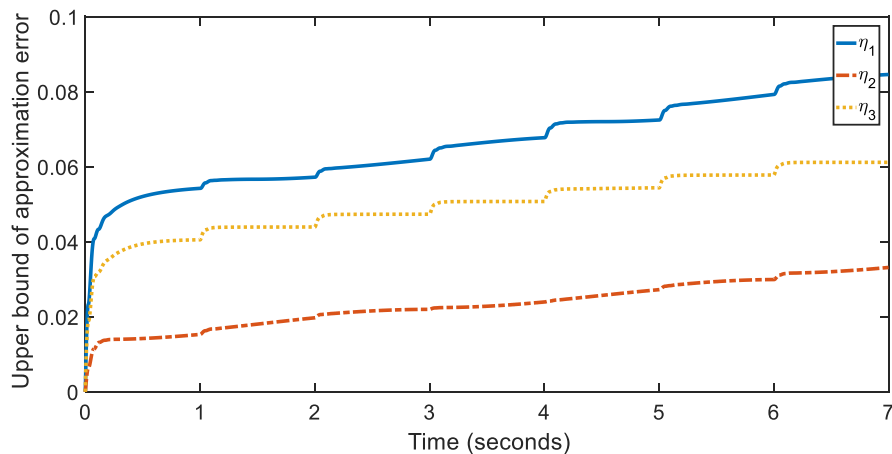


شکل ۵-۷ تلاش کنترلی برای کنترل سری تیلور تطبیقی مستقیم

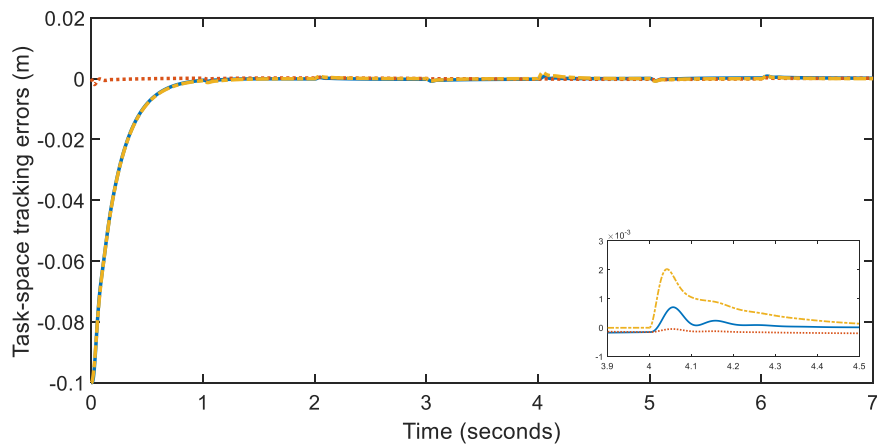




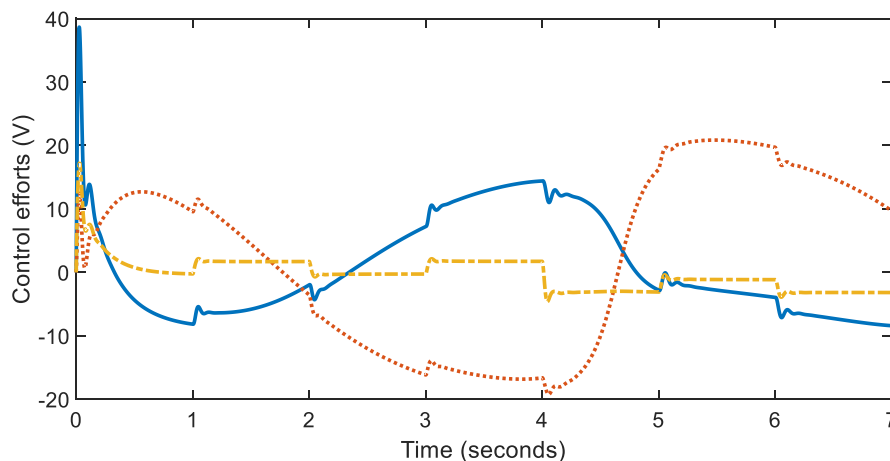
شکل ۸-۵ تطبیق ضریب‌های کنترل کننده سری تیلور. خط توپر "-" و خط نقطه‌چین ":" به ترتیب نشان دهنده ضریب اول و دوم کنترل کننده تطبیقی مستقیم سری تیلور می‌باشد.



شکل ۹-۵ تقریب کران بالای خطای مدلسازی در کنترل تطبیقی مستقیم



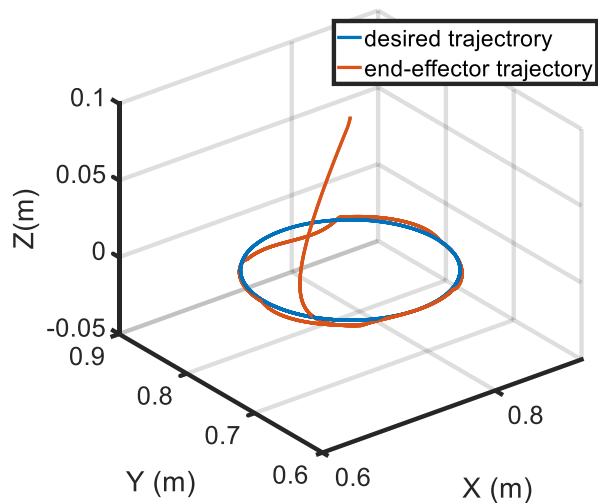
شکل ۱۰-۵ اثر بار سنگین اعمالی بر مجری نهایی در عملکرد روش تطبیقی مستقیم



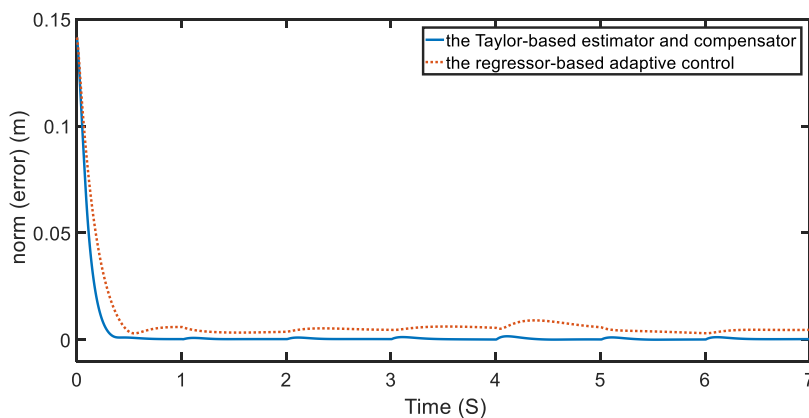
شکل ۵-۱۱ اثر بار سنگین اعمالی بر مجری نهایی در تلاش کنترلی روش تطبیقی مستقیم

### ۵-۵-۳- شبیه‌سازی سوم

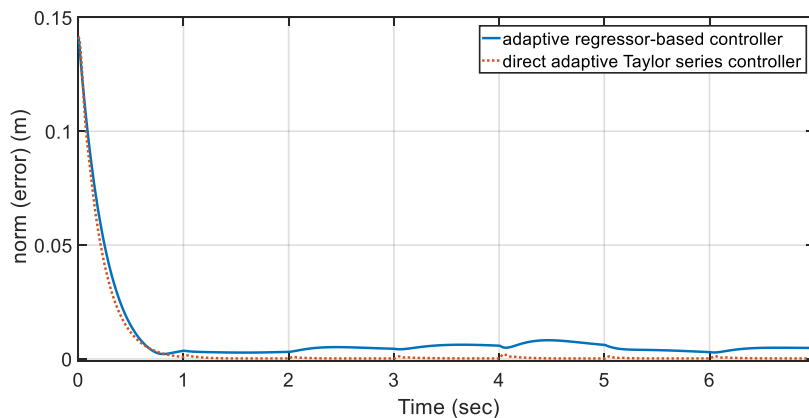
در این بخش به منظور ارزیابی عملکرد روش‌های کنترلی ارائه شده، روش کنترل تطبیقی ارائه شده در مرجع [۶۳] برای کنترل فضای کار بازوی رباتیک شبیه‌سازی می‌شود. در ساختار کنترلی ارائه شده در مرجع [۶۳]، از ماتریس رگرسور سینماتیکی استفاده می‌شود. شکل ۵-۱۲ نشان‌دهنده عملکرد کنترل تطبیقی مبتنی بر رگرسور می‌باشد. باید توجه داشت که به دلیل استفاده از ماتریس دینامیکی رگرسور در ساختار کنترلی، روش ارائه شده در مرجع [۶۳] بار محاسباتی بالایی دارد. برای مقایسه عملکرد روش‌های کنترلی ارائه شده در این فصل و کنترل‌کننده مرجع [۶۳]، نرّم خطای ردگیری این روش‌های کنترلی در شکل‌های ۵-۱۳ و ۵-۱۴ نشان داده شده‌اند. همانطور که مشاهده می‌شود عملکرد کنترل‌کننده‌های پیشنهادی در مقابل اغتشاش خارجی و بار سنگین اعمالی بر مجری نهایی مطلوب است.



شکل ۵-۱۲ عملکرد ردگیری کنترل ردگیری تطبیقی مبتنی بر رگرسور



شکل ۵-۱۳ محاسبه  $\|\tilde{X}\|$  برای روش‌های تطبیقی سری تیلور غیرمستقیم و مبتنی بر رگرسور



شکل ۵-۱۴ محاسبه  $\|\tilde{X}\|$  برای روش‌های تطبیقی سری تیلور مستقیم و مبتنی بر رگرسور

فصل ۶. طراحی کنترل کننده سری تیلور تطبیقی غیرمستقیم با استفاده از  
راهبرد کنترل ولتاژ

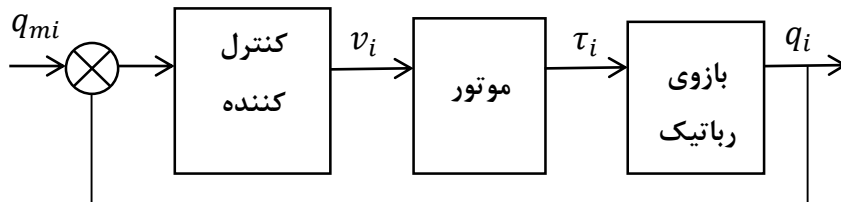
در فصل‌های پیشین سیستم‌های سری تیلور تطبیقی به خوبی در کنترل مقاوم بازوهای رباتیک مورد استفاده قرار گرفته است. سوال اساسی است که آیا می‌توان بدون اندازه‌گیری متغیر سرعت مفاصل و یا حتی بدون طراحی رویت‌گر، ساختار سیستم کنترل مبتنی بر سری تیلور را توسعه داد؟ در این فصل قصد داریم با استفاده از راهبرد کنترل ولتاژ و با پیشنهاد طرح نوین تطبیقی غیرمستقیم به منظور کنترل ردگیری جانبی بازوهای رباتیک به این سوال پاسخ دهیم. در راهبرد کنترل ولتاژ، ربات و موتورهای متصل به مفاصل بصورت سیستم واحد بنام سیستم رباتیک در نظر گرفته می‌شود. بدین معنی که کنترل ربات به کنترل مفاصل ربات تبدیل شده و از آن جا که مفاصل ربات توسط موتورهای آن به حرکت در می‌آیند، مسئله کنترل ربات تبدیل به مسئله کنترل موتورهای آن می‌شود. این روش کنترلی پیشنهادی، هم در فضای مفصلی و هم در فضای کار فرمول‌بندی می‌شود. کنترل‌کننده مجهز به تقریب‌گر سری تیلور به منظور تقریب عدم قطعیت جمعی و همچنین تقریب‌گر فازی به منظور تقریب کران بالای خطای مدلسازی استفاده می‌شود. در نتیجه علاوه بر تضمین همگرایی جانبی خطای ردگیری، محدودیت تمامی سیگنال‌ها توسط تحلیل پایداری اثبات می‌شود.

## ۶-۲- کنترل تطبیقی غیرمستقیم سری تیلور با راهبرد کنترل ولتاژ در فضای مفصلی

به دلیل ساده‌تر بودن مدل دینامیکی موتورها در مقایسه با مدل دینامیکی بازوهای رباتیک، طراحی کنترل‌کننده بر مبنای مدل دینامیکی موتور، ساده‌تر می‌باشد. در طرح کنترل ولتاژ، ربات به عنوان بار موتور دیده شده و کنترل موقعیت هر مفصل توسط کنترل زاویه موتور صورت می‌گیرد. یکی از ویژگی‌های منحصربه‌فرد این طرح، تبدیل کنترل سیستم چند متغیره ربات، به کنترل موتورهای متصل به مفاصل آن می‌باشد که سیستم یک ورودی - یک خروجی است و در نتیجه با کنترل جداگانه



هر مفصل می‌توان ربات موردنظر را کنترل نمود. طرح کنترل ولتاژ ربات بر مبنای مدل موتور و آزاد از مدل ربات نخستین بار در مقاله [۴۹] معرفی شده است. شکل ۱-۶ دیاگرام کنترل ولتاژ موتور مفصل ربات را نمایش می‌دهد.



شکل ۱-۶ دیاگرام کنترل ولتاژ موتور مفصل ربات بصورت مفصل مستقل (در فضای مفصلی)

### ۱-۲-۶- پیشنهاد قانون کنترل مقاوم

معادله ولتاژ موتور ۲-۳ را به صورت مفصل مستقل در نظر بگیرید:

$$\hat{R}_i I_{ai} + \dot{q}_i + f_i = v_i \quad (1-6)$$

که در آن  $\hat{R}_i$  مقدار نامی  $R_i$  و  $f_i$  بیانگر عدم قطعیت تجمعی می‌باشد که بصورت زیر فرمول بندی می‌شود:

$$f_i = (K_{bi} r_i^{-1} - 1) \dot{q}_i + (R_i - \hat{R}_i) I_{ai} + L_i \ddot{q}_i + \varphi_i(t) \quad (2-6)$$

خطای ردگیری را بدین صورت تعریف کنید:

$$e_i = q_{mi} - q_i \quad (3-6)$$

که در آن  $q_{mi}$  بیانگر مسیر مطلوب و  $i = 1, 2, \dots, n$ . به منظور دستیابی به همگرایی مجانبی خطای ردگیری به صفر (یا به عبارت دیگر  $\lim_{t \rightarrow \infty} e_i(t) = 0$ )، می‌توان دینامیک خطای ردگیری را بدین صورت در نظر گرفت:

$$\dot{e}_i + k_{fi}e_i(t) = 0 \quad (۴-۶)$$

که در آن بهره پسخورده مثبت می‌باشد. با اعمال رابطه (۶-۱) به (۴-۶)، می‌توان قانون کنترل ایده‌آل با ساختار مفصل مستقل را به صورت زیر بدست آورد:

$$u_{ci}^* = \dot{q}_{mi} + k_{fi}e_i(t) + f_i + \hat{R}_i I_{ai} \quad (۵-۶)$$

به دلیل آنکه عدم قطعیت تجمعی  $f_i$  نامعلوم است، کنترل کننده ایده‌آل (۵-۶) غیرقابل پیاده‌سازی است. برای رفع این مشکل با بهره‌گیری از تقریب‌گر سری تیلور، عدم قطعیت تجمعی  $f_i$  را تقریب زده تا از تابع تقریب زده شده به عنوان تکمیل قانون کنترل استفاده شود.

قبل از ادامه طراحی کنترل کننده، علاوه بر فرض‌های ۱ و ۲، فرض زیر در این فصل به صورت زیر در نظر گرفته می‌شود:

**فرض ۵:** ولتاژ موتورها محدود باشند یعنی  $|v| \leq v_{max}$  که در آن  $v_{max}$  بیشینه ولتاژ مجاز است.

به منظور تقریب عدم قطعیت تجمعی، تقریب سری تیلور بدین صورت پیشنهاد می‌شود:

$$\begin{aligned} \hat{f}_i &= \sum_{k_1=0}^{m_1} \frac{\hat{f}_i^{(k_1)}(e_{if_0})}{k_1!} (e_i - e_{if_0})^{k_1} \\ &= \frac{\hat{f}_i^{(0)}(e_{if_0})}{0!} + \frac{\hat{f}_i^{(1)}(e_{if_0})}{1!} (e_i - e_{if_0})^1 \\ &\quad + \frac{\hat{f}_i^{(2)}(e_{if_0})}{2!} (e_i - e_{if_0})^2 + \dots \\ &\quad + \frac{\hat{f}_i^{(m_1)}(e_{if_0})}{m_1!} (e_i - e_{if_0})^{m_1} \end{aligned} \quad (۶-۶)$$

که در آن  $\hat{f}_i$  پاسخ خروجی تقریب‌گر پیشنهادی می‌باشد که بیانگر تعداد  $m_1 + 1$  جمله تیلور  $f_i$  حول  $e_{if_0}$  می‌باشد. رابطه (۶-۶) را می‌توان بصورت زیر بازنویسی کرد:

$$\hat{f}_i = \hat{\theta}_{f_i}^T \xi_{f_i} \quad (7-6)$$

که در آن  $\hat{\theta}_{f_i}^T \in \mathbb{R}^{1 \times (m_1+1)}$  بردار ضریب‌های سری تیلور و  $\xi_{f_i} \in \mathbb{R}^{(m_1+1) \times 1}$  بیانگر بردار رگرسیون می‌باشد که بدین صورت معرفی می‌شوند:

$$\xi_{f_i} = [1, (e_i - e_{if_0})^1, \dots, (e_i - e_{if_0})^{m_1}]^T \quad (8-6)$$

$$\hat{\theta}_{f_i}^T = \left[ \frac{\hat{f}_i^{(0)}(e_{if_0})}{0!}, \frac{\hat{f}_i^{(1)}(e_{if_0})}{1!}, \dots, \frac{\hat{f}_i^{(m_1)}(e_{if_0})}{m_1!} \right] \quad (9-6)$$

فرض کنید عدم قطعیت تجمعی  $f_i$  به صورت زیر مدل‌سازی شود:

$$f_i = \theta_{f_i}^T \xi_{f_i} + \varepsilon_{f_i} \quad (10-6)$$

ولتاژ موتور باید زیر محدوده مجاز  $v_{max,i}$  قرار داشته باشد. بنابراین به منظور محافظت از موتور در مقابل اضافه ولتاژ، از محدودکننده ولتاژ برای هر موتور استفاده می‌شود. بنابراین قانون کنترل در ساختار مفصل مستقل بدین صورت پیشنهاد می‌شود:

$$v_i = h(u_i) \quad (11-6)$$

$$h(u_i) = \begin{cases} u_i & \text{if } |u_i| \leq v_{max,i} \\ v_{max,i} \operatorname{sgn}(u_i) & \text{if } v_{max,i} < |u_i| \end{cases} \quad (12-6)$$

$$u_i = \dot{q}_{mi} + k_{f_i} e_i(t) + \hat{f}_i + \hat{R}_i I_{ai} + u_{rfi} \quad (13-6)$$

که در آن  $u_{rfi}$  عبارت مقاوم‌ساز می‌باشد که در بخش تحلیل پایداری پیشنهاد می‌شود.

مطابق راهبرد کنترل ولتاژ، قانون کنترل (11-6) تا (13-6) به منظور پسخورد اثر دینامیک‌های غیرخطی، دارای عبارت جریان موتور  $I_{ai}$  می‌باشد. برای درک بهتر این موضوع با جایگذاری معادله (1-2) در (2-2) داریم:

$$(K_m^{-1}J_m r^{-1} + K_m^{-1}rD(q))\ddot{q} + (K_m^{-1}B_m r^{-1} + K_m^{-1}rC(q, \dot{q}))\dot{q} + K_m^{-1}r(g(q) + \tau_f(\dot{q})) = I_a \quad (14-6)$$

مطابق رابطه (۱۴-۶)، متغیر جریان موتور تابعی از دینامیک‌های مرتبه بالاتر شامل متغیرهای سرعت  $\dot{q}$  و شتاب  $\ddot{q}$  می‌باشد. بنابراین یکی از مزیت‌های قابل توجه راهبرد کنترل ولتاژ این است که به طور غیرمستقیم دینامیک‌های بازوی رباتیک در دسترس قرار می‌گیرند.

عدم قطعیت رابطه (۲-۶) شامل دینامیک‌های مدل نشده،  $(K_{bi}r_i^{-1} - 1)\dot{q}_i + L_i\dot{I}_{ai}$ ، عدم قطعیت پارامتری،  $(R_i - \hat{R}_i)I_{ai}$ ، و اغتشاش خارجی،  $\varphi_i(t)$  می‌باشد. ایده اصلی کنترل کننده پیشنهادی (۱۱-۶) تا (۱۳-۶) این است که عدم قطعیت‌های ساختاری (پارامتری) و غیرساختاری (دینامیک‌های مدل نشده و اغتشاش خارجی) را به نحوی جبران کند تا خطای ردگیری به صفر میل کند مادامی که  $t \rightarrow \infty$ . تقریب‌گر سری تیلور به عنوان تابع چندجمله‌ای خطای ردگیری تطبیقی به ساختار کنترل کننده اضافه شده است تا عدم قطعیت تجمعی تقریب زده شود. اما به دلیل اختلاف  $\hat{f}$  و  $f$  در فرآیند مدلسازی، با خطای تقریب  $\varepsilon_f$  مواجه هستیم. وجود خطای تقریب نه تنها عملکرد سیستم کنترل را تضعیف می‌کند، بلکه دستیابی به همگرایی مجانبی خطای ردگیری را با مشکل طراحی مواجه می‌سازد. برای حل این مشکل، عبارت مقاوم‌ساز  $u_{rfi}$  به قانون کنترل اضافه می‌شود تا علاوه بر بهبود عملکرد سیستم کنترل، همگرایی مجانبی خطای ردگیری تضمین شود.

در وضعیت  $|u_i| < v_{max,i}$ ، با اعمال قانون کنترل (۱۱-۶) تا (۱۳-۶) به سیستم (۱-۶)، سیستم حلقه بسته بدین صورت بیان می‌شود:

$$\hat{R}_i I_{ai} + \dot{q}_i + f_i = v_{max,i} \operatorname{sgn}(u_i) \quad (15-6)$$

با در نظر گرفتن (۱۵-۶)، تلاش کنترلی در بیشینه مقدار خود به منظور کاهش خطای ردگیری قرار دارد. در نهایت در وضعیت  $|u_i| \leq v_{max,i}$  و با در نظر گرفتن روابط (۱۱-۶) تا (۱۳-۶) و (۱-۶) داریم:

$$\hat{R}_i I_{ai} + \dot{q}_i + f_i = \dot{q}_{mi} + k_{fi} e_i(t) + \hat{f}_i + \hat{R}_i I_{ai} + u_{rfi} \quad (۱۶-۶)$$

بنابراین با استفاده از رابطه (۱۶-۶)، سیستم حلقه بسته بدین صورت بدست می‌آید:

$$\dot{e}_i(t) + k_{fi} e_i(t) = f_i - \hat{f}_i - u_{rfi} \quad (۱۷-۶)$$

با اعمال روابط (۷-۶) و (۱۰-۶) در (۱۷-۶)، دینامیک‌های خطای ردگیری را می‌توان بدین شکل بازنویسی کرد:

$$\dot{e}_i(t) + k_{fi} e_i(t) = w_i \quad (۱۸-۶)$$

که در آن

$$w_i = (\theta_{fi} - \hat{\theta}_{fi}) \xi_{fi} + \varepsilon_{fi} - u_{rfi} \quad (۱۹-۶)$$

تخمین گر سری تیلور پیشنهادی  $\hat{f}_i$  معرفی شده در (۷-۶) می‌تواند عدم قطعیت تجمعی  $f_i$  در رابطه (۱۰-۶) را تقریب بزند. داریم:

$$|f_i - \hat{f}_i| < \mu_i(t) \quad (۲۰-۶)$$

که در آن  $\mu_i(t) > 0$  کران بالای خطای عدم قطعیت می‌باشد. با اعمال روابط (۷-۶) و (۱۰-۶) در (۲۰-۶) داریم:

$$|(\theta_{fi} - \hat{\theta}_{fi}) \xi_{fi} + \varepsilon_{fi}| < \mu_i(t) \quad (۲۱-۶)$$

می‌توان رابطه (۲۱-۶) را بدین صورت بازنویسی کرد:

$$-\mu_i(t) - (\theta_{fi} - \hat{\theta}_{fi}) \xi_{fi} < \varepsilon_{ui} < \mu_i(t) - (\theta_{fi} - \hat{\theta}_{fi}) \xi_{fi} \quad (۲۲-۶)$$

با استفاده از (۲۲-۶)، می‌توان کران بالای  $\varepsilon_{ui}$  را بدین صورت توصیف کرد:

$$|\varepsilon_{ui}| < |\mu_i(t) - (\theta_{fi} - \hat{\theta}_{fi}) \xi_{fi}| \quad (۲۳-۶)$$

فرض کنید که  $x, y \in \mathbb{R}$  ، با در نظر گرفتن نامساوی مثلثی (یعنی  $|x + y| \leq |x| + |y|$ ). نامساوی زیر برقرار است:

$$|x - y| \leq |x| + |y| \quad (24-6)$$

با در نظر گرفتن رابطه (24-6)، به راحتی می توان رابطه (23-6) را بدین شکل توصیف کرد:

$$|\varepsilon_{u_i}| < \eta_i(t) \quad (25-6)$$

که در آن  $\eta_i(t)$  کران بالای خطای تقریب می باشد که بدین شکل معرفی می شود:

$$\eta_i(t) = |\mu_i(t)| + |(\theta_{f_i} - \hat{\theta}_{f_i})\xi_{f_i}| \quad (26-6)$$

همانطور که قبلا گفته شد، به منظور اطمینان از همگرایی مجانبی خطای ردگیری، عبارت مقاوم ساز به ساختار کنترل کننده پیشنهادی اضافه شده است. از سوی دیگر عبارت مقاوم ساز نیازمند تقریب کران بالای خطای تقریب می باشد. در نتیجه در این فصل از سیستم تطبیقی فازی با بهره گیری از موتور استنتاج فازی، فازی ساز منفرد و غیرفازی ساز میانگین مراکز [83] به منظور تقریب  $\eta_i(t)$  بدین صورت استفاده می شود:

$$\hat{\eta}_i = \sum_{l=1}^5 \hat{\theta}_{il} \psi_{il} = \hat{\theta}_{\eta_i}^T \psi_{\eta_i} \quad (27-6)$$

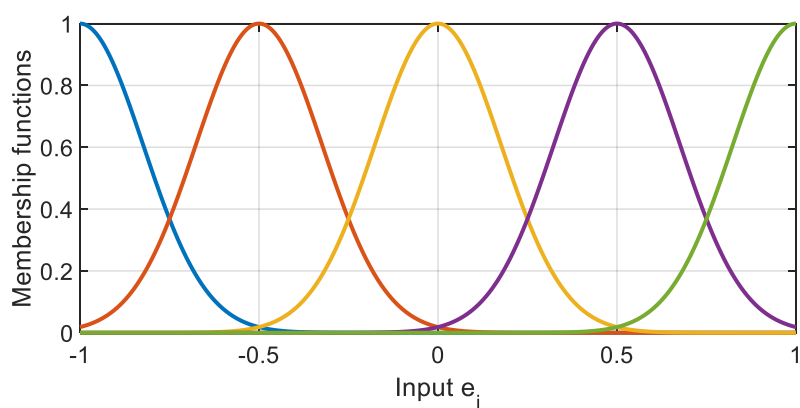
که در آن  $\psi_{\eta_i} = [\psi_{i1}, \psi_{i2}, \psi_{i3}, \psi_{i4}, \psi_{i5}]^T$  بردار رگرسور مثبت می باشد که بدین شکل تعریف می شود:

$$\psi_{il} = \frac{\mu_{A_l}(e_i)}{\sum_{l=1}^5 \mu_{A_l}(e_i)} \quad (28-6)$$

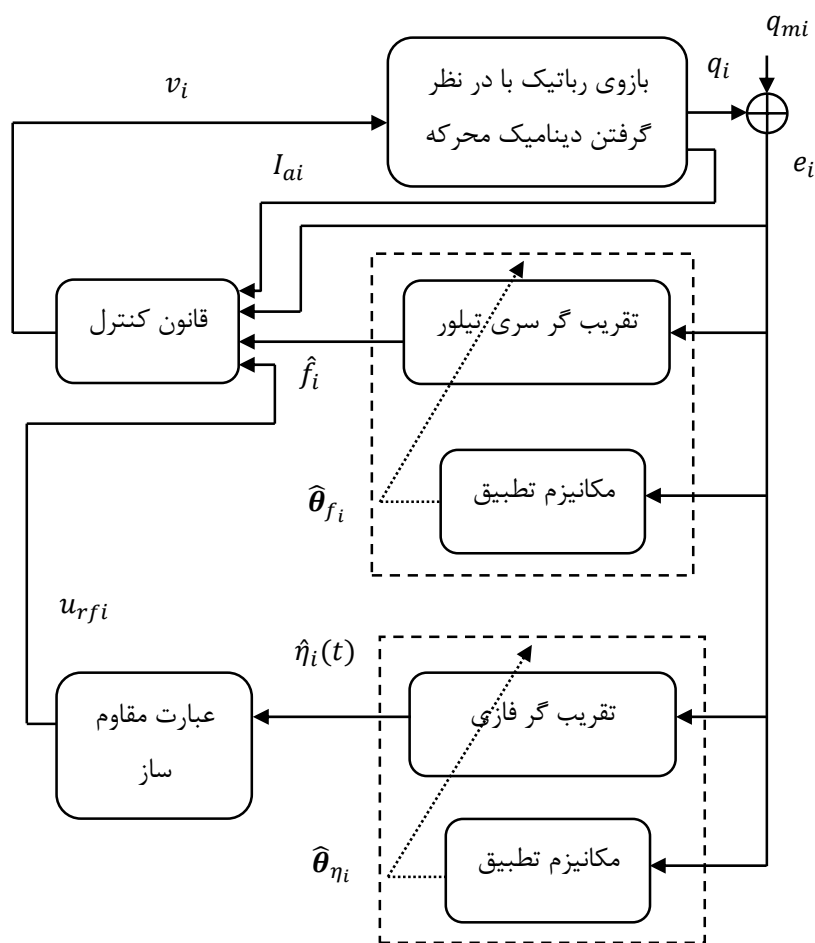
که در آن  $\mu_{A_l}(e_i)$  به صورت توابع تعلق گوسین تعریف می شوند که به متغیر فازی  $e_i$  تعلق دارند (به شکل 2-6 مراجعه کنید) و  $\hat{\theta}_{\eta_i}^T$  بردار بهره تطبیقی به فرم زیر معرفی می شود:

$$\hat{\theta}_{\eta_i}^T = [\hat{\theta}_{i1}, \hat{\theta}_{i2}, \hat{\theta}_{i3}, \hat{\theta}_{i4}, \hat{\theta}_{i5}] \quad (29-6)$$

که در آن  $\hat{\theta}_{\eta_i}$  با قانون تطبیقی که در تحلیل پایداری پیش رو بدست می آید؛ محاسبه می شود. ساختار روش کنترل پیشنهادی در شکل ۳-۶ نشان داده شده است.



شکل ۲-۶ توابع تعلق سیستم فازی



شکل ۳-۶ دیاگرام بلوکی روش کنترلی پیشنهادی تطبیقی غیرمستقیم

قضیه ۵. چنانچه سیستم (۱-۲) تا (۳-۲) با بهره‌گیری از کنترل‌کننده (۶-۱۱) تا (۶-۱۳) جبران‌سازی شود، خطای ردگیری  $e_i$  به طور مجانبی به صفر همگرا می‌شود و تمامی سیگنال‌ها محدود باقی می‌مانند.

اثبات قضیه ۵. تابع معین مثبت بدین صورت پیشنهاد می‌شود:

$$V = \frac{1}{2} \sum_{i=1}^n e_i^2 + \frac{1}{2} \sum_{i=1}^n \frac{1}{\gamma_i} (\boldsymbol{\theta}_{f_i}^T - \widehat{\boldsymbol{\theta}}_{f_i}^T) (\boldsymbol{\theta}_{f_i} - \widehat{\boldsymbol{\theta}}_{f_i}) \quad (30-6)$$

$$+ \frac{1}{2} \sum_{i=1}^n \frac{1}{\lambda_i} (\boldsymbol{\theta}_{\eta_i}^T - \widehat{\boldsymbol{\theta}}_{\eta_i}^T) (\boldsymbol{\theta}_{\eta_i} - \widehat{\boldsymbol{\theta}}_{\eta_i})$$

که در آن  $\lambda_i$  و  $\gamma_i$  ضریب‌های ثابت هستند. با مشتق‌گیری از تابع  $V$  داریم:

$$\dot{V} = \sum_{i=1}^n \dot{e}_i e_i - \sum_{i=1}^n \frac{1}{\gamma_i} (\boldsymbol{\theta}_{f_i}^T - \widehat{\boldsymbol{\theta}}_{f_i}^T) \dot{\boldsymbol{\theta}}_{f_i} - \sum_{i=1}^n \frac{1}{\lambda_i} (\boldsymbol{\theta}_{\eta_i}^T - \widehat{\boldsymbol{\theta}}_{\eta_i}^T) \dot{\boldsymbol{\theta}}_{\eta_i} \quad (31-6)$$

با جایگذاری رابطه (۶-۱۸) در (۶-۳۱) داریم:

$$\dot{V} = - \sum_{i=1}^n k_{f_i} e_i^2 + \sum_{i=1}^n e_i w_i - \sum_{i=1}^n \frac{1}{\gamma_i} (\boldsymbol{\theta}_{f_i}^T - \widehat{\boldsymbol{\theta}}_{f_i}^T) \dot{\boldsymbol{\theta}}_{f_i} \quad (32-6)$$

$$- \sum_{i=1}^n \frac{1}{\lambda_i} (\boldsymbol{\theta}_{\eta_i}^T - \widehat{\boldsymbol{\theta}}_{\eta_i}^T) \dot{\boldsymbol{\theta}}_{\eta_i}$$

سپس با استفاده از رابطه (۶-۱۹)، می‌توان رابطه (۶-۳۲) را بدین صورت نشان داد:

$$\dot{V} = - \sum_{i=1}^n k_{f_i} e_i^2 + \sum_{i=1}^n e_i (\boldsymbol{\theta}_{f_i}^T - \widehat{\boldsymbol{\theta}}_{f_i}^T) \boldsymbol{\xi}_{f_i} + \sum_{i=1}^n e_i \boldsymbol{\varepsilon}_{f_i} - \sum_{i=1}^n e_i u_{r_{f_i}} \quad (33-6)$$

$$- \sum_{i=1}^n \frac{1}{\gamma_i} (\boldsymbol{\theta}_{f_i}^T - \widehat{\boldsymbol{\theta}}_{f_i}^T) \dot{\boldsymbol{\theta}}_{f_i} - \sum_{i=1}^n \frac{1}{\lambda_i} (\boldsymbol{\theta}_{\eta_i}^T - \widehat{\boldsymbol{\theta}}_{\eta_i}^T) \dot{\boldsymbol{\theta}}_{\eta_i}$$

با استفاده از کران بالای خطای تقریب (۶-۲۵)، می‌توان رابطه (۶-۳۳) را بدین صورت نوشت:



$$\begin{aligned} \dot{V} \leq & - \sum_{i=1}^n k_{fi} e_i^2 + \sum_{i=1}^n e_i (\boldsymbol{\theta}_{fi}^T - \widehat{\boldsymbol{\theta}}_{fi}^T) \boldsymbol{\xi}_{fi} + \sum_{i=1}^n |e_i| \eta_i(t) - \sum_{i=1}^n e_i u_{rfi} \\ & - \sum_{i=1}^n \frac{1}{\gamma_i} (\boldsymbol{\theta}_{fi}^T - \widehat{\boldsymbol{\theta}}_{fi}^T) \dot{\boldsymbol{\theta}}_{fi} - \sum_{i=1}^n \frac{1}{\lambda_i} (\boldsymbol{\theta}_{\eta_i}^T - \widehat{\boldsymbol{\theta}}_{\eta_i}^T) \dot{\boldsymbol{\theta}}_{\eta_i} \end{aligned} \quad (34-6)$$

عبارت مقاوم ساز  $u_{rfi}$  را بدین صورت انتخاب کنید:

$$u_{rfi} = \frac{\hat{\eta}_i^2(t) e_i}{|\hat{\eta}_i(t) e_i| + \delta_i \exp(-\sigma_i t)} \quad (35-6)$$

که در آن  $\delta_i$  و  $\sigma_i$  اسکالرهایی مثبت هستند. با اعمال رابطه (35-6) در (34-6) داریم:

$$\begin{aligned} \dot{V} \leq & - \sum_{i=1}^n k_{fi} e_i^2 + \sum_{i=1}^n e_i (\boldsymbol{\theta}_{fi}^T - \widehat{\boldsymbol{\theta}}_{fi}^T) \boldsymbol{\xi}_{fi} + \sum_{i=1}^n |e_i| \eta_i(t) \\ & - \sum_{i=1}^n \frac{\hat{\eta}_i^2(t) e_i^2}{|\hat{\eta}_i(t) e_i| + \delta_i \exp(-\sigma_i t)} - \sum_{i=1}^n \frac{1}{\gamma_i} (\boldsymbol{\theta}_{fi}^T - \widehat{\boldsymbol{\theta}}_{fi}^T) \dot{\boldsymbol{\theta}}_{fi} \\ & - \sum_{i=1}^n \frac{1}{\lambda_i} (\boldsymbol{\theta}_{\eta_i}^T - \widehat{\boldsymbol{\theta}}_{\eta_i}^T) \dot{\boldsymbol{\theta}}_{\eta_i} \end{aligned} \quad (36-6)$$

بنابراین می توان رابطه (36-6) را بدین صورت در نظر گرفت:

$$\begin{aligned} \dot{V} \leq & - \sum_{i=1}^n k_{fi} e_i^2 + \sum_{i=1}^n e_i (\boldsymbol{\theta}_{fi}^T - \widehat{\boldsymbol{\theta}}_{fi}^T) \boldsymbol{\xi}_{fi} + \sum_{i=1}^n |e_i| \eta_i(t) \\ & - \sum_{i=1}^n |e_i| \hat{\eta}_i(t) - \sum_{i=1}^n \frac{\hat{\eta}_i^2(t) e_i^2}{|\hat{\eta}_i(t) e_i| + \delta_i \exp(-\sigma_i t)} \\ & + \sum_{i=1}^n |e_i| \hat{\eta}_i(t) - \sum_{i=1}^n \frac{1}{\gamma_i} (\boldsymbol{\theta}_{fi}^T - \widehat{\boldsymbol{\theta}}_{fi}^T) \dot{\boldsymbol{\theta}}_{fi} \\ & - \sum_{i=1}^n \frac{1}{\lambda_i} (\boldsymbol{\theta}_{\eta_i}^T - \widehat{\boldsymbol{\theta}}_{\eta_i}^T) \dot{\boldsymbol{\theta}}_{\eta_i} \end{aligned} \quad (37-6)$$

به بیان دیگر

$$\begin{aligned}
\dot{V} \leq & - \sum_{i=1}^n k_{fi} e_i^2 + \sum_{i=1}^n e_i (\boldsymbol{\theta}_{fi}^T - \widehat{\boldsymbol{\theta}}_{fi}^T) \boldsymbol{\xi}_{fi} + \sum_{i=1}^n |e_i| (\boldsymbol{\theta}_{\eta_i}^T - \widehat{\boldsymbol{\theta}}_{\eta_i}^T) \boldsymbol{\psi}_{\eta_i} \\
& - \sum_{i=1}^n \frac{\hat{\eta}_i^2(t) e_i^2}{|\hat{\eta}_i(t) e_i| + \delta_i \exp(-\sigma_i t)} + \sum_{i=1}^n |e_i| \hat{\eta}_i(t) \quad (38-6) \\
& - \sum_{i=1}^n \frac{1}{\gamma_i} (\boldsymbol{\theta}_{fi}^T - \widehat{\boldsymbol{\theta}}_{fi}^T) \dot{\boldsymbol{\theta}}_{fi} - \sum_{i=1}^n \frac{1}{\lambda_i} (\boldsymbol{\theta}_{\eta_i}^T - \widehat{\boldsymbol{\theta}}_{\eta_i}^T) \dot{\boldsymbol{\theta}}_{\eta_i}
\end{aligned}$$

بنابراین می‌توان رابطه (38-6) را بدین صورت بازنویسی کرد:

$$\begin{aligned}
\dot{V} \leq & - \sum_{i=1}^n k_{fi} e_i^2 + \sum_{i=1}^n e_i (\boldsymbol{\theta}_{fi}^T - \widehat{\boldsymbol{\theta}}_{fi}^T) \boldsymbol{\xi}_{fi} + \sum_{i=1}^n |e_i| (\boldsymbol{\theta}_{\eta_i}^T - \widehat{\boldsymbol{\theta}}_{\eta_i}^T) \boldsymbol{\psi}_{\eta_i} \\
& + \sum_{i=1}^n \frac{\delta_i \exp(-\sigma_i t) |\hat{\eta}_i(t) e_i|}{|\hat{\eta}_i(t) e_i| + \delta_i \exp(-\sigma_i t)} - \sum_{i=1}^n \frac{1}{\gamma_i} (\boldsymbol{\theta}_{fi}^T - \widehat{\boldsymbol{\theta}}_{fi}^T) \dot{\boldsymbol{\theta}}_{fi} \quad (39-6) \\
& - \sum_{i=1}^n \frac{1}{\lambda_i} (\boldsymbol{\theta}_{\eta_i}^T - \widehat{\boldsymbol{\theta}}_{\eta_i}^T) \dot{\boldsymbol{\theta}}_{\eta_i}
\end{aligned}$$

با انتخاب قوانین تطبیق به صورت زیر

$$\dot{\boldsymbol{\theta}}_{\eta_i} = \lambda_i |e_i| \boldsymbol{\psi}_{\eta_i} \quad (40-6)$$

$$\dot{\boldsymbol{\theta}}_{fi} = \gamma_i e_i \boldsymbol{\xi}_{fi} \quad (41-6)$$

رابطه (39-6) به شکل زیر تبدیل می‌شود:

$$\dot{V} \leq - \sum_{i=1}^n k_{fi} e_i^2 + \sum_{i=1}^n \frac{\delta_i \exp(-\sigma_i t) |\hat{\eta}_i(t) e_i|}{|\hat{\eta}_i(t) e_i| + \delta_i \exp(-\sigma_i t)} \quad (42-6)$$

به دلیل آنکه به ازای  $a_1, a_2 > 0$  رابطه  $\frac{a_1 a_2}{a_1 + a_2} < a_1$  برقرار است، می‌توان رابطه

(42-6) را بدین صورت نوشت:

$$\dot{V} \leq - \sum_{i=1}^n k_{fi} e_i^2 + \sum_{i=1}^n \delta_i \exp(-\sigma_i t) \quad (43-6)$$

خطای ردگیری مفصلی  $e_i$  کاهش می‌یابد اگر  $\dot{V}_i < 0$  باشد. بنابراین برقراری  $\dot{V}_i < 0$  این نتیجه را می‌دهد که

$$-k_{fi}e_i^2 + \delta_i \exp(-\sigma_i t) < 0 \quad (44-6)$$

به بیان دیگر

$$|e_i| > \sqrt{\frac{\delta_i \exp(-\sigma_i t)}{k_{fi}}} \triangleq \bar{\Xi}_i \quad (45-6)$$

مطابق رابطه (45-6)،  $\dot{V}_i < 0$  مادامی که  $|e_i| > \bar{\Xi}_i$  به عبارت دیگر، اندازه خطای ردگیری مفصلی  $e_i$  در خارج از دایره‌ای به شعاع  $\bar{\Xi}_i$  کاهش می‌یابد. از سوی دیگر  $\dot{V}_i > 0$  مادامی که  $|e_i| < \bar{\Xi}_i$  که بدین معناست که اندازه خطای ردگیری مفصلی  $e_i$  در داخل دایره‌ای به شعاع  $\bar{\Xi}_i$  افزایش می‌یابد. بنابراین در هر لحظه زمانی خطای ردگیری مفصلی محدود باقی می‌ماند. بیان این نکته ضروری است که با توجه به رابطه (45-6)، شعاع  $\bar{\Xi}_i$  با در نظر گرفتن  $t \rightarrow \infty$  به صفر میل می‌کند. در نتیجه کنترل‌کننده پیشنهادی طوری طراحی شده است که هم برای وضعیت  $|e_i| > \bar{\Xi}_i$  و هم  $|e_i| < \bar{\Xi}_i$  خطای ردگیری به طور مجانبی به سمت صفر میل می‌کند.

با در نظر گرفتن روابط (40-6) و (41-6)، می‌توان نتیجه گرفت که  $\hat{\theta}_{fi}$  و  $\hat{\theta}_{\eta_i}$  محدود هستند. بعلاوه مطابق روابط (27-6)، (7-6) و (35-6)، به ترتیب  $\hat{\eta}_i(t)$ ،  $\hat{f}_i$  و  $u_{rfi}$  محدود هستند. چنانچه رابطه ولتاژ (3-2) در فرم اسکالر را در  $I_{ai}$  ضرب کرده و با انجام کمی محاسبات، محدود بودن سرعت مفصل به صورت رابطه  $|\dot{q}_i| \leq K_{bi}^{-1}r_i(\varphi_{max,i} + v_{max,i})$  قابل اثبات می‌باشد [77].

از رابطه (3-2)، می‌توان معادله مفصل مستقل را برای هر موتور بدین صورت نوشت:

$$R_i I_{ai} + L_i \dot{I}_{ai} = \omega_i \quad (46-6)$$

$$\omega_i = v_i - K_{bi} r_i^{-1} \dot{q}_i - \varphi_i(t) \quad (47-6)$$

متغیرهای  $\dot{q}_i$ ،  $\varphi_i(t)$  و  $v_i$  محدود هستند. بنابراین ورودی  $\omega_i$  در (۴۷-۶) محدود است. از طرفی با توجه به معیار راث - هرولتز، معادله دیفرانسیل خطی (۴۶-۶)، سیستم خطی پایدار می‌باشد. به دلیل محدودیت ورودی  $\omega_i$ ، خروجی  $I_{ai}$  نیز محدود باقی می‌ماند. بنابراین پایداری تمامی متغیرهای سیستم تضمین می‌شود. با استفاده از روابط (۱-۲) تا (۳-۲)، مدل فضای حالت سیستم را می‌توان بدین شکل نوشت:

$$\dot{\mathbf{Z}} = \mathbf{h}(\mathbf{Z}) + \mathbf{b}v - \mathbf{b}\varphi(t) \quad (۴۸-۶)$$

که در آن  $v$  ورودی‌های سیستم،  $\mathbf{Z}$  بردار حالت سیستم و  $\mathbf{h}(\mathbf{Z})$  به صورت زیر فرمول‌بندی می‌شود:

$$\mathbf{h}(\mathbf{Z}) = \begin{bmatrix} \mathbf{Z}_2 \\ (\mathbf{J}r^{-1} + r\mathbf{D}(\mathbf{Z}_1))^{-1} \left( -(\mathbf{B}r^{-1} + r\mathbf{C}(\mathbf{Z}_1, \mathbf{Z}_2))\mathbf{Z}_2 - r\mathbf{g}(\mathbf{Z}_1) + \mathbf{K}_m\mathbf{Z}_3 - r\mathbf{r}_f(\mathbf{Z}_2) \right) \\ -L^{-1}(\mathbf{K}_b r^{-1}\mathbf{Z}_2 + \mathbf{R}\mathbf{Z}_3) \end{bmatrix} \quad (۴۹-۶)$$

$$\mathbf{b} = \begin{bmatrix} 0 \\ 0 \\ L^{-1} \end{bmatrix}, \quad \mathbf{Z} = \begin{bmatrix} \mathbf{Z}_1 \\ \mathbf{Z}_2 \\ \mathbf{Z}_3 \end{bmatrix} = \begin{bmatrix} \mathbf{q} \\ \dot{\mathbf{q}} \\ I_a \end{bmatrix} \quad (۵۰-۶)$$

در سمت راست معادله سیستم حلقه بسته (۴۸-۶)،  $\mathbf{h}(\mathbf{Z})$ ،  $v$  و  $\varphi(t)$  محدود هستند و  $\mathbf{b}$  بردار ثابت می‌باشد. بنابراین بردار  $\dot{\mathbf{Z}}$  محدود باقی می‌ماند که در نتیجه متغیرهای  $\dot{\mathbf{q}}$  و  $I_a$  محدود باقی می‌مانند. بنابراین طرح کنترلی پیشنهادی محدودیت عدم قطعیت  $f_i$  در (۲-۶) را نتیجه می‌دهد.

### ۳-۶- طراحی کنترل تطبیقی غیرمستقیم سری تیلور با راهبرد کنترل ولتاژ در فضای کار

هدف کنترلی این بخش پیشنهاد روش کنترلی تطبیقی غیرمستقیم فازی - سری تیلور می‌باشد به نحوی که موقعیت فضای کار  $\mathbf{X} \in \mathbb{R}^3$ ، سیگنال مطلوب محدود  $\mathbf{X}_d \in \mathbb{R}^3$  را دنبال کند. در فضای کار، موقعیت و سرعت به ترتیب به صورت  $\mathbf{X} \in \mathbb{R}^3$  و  $\dot{\mathbf{X}} \in \mathbb{R}^3$  تعریف می‌شوند. بردار سرعت

فضای مفصلی  $\dot{\mathbf{q}}$  توسط ماتریس ژاکوبین  $\mathbf{J}(\mathbf{q}) \in \mathbb{R}^{3 \times n}$  به بردار سرعت فضای کار  $\dot{\mathbf{X}}$  به صورت زیر مرتبط می‌شود:

$$\dot{\mathbf{X}} = \mathbf{J}(\mathbf{q})\dot{\mathbf{q}} \quad (51-6)$$

با اعمال رابطه (51-6) به (3-2)، معادله ولتاژ بدین شکل بازنویسی می‌شود:

$$\mathbf{R}\mathbf{I}_a + \mathbf{L}\dot{\mathbf{I}}_a + \mathbf{K}_b \mathbf{r}^{-1} \mathbf{J}_s(\mathbf{q})\dot{\mathbf{X}} + \boldsymbol{\varphi}(t) = \mathbf{v} \quad (52-6)$$

که در آن  $\mathbf{J}_s(\mathbf{q})$  معکوس تعمیم یافته ماتریس ژاکوبین می‌باشد و بدین صورت تعریف می‌شود:

$$\mathbf{J}_s(\mathbf{q}) = \mathbf{J}^T(\mathbf{q})(\mathbf{J}(\mathbf{q})\mathbf{J}^T(\mathbf{q}))^{-1} \quad (53-6)$$

بنابراین می‌توان رابطه (52-6) را بدین شکل بیان کرد:

$$\hat{\mathbf{J}}_s(\mathbf{q})(\dot{\mathbf{X}} + \hat{\mathbf{R}}\mathbf{I}_a + \mathbf{h}) = \mathbf{v} \quad (54-6)$$

که در آن  $\hat{\mathbf{J}}_s(\mathbf{q})$  مقدار نامی  $\mathbf{J}_s(\mathbf{q})$  و  $\mathbf{h}$  بیانگر عدم قطعیت تجمعی می‌باشد و می‌توان آن را بدین صورت فرمول بندی کرد:

$$\mathbf{h} = \frac{1}{\hat{\mathbf{J}}_s} \left( (\mathbf{K}_b \mathbf{r}^{-1} \mathbf{J}_s(\mathbf{q}) - \hat{\mathbf{J}}_s) \dot{\mathbf{X}} + (\mathbf{R} - \hat{\mathbf{J}}_s \hat{\mathbf{R}}) \mathbf{I}_a + \mathbf{L}\dot{\mathbf{I}}_a + \boldsymbol{\varphi}(t) \right) \quad (55-6)$$

خطای ردگیری فضای کار را بدین صورت تعریف کنید:

$$\tilde{\mathbf{X}}_{3 \times 1} = \mathbf{X}_d - \mathbf{X} \quad (56-6)$$

به منظور دستیابی به همگرایی مجانبی خطای ردگیری فضای کار به صفر (یعنی  $\lim_{t \rightarrow \infty} \tilde{\mathbf{X}}(t) = 0$ ),

دینامیک‌های خطای ردگیری فضای کار را می‌توان بدین شکل در نظر گرفت:

$$\dot{\tilde{\mathbf{X}}} + \mathbf{k}'_f \tilde{\mathbf{X}}(t) = 0 \quad (57-6)$$

که در آن  $\mathbf{k}'_f > 0$  ماتریس قطری بهره پس‌خورد می‌باشد. با در نظر گرفتن روابط (54-6) و

(57-6)، می‌توان کنترل کننده ایده‌آل را بدین شکل پیشنهاد داد:

$$\mathbf{u}_c^* = \hat{\mathbf{J}}_s(\dot{\mathbf{X}}_d + \mathbf{k}'_f \tilde{\mathbf{X}}(t) + \mathbf{h} + \hat{\mathbf{R}}\mathbf{I}_a) \quad (58-6)$$

با توجه به اینکه عدم قطعیت  $\mathbf{h}$  نامعلوم است، کنترل کننده (58-6) غیر قابل استفاده می باشد. بنابراین قانون کنترل مقاوم را می توان بدین صورت پیشنهاد داد:

$$\mathbf{v} = l(\mathbf{u}) \quad (59-6)$$

$$l(\mathbf{u}) = \begin{cases} \mathbf{u} & \text{if } \|\mathbf{u}\| \leq v_{max} \\ v_{max} \text{sgn}(\mathbf{u}) & \text{if } v_{max} < \|\mathbf{u}\| \end{cases} \quad (60-6)$$

$$\mathbf{u} = \hat{\mathbf{J}}_s(\dot{\mathbf{X}}_d + \mathbf{k}'_f \tilde{\mathbf{X}}(t) + \hat{\mathbf{h}} + \hat{\mathbf{R}}\mathbf{I}_a + \mathbf{u}'_{rf}) \quad (61-6)$$

که در آن  $\hat{\mathbf{h}}$  تقریب تابع غیرخطی  $\mathbf{h}$  با استفاده از تقریب گر سری تیلور می باشد و  $\mathbf{u}'_{rf}$  عبارت مقاوم ساز است. در این فصل تقریب گر سری تیلور بدین صورت پیشنهاد می شود:

$$\hat{\mathbf{h}} = [\hat{h}_1(\tilde{X}(1)), \hat{h}_2(\tilde{X}(2)), \hat{h}_3(\tilde{X}(3))]^T \quad (62-6)$$

که در آن

$$\hat{h}_i(\tilde{X}(i)) = \sum_{k_2=0}^{m_2} \frac{\hat{h}_i^{(k_2)}(\tilde{X}_0(i))}{k_2!} (\tilde{X}(i) - \tilde{X}_0(i))^{k_2}, \quad i = 1, 2, 3 \quad (63-6)$$

که در آن  $\tilde{X}(i) \in R$  عنصر  $i$  ام  $\tilde{\mathbf{X}}$  و  $\hat{h}_i(\tilde{X}(i))$  پاسخ خروجی تقریب گر می باشد که از  $m_2 + 1$  جمله تیلور حول  $\tilde{X}_0(i)$  تشکیل می شود. می توان تقریب گر سری تیلور  $\hat{h}_i$  در رابطه (63-6) را بدین صورت بازنویسی کرد:

$$\hat{h}_i = \hat{\boldsymbol{\theta}}_{h_i}^T \boldsymbol{\xi}_{h_i} \quad (64-6)$$

که در آن  $\hat{\boldsymbol{\theta}}_{h_i}$  بردار ضریب های سری تیلور و  $\boldsymbol{\xi}_{h_i}$  بردار رگر سور می باشند که بدین صورت تعریف می شوند:

$$\hat{\boldsymbol{\theta}}_{h_i}^T = \left[ \frac{\hat{h}_i^{(0)}(\tilde{X}_0(i))}{0!}, \frac{\hat{h}_i^{(1)}(\tilde{X}_0(i))}{1!}, \dots, \frac{\hat{h}_i^{(m_2)}(\tilde{X}_0(i))}{m_2!} \right] \quad (65-6)$$

$$\xi_{h_i} = \left[ 1, (\tilde{X}(i) - \tilde{X}_0(i))^1, \dots, (\tilde{X}(i) - \tilde{X}_0(i))^{m_2} \right]^T \quad (66-6)$$

می‌توان تابع غیرخطی نامعلوم  $h_i$  را بدین صورت مدل‌سازی کرد:

$$h_i = \theta_{h_i}^T \xi_{h_i} + \varepsilon_{h_i} \quad (67-6)$$

در وضعیتی که  $\|u\| < v_{max}$ ، تلاش کنترلی در بیشینه مقدار خود به منظور کاهش خطای ردگیری فضای حالت قرار خواهد داشت. از سوی دیگر در وضعیت  $\|u\| \leq v_{max}$  می‌توان به منظور بدست آوردن سیستم حلقه بسته، کنترل‌کننده (6-59) تا (6-61) را به سیستم (6-54) اعمال کرد:

$$\hat{J}_s(q)(\dot{X} + \hat{R}I_a + h) = \hat{J}_s(\dot{X}_d + k'_f \tilde{X}(t) + \hat{h} + \hat{R}I_a + u'_{rf}) \quad (68-6)$$

با جایگزینی روابط (6-64) و (6-67) در (6-68)، می‌توان دینامیک‌های خطای ردگیری فضای کار را در فرم اسکالر بدین شکل بازنویسی کرد:

$$\dot{\tilde{X}}_i + k'_{fi} \tilde{X}_i = (\theta_{h_i} - \hat{\theta}_{h_i}) \xi_{h_i} + \varepsilon_{h_i} - u'_{rfi} \quad (69-6)$$

مشابه روش پیشنهادی در بخش 6-2-1، از تقریب‌گر فازی به منظور تقریب کران بالای خطای تقریب،  $|\varepsilon_{h_i}| < \vartheta_i(t)$  بدین صورت استفاده می‌شود:

$$\hat{\vartheta}_i = \hat{\theta}_{\vartheta_i}^T \psi_{\vartheta_i} \quad (70-6)$$

که در آن بردار بهره تطبیقی و بردار رگر سور فازی می‌باشند.

لازم به ذکر است که روند تحلیل پایداری مشابه بخش 6-2-1 می‌باشد. بنابراین از فرمول‌بندی مجدد تحلیل پایداری در این بخش خودداری می‌شود. عبارت مقاوم‌ساز  $u'_{rfi}$ ، قوانین تطبیق برای تنظیم ضریب‌های تقریب‌گرهای سری تیلور و فازی،  $\hat{\theta}_{h_i}$  و  $\hat{\theta}_{\vartheta_i}$  به طور مستقیم بدین شکل معرفی می‌شوند:

$$u'_{rfi} = \frac{\hat{\vartheta}_i^2(t) \tilde{X}_i}{|\hat{\vartheta}_i(t) \tilde{X}_i| + \delta'_i \exp(-\sigma'_i t)} \quad (71-6)$$

$$\dot{\hat{\theta}}_{\vartheta_i} = \lambda'_i |\tilde{X}_i| \psi_{\vartheta_i} \quad (72-6)$$

$$\dot{\theta}_{h_i} = \gamma'_i \tilde{X}_i \xi_{h_i} \quad (73-6)$$

که در آن  $\sigma'_i$ ،  $\delta'_i$ ،  $\lambda'_i$ ،  $\gamma'_i$  اسکالرهای مثبت می‌باشند.

#### ۴-۶- نتایج شبیه‌سازی

به منظور ارزیابی عملکرد کنترل‌کننده پیشنهادی مبتنی بر راهبرد کنترل ولتاژ که در فضای مفصلی و فضای کار توسعه یافته‌اند، این ساختار کنترلی در این بخش بر روی بازوی رباتیک اسکارای چهار محوره متصل به دیوار که معادلات دینامیکی آن در پیوست ۱ معرفی شده‌اند، شبیه‌سازی می‌شود.

#### ۴-۶-۱- شبیه‌سازی اول

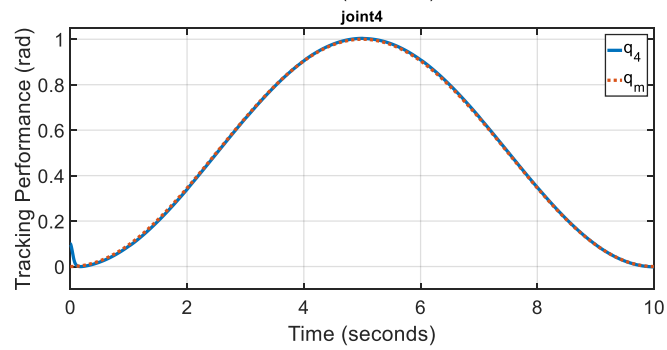
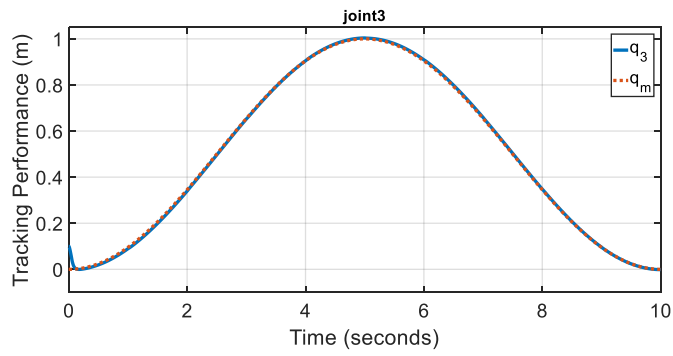
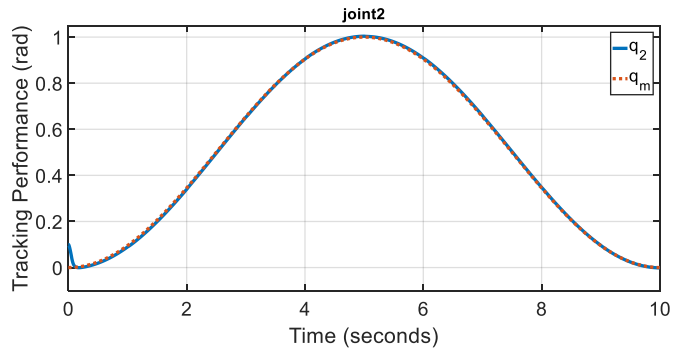
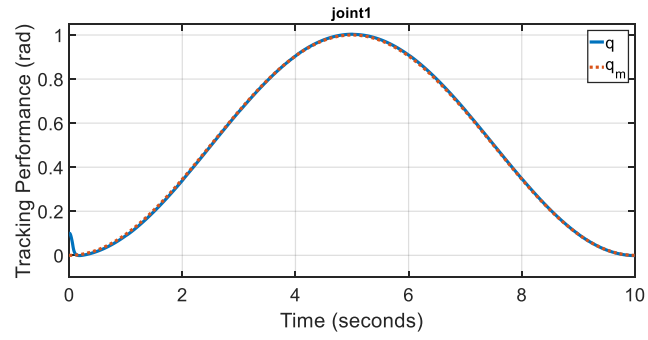
طرح کنترلی تطبیقی غیرمستقیم در فضای مفصلی مطابق رابطه (۱۱-۶) تا (۱۳-۶) بر اساس راهبرد کنترل ولتاژ پیشنهاد شده است و از تقریب‌گر عدم قطعیت سری تیلور (۷-۶) و تقریب‌گر فازی (۲۷-۶) با استفاده از قوانین تطبیق (۴۰-۶) و (۴۱-۶) بهره می‌برد. مسیر مفصلی مطلوب برای تمامی مفاصل بدین صورت فرمول‌بندی می‌شوند:

$$q_{mi} = 0.5 \left( 1 - \cos\left(\frac{\pi t}{5}\right) \right) \quad for \quad 0 \leq t \leq 10 \quad (74-6)$$

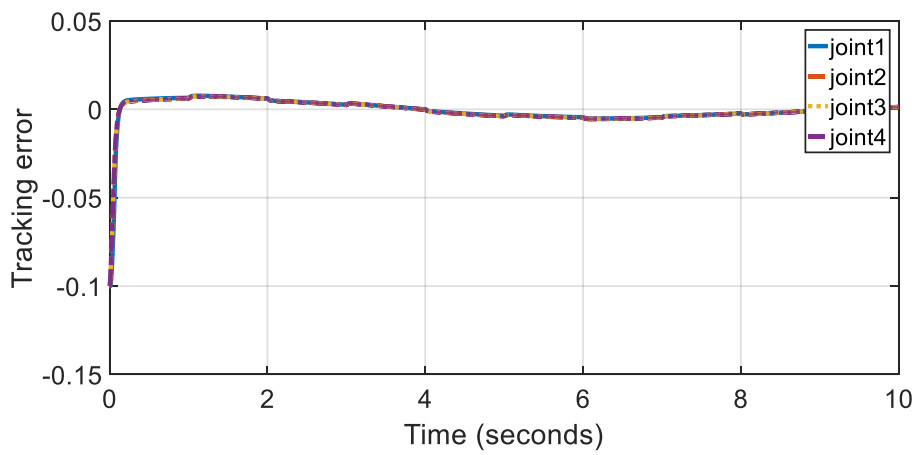
خطاهای اولیه برای مفاصل اول تا چهارم به ترتیب  $0.1$  رادیان،  $0.1$  رادیان،  $0.1$  متر و  $0.1$  رادیان در نظر گرفته می‌شود. همچنین  $\hat{R}$ ،  $80$  درصد مقدار واقعی‌اش فرض می‌شود. ضریب‌های کنترل‌کننده بدین صورت انتخاب می‌شوند:  $k_{f_i} = 750$ ،  $\lambda_i = \gamma_i = 500$ ،  $\sigma_i = 0.1$  و  $\delta_i = 0.8$ . دو عدد از چندجمله‌ای تیلور در این شبیه‌سازی در نظر گرفته می‌شود (یعنی  $m_1 = 1$ ). شرایط اولیه ضریب‌های  $\hat{\theta}_{f_i}(0)$  و  $\hat{\theta}_{\eta_i}(0)$  صفر فرض می‌شوند. شکل‌های ۴-۶ و ۵-۶ عملکرد رضایت‌بخش کنترل‌کننده تطبیقی غیرمستقیم در فضای مفصلی را نشان می‌دهند. خطای ردگیری برای تمامی مفاصل و بدون فرجهش به محدوده  $[-8 \ 8] \times 10^{-3}$  کاهش می‌باید.



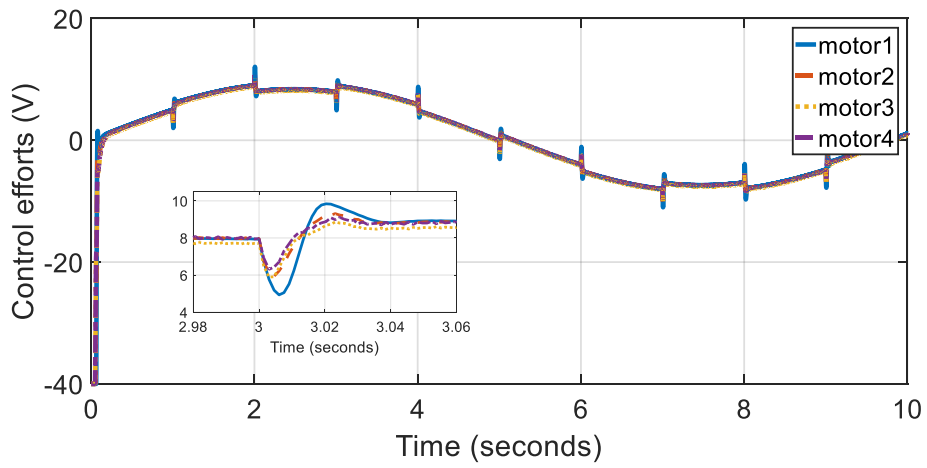
تغییرات مجاز ولتاژ موتورها در شکل ۶-۶ نشان داده شده است. به علت وجود خطای اولیه مفاصل، تلاش کنترلی در لحظه شروع زیاد است. ضریب‌های سری‌تیلور برای تمامی مفاصل در شکل ۶-۷ نشان داده شده است. همانطور که مشاهده می‌شود اولین ضریب هر تقریب‌گر سری‌تیلور در طول زمان متغیر و دومین ضریب هر تقریب‌گر سری‌تیلور تقریباً به مقدار ثابت همگرا می‌شود تا تأثیرات عدم قطعیت را پوشش دهند. شکل ۶-۸ بیانگر تغییرات عبارت مقاوم‌ساز در طول زمان می‌باشد. تطبیق پنج ضریب فازی برای اولین مفصل در شکل ۶-۹ نشان داده شده است. همانطور که مشاهده می‌کنید، تمامی پنج ضریب فازی در تقریب کران بالای خطای تقریب نقش ایفا می‌کنند.



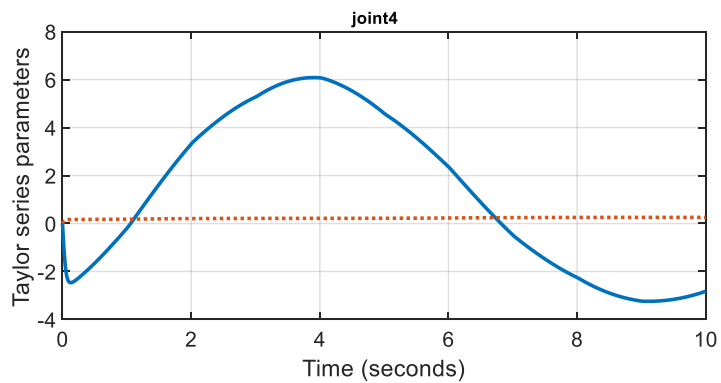
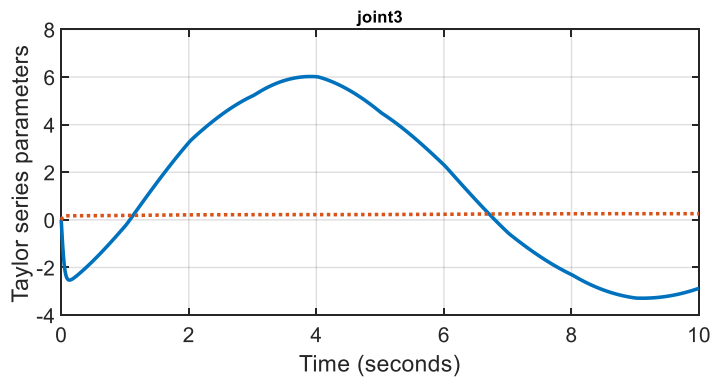
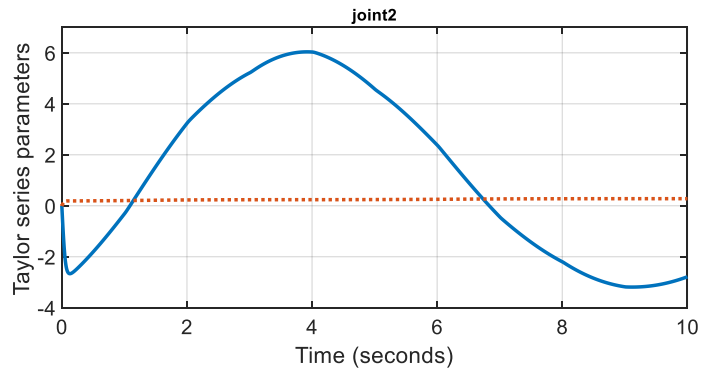
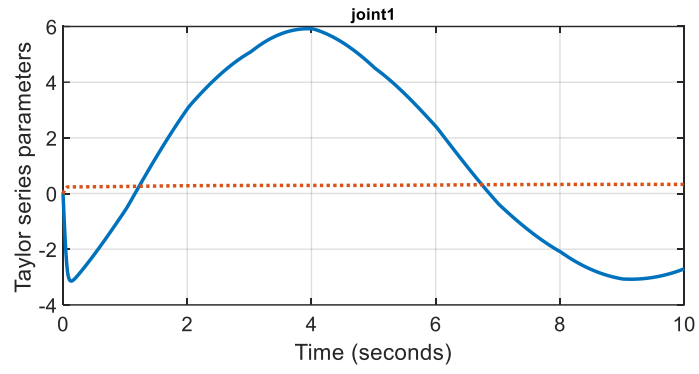
شکل ۴-۶ عملکرد ردگیری طرح کنترلی سری تیلور تطبیقی غیرمستقیم در فضای مفصلی برای هر چهار مفصل بازوی رباتیک. خط توپر "-" و خط نقطه چین ":" به ترتیب نشان‌دهنده مسیر واقعی ( $q_i$ ) و مسیر مطلوب ( $q_{mi}$ ) می‌باشند.



شکل ۵-۶ خطای ردگیری در فضای مفصلی

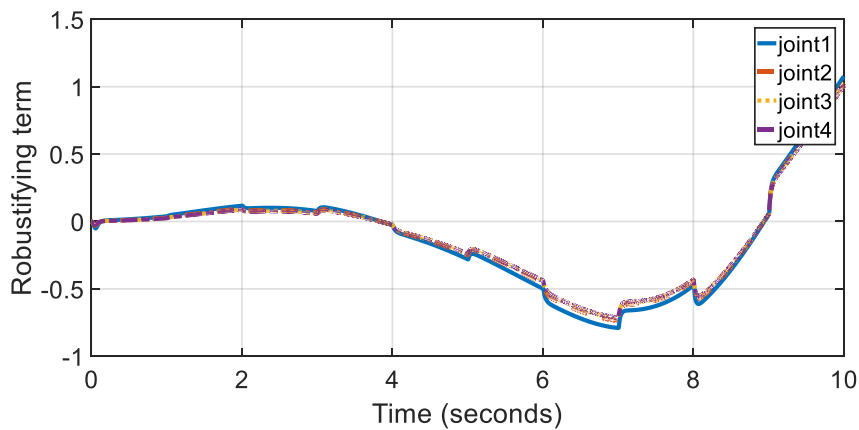


شکل ۶-۶ تلاش کنترلی

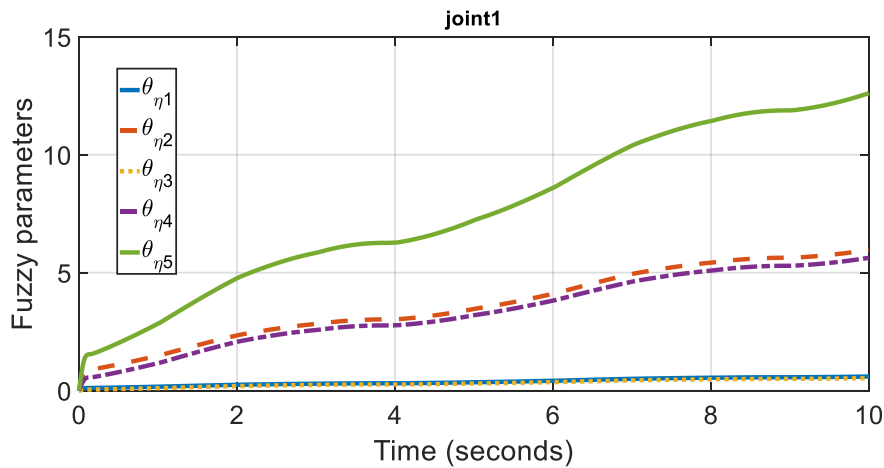


شکل ۶-۷ تطبیق ضریب‌های تقریب‌گر سری تیلور. خط توپر "-" و خط نقطه‌چین ":" به ترتیب نشان‌دهنده ضریب

اول و دوم تقریب‌گر سری تیلور می‌باشد.



شکل ۶-۸ عبارت مقاوم‌ساز ( $u_{rfi}$ )



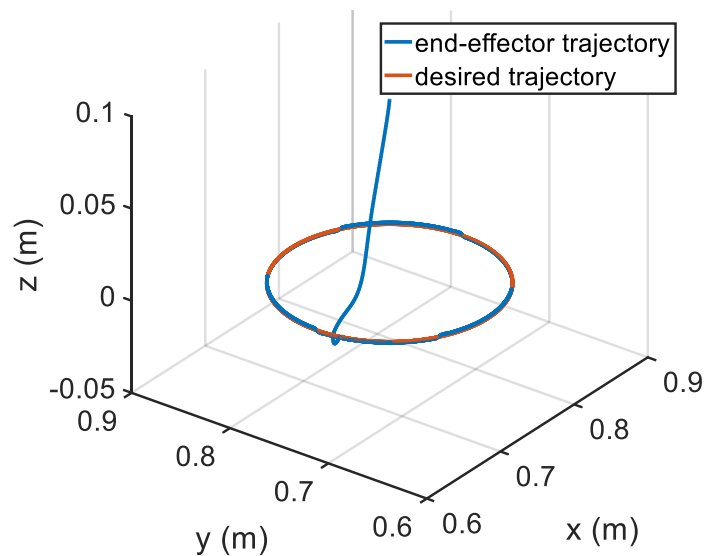
شکل ۶-۹ ضریب‌های تقریب‌گر فازی برای مفصل اول

## ۶-۴-۲- شبیه‌سازی دوم

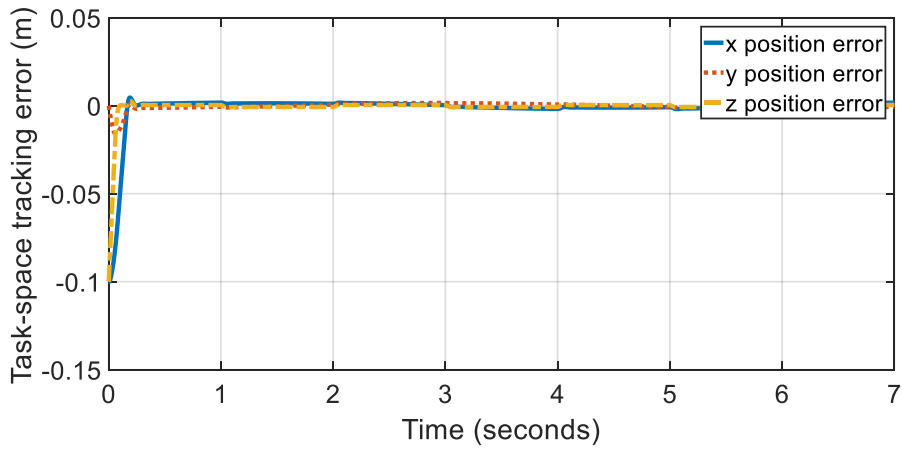
کنترل‌کننده طراحی شده در فضای کار که توسط قانون کنترلی (۶-۵۹) تا (۶-۶۱) فرمول‌بندی شده و مجهز به تقریب‌گرهای سری تیلور (۶-۶۴) و فازی (۶-۷۰) می‌باشد در این بخش شبیه‌سازی می‌شود. به منظور در نظر گرفتن عدم قطعیت پارامتری،  $\hat{J}_s(q)$  و  $\hat{R}$  ۸۰ درصد مقدار واقعی‌شان انتخاب می‌شوند. مسیر فضای کار مطلوب برای مجری نهایی بدین صورت فرمول‌بندی می‌شود:

$$X_d = \left[ 0.75 - 0.1 \cos\left(\frac{\pi t}{3}\right) \quad 0.75 - 0.1 \sin\left(\frac{\pi t}{3}\right) \quad 0 \right]^T \quad (۶-۷۵)$$

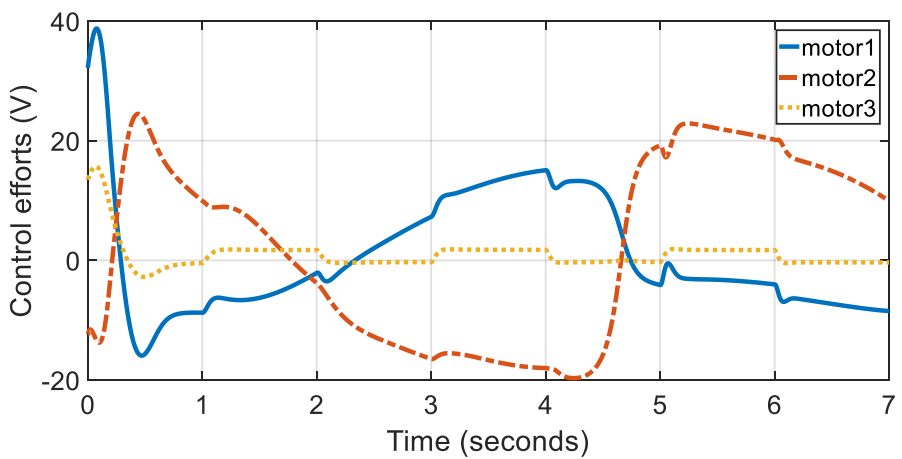
به منظور اجرای قانون کنترل، مفصل چهارم قفل می‌شود [۸۴]. ضریب‌های روش کنترلی بدین صورت انتخاب می‌شوند:  $k'_f = \text{diag}\{500,500,500\}$ ،  $\lambda'_i = \gamma'_i = 1000$  و  $\delta'_i = 1$  و  $\sigma'_i = 0.1$ . موقعیت اولیه برای مجری نهایی بدین صورت فرض می‌شود:  $X(0) = (x_0, y_0, z_0) = (0.75 \text{ m}, 0.75 \text{ m}, 0.1 \text{ m})$  و تعداد چندجمله‌ای‌های سری تیلور  $\hat{h}$  و شرایط اولیه برای  $\hat{\theta}_{h_i}$  و  $\hat{\theta}_{g_i}$  دقیقاً مشابه بخش ۶-۴-۱ انتخاب می‌شوند. عملکرد مطلوب کنترل‌کننده پیشنهادی در فضای کار در شکل‌های ۶-۱۰ و ۶-۱۱ نمایش داده شده‌اند. همانطور که مشاهده می‌شود، خطای ردگیری مجری نهایی به طور مطلوبی در محدوده  $[-2 \ 4.6] \times 10^{-3} \text{ m}$  کاهش می‌یابد. از طرف دیگر تلاش کنترلی موتورها در شکل ۶-۱۲ نشان داده شده است. با نگاه دقیق‌تر به نتایج بدست آمده می‌توان گفت که به دلیل جبران خطای اولیه مجری نهایی، ولتاژ موتورها در لحظه شروع مقدار بالایی دارند. ضریب‌های تقریب‌گر سری تیلور  $\hat{h}$  در شکل ۶-۱۳ نشان داده می‌شود. مشابه نتایج بدست آمده در بخش ۶-۴-۱، تغییرات هر دو ضریب سری تیلور در فرآیند تقریب نشان داده شده است. از طرفی رفتار عبارت مقاوم‌ساز در ساختار کنترل‌کننده تطبیقی فضای کار در شکل ۶-۱۴ نمایش داده شده است.



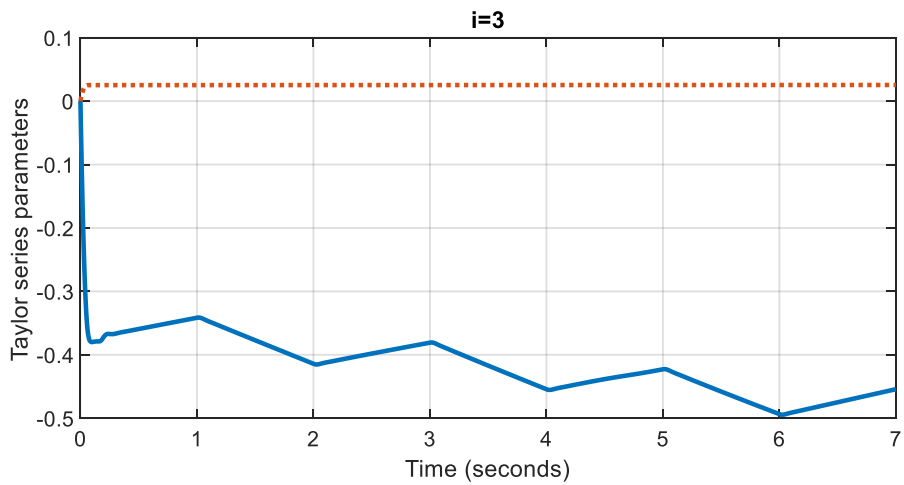
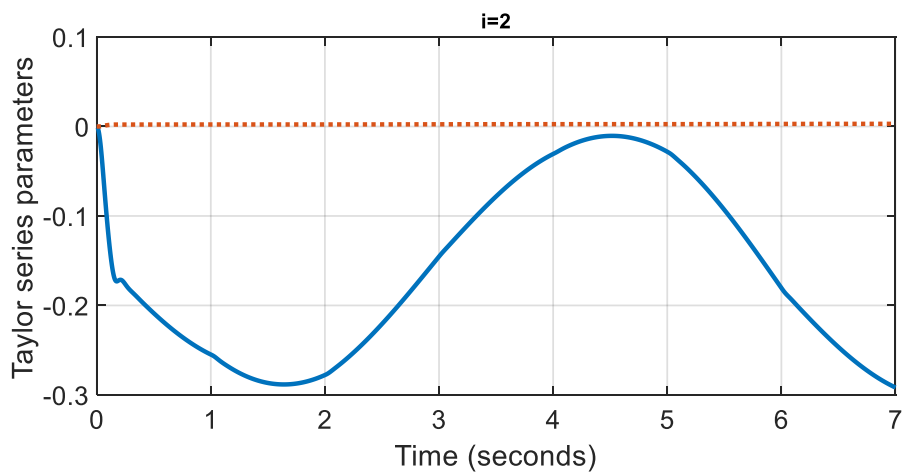
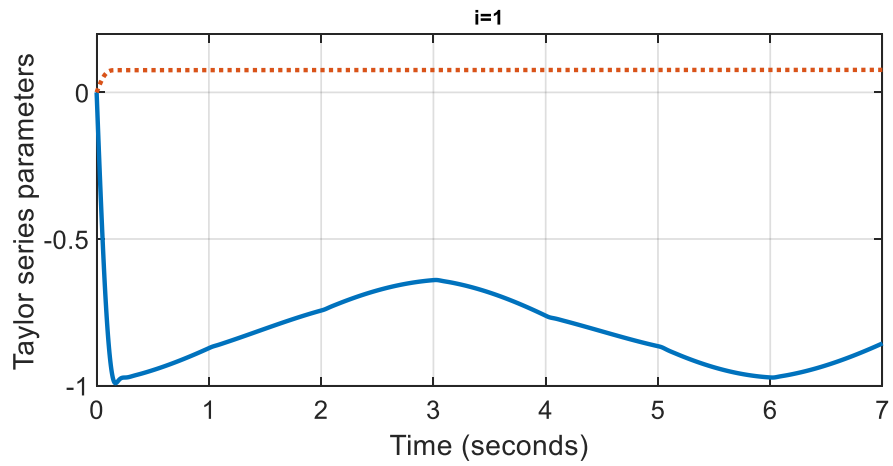
شکل ۶-۱۰ عملکرد ردگیری طرح کنترلی تطبیقی غیرمستقیم در صفحه XYZ



شکل ۶-۱۱ خطای ردگیری فضای کار

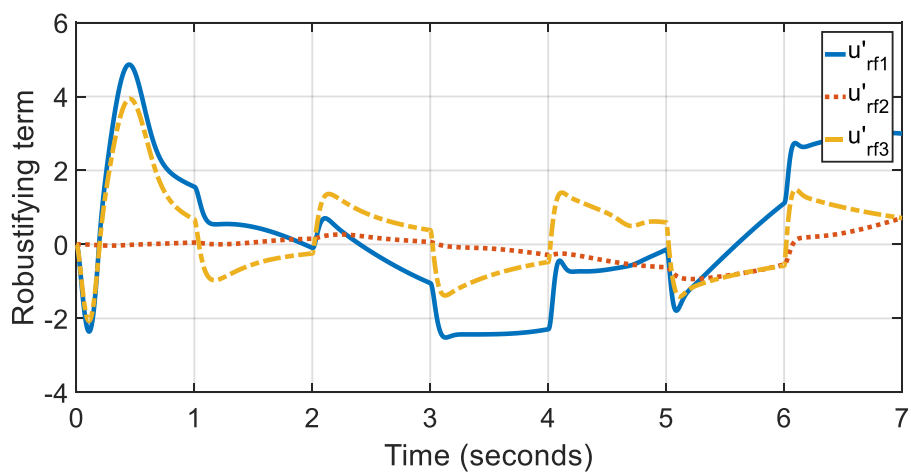


شکل ۶-۱۲ تلاش کنترلی طرح کنترلی در فضای کار



شکل ۶-۱۳ تغییرات ضریب‌های تقریب‌گر سری تیلور. خط توپر "-" و خط نقطه‌چین ":" به ترتیب نشان‌دهنده ضریب اول و دوم تقریب‌گر سری تیلور می‌باشد.





شکل ۶-۱۴ عبارت مقاوم ساز  $(u'_{rfi})$



فصل ۷. طراحی طرح کنترلی سری تیلور – فازی برای بازوهای رباتیک با مفاصل  
انعطاف پذیر

## ۷-۱- مقدمه

پیشرفت‌های اخیر در استفاده موفق از کنترل‌کننده‌های مبتنی بر سری تیلور برای بازوهای رباتیک با مفاصل صلب باعث می‌شود که استفاده از سیستم سری تیلور با بهره‌گیری از دیگر کنترل‌کننده‌های پیشرفته برای سیستم‌های رباتیک با دینامیک‌های پیچیده‌تر بیشتر از قبل مورد توجه قرار گیرد. در این فصل کنترل‌کننده سری تیلور - فازی به منظور همگرایی مجانبی خطای ردگیری در بازوهای رباتیک با مفاصل انعطاف‌پذیر مورد مطالعه قرار می‌گیرد. باید توجه داشت که وجود انعطاف‌پذیری در مفاصل بازوی ربات با در نظر گرفتن دینامیک محرکه‌ها باعث می‌شود که تعداد متغیرهای حالت در سیستم غیرخطی از ۳ به ۵ عدد افزایش یابد. این اتفاق سبب می‌شود که کنترل بازوهای رباتیک با مفاصل انعطاف‌پذیر برای بسیاری از محققان چالش‌برانگیز باشد. در طرح کنترل تطبیقی مستقیم پیشنهادی، کنترل‌کننده از دو عبارت به نام‌های تقریب‌گر سری تیلور به منظور تقریب کنترل‌کننده ایده‌آل و تقریب‌گر فازی به منظور جبران خطای تقریب بهره می‌برد.

## ۷-۲- تشریح مسئله

دینامیک بازوی رباتیک با در نظر گرفتن دینامیک محرکه‌ها و انعطاف‌پذیری مفاصل را می‌توان بدین صورت توصیف کرد [۷۷]:

$$D(x)\ddot{x} + C(x, \dot{x})\dot{x} + g(x) + \tau_f(\dot{x}) = K(rx_m - x) \quad (1-7)$$

$$J_m\ddot{x}_m + B_m\dot{x}_m + rK(rx_m - x) = K_m I_a \quad (2-7)$$

$$RI_a + LI_a + K_b\dot{x}_m + \varphi(t) = v \quad (3-7)$$

که در این معادلات هر عبارت بدین صورت تعریف می‌شوند:

$$\bullet \quad x \in \mathbb{R}^n : \text{ بردار موقعیت مفاصل}$$

- بردار موقعیت روتور :  $\mathbf{x}_m \in \mathbb{R}^n$
- ماتریس اینرسی بازوی ربات :  $\mathbf{D}(\mathbf{x}) \in \mathbb{R}^{n \times n}$
- ماتریس‌های نیروهای کووریولیس و گریز از مرکز :  $\mathbf{C}(\mathbf{x}, \dot{\mathbf{x}}) \in \mathbb{R}^{n \times n}$
- بردار گشتاورهای گرانشی :  $\mathbf{g}(\mathbf{x}) \in \mathbb{R}^n$
- بردار گشتاورهای اصطکاک :  $\boldsymbol{\tau}_f(\dot{\mathbf{x}}) \in \mathbb{R}^n$
- ماتریس قطری اینرسی محرکه :  $\mathbf{J}_m \in \mathbb{R}^{n \times n}$
- ماتریس قطری میرایی :  $\mathbf{B}_m \in \mathbb{R}^{n \times n}$
- ماتریس قطری چرخنده کاهنده :  $\mathbf{r} \in \mathbb{R}^{n \times n}$
- ماتریس انعطاف‌پذیری :  $\mathbf{K} \in \mathbb{R}^{n \times n}$
- ماتریس قطری ثابت‌های گشتاور :  $\mathbf{K}_m \in \mathbb{R}^{n \times n}$
- بردار جریان موتورها :  $\mathbf{I}_a \in \mathbb{R}^n$
- بردار ولتاژ موتورها :  $\mathbf{v} \in \mathbb{R}^n$
- بردار اغتشاش خارجی :  $\boldsymbol{\varphi}(t) \in \mathbb{R}^n$
- ماتریس قطری اندوکتانس آرمیچر :  $\mathbf{R} \in \mathbb{R}^{n \times n}$
- ماتریس قطری ثابت ضد محرکه :  $\mathbf{K}_b \in \mathbb{R}^{n \times n}$

با استفاده از معادلات (۷-۱) تا (۷-۳) می‌توان مدل فضای حالت را بدین شکل بدست آورد:

$$\dot{\boldsymbol{\chi}} = \mathbf{h}(\boldsymbol{\chi}) + \mathbf{B}(\mathbf{v} - \boldsymbol{\varphi}(t)) \quad (۷-۴)$$

که در آن  $\mathbf{v}$  ورودی‌های سیستم،  $\boldsymbol{\chi}$  بردار حالت و  $\mathbf{h}(\boldsymbol{\chi})$  بدین شکل فرمول‌بندی می‌شود:

$$h(\chi) = \begin{bmatrix} \chi_2 \\ D^{-1}(\chi_1) \left( -K\chi_1 - C(\chi_1, \chi_2)\chi_2 - g(\chi_1) + Kr\chi_3 - \tau_f(\chi_2) \right) \\ \chi_4 \\ J_m^{-1}(K_m\chi_5 + rK\chi_1 - rKr\chi_3 - B_m\chi_4) \\ L^{-1}(-R\chi_5 - K_b\chi_4) \end{bmatrix} \quad (5-7)$$

$$B = \begin{bmatrix} 0 \\ 0 \\ 0 \\ 0 \\ L^{-1} \end{bmatrix}, \quad \chi = \begin{bmatrix} x \\ \dot{x} \\ x_m \\ \dot{x}_m \\ I_a \end{bmatrix} \quad (6-7)$$

معادله فضای حالت غیرخطی (6-7) بیانگر پیچیدگی کنترل سیستم رباتیک با مفاصل انعطاف پذیر می باشد. به منظور حل این مشکل، از روش کنترل تطبیقی مستقیم با استفاده از سری تیلور - فازی استفاده می کنیم. از رابطه (7-1)، بردار سرعت روتور  $\dot{x}_m$  را می توان بدین شکل محاسبه کرد:

$$\begin{aligned} \dot{x}_m = (Kr)^{-1} & \left( (\partial_x D(x)\dot{x})\ddot{x} + D(x)\ddot{x} + (\partial_x C(x, \dot{x})\dot{x})\dot{x} \right. \\ & + (\partial_{\dot{x}} C(x, \dot{x})\ddot{x})\dot{x} + C(x, \dot{x})\ddot{x} + \partial_x g(x)\dot{x} \\ & \left. + \partial_{\dot{x}} \tau_f(\dot{x})\ddot{x} + K\dot{x} \right) \end{aligned} \quad (7-7)$$

با اعمال رابطه (7-7) به معادله ولتاژ (7-3) داریم:

$$\begin{aligned} RI_a + LI_a + K_b(Kr)^{-1} & \left( (\partial_x D(x)\dot{x})\ddot{x} + D(x)\ddot{x} + (\partial_x C(x, \dot{x})\dot{x})\dot{x} \right. \\ & + (\partial_{\dot{x}} C(x, \dot{x})\ddot{x})\dot{x} + C(x, \dot{x})\ddot{x} + \partial_x g(x)\dot{x} \\ & \left. + \partial_{\dot{x}} \tau_f(\dot{x})\ddot{x} + K\dot{x} \right) + \varphi(t) = v \end{aligned} \quad (8-7)$$

می توان رابطه ولتاژ غیرخطی (8-7) را بدین شکل نوشت:

$$\ddot{x} + f = v \quad (9-7)$$

که در آن  $f$  بیانگر تابع غیرخطی نامعلوم است که بدین صورت توصیف می شود:

$$\begin{aligned}
f &= (K_b(Kr)^{-1}D(x) - I)\ddot{x} \\
&+ K_b(Kr)^{-1} \left( (\partial_x D(x)\dot{x})\ddot{x} + (\partial_x C(x, \dot{x})\dot{x})\dot{x} \right. \\
&+ (\partial_{\dot{x}} C(x, \dot{x})\ddot{x})\dot{x} + C(x, \dot{x})\ddot{x} + \partial_x g(x)\dot{x} \\
&\left. + \partial_{\dot{x}} \tau_f(\dot{x})\ddot{x} + K\dot{x} \right) + RI_a + LI_a + \varphi(t)
\end{aligned} \tag{10-7}$$

خطای ردگیری مفصلی در ساختار مفصل مستقل بدین صورت تعریف می‌شود:

$$e_i \triangleq x_{di} - x_i \tag{11-7}$$

که در آن  $i = 1, 2, \dots, n$  و  $x_{di}$  موقعیت مفصلی مطلوب می‌باشد. می‌توان دینامیک خطای ردگیری را به منظور دستیابی به همگرایی مجانبی خطای ردگیری به صفر اینگونه در نظر گرفت:

$$\ddot{e}_i + K_i \mathfrak{E}_i = 0 \tag{12-7}$$

که در آن  $\mathfrak{E}_i = [e_i, \dot{e}_i, \ddot{e}_i]^T \in \mathbb{R}^3$  بردار خطا و  $K_i = [k_{3i}, k_{2i}, k_{1i}] \in \mathbb{R}^3$  بردار بهره‌های پس‌خورد می‌باشد و عناصر آن بگونه‌ای انتخاب می‌شوند که تمام ریشه‌های چندجمله‌ای  $o_i(s) \triangleq s^3 + k_{1i}s^2 + k_{2i}s + k_{3i}$  در نیمه سمت چپ صفحه موهومی قرار بگیرند. با جایگذاری رابطه (7-9) در (7-12) می‌توان قانون کنترل ایده‌آل را در ساختار مفصل مستقل بدین صورت تعیین کرد:

$$u_{ci}^* = \ddot{x}_{di} + K_i \mathfrak{E}_i + f_i \tag{13-7}$$

به دلیل آنکه تابع غیرخطی  $f_i$  نامعلوم است، کنترل کننده ایده‌آل (7-13) غیرقابل استفاده می‌باشد. برای رفع این مشکل، روش کنترل تطبیقی مستقیم با استفاده از سیستم سری تیلور - فازی در این فصل استفاده می‌شود.

### ۷-۳- طراحی کنترل سری تیلور - فازی تطبیقی مستقیم

این بخش به طور موثری با طراحی کنترل کننده سری تیلور تطبیقی مستقیم به همراه تقریب گر فازی سروکار دارد. کنترل کننده سری تیلور بدین صورت پیشنهاد می شود:

$$u_{tsi} = \sum_{k_1=0}^{m_1} \frac{u_{tsi}^{(k_1)}(e_{iu_0})}{k_1!} (e_i - e_{iu_0})^{k_1} + \sum_{k_2=1}^{m_2} \frac{u_{tsi}^{(k_2)}(\dot{e}_{iu_0})}{k_2!} (\dot{e}_i - \dot{e}_{iu_0})^{k_2} \quad (14-7)$$

که در آن  $u_{tsi}$  پاسخ خروجی تقریب گر پیشنهادی می باشد که بیانگر مجموع تعداد  $m_1 + 1$  جمله تیلور  $u_{tsi}$  حول  $e_{iu_0}$  و تعداد  $m_2$  جمله تیلور  $u_{tsi}$  حول  $\dot{e}_{iu_0}$  می باشد. رابطه (۷-۱۴) را می توان بصورت زیر بازنویسی کرد:

$$u_{tsi} = \hat{\theta}_{u_i}^T \xi_{u_i} \quad (15-7)$$

که در آن  $\hat{\theta}_{u_i}$  بردار ضریب های سیستم سری تیلور پیشنهادی  $u_{tsi}$  و  $\xi_{u_i}$  بیانگر بردار رگر سور می باشد که بدین شکل فرمول بندی می شوند:

$$\xi_{u_i} = [1, (e_i - e_{iu_0})^1, \dots, (e_i - e_{iu_0})^{m_1}, (\dot{e}_i - \dot{e}_{iu_0})^1, \dots, (\dot{e}_i - \dot{e}_{iu_0})^{m_2}]^T \quad (16-7)$$

$$\hat{\theta}_{u_i}^T = \left[ \frac{u_{tsi}^{(0)}(e_{iu_0})}{0!}, \frac{u_{tsi}^{(1)}(e_{iu_0})}{1!}, \dots, \frac{u_{tsi}^{(m_1)}(e_{iu_0})}{m_1!}, \frac{u_{tsi}^{(1)}(\dot{e}_{iu_0})}{1!}, \dots, \frac{u_{tsi}^{(m_2)}(\dot{e}_{iu_0})}{m_2!} \right] \quad (17-7)$$

حال می توان قانون کنترل تطبیقی مستقیم را در ساختار مفصل مستقیم بدین شکل پیشنهاد داد:

$$v_i = h(u_i) \quad (18-7)$$

$$h(u_i) = \begin{cases} u_i & \text{if } |u_i| \leq v_{max,i} \\ v_{max,i} \text{sgn}(u_i) & \text{if } v_{max,i} < |u_i| \end{cases} \quad (19-7)$$

$$u_i = u_{tsi} + u_{si} = \hat{\theta}_{u_i}^T \xi_{u_i} + u_{si} \quad (20-7)$$



که در آن به منظور جبران خطای مدلسازی، عبارت  $u_{si}$  به قانون کنترل اضافه می‌شود. با مدلسازی قانون کنترل ایده‌آل به صورت زیر داریم:

$$u_{di} = \theta_{u_i}^T \xi_{u_i} + \varepsilon_{u_i} \quad (21-7)$$

که در آن  $\varepsilon_{u_i}$  خطای مدلسازی می‌باشد. برای وضعیت  $|u_i| < v_{max,i}$ ، موتورها با بیشینه ظرفیت خود کار می‌کنند تا خطای ردگیری کاهش یابد. از سوی دیگر، در وضعیت  $|u_i| \leq v_{max,i}$  با جایگذاری روابط (18-7) تا (19-7) در فرم اسکالر سیستم (9-7) (یعنی  $\ddot{x}_i + f_i = v_i$ ) سیستم حلقه بسته بدین صورت بدست می‌آید:

$$\ddot{x}_i + f_i = \hat{\theta}_{u_i}^T \xi_{u_i} + u_{si} \quad (22-7)$$

بعلاوه برای مدلسازی کنترل‌کننده ایده‌آل (13-7) توسط سیستم سری تیلور (21-7) داریم:

$$\ddot{x}_{di} + K_i \mathfrak{E}_i + f_i = \theta_{u_i}^T \xi_{u_i} + \varepsilon_{u_i} \quad (23-7)$$

با تفاضل رابطه (22-7) از (23-7)، دینامیک خطای ردگیری مفصلی بدین صورت بدست می‌آید:

$$\ddot{e}_i(t) + K_i \mathfrak{E}_i = w_i \quad (24-7)$$

که در آن  $w_i$  به صورت زیر توصیف می‌شود:

$$w_i = (\theta_{u_i}^T - \hat{\theta}_{u_i}^T) \xi_{u_i} + \varepsilon_{u_i} - u_{si} \quad (25-7)$$

با استفاده از روابط (24-7) و (25-7) می‌توان معادله فضای حالت در فضای خطای ردگیری را بدین شکل نوشت:

$$\dot{\mathfrak{E}}_i = \Lambda_i \mathfrak{E}_i + b_i w_i \quad (26-7)$$

که در آن

$$\Lambda_i = \begin{bmatrix} 0 & 1 & 0 \\ 0 & 0 & 1 \\ -k_{3i} & -k_{2i} & -k_{1i} \end{bmatrix}, \quad \mathbf{b}_i = \begin{bmatrix} 0 \\ 0 \\ 1 \end{bmatrix}, \quad \boldsymbol{\epsilon}_i = [e_i, \dot{e}_i, \ddot{e}_i]^T, \quad (27-7)$$

$$w_i = (\boldsymbol{\theta}_{u_i}^T - \widehat{\boldsymbol{\theta}}_{u_i}^T) \boldsymbol{\xi}_{u_i} + \varepsilon_{u_i} - u_{s_i}$$

معادله لیاپانوف زیر می‌تواند توسط ماتریس معین مثبت متقارن منحصر به فرد  $\mathbf{S}_i$  برقرار باشد به دلیل اینکه  $\Lambda_i$  ماتریس پایدار است.

$$\Lambda_i^T \mathbf{S}_i + \mathbf{S}_i \Lambda_i = -\mathbf{Q}_i \quad (28-7)$$

که در آن ماتریس معین مثبت متقارن دلخواه می‌باشد.

هدف کنترل‌کننده سری تیلور پیشنهادی تخمین گر سری تیلور پیشنهادی،  $u_{ts_i}$  معرفی شده در (15-7) می‌تواند کنترل‌کننده ایده‌آل،  $u_{d_i}$  در رابطه (21-7) را تقریب بزند. داریم:

$$|u_{d_i} - u_{ts_i}| < \mu_i(t) \quad (29-7)$$

که در آن  $\mu_i(t) > 0$  کران بالای خطای عدم قطعیت است. با اعمال روابط (15-7) و (21-7) در (29-7) داریم:

$$|(\boldsymbol{\theta}_{u_i}^T - \widehat{\boldsymbol{\theta}}_{u_i}^T) \boldsymbol{\xi}_{u_i} + \varepsilon_{u_i}| < \mu_i(t) \quad (30-7)$$

رابطه (30-7) را می‌توان بدین شکل بازنویسی کرد:

$$-\mu_i(t) - (\boldsymbol{\theta}_{u_i}^T - \widehat{\boldsymbol{\theta}}_{u_i}^T) \boldsymbol{\xi}_{u_i} < \varepsilon_{u_i} < \mu_i(t) - (\boldsymbol{\theta}_{u_i}^T - \widehat{\boldsymbol{\theta}}_{u_i}^T) \boldsymbol{\xi}_{u_i} \quad (31-7)$$

با استفاده از (31-7)، کران بالای  $\varepsilon_{u_i}$  بدین صورت توصیف می‌شود:

$$|\varepsilon_{u_i}| < |\mu_i(t) - (\boldsymbol{\theta}_{u_i}^T - \widehat{\boldsymbol{\theta}}_{u_i}^T) \boldsymbol{\xi}_{u_i}| \quad (32-7)$$

فرض کنید که  $x, y \in \mathbb{R}$ ، با در نظر گرفتن نامساوی مثلثی، نامساوی زیر برقرار است:

$$|x - y| \leq |x| + |y| \quad (33-7)$$

با بهره‌گیری از رابطه (33-7)، می‌توان رابطه (32-7) را بصورت زیر بیان کرد:

$$|\varepsilon_{u_i}| < \eta_i(t) \quad (34-7)$$

که در آن  $\eta_i(t)$  کران بالای خطای مدلسازی است که به شکل زیر بیان می‌شود:

$$\eta_i(t) = |\mu_i(t)| + |(\theta_{u_i}^T - \hat{\theta}_{u_i}^T)\xi_{u_i}| \quad (35-7)$$

مشابه سیستم سری تیلور پیشنهادی رابطه (14-7)، خطای ردگیری  $e_i$  و مشتق زمانی آن  $\dot{e}_i$  را به عنوان ورودی سیستم فازی در نظر بگیرید. با اختصاص دادن سه تابع عضویت ورودی به نام‌های مثبت<sup>۱</sup>، صفر<sup>۲</sup> و منفی<sup>۳</sup> به هر ورودی فازی، ۹ قانون فازی تمام فضا را پوشش می‌دهد. قوانین زبانی<sup>۴</sup> فازی به شکل ممدانی<sup>۵</sup> بدین صورت در نظر گرفته می‌شوند.

$$(36-7) \quad \text{قانون ۱: اگر ورودی } e_i, A_l \text{ باشد و ورودی } \dot{e}_i, B_l \text{ باشد، آنگاه خروجی } \hat{\eta}_i, C_l$$

می‌باشد.

که در آن  $l$  بیانگر  $l$  امین قانون فازی برای  $l = 1, \dots, 9$  و توابع عضویت فازی  $A_l, B_l$  و  $C_l$  به ترتیب متعلق به متغیرهای فازی  $e_i, \dot{e}_i$  و  $\hat{\eta}_i$  می‌باشند. توابع عضویت برای ورودی  $e_i$  در شکل ۱-۷ نشان داده شده‌اند و بصورت زیر محاسبه می‌شوند [۸۵]:

$$\mu_P(e_i) = \begin{cases} 0 & e_i \leq 0 \\ 2e_i^2 & 0 < e_i \leq 0.5 \\ 1 - 2(e_i - 1)^2 & 0.5 < e_i \leq 1 \\ 1 & e_i > 1 \end{cases} \quad (37-7)$$

<sup>1</sup> Positive (P)

<sup>2</sup> Zero (Z)

<sup>3</sup> Negative (N)

<sup>4</sup> Linguistic rules

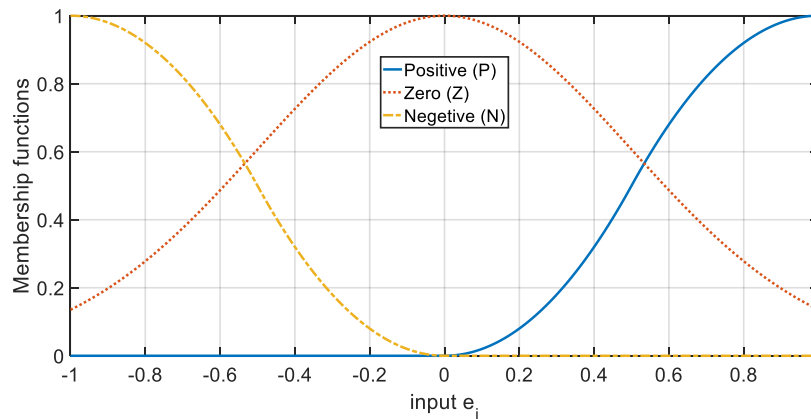
<sup>5</sup> Mamdani

$$\mu_Z(e_i) = \exp(-e_i^2/0.5) \quad (38-7)$$

$$\mu_N(e_i) = \begin{cases} 1 & e_i \leq -1 \\ 1 - 2(e_i + 1)^2 & -1 < e_i \leq -0.5 \\ 2e_i^2 & -0.5 < e_i \leq 0 \\ 0 & e_i > 0 \end{cases} \quad (39-7)$$

توابع عضویت برای ورودی  $e_i$  نیز همانند  $e_i$  انتخاب می‌شوند. همچنین ۹ تابع عضویت گوسی<sup>۱</sup> برای خروجی  $\hat{\eta}_i$  نیز به صورت زیر در نظر گرفته می‌شوند:

$$\mu_{C_l}(\hat{\eta}_i) = \exp\left(-(\hat{\eta}_i - \hat{\theta}_{il})^2/0.5\right) \quad (40-7)$$



شکل ۷-۱ توابع تعلق سیستم فازی

که در آن مرکز تابع عضویت فازی  $C_l$  می‌باشد. در این فصل برای تنظیم  $\hat{\theta}_{il}$  از قانون تطبیقی استفاده می‌شود تا تقریب کران بالای خطای مدلسازی میسر شود. با بهره‌گیری از موتور استنتاج فازی، فازی‌ساز منفرد و غیرفازی‌ساز میانگین مراکز [۸۶] به منظور تقریب  $\eta_i$  داریم:

$$\hat{\eta}_i = \frac{\sum_{l=1}^9 \mu_{A_l}(e_i) \mu_{B_l}(\dot{e}_i) \hat{\theta}_l}{\sum_{l=1}^9 \mu_{A_l}(e_i) \mu_{B_l}(\dot{e}_i)} \quad (41-7)$$

می‌توان رابطه (۴۱-۷) را بدین صورت بازنویسی کرد:

<sup>1</sup> Gaussian membership function

$$\hat{\eta}_i = \sum_{l=1}^9 \hat{\theta}_{il} \psi_{il} = \hat{\boldsymbol{\theta}}_{\eta_i}^T \boldsymbol{\psi}_{\eta_i} \quad (42-7)$$

که در آن  $\boldsymbol{\psi}_{\eta_i} = [\psi_{i1}, \dots, \psi_{i9}]^T$  بردار رگرسیون مثبت است که بدین شکل تعریف می‌شود:

$$\psi_{il} = \frac{\mu_{A_l}(e_i) \mu_{B_l}(\dot{e}_i)}{\sum_{l=1}^9 \mu_{A_l}(e_i) \mu_{B_l}(\dot{e}_i)} \quad (43-7)$$

و بردار بهره تطبیقی  $\hat{\boldsymbol{\theta}}_{\eta_i}$  بدین صورت بیان می‌شود:

$$\hat{\boldsymbol{\theta}}_{\eta_i}^T = [\hat{\theta}_{i1}, \dots, \hat{\theta}_{i9}] \quad (44-7)$$

برای بررسی پایداری سیستم حلقه بسته، تابع معین مثبت بدین شکل پیشنهاد می‌شود:

$$\begin{aligned} V = & \frac{1}{2} \sum_{i=1}^n \boldsymbol{\mathfrak{E}}_i^T \mathbf{S}_i \boldsymbol{\mathfrak{E}}_i + \frac{1}{2} \sum_{i=1}^n \frac{1}{\gamma_i} (\boldsymbol{\theta}_{u_i}^T - \hat{\boldsymbol{\theta}}_{u_i}^T) (\boldsymbol{\theta}_{u_i} - \hat{\boldsymbol{\theta}}_{u_i}) \\ & + \frac{1}{2} \sum_{i=1}^n \frac{1}{\lambda_i} (\boldsymbol{\theta}_{\eta_i}^T - \hat{\boldsymbol{\theta}}_{\eta_i}^T) (\boldsymbol{\theta}_{\eta_i} - \hat{\boldsymbol{\theta}}_{\eta_i}) \end{aligned} \quad (45-7)$$

که در آن  $\lambda_i$  و  $\gamma_i$  ثابت‌های مثبت هستند. با مشتق‌گیری از  $V$  در رابطه (45-7) و سپس استفاده از

روابط (26-7)، (27-7) و (28-7)، داریم:

$$\begin{aligned} \dot{V} = & -\frac{1}{2} \sum_{i=1}^n \boldsymbol{\mathfrak{E}}_i^T \mathbf{Q}_i \boldsymbol{\mathfrak{E}}_i + \sum_{i=1}^n \boldsymbol{\mathfrak{E}}_i^T \mathbf{S}_i \mathbf{b}_i (\boldsymbol{\theta}_{u_i}^T - \hat{\boldsymbol{\theta}}_{u_i}^T) \xi_{u_i} \\ & + \sum_{i=1}^n \boldsymbol{\mathfrak{E}}_i^T \mathbf{S}_i \mathbf{b}_i \varepsilon_{u_i} - \sum_{i=1}^n \boldsymbol{\mathfrak{E}}_i^T \mathbf{S}_i \mathbf{b}_i u_{s_i} \\ & - \sum_{i=1}^n \frac{1}{\gamma_i} (\boldsymbol{\theta}_{u_i}^T - \hat{\boldsymbol{\theta}}_{u_i}^T) \dot{\hat{\boldsymbol{\theta}}}_{u_i} - \sum_{i=1}^n \frac{1}{\lambda_i} (\boldsymbol{\theta}_{\eta_i}^T - \hat{\boldsymbol{\theta}}_{\eta_i}^T) \dot{\hat{\boldsymbol{\theta}}}_{\eta_i} \end{aligned} \quad (46-7)$$

عبارت مقاوم‌ساز،  $u_{s_i}$ ، بدین صورت انتخاب می‌شود:

$$u_{s_i} = \frac{\hat{\eta}_i^2(t) \mathfrak{E}_i^T \mathbf{S}_i \mathbf{b}_i}{|\hat{\eta}_i(t) \mathfrak{E}_i^T \mathbf{S}_i \mathbf{b}_i| + \delta_i \exp(-\sigma_i t)} \quad (47-7)$$

که در آن  $\delta_i$  و  $\sigma_i$  ثابت‌های مثبت هستند. با استفاده از روابط (37-7) و (47-7) در (46-7) داریم:

$$\begin{aligned} \dot{V} \leq & -\frac{1}{2} \sum_{i=1}^n \mathfrak{E}_i^T \mathbf{Q}_i \mathfrak{E}_i + \sum_{i=1}^n \mathfrak{E}_i^T \mathbf{S}_i \mathbf{b}_i (\boldsymbol{\theta}_{u_i}^T - \hat{\boldsymbol{\theta}}_{u_i}^T) \boldsymbol{\xi}_{u_i} \\ & + \sum_{i=1}^n |\mathfrak{E}_i^T \mathbf{S}_i \mathbf{b}_i| \eta_i(t) \\ & - \sum_{i=1}^n \frac{\hat{\eta}_i^2(t) (\mathfrak{E}_i^T \mathbf{S}_i \mathbf{b}_i)^2}{|\hat{\eta}_i(t) \mathfrak{E}_i^T \mathbf{S}_i \mathbf{b}_i| + \delta_i \exp(-\sigma_i t)} \\ & - \sum_{i=1}^n \frac{1}{\gamma_i} (\boldsymbol{\theta}_{u_i}^T - \hat{\boldsymbol{\theta}}_{u_i}^T) \dot{\hat{\boldsymbol{\theta}}}_{u_i} - \sum_{i=1}^n \frac{1}{\lambda_i} (\boldsymbol{\theta}_{\eta_i}^T - \hat{\boldsymbol{\theta}}_{\eta_i}^T) \dot{\hat{\boldsymbol{\theta}}}_{\eta_i} \end{aligned} \quad (48-7)$$

بنابراین،

$$\begin{aligned} \dot{V} \leq & -\frac{1}{2} \sum_{i=1}^n \mathfrak{E}_i^T \mathbf{Q}_i \mathfrak{E}_i + \sum_{i=1}^n \mathfrak{E}_i^T \mathbf{S}_i \mathbf{b}_i (\boldsymbol{\theta}_{u_i}^T - \hat{\boldsymbol{\theta}}_{u_i}^T) \boldsymbol{\xi}_{u_i} \\ & + \sum_{i=1}^n |\mathfrak{E}_i^T \mathbf{S}_i \mathbf{b}_i| \eta_i(t) - \sum_{i=1}^n |\mathfrak{E}_i^T \mathbf{S}_i \mathbf{b}_i| \hat{\eta}_i(t) \\ & - \sum_{i=1}^n \frac{\hat{\eta}_i^2(t) (\mathfrak{E}_i^T \mathbf{S}_i \mathbf{b}_i)^2}{|\hat{\eta}_i(t) \mathfrak{E}_i^T \mathbf{S}_i \mathbf{b}_i| + \delta_i \exp(-\sigma_i t)} \\ & + \sum_{i=1}^n |\mathfrak{E}_i^T \mathbf{S}_i \mathbf{b}_i| \hat{\eta}_i(t) - \sum_{i=1}^n \frac{1}{\gamma_i} (\boldsymbol{\theta}_{u_i}^T - \hat{\boldsymbol{\theta}}_{u_i}^T) \dot{\hat{\boldsymbol{\theta}}}_{u_i} \\ & - \sum_{i=1}^n \frac{1}{\lambda_i} (\boldsymbol{\theta}_{\eta_i}^T - \hat{\boldsymbol{\theta}}_{\eta_i}^T) \dot{\hat{\boldsymbol{\theta}}}_{\eta_i} \end{aligned} \quad (49-7)$$

به عبارت دیگر، با در نظر گرفتن  $\eta_i(t) = \boldsymbol{\theta}_{\eta_i}^T \boldsymbol{\psi}_{\eta_i}$ ، می‌توان رابطه (49-7) را بدین صورت

بازنویسی کرد:

$$\begin{aligned}
\dot{V} \leq & -\frac{1}{2} \sum_{i=1}^n \mathfrak{E}_i^T \mathbf{Q}_i \mathfrak{E}_i + \sum_{i=1}^n \mathfrak{E}_i^T \mathbf{S}_i \mathbf{b}_i (\boldsymbol{\theta}_{u_i}^T - \hat{\boldsymbol{\theta}}_{u_i}^T) \xi_{u_i} \\
& + \sum_{i=1}^n |\mathfrak{E}_i^T \mathbf{S}_i \mathbf{b}_i| (\boldsymbol{\theta}_{\eta_i}^T - \hat{\boldsymbol{\theta}}_{\eta_i}^T) \psi_{\eta_i} \\
& + \sum_{i=1}^n \frac{\delta_i \exp(-\sigma_i t) |\hat{\eta}_i(t) \mathfrak{E}_i^T \mathbf{S}_i \mathbf{b}_i|}{|\hat{\eta}_i(t) \mathfrak{E}_i^T \mathbf{S}_i \mathbf{b}_i| + \delta_i \exp(-\sigma_i t)} \\
& - \sum_{i=1}^n \frac{1}{\gamma_i} (\boldsymbol{\theta}_{u_i}^T - \hat{\boldsymbol{\theta}}_{u_i}^T) \hat{\boldsymbol{\theta}}_{u_i} - \sum_{i=1}^n \frac{1}{\lambda_i} (\boldsymbol{\theta}_{\eta_i}^T - \hat{\boldsymbol{\theta}}_{\eta_i}^T) \hat{\boldsymbol{\theta}}_{\eta_i}
\end{aligned} \tag{50-7}$$

بنابراین با انتخاب قوانین تطبیق بصورت:

$$\dot{\hat{\boldsymbol{\theta}}}_{\eta_i} = \lambda_i |\mathfrak{E}_i^T \mathbf{S}_i \mathbf{b}_i| \psi_{\eta_i} \tag{51-7}$$

$$\dot{\hat{\boldsymbol{\theta}}}_{u_i} = \gamma_i \mathfrak{E}_i^T \mathbf{S}_i \mathbf{b}_i \xi_{u_i} \tag{52-7}$$

رابطه (50-7) بدین شکل بدست می‌آید:

$$\dot{V} \leq -\frac{1}{2} \sum_{i=1}^n \mathfrak{E}_i^T \mathbf{Q}_i \mathfrak{E}_i + \sum_{i=1}^n \frac{\delta_i \exp(-\sigma_i t) |\hat{\eta}_i(t) \mathfrak{E}_i^T \mathbf{S}_i \mathbf{b}_i|}{|\hat{\eta}_i(t) \mathfrak{E}_i^T \mathbf{S}_i \mathbf{b}_i| + \delta_i \exp(-\sigma_i t)} \tag{53-7}$$

به دلیل اینکه به ازای هر  $a_1, a_2 > 0$ ، داریم:  $\frac{a_1 a_2}{a_1 + a_2} < a_1$  می‌توان رابطه (53-7) را به صورت زیر

بازنویسی کرد:

$$\dot{V} \leq -\frac{1}{2} \sum_{i=1}^n \mathfrak{E}_i^T \mathbf{Q}_i \mathfrak{E}_i + \sum_{i=1}^n \delta_i \exp(-\sigma_i t) \tag{54-7}$$

خطای ردگیری مفصلی  $e_i$  و مشتق‌های زمانی آن  $\dot{e}_i$  و  $\ddot{e}_i$  (به بیان دیگر  $\mathfrak{E}_i = [e_i, \dot{e}_i, \ddot{e}_i]^T$ )

کاهش می‌یابند اگر  $\dot{V}_i < 0$  باشد. بنابراین برقراری  $\dot{V}_i < 0$  این نتیجه را می‌دهد که

$$-\frac{1}{2} \mathfrak{E}_i^T \mathbf{Q}_i \mathfrak{E}_i + \delta_i \exp(-\sigma_i t) < 0 \tag{55-7}$$

به دلیل آنکه  $\lambda_{\min}(\mathbf{Q}_i)\|\mathbf{E}_i\|^2 \leq \mathbf{E}_i^T \mathbf{Q}_i \mathbf{E}_i \leq \lambda_{\max}(\mathbf{Q}_i)\|\mathbf{E}_i\|^2$  به منظور برقراری رابطه (۵۵-۷)، کفایت که:

$$\|\mathcal{E}_i\| > \sqrt{\frac{2\delta_i \exp(-\sigma_i t)}{\lambda_{\min}(\mathbf{Q}_i)}} \triangleq \bar{\varepsilon}_i \quad (۵۶-۷)$$

که در آن  $\lambda_{\max}(\mathbf{Q}_i)$  و  $\lambda_{\min}(\mathbf{Q}_i)$  به ترتیب مقادیر ویژه کمینه و بیشینه  $\mathbf{Q}_i$  تعریف می‌شوند. مطابق رابطه (۵۶-۷)،  $\dot{V}_i < 0$  مادامی که  $\|\mathbf{E}_i\| > \chi_i$  و  $\dot{V}_i > 0$  مادامی که  $\|\mathbf{E}_i\| < \chi_i$ . از طرفی با توجه به رابطه (۵۶-۷) شعاع  $\bar{\varepsilon}_i$  با در نظر گرفتن  $t \rightarrow \infty$  به صفر میل می‌کند. در نتیجه خطای ردگیری به طور مجانبی به سمت صفر میل می‌کند.

با در نظر گرفتن روابط (۵۱-۷) و (۵۲-۷)، می‌توان نتیجه گرفت که  $\hat{\theta}_{u_i}$  و  $\hat{\theta}_{\eta_i}$  محدود هستند. از طرفی محدودیت موقعیت روتور،  $x_m$ ، با در نظر گرفتن معادله (۱-۷) اثبات می‌شود. بعلاوه مطابق روابط (۴۲-۷)، (۱۵-۷) و (۴۷-۷)، به ترتیب  $\hat{\eta}_i(t)$ ،  $u_{ts_i}$  و  $u_{s_i}$  محدود هستند. چنانچه رابطه ولتاژ (۳-۷) به فرم اسکالر را در  $I_{ai}$  ضرب کرده و با انجام کمی محاسبات، محدود بودن سرعت مفصل به صورت رابطه  $|\dot{x}_{mi}| \leq K_{bi}^{-1}(\varphi_{\max,i} + v_{\max,i})$  قابل اثبات می‌باشد [۷۷]. از رابطه (۳-۷)، می‌توان معادله مفصل مستقل را برای هر موتور بدین صورت نوشت:

$$R_i I_{ai} + L_i \dot{I}_{ai} = v_i - K_{bi} \dot{x}_{mi} - \varphi_i(t) \quad (۵۷-۷)$$

متغیرهای  $\dot{x}_{mi}$ ،  $\varphi_i(t)$  و  $v_i$  محدود هستند. بنابراین ورودی در رابطه (۵۷-۷) محدود است. از طرفی با توجه به معیار راث - هرولتز، معادله دیفرانسیل خطی (۵۷-۷)، سیستم خطی پایدار می‌باشد. در نتیجه خروجی  $I_{ai}$  نیز محدود باقی می‌ماند. بنابراین پایداری تمامی متغیرهای سیستم تضمین می‌شود. در سمت راست رابطه (۴-۷)،  $h(\chi)$ ،  $v$  و  $\varphi(t)$  محدود هستند و  $\mathbf{B}$  بردار با عناصر ثابت می‌باشد. بنابراین  $\dot{\mathbf{x}}$  نیز محدود است و از آن نتیجه می‌شود که شتاب روتور  $\dot{x}_{mi}$  مشتق زمانی جریان



آرمیچر  $I_a$  و تکانه مفصل  $\ddot{x}$  نیز محدود باقی می‌مانند. بنابراین محدودیت  $f$  در رابطه (۱۰-۷) نیز تضمین می‌شود.

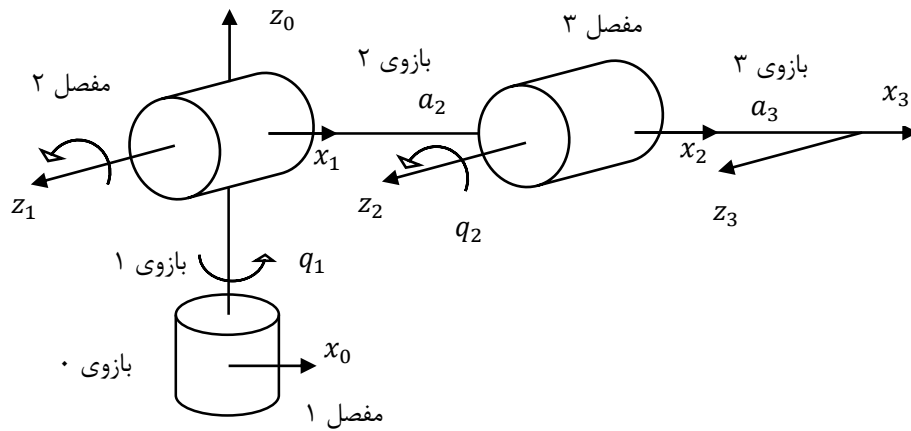
#### ۴-۷- نتایج شبیه‌سازی

به منظور تایید عملکرد مناسب کنترل‌کننده ارائه شده در روابط (۱۸-۷) تا (۲۰-۷)، این ساختار کنترلی در این بخش بر روی بازوی رباتیک هنرمند (که به صورت طرحواره در شکل ۷-۲ نشان داده شده [۷۷]) با مفاصل انعطاف‌پذیر شبیه‌سازی می‌شود. تمامی جزئیات در مورد دینامیک‌های سیستم رباتیک در مرجع [۷۷] آورده شده است. بیشینه ولتاژ بر روی  $v_{max,i} = 50 V$  قرار دارد. اغتشاش خارجی  $\varphi_i(t)$  به شکل تابع پالس مستطیلی با دامنه ۲ ولت انتخاب می‌شود.

طرح کنترلی تطبیقی مستقیم پیشنهادی در این فصل که شامل قانون کنترل (۱۸-۷) تا (۲۰-۷)، کنترل‌کننده سری‌تیلور (۱۵-۷)، تقریب‌گر فازی (۴۲-۷)، قوانین تطبیق (۵۱-۷) و (۵۲-۷) و عبارت مقاوم‌ساز (۴۷-۷) شبیه‌سازی می‌شود. مسیر مفصلی مطلوب برای تمامی مفاصل بدین صورت فرمول‌بندی می‌شود:

$$x_{di} = \left(1 - \cos\left(\frac{\pi t}{20}\right)\right) \quad for \quad 0 \leq t \leq 20 \quad (58-7)$$

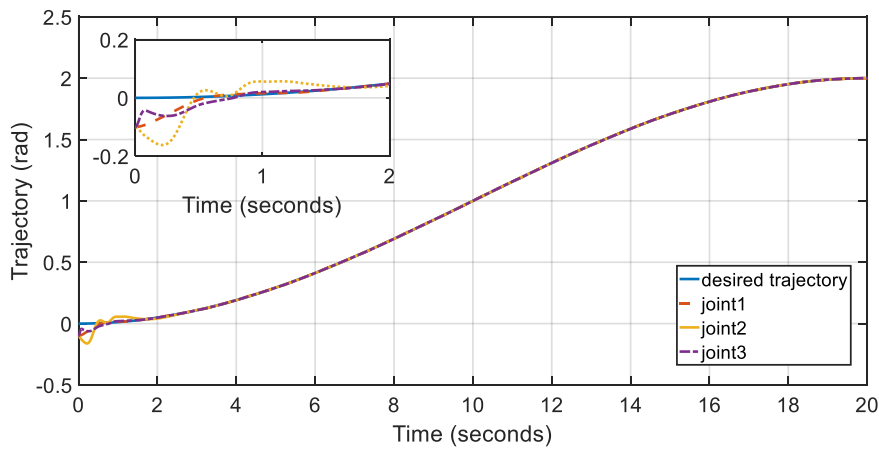
خطاهای اولیه برای هر سه مفصل بازوی رباتیک ۰/۱ رادیان در نظر گرفته می‌شوند. ضریب‌های کنترل‌کننده به صورت  $k_1 = 11.1013$ ،  $k_2 = 51.7639$ ،  $k_3 = 74.0609$ ،  $\delta_i = 2.2365$ ،  $\sigma_i = 0.7564$ ،  $\gamma_i = 684.955$  و  $\lambda_i = 3.7919$  انتخاب می‌شوند. مقادیر اولیه برای ضریب‌های  $\hat{\theta}_{\eta_i}(0)$  و  $\hat{\theta}_{u_i}(0)$  صفر در نظر گرفته می‌شوند.



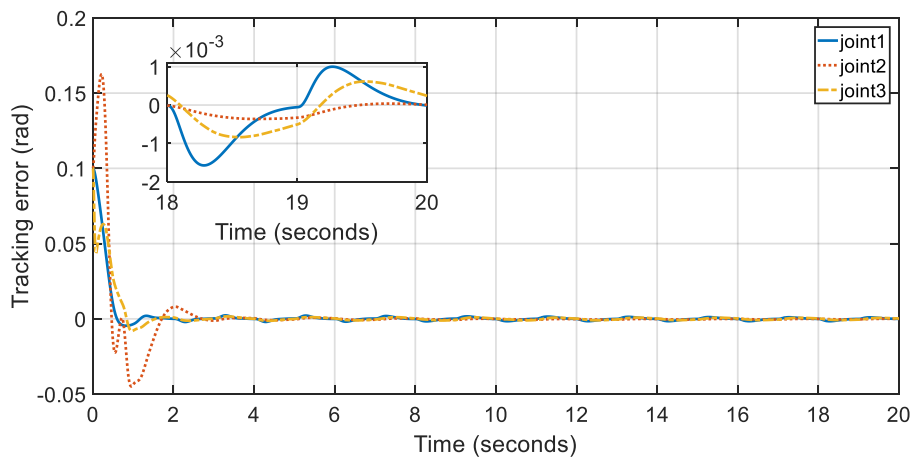
شکل ۷-۲ نمایش نمادین بازوی رباتیک هنرمند

عملکرد رضایت‌بخش کنترل‌کننده تطبیقی مستقیم سری‌تیلور - فازی در شکل‌های ۷-۳ و ۷-۴ نشان داده شده است. خطای ردگیری به خوبی تا محدوده  $[-2 \times 10^{-3}, 1.2 \times 10^{-3}]$  رادپان کاهش می‌یابد. همچنین ولتاژ موتورها در شکل ۷-۵ نشان داده شده است. باید توجه داشت که روش کنترلی پیشنهادی از پس دو چالش به نام‌های خطای ردگیری برای هر مفصل و گشتاورهای گرانشی مرتبط با ربات‌هایی با مفاصل انعطاف‌پذیر به خصوص لینک دوم به خوبی برمی‌آید. ضریب‌های سری‌تیلور برای تمامی مفاصل در شکل ۷-۶ نشان داده شده است. همانطور که مشاهده می‌شود اولین ضریب هر تقریب‌گر سری‌تیلور در طول زمان متغیر و دومین و سومین ضریب هر تقریب‌گر سری‌تیلور تقریباً به مقدار ثابت همگرا می‌شود تا این ضریب‌ها تاثیرات عدم قطعیت را جبران نماید. در مقایسه با ضریب‌های سری‌تیلور که تعداد ضریب‌ها از اهمیت زیادی برای طراح کنترل برخوردار نیست، عامل اصلی برای رسیدن به عملکرد مناسب کنترل‌کننده، تنظیم ضریب‌های کنترل با سعی و خطا یا استفاده از الگوریتم‌های بهینه‌سازی می‌باشد. تاثیر عبارتهای مرتبه بالاتر چندجمله‌های تیلور در تقریب عدم قطعیت تجمعی، قابل صرف نظر کردن می‌باشد به دلیل اینکه الگوریتم کنترل پیشنهادی همگرایی مجانبی خطای ردگیری و مشتق زمانی آن را به عنوان ورودی

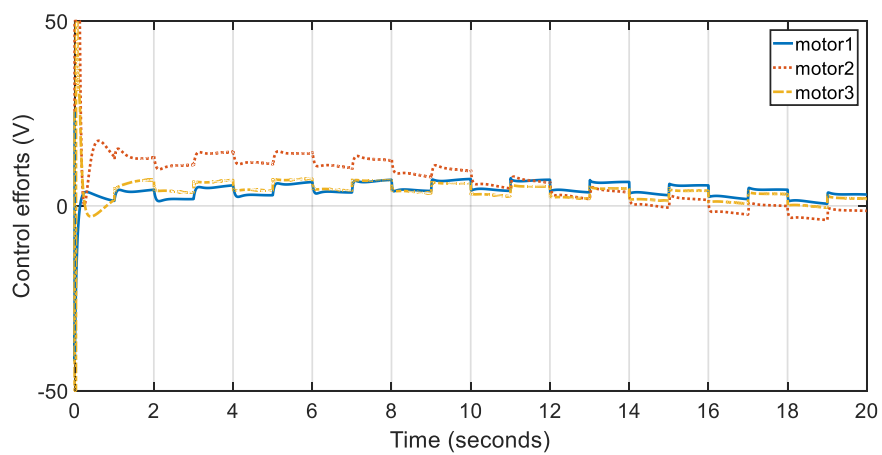
سیستم سری تیلور به صفر را تضمین می‌کند. تطبیق هر ۹ ضریب فازی برای هر مفصل در شکل ۷-۷ نشان داده شده است. همانطور که مشاهده می‌کنید، تمامی ۲۷ ضریب فازی در تقریب کران بالای خطای مدلسازی نقش ایفا می‌کنند. در نهایت، تقریب کران بالای خطای مدلسازی برای تمامی مفاصل در شکل ۷-۸ نشان داده شده است. به دلیل اینکه شرایط اولیه برای بردار بهره تطبیقی  $\hat{\theta}_{\eta_i}$  صفر در نظر گرفته شده است، تقریب خطای مدلسازی از صفر شروع می‌شود. از طرفی مطابق شکل ۷-۸ و رابطه (۷-۳۵)، اندازه  $\hat{\eta}_i$  در طول بازه زمانی مثبت باقی می‌ماند.



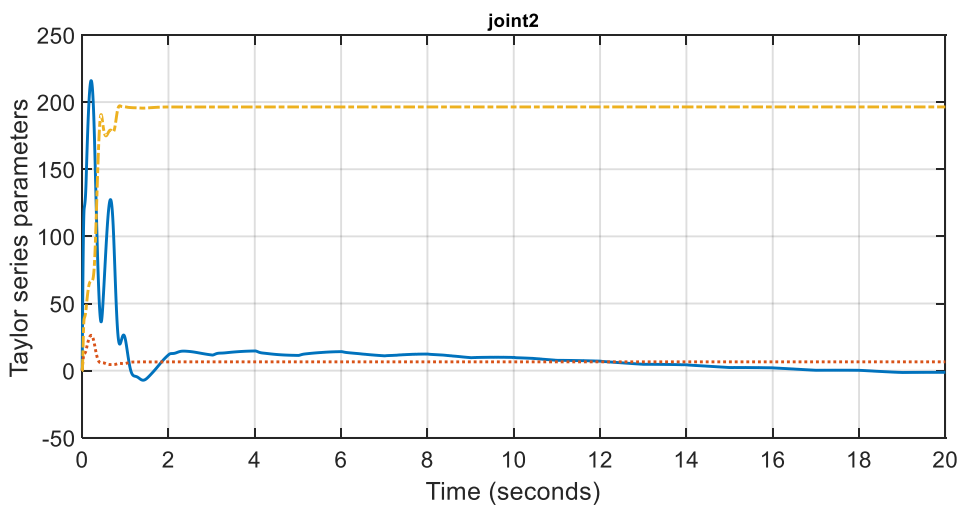
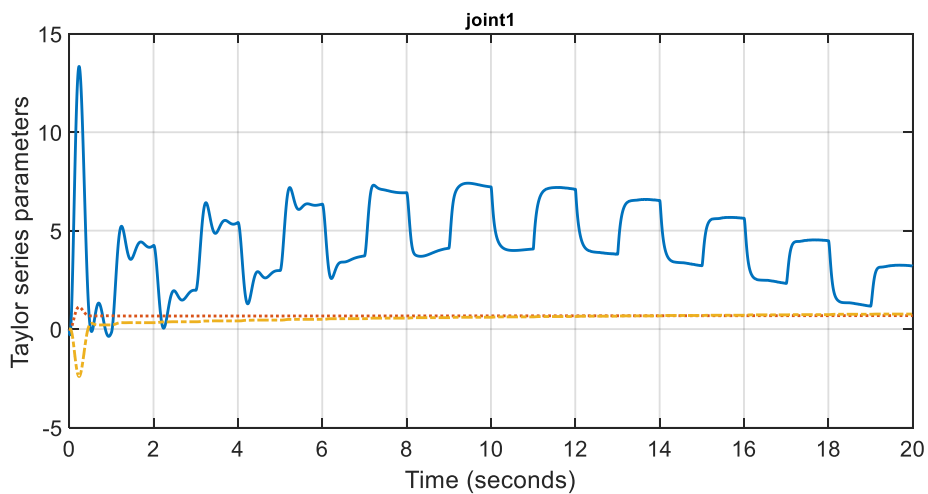
شکل ۷-۳ عملکرد ردگیری کنترل‌کننده پیشنهادی سری تیلور - فازی

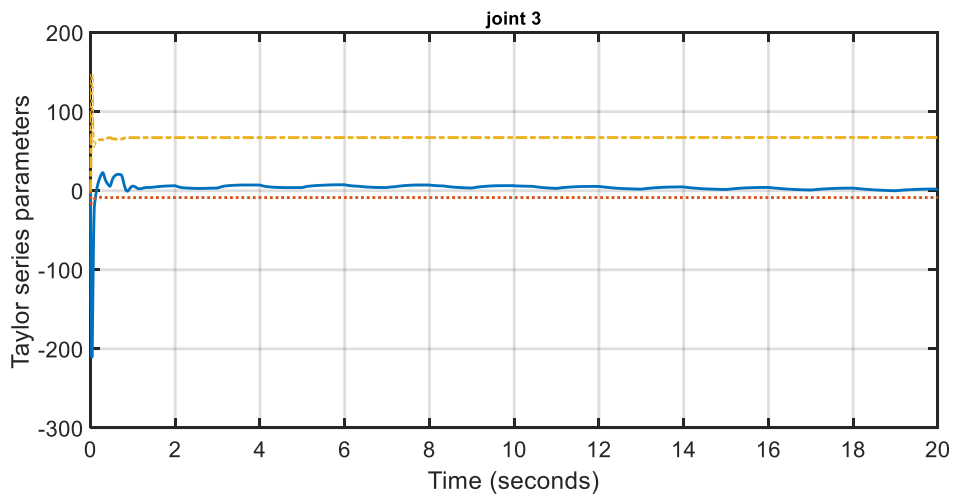


شکل ۷-۴ خطای ردگیری کنترل‌کننده سری تیلور - فازی

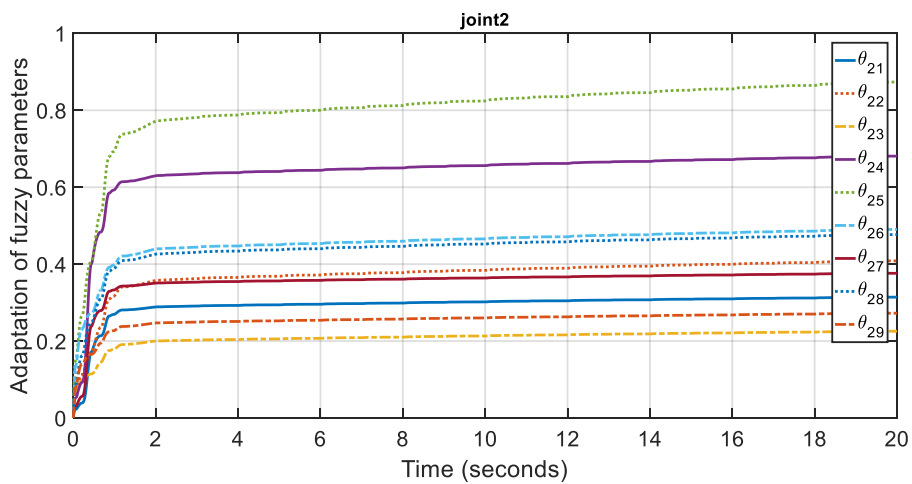
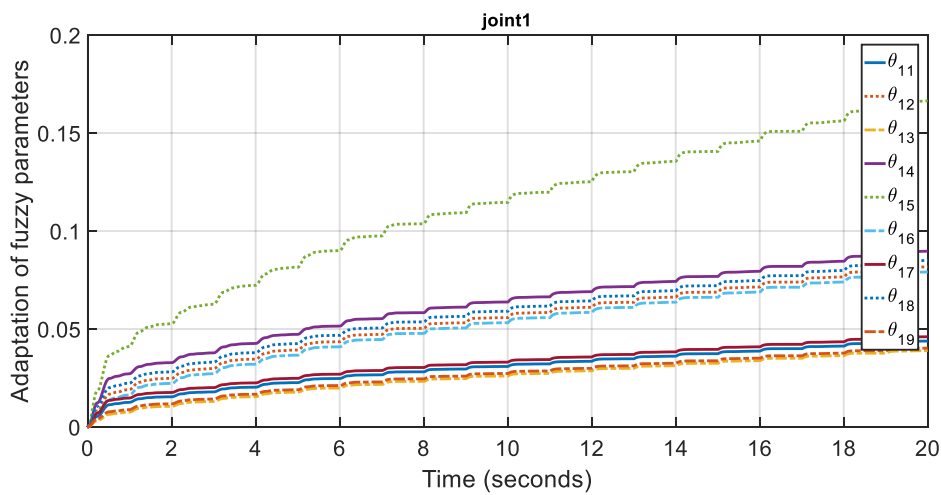


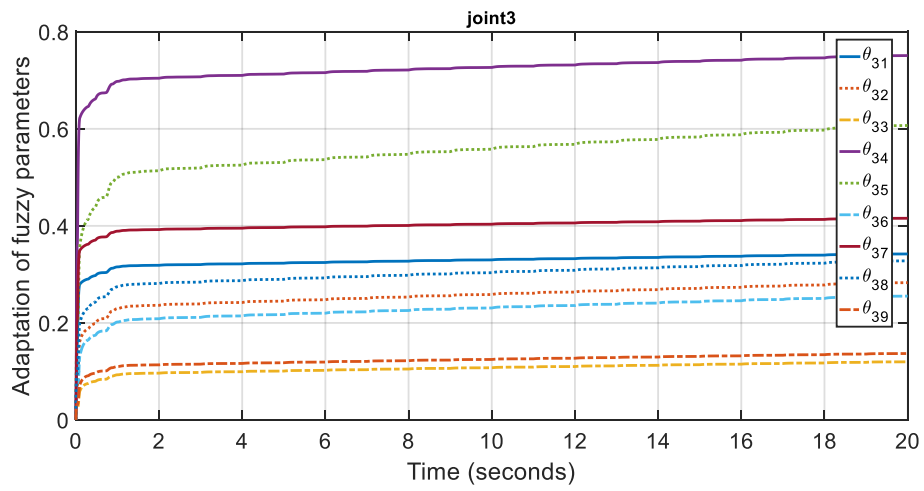
شکل ۵-۷ تلاش کنترلی کنترل کننده سری تیلور - فازی



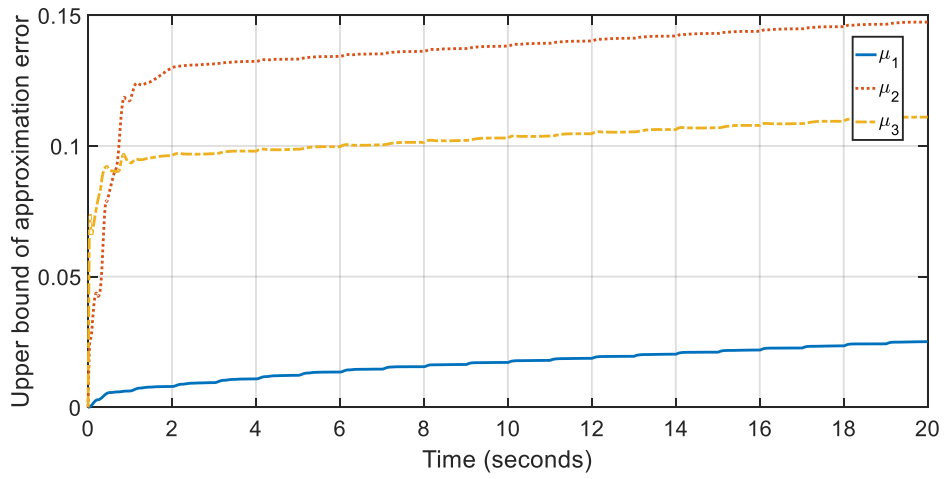


شکل ۶-۷ تطبیق ضریب‌های تقریب‌گر سری تیلور. خط توپر "-", خط نقطه‌چین ":" و خط خط چین "--" به ترتیب نشان‌دهنده ضریب اول، دوم و سوم تقریب‌گر سری تیلور می‌باشد.





شکل ۷-۷ ضریب‌های تقریب‌گر تطبیقی فازی



شکل ۷-۸ تقریب کران بالای خطای مدل‌سازی

## فصل ۸. نتیجه‌گیری و پیشنهادات

## ۸-۱- نتیجه گیری

در این رساله، کنترل‌کننده‌های تطبیقی مبتنی بر سری تیلور بازوهای رباتیک طراحی می‌شوند. با بررسی خاصیت منحصربه‌فرد سیستم سری تیلور به عنوان تقریب‌گر عمومی، از سری تیلور هم به صورت تقریب‌گر عدم قطعیت در قانون کنترل و هم به شکل کنترل‌کننده برای بازوهای رباتیک استفاده شده است. در تمامی روش‌های پیشنهادی به استثنای فصل ششم که از راهبرد کنترل ولتاژ استفاده شده است، از دینامیک‌های تجمیع شده بازوی رباتیک و محرکه‌ها برای پیشنهاد قانون کنترل بهره گرفته شده است. کنترل‌کننده‌های پیشنهادی می‌توانند پایداری محدود نهایی یکنواخت خطای ردگیری و مشتق زمانی آن را تضمین می‌کنند. با اضافه کردن عبارت مقاوم‌ساز در قانون کنترل، تضمین همگرایی مجانبی خطای ردگیری مهیا می‌شود. همچنین با در نظر گرفتن انعطاف‌پذیری مفاصل در بازوهای رباتیک، کنترل سری تیلور با عملکردی مناسب از پس چالش اینگونه سیستم‌ها به خوبی بر آمده است.

یکی از ویژگی‌های منحصربه‌فرد سیستم سری تیلور تطبیقی پیشنهادی، مدلسازی آن در فضای خطا می‌باشد که در مقایسه با کنترل‌کننده‌های پیشرفته دیگر، علاوه بر داشتن ساختاری ساده و عدم نیاز به تعداد زیاد ضریب‌های تطبیقی و ورودی‌ها، در مواجهه با عدم قطعیت تجمعی موفق عمل می‌کند. باید توجه داشت که با در نظر گرفتن انعطاف‌پذیری مفاصل و افزایش پارامترهای کنترل‌کننده، تنظیم این پارامترها به صورت سعی و خطا به آسانی امکان پذیر نخواهد بود. در این وضعیت، استفاده از روش‌های بهینه‌سازی برای رفع این چالش راهگشاست. در جدول ۸-۱، مقایسه ای بین روش‌های کنترلی پیشنهادی در این رساله انجام شده است.



جدول ۸-۱ مقایسه بین روش‌های پیشنهادی در رساله

نوع پایداری	ماتریس رگر سور	مفاصل صلب / مفاصل انعطاف پذیر	جبران عدم قطعیت	فضای مفصلی / فضای کار	در نظر گرفتن دینامیک محرکه‌ها	ورودی کنترل (گشتاور/ ولتاژ)	روش کنترل
پایداری نهایی یکنواخت	نیازی ندارد	مفاصل صلب	جبران می‌شود	فضای مفصلی	در نظر گرفته شده	ولتاژ	فصل دوم
پایداری نهایی یکنواخت	نیازی ندارد	مفاصل صلب	جبران می‌شود	فضای مفصلی	در نظر گرفته شده	ولتاژ	فصل سوم
همگرایی مجانبی	نیازی ندارد	مفاصل صلب	جبران می‌شود	فضای مفصلی	در نظر گرفته شده	ولتاژ	فصل چهارم
همگرایی مجانبی	نیازی ندارد	مفاصل صلب	جبران می‌شود	فضای کار	در نظر گرفته شده	ولتاژ	فصل پنجم
همگرایی مجانبی	نیازی ندارد	مفاصل صلب	جبران می‌شود	فضای مفصلی / فضای کار	در نظر گرفته شده	ولتاژ	فصل ششم
همگرایی مجانبی	نیازی ندارد	مفاصل انعطاف پذیر	جبران می‌شود	فضای مفصلی	در نظر گرفته شده	ولتاژ	فصل هفتم

## ۸-۲- پیشنهادات

در این بخش برای ارائه راهکارهایی برای پژوهش‌های آینده، پیشنهادات زیر بیان می‌گردد:

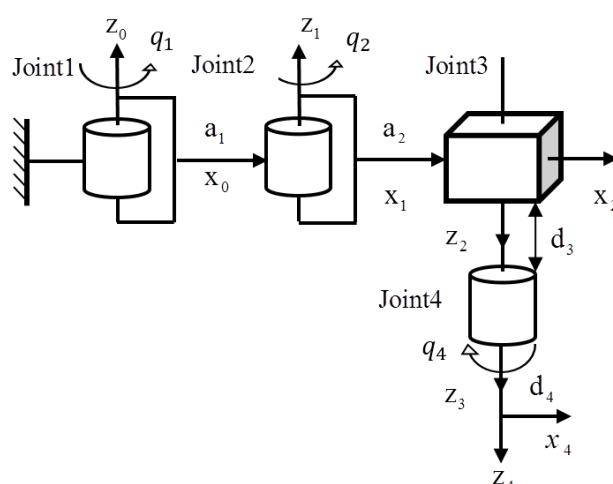
- تضمین پایداری مجانبی یا زمان محدود برای طرح کنترلی مبتنی بر سری تیلور بازوهای رباتیک با در نظر گرفتن دینامیک محرکه‌ها.
- توسعه و گسترش کنترل مبتنی بر سری تیلور برای کلاس‌های سیستم‌های غیرخطی.
- استفاده از سیستم سری تیلور در کنترل‌کننده‌های مقاوم به منظور بهبود عملکرد و تقویت ساختاری این کنترل‌کننده‌ها.

پیوست

## پیوست ۱

### الف-۱) معادلات سینماتیکی و دینامیکی ربات اسکارای چهارمحوره (متصل به دیوار)

بازوی رباتیک اسکارا دارای سه مفصل لولایی و یک مفصل کشویی است. شکل (الف-۱) دیاگرام مفصلی ربات اسکارا ۴ محوره متصل به دیوار را نشان می‌دهد.



شکل (الف-۱) دیاگرام مفصلی ربات اسکارای چهارمحوره (متصل به دیوار)

توجه شود که دستگاه مختصات طبق قوانین دناویت-هارتنبگ بر روی مفاصل ربات مطابق شکل قرار داده شده‌اند. اصول کار بدین صورت می‌باشد:

در گام اول باید رابطها را نام گذاری کنیم. رابط پایه و ساکن را رابط صفر و سپس رابط بعدی را رابط یک و به همین ترتیب همه رابطها را نام گذاری می‌کنیم. بر روی هر مفصل یک دستگاه مختصات قرار می‌دهیم.

برای تعیین محورهای آن طبق روش دناویت - هارتنبگ به صورت زیر عمل می‌کنیم:

<sup>1</sup> Denavit-Hartenberg

- محورهای مفاصل را شناسایی می‌کنیم. محور مفصل آن محوری است که مفصل لولایی حول آن می‌چرخد یا مفصل کشویی در راستای محور مفصلی قرار می‌دهیم.
- محور  $x_0$  را بصورت اختیاری انتخاب می‌کنیم.
- محور  $x_i$  را بگونه‌ای انتخاب می‌کنیم که محور  $x_i$  عمود و متقاطع با  $Z_{i-1}$  باشد.
- محور  $y_i$  را بگونه‌ای انتخاب می‌کنیم که همه دستگاه بصورت راست‌گرد باشند.
- یک جدول از ضریب‌های رابطها ( $a_i$  طول،  $d_i$  انحراف،  $\alpha_i$  پیچش،  $q_i$  زاویه) تشکیل می‌دهیم که ضریب  $a_i$  بیانگر فاصله از  $Z_{i-1}$  تا  $Z_i$  در جهت  $x_i$ ، ضریب  $d_i$  بیانگر فاصله از  $x_{i-1}$  تا  $x_i$  در جهت  $Z_{i-1}$ ، ضریب  $\alpha_i$  بیانگر زاویه از  $Z_{i-1}$  تا  $Z_i$  حول  $x_i$  و ضریب  $q_i$  بیانگر زاویه از  $x_{i-1}$  تا  $x_i$  حول  $Z_{i-1}$  می‌باشند.

ضریب‌های متغیر و ثابت ربات در شکل (الف-۱) مشخص می‌باشند. با توجه به دستگاه‌های مختصات، جدول ضریب‌های دناویت - هارتنبرگ ربات اسکارای چهار محوره متصل به دیوار بدین صورت تشکیل می‌گردد:

جدول (الف - ۱) ضریب‌های دناویت - هارتنبرگ ربات

شماره بازو	$q_i(rad)$	$d_i(m)$	$a_i(m)$	$\alpha_i(rad)$
۱	$q_1$	0	$a_1 = 0.33$	0
۲	$q_2$	0	$a_2 = 0.27$	$\alpha_2 = \pi$
۳	0	$d_3$	0	0
۴	$q_4$	$d_4 = 0.061$	0	0

معادلات دینامیکی ربات با چند درجه آزادی، با محاسبه انرژی پتانسیل و انرژی جنبشی رابطها و مفاصل به دست می‌آید. برای انجام این کار پس از محاسبه مقادیر انرژی‌ها، تابع لاگرانژین سیستم که عبارتست از اختلاف انرژی جنبشی و پتانسیل تشکیل می‌شود. سپس از تابع لاگرانژین نسبت به

متغیرهای مفاصل مشتق می‌گیریم. معادله دینامیکی بازوی ربات در نهایت با این معادلات توصیف می‌شود [۸۰]

$$D(q)\ddot{q} + C(q, \dot{q})\dot{q} + g(q) = \tau_r - \tau_f(\dot{q}) \quad (\text{الف} - ۱)$$

که در آن  $q \in \mathbb{R}^n$  بردار موقعیت‌های مفصلی،  $D(q) \in \mathbb{R}^{n \times n}$  ماتریس اینرسی بازوی رباتیک،  $C(q, \dot{q})\dot{q} \in \mathbb{R}^n$  بردار گشتاورهای کوریولیس و مرکز گرا،  $g(q) \in \mathbb{R}^n$  بردار گشتاورهای گرانشی،  $\tau_r \in \mathbb{R}^n$  بردار گشتاور اصطکاک،  $\tau_f(\dot{q}) \in \mathbb{R}^n$  بردار گشتاورهای اصطکاک، مدل مناسب برای در نظر گرفتن اصطکاک مفاصل به صورت اسکالر بدین شکل می‌باشد [۸۰]

$$\tau_f(\dot{q}) = v\dot{q} + csgn(\dot{q}) \quad (\text{الف} - ۲)$$

که در آن به عبارت  $v\dot{q}$  اصطکاک ویسکوز می‌گویند که در آن گشتاور حاصل از اصطکاک با سرعت حرکت مفصل متناسب است و همچنین به عبارت  $csgn(\dot{q})$  اصطکاک خشک می‌گویند که مقدار آن ثابت است اما علامت آن به سرعت مفصل بستگی دارد. در رابطه (الف - ۲)،  $v$  ثابت اصطکاک ویسکوز و  $c$  ثابت اصطکاک خشک می‌باشد.

در نهایت ضریب‌های بازوی رباتیک اسکارای چهار محوره که توسط نرم‌افزار سالیید ورکس<sup>۱</sup> استخراج شده است در جدول (الف-۲) نشان داده شده‌اند.

---

<sup>۱</sup> Solidworks

جدول (الف - ۲) ضریب‌های ربات اسکرای چهار محوره

$i$	$x_i$	$y_i$	$z_i$	$m_i$	$I_{xxi}$	$I_{yyi}$	$I_{zzi}$	$I_{xyi}$	$I_{xzi}$	$I_{yzi}$
۱	-0.257	0	-0.0623	11.94	0.0297	0.1863	0.1899	0	0.001	0
۲	-0.192	0	-0.0854	37.973	0.2564	0.8817	0.7373	-0.0017	0.1015	-0.0016
۳	0	0	-0.205	0.263	0.0037	0.0037	$3.1 \times 10^{-5}$	0	0	0
۴	0	0	-0.0244	0.321	$1.99 \times 10^{-4}$	$1.97 \times 10^{-4}$	$1.9 \times 10^{-4}$	0	0	0

### الف - ۲) دینامیک موتورها

گشتاور لازم برای حرکت مفاصل ربات، توسط محرکه‌ها که در اغلب موارد موتورهای الکتریکی هستند، فراهم می‌شود. بنابراین موتورها یک بخش اصلی از دینامیک سیستم رباتیک را تشکیل می‌دهند. گشتاور مورد نیاز هر مفصل توسط موتورها با رابطه زیر فراهم می‌شود [۸۰]

$$J_m \ddot{q}_m + B_m \dot{q}_m + r \tau_r = \tau_m \quad (\text{الف} - ۳)$$

که در آن  $\tau_m \in \mathbb{R}^n$  بردار گشتاور تولیدی موتورها برای هر مفصل،  $r \in \mathbb{R}^{n \times n}$  ماتریس قطری ضریب کاهشی چرخ‌دنده‌ها،  $q_m \in \mathbb{R}^n$  بردار زاویه موتورها،  $J_m \in \mathbb{R}^{n \times n}$  ماتریس قطری گشتاور اینرسی موتورها و  $B_m \in \mathbb{R}^{n \times n}$  ماتریس قطری ضریب اصطکاک موتورها می‌باشد. از طرفی در ربات‌ها با مفاصل صلب، زاویه موتور و مفصل با هم بدین صورت رابطه خطی دارند:

$$q = r q_m \quad (\text{الف} - ۴)$$

همچنین می‌توان رابطه گشتاور تولیدی موتورها،  $\tau_m$  و جریان آرمیچر،  $I_a \in \mathbb{R}^n$  را بدین شکل نشان داد:

$$K_m I_a = \tau_m \quad (\text{الف} - ۵)$$

که در آن  $K_m \in \mathbb{R}^{n \times n}$  ماتریس قطری ثابت‌های گشتاور می‌باشد. بنابراین با جایگذاری روابط (الف) - (۴) و (الف - ۵) در (الف - ۳) داریم:

$$J_m r^{-1} \ddot{q} + B_m r^{-1} \dot{q} + r \tau_r = K_m I_a \quad (\text{الف} - ۵)$$

برای بدست آوردن معادلات سیستم رباتیک بر اساس ولتاژ موتورها به عنوان ورودی‌های کنترلی، معادله الکتریکی موتورهای مغناطیس دائم جریان مستقیم بدین صورت در نظر گرفته می‌شود:

$$R I_a + L \dot{I}_a + K_b r^{-1} \dot{q} + \varphi = v \quad (\text{الف} - ۶)$$

که در آن  $I_a \in \mathbb{R}^n$  بردار جریان‌های موتور،  $v \in \mathbb{R}^n$  بردار ولتاژهای موتور و  $\varphi \in \mathbb{R}^n$  بردار اغتشاش خارجی می‌باشد. از طرفی  $R \in \mathbb{R}^{n \times n}$ ،  $L \in \mathbb{R}^{n \times n}$  و  $K_b \in \mathbb{R}^{n \times n}$  به ترتیب بیانگر ماتریس‌های قطری برای ضریب‌های مقاومت آرمیچر، اندوکتانس و ثابت ضد محرکه می‌باشند. ضریب‌های موتور مغناطیس دائم جریان مستقیم مطابق جدول (الف - ۳) نمایش داده شده است.

جدول (الف - ۳) ضریب‌های موتور

موتورها	$u_{max} (V)$	$R(\Omega)$	$K_b \left( \frac{V \cdot s}{rad} \right)$	$L(H)$	$J_m \left( \frac{Nm \cdot s^2}{rad} \right)$	$B_m \left( \frac{Nm \cdot s}{rad} \right)$	$r$
1,2,3,4	40	1.26	0.26	0.001	0.0002	0.001	0.01



## پیوست ۲

قضیه الف-۱) [۸۲] فرض کنید  $I \subset \mathbb{R}$  بازه باشد. با فرض اینکه تابع  $f: I \rightarrow \mathbb{R}$  به اندازه کافی مشتق پذیر باشد، آنگاه برای تمامی  $j \in \mathbb{N}$  و تمامی  $x \in I$ ، ثابت  $C > 0$  وجود دارد به نحوی که

$$|f^{(j)}(x)| \leq C \quad (\text{الف} - ۷)$$

با در نظر گرفتن  $x_0 \in I$  برای تمامی  $N \in \mathbb{N}$  و تمامی  $x \in I$  داریم:

$$\left| \sum_{j=0}^N \frac{h^{(j)}(x_0)}{j!} (x - x_0)^j - g(x) \right| \leq \frac{C}{(N+1)!} |x - x_0|^{N+1} \quad (\text{الف} - ۸)$$

به طور خاص اگر  $I$  بازه محدود باشد  $N_0 \in \mathbb{N}$  برای  $\delta > 0$  دلخواهی وجود دارد به نحوی که (برای تمامی  $x \in I$  و تمامی  $N \geq N_0$ )

$$\left| \sum_{j=0}^N \frac{h^{(j)}(x_0)}{j!} (x - x_0)^j - g(x) \right| \leq \delta \quad \text{for all } x \in I \text{ and all } N \geq N_0 \quad (\text{الف} - ۹)$$

اثبات قضیه (الف - ۱) در مرجع [۸۲] آورده شده است. با استفاده از رابطه (الف - ۹) می توان تصمیم گرفت که چه تعداد جمله،  $N$ ، باید در چندجمله‌ای سری تیلور در نظر گرفته شود تا به دقت مشخصی،  $\delta$ ، برای تابع داده شده بر روی بازه ثابت برسیم.

- [1] Luh, J. Y. S. (1983). Conventional controller design for industrial robots—A tutorial. *IEEE Transactions on Systems, Man, and Cybernetics*, (3), 298-316.
- [2] Freund, E. (1982). Fast nonlinear control with arbitrary pole-placement for industrial robots and manipulators. *The International Journal of Robotics Research*, 1(1), 65-78.
- [3] Nazmara, G., Fateh, M. M., & Ahmadi, S. M. (2018). A model-reference impedance control of robot manipulators using an adaptive fuzzy uncertainty estimator.
- [4] Zhang, D., & Wei, B. (2017). *Adaptive Control for Robotic Manipulators*. CRC Press.
- [5] Murray, R. M. (2017). *A mathematical introduction to robotic manipulation*. CRC press.
- [6] Sharma, K. D., Chatterjee, A., & Rakshit, A. (2018). Experimental Study III: Control of Robot Manipulators. In *Intelligent Control* (pp. 281-293). Springer, Singapore.
- [7] Zeinali, M., & Notash, L. (2010). Adaptive sliding mode control with uncertainty estimator for robot manipulators. *Mechanism and Machine Theory*, 45(1), 80-90.
- [8] Bellman, R. E. (2015). *Adaptive control processes: a guided tour* (Vol. 2045). Princeton university press.
- [9] Rohrs, C., Valavani, L., Athans, M., & Stein, G. (1985). Robustness of continuous-time adaptive control algorithms in the presence of unmodeled dynamics. *IEEE Transactions on Automatic Control*, 30(9), 881-889.
- [10] Baek, J., Jin, M., & Han, S. (2016). A new adaptive sliding-mode control scheme for application to robot manipulators. *IEEE Transactions on industrial electronics*, 63(6), 3628-3637.
- [11] Hu, Q., Xu, L., & Zhang, A. (2012). Adaptive backstepping trajectory tracking control of robot manipulator. *Journal of the Franklin Institute*, 349(3), 1087-1105.
- [12] He, X., Qin, Z., & Wu, X. (2015). Adaptive Iterative Learning Control of Robot Manipulators in the Presence of Environmental Constraints. In *Frontiers of Intelligent Control and Information Processing* (pp. 133-150).
- [13] Monje, C. A., Vinagre, B. M., Feliu, V., & Chen, Y. (2008). Tuning and auto-tuning of fractional order controllers for industry applications. *Control engineering practice*, 16(7), 798-812.
- [14] Islam, S., & Liu, X. P. (2011). Robust sliding mode control for robot manipulators. *IEEE Transactions on Industrial Electronics*, 58(6), 2444-2453.
- [15] Perruquetti, W., & Barbot, J. P. (2002). *Sliding mode control in engineering*. CRC press.
- [16] Parra-Vega, V., & Hirzinger, G. (2001). Chattering-free sliding mode control for a class of nonlinear mechanical systems. *International Journal of Robust and Nonlinear Control: IFAC-Affiliated Journal*, 11(12), 1161-1178.
- [17] Wang, L., Chai, T., & Zhai, L. (2009). Neural-network-based terminal sliding-mode control of robotic manipulators including actuator dynamics. *IEEE Transactions on Industrial Electronics*, 56(9), 3296-3304.
- [18] Zhihong, M., & Yu, X. H. (1997). Terminal sliding mode control of MIMO linear systems. *IEEE Transactions on Circuits and Systems I: Fundamental Theory and Applications*, 44(11), 1065-1070.
- [19] Wu, Y., Yu, X., & Man, Z. (1998). Terminal sliding mode control design for uncertain dynamic systems. *Systems & Control Letters*, 34(5), 281-287.
- [20] Yu, S., Yu, X., Shirinzadeh, B., & Man, Z. (2005). Continuous finite-time control for robotic manipulators with terminal sliding mode. *Automatica*, 41(11), 1957-1964.
- [21] Li, Y., Qiang, S., Zhuang, X., & Kaynak, O. (2004). Robust and adaptive backstepping control for nonlinear systems using RBF neural networks. *IEEE Transactions on Neural Networks*, 15(3), 693-701.
- [22] Kwan, C., & Lewis, F. L. (2000). Robust backstepping control of nonlinear systems using neural networks. *IEEE Transactions on Systems, Man, and Cybernetics-Part A: Systems and Humans*, 30(6), 753-766.

- [23] Zhang, Y., Peng, P. Y., & Jiang, Z. P. (2000). Stable neural controller design for unknown nonlinear systems using backstepping. *IEEE Transactions on Neural Networks*, 11(6), 1347-1360.
- [24] Gong, J. Q., & Yao, B. (2001). Neural network adaptive robust control of nonlinear systems in semi-strict feedback form. *Automatica*, 37(8), 1149-1160.
- [25] Zhang, T., Ge, S. S., & Hang, C. C. (2000). Adaptive neural network control for strict-feedback nonlinear systems using backstepping design. *Automatica*, 36(12), 1835-1846.
- [26] Ge, S. S., & Wang, C. (2002). Direct adaptive NN control of a class of nonlinear systems. *IEEE Transactions on Neural Networks*, 13(1), 214-221.
- [27] Pan, Y., Wang, H., Li, X., & Yu, H. (2018). Adaptive command-filtered backstepping control of robot arms with compliant actuators. *IEEE Transactions on Control Systems Technology*, 26(3), 1149-1156.
- [28] Wang, D., & Huang, J. (2005). Neural network-based adaptive dynamic surface control for a class of uncertain nonlinear systems in strict-feedback form. *IEEE Transactions on Neural Networks*, 16(1), 195-202.
- [29] Li, T. S., Wang, D., Feng, G., & Tong, S. C. (2010). A DSC approach to robust adaptive NN tracking control for strict-feedback nonlinear systems. *IEEE transactions on systems, man, and cybernetics, part b (cybernetics)*, 40(3), 915-927.
- [30] Li, T. S., Tong, S. C., & Feng, G. (2010). A novel robust adaptive-fuzzy-tracking control for a class of nonlinear multi-input/multi-output systems. *IEEE Transactions on Fuzzy Systems*, 18(1), 150-160.
- [31] Bristow, D. A., Tharayil, M., & Alleyne, A. G. (2006). A survey of iterative learning control. *IEEE Control Systems*, 26(3), 96-114.
- [32] Kuc, T. Y., Nam, K., & Lee, J. S. (1991). An iterative learning control of robot manipulators. *IEEE Transactions on Robotics and Automation*, 7(6), 835-842.
- [33] Arimoto, S. (1986). Mathematical theory of learning with applications to robot control. In *Adaptive and Learning Systems* (pp. 379-388). Springer, Boston, MA.
- [34] Mita, T., & Kato, E. (1985, December). Iterative control and its application to motion control of robot arm—a direct approach to servo-problems. In *Decision and Control, 1985 24th IEEE Conference on* (Vol. 24, pp. 1393-1398). IEEE.
- [35] Lee, J. W., Lee, H. S., & Bien, Z. (1993). Iterative learning control with feedback using Fourier series with application to robot trajectory tracking. *Robotica*, 11(4), 291-298.
- [36] Gorinevsky, D., Torfs, D. E., & Goldenberg, A. A. (1997). Learning approximation of feedforward control dependence on the task parameters with application to direct-drive manipulator tracking. *IEEE Transactions on Robotics and Automation*, 13(4), 567-581.
- [37] Sharma, R., Rana, K. P. S., & Kumar, V. (2014). Performance analysis of fractional order fuzzy PID controllers applied to a robotic manipulator. *Expert systems with applications*, 41(9), 4274-4289.
- [38] Lazarević, M. P. (2006). Finite time stability analysis of  $PD\alpha$  fractional control of robotic time-delay systems. *Mechanics research communications*, 33(2), 269-279.
- [39] Matignon, D. (1996, July). Stability results for fractional differential equations with applications to control processing. In *Computational engineering in systems applications* (Vol. 2, pp. 963-968). Lille, France: IMACS, IEEE-SMC.
- [40] Fateh, M. M. (2010). Proper uncertainty bound parameter to robust control of electrical manipulators using nominal model. *Nonlinear Dynamics*, 61(4), 655-666.
- [41] Cho, Y. W., Seo, K. S., & Lee, H. J. (2007). A direct adaptive fuzzy control of nonlinear systems with application to robot manipulator tracking control. *International journal of control, Automation, and systems*, 5(6), 630-642.
- [42] Baigzadehnoe, B., Rahmani, Z., Khosravi, A., & Rezaie, B. (2017). On position/force tracking control problem of cooperative robot manipulators using adaptive fuzzy backstepping approach. *ISA transactions*, 70, 432-446.
- [43] Nazmara, G., Fateh, M. M., & Ahmadi, S. M. (2018). A model-reference impedance control of robot manipulators using an adaptive fuzzy uncertainty estimator.

- [44] Zeng, W., & Wang, C. (2014). Learning from NN output feedback control of robot manipulators. *Neurocomputing*, 125, 172-182.
- [45] Tang, Z. L., Ge, S. S., Tee, K. P., & He, W. (2016). Adaptive neural control for an uncertain robotic manipulator with joint space constraints. *International Journal of Control*, 89(7), 1428-1446.
- [46] Fateh, M. M. (2009). Robust Control of Electrical Manipulators by Reducing the Effects of Uncertainties. *World Applied Sciences Journal*, 7, 161-167.
- [47] Ahanda, J. J. B. M., Mbede, J. B., Melingui, A., & Essimbi, B. (2018). Robust adaptive control for robot manipulators: Support vector regression-based command filtered adaptive backstepping approach. *Robotica*, 36(4), 516-534.
- [48] Fateh, M. M., Ahmadi, S. M., & Khorashadizadeh, S. (2014). Adaptive RBF network control for robot manipulators. *Journal of AI and Data Mining*, 2(2), 159-166.
- [49] Fateh, M. M. (2008). On the voltage-based control of robot manipulators. *International Journal of Control, Automation, and Systems*, 6(5), 702-712.
- [50] Fateh, M. M., & Khorashadizadeh, S. (2012). Robust control of electrically driven robots by adaptive fuzzy estimation of uncertainty. *Nonlinear Dynamics*, 69(3), 1465-1477.
- [51] Su, Y., & Swevers, J. (2014). Finite-time tracking control for robot manipulators with actuator saturation. *Robotics and Computer-Integrated Manufacturing*, 30(2), 91-98.
- [52] Tang, L., & Liu, Y. J. (2014). Adaptive neural network control of robot manipulator using reinforcement learning. *Journal of Vibration and Control*, 20(14), 2162-2171.
- [53] Galicki, M. (2017). Robust task space finite-time chattering-free control of robotic manipulators. *Journal of Intelligent & Robotic Systems*, 85(3-4), 471-489.
- [54] Cheah, C. C., Hirano, M., Kawamura, S., & Arimoto, S. (2003). Approximate Jacobian control for robots with uncertain kinematics and dynamics. *IEEE transactions on robotics and automation*, 19(4), 692-702.
- [55] Cheah, C. C., Liu, C., & Slotine, J. J. E. (2006). Adaptive Jacobian tracking control of robots with uncertainties in kinematic, dynamic and actuator models. *IEEE transactions on automatic control*, 51(6), 1024-1029.
- [56] Dixon, W. E. (2007). Adaptive regulation of amplitude limited robot manipulators with uncertain kinematics and dynamics. *IEEE Transactions on Automatic Control*, 52(3), 488-493.
- [57] Cheng, L., Hou, Z. G., & Tan, M. (2009). Adaptive neural network tracking control for manipulators with uncertain kinematics, dynamics and actuator model. *Automatica*, 45(10), 2312-2318.
- [58] Hou, Z. G., Zou, A. M., Cheng, L., & Tan, M. (2009). Adaptive control of an electrically driven nonholonomic mobile robot via backstepping and fuzzy approach. *IEEE Transactions on Control Systems Technology*, 17(4), 803-815.
- [59] Garcia-Rodriguez, R., & Parra-Vega, V. (2012). Cartesian sliding PID control schemes for tracking robots with uncertain Jacobian. *Transactions of the Institute of Measurement and Control*, 34(4), 448-462.
- [60] Fateh, M. M., & Azargoshasb, S. (2015). Discrete time robust control of robot manipulators in the task space using adaptive fuzzy estimator. *Journal of AI and Data Mining*, 3(1), 113-120.
- [61] Kumar, N., Panwar, V., Sukavanam, N., Sharma, S. P., & Borm, J. H. (2011). Neural network-based nonlinear tracking control of kinematically redundant robot manipulators. *Mathematical and Computer Modelling*, 53(9-10), 1889-1901.
- [62] Liang, X., Wang, H., Liu, Y. H., Chen, W., Hu, G., & Zhao, J. (2016). Adaptive task-space cooperative tracking control of networked robotic manipulators without task-space velocity measurements. *IEEE transactions on cybernetics*, 46(10), 2386-2398.
- [63] Wang, H. (2017). Adaptive Control of Robot Manipulators With Uncertain Kinematics and Dynamics. *IEEE Trans. Automat. Contr.*, 62(2), 948-954.
- [64] Khorashadizadeh, S., & Fateh, M. M. (2017). Uncertainty estimation in robust tracking control of robot manipulators using the Fourier series expansion. *Robotica*, 35(2), 310-336.

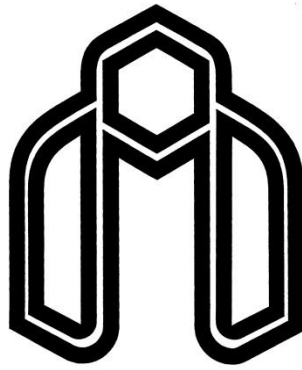
- [65] Khorashadizadeh, S., & Fateh, M. M. (2015). Robust task-space control of robot manipulators using Legendre polynomials for uncertainty estimation. *Nonlinear Dynamics*, 79(2), 1151-1161.
- [66] Fateh, M. M. (2012). Nonlinear control of electrical flexible-joint robots. *Nonlinear Dynamics*, 67(4), 2549-2559.
- [67] Yin, W., Sun, L., Wang, M., & Liu, J. (2018). Nonlinear state feedback position control for flexible joint robot with energy shaping. *Robotics and Autonomous Systems*, 99, 121-134.
- [68] Ailon, A., & Lozano, R. (2000). Iterative regulation of an electrically driven flexible-joint robot with model uncertainty. *IEEE Transactions on Robotics and Automation*, 16(6), 863-870.
- [69] Tomei, P. (1991). A simple PD controller for robots with elastic joints. *IEEE Transactions on automatic control*, 36(10), 1208-1213.
- [70] De Luca, A., Siciliano, B., & Zollo, L. (2005). PD control with on-line gravity compensation for robots with elastic joints: Theory and experiments. *Automatica*, 41(10), 1809-1819.
- [71] Spong, M. W. (1987). Modeling and control of elastic joint robots. *Journal of dynamic systems, measurement, and control*, 109(4), 310-318.
- [72] Moallem, M., Khorasani, K., & Patel, R. V. (1997). An integral manifold approach for tip-position tracking of flexible multi-link manipulators. *IEEE Transactions on Robotics and Automation*, 13(6), 823-837.
- [73] Ge, S. S., & Woon, L. C. (1998). Adaptive neural network control of flexible joint manipulators in constrained motion. *Transactions of the Institute of Measurement and Control*, 20(1), 37-46.
- [74] Huang, A. C., & Chen, Y. C. (2004). Adaptive sliding control for single-link flexible-joint robot with mismatched uncertainties. *IEEE Transactions on Control Systems Technology*, 12(5), 770-775.
- [75] Rodriguez-Angeles, A., & Nijmeijer, H. (2004). Synchronizing tracking control for flexible joint robots via estimated state feedback. *Journal of dynamic systems, measurement, and control*, 126(1), 162-172.
- [76] Liu, H., & Huang, Y. (2018). Robust adaptive output feedback tracking control for flexible-joint robot manipulators based on singularly perturbed decoupling. *Robotica*, 36(6), 822-838.
- [77] Fateh, M. M. (2012). Robust control of flexible-joint robots using voltage control strategy. *Nonlinear Dynamics*, 67(2), 1525-1537.
- [78] Fateh, M. M., & Fateh, S. (2012). Decentralized direct adaptive fuzzy control of robots using voltage control strategy. *Nonlinear dynamics*, 70(3), 1919-1930.
- [79] Slotine, J. J. E., & Li, W. (1991). *Applied nonlinear control* (Vol. 199, No. 1). Englewood Cliffs, NJ: Prentice hall.
- [80] Spong, M. W., Hutchinson, S., & Vidyasagar, M. (2006). *Robot modeling and control* (Vol. 3, pp. 187-227). New York: Wiley.
- [81] Babuška, R. (2012). *Fuzzy modeling for control* (Vol. 12). Springer Science & Business Media.
- [82] Christensen, O., & Christensen, K. L. (2004). *Approximation theory: from Taylor polynomials to wavelets*. Springer Science & Business Media.
- [83] Rudin, W. (1976). *Principles of mathematical analysis* (Vol. 3, No. 4.2). New York: McGraw-hill.
- [84] Fateh, M. M., & Babaghasabha, R. (2013). Impedance control of robots using voltage control strategy. *Nonlinear Dynamics*, 74(1-2), 277-286.
- [85] Fateh, M. M., & Souzanchikashani, M. (2015). Indirect adaptive fuzzy control for flexible-joint robot manipulators using voltage control strategy. *Journal of Intelligent & Fuzzy Systems*, 28(3), 1451-1459.
- [86] Wang, L. X. (1992, March). Fuzzy systems are universal approximators. In *Fuzzy Systems, 1992., IEEE International Conference on* (pp. 1163-1170). IEEE.

## **Abstract**

The Taylor series system is used adaptively for the robust control of a robotic manipulator in two control plans. In the first design, the Taylor series is used as a lumped uncertainty approximator. For the second design, the Taylor series system plays a controller role. It is attempted to design control schemes by adding a robustifying term ensuring the asymptotic convergence of tracking errors instead of uniformly ultimately boundedness stability. In addition, the structure of indirect adaptive controller without the need for velocity measurements using the voltage control strategy is developed. Furthermore, considering the joints flexibility in robot manipulators, a direct adaptive control approach, which uses the Taylor Series approximator to approximate an ideal controller and the fuzzy approximator to compensate for the approximation error is proposed.

The performance of the proposed controllers is simulated and analyzed on the 4-DOF wall-mounted SCARA robot manipulator as a rigid-joint robot and also an articulated robot manipulator as a flexible-joint robotic system in MATLAB software. The simulation results show the effectiveness of the control approaches compared with methods such as a terminal sliding mode control and an adaptive regressor-based controller.

**Keywords:** Taylor series system; robotic manipulator; voltage control strategy; direct adaptive control; indirect adaptive control; asymptotic convergence.



**Shahrood University of Technology**  
**Faculty of Electrical and Robotics Engineering**  
Ph.D. Thesis in Control Engineering

# **Taylor series-based control of robotic manipulators**

**Seyed Mohammad Ahmadi**

Supervisor

**Dr. Mohammad Mehdi Fateh**

August 2018